

MINISTERUL EDUCATIEI SI INVATAMINTELOR  
INSTITUTUL POLITEHNIC "TRAIAN VUIA" TIMISOARA  
FACULTATEA DE ELECTROTEHNICA

ING. CHIVU MIRCEA

STUDIUL SI CALCULUL ANALITIC AL  
CARACTERISTICILOR INSTRUMENTULUI  
MAGNETOELECTRIC CU MAGNET MOBIL

TEZA DE DOCTORAT

BIBLIOTECA CENTRALĂ  
UNIVERSITATEA "POLITEHNICA"  
TIMIȘOARA

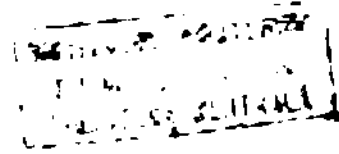
CONDUCATOR ȘTIINȚIFIC  
PROF. DR. ING. POP EUGEN

TIMISOARA - 1985

INSTITUTUL POLITEHNIC TIMIȘOARA	
E. Chivu	
BIBLIOTECA CENTRALĂ	
Volume	3-6
Dulap	14

C U P R I N S

INTRODUCERE . . . . .	7
CAP.1. CALCULUL CIMPULUI MAGNETIC STATIONAR CU O METODA ITERATIVA CU DIFERENTE FINITE IN COORDONATE POLARE. . . . .	15
1.1. Introducere . . . . .	15
1.2. Metodă iterativă cu diferențe finite în coordonate polare . . . . .	15
1.2.1. Formularea problemei de câmp . . . . .	15
1.2.2. Substituirea ecuațiilor diferențiale cu derivate parțiale cu ecuații cu diferen- țe finite . . . . .	15
1.2.3. Considerarea proprietăților magnetice . . . . .	15
1.2.4. Rezolvarea iterativă a sistemului de ecuații cu diferențe finite . . . . .	15
1.2.5. Demonstrarea convergenței metodei . . . . .	15
1.2.6. Calculul mărimilor $R_H(I, J)$ și $R_B(I, J)$ . . . . .	15
1.2.6. Algoritmul de calcul . . . . .	15
CAP.2. DETERMINAREA CIMPULUI MAGNETIC DIN INSTRUMENTUL MAGNETOELECTRIC CU MAGNET MOBIL . . . . .	15
2.1. Introducere . . . . .	15
2.2. Stabilirea rețelei de discretizare . . . . .	15
2.3. Calculul cîmpului magnetic produs de bobinele $BO_1$ și $BO_2$ . . . . .	15
2.4. Calculul cîmpului magnetic produs de bobina $BO_3$ . . . . .	15
2.5. Calculul cîmpului magnetic rezultat . . . . .	15
2.6. Influența permeabilității magnetice a ecranu- lui, a permeabilității magnetice a magnetului permanent, a grosimii și a formei ecranului asupra cîmpului magnetic . . . . .	15
2.7. Influența pozițiilor bobinelor instrumentului asupra cîmpului magnetic . . . . .	15
2.8. Concluzii . . . . .	15



	Pag.
<b>CAP.3. DETERMINAREA MOMENTULUI MAGNETIC AL MAGNETULUI</b>	
PERMANENT . . . . .	61
3.1. Introducere . . . . .	61
3.2. Starea de magnetizare, momentul magnetic, magnetizația, legile magnetostaticii . . . . .	62
3.2.1. Momentul magnetic . . . . .	62
3.2.2. Magnetizația . . . . .	63
3.2.3. Magnetizația temporară, magnetizația permanentă . . . . .	64
3.2.4. Relații fundamentale în magnetostatică. . . . .	64
3.3. Influența unor caracteristici magnetice ale materialelor magnetice asupra cîmpului magne- tic în care sînt introduse . . . . .	67
3.4. Metode de măsurare a momentului magnetic . . . . .	69
3.5. Determinarea experimentală a momentului magnetic, la magneți permanenți sub formă de disc . . . . .	72
3.5.1. Intensitatea cîmpului magnetic produsă de un magnet permanent în exteriorul său . . . . .	73
3.5.2. Construcția magnetometrului . . . . .	74
3.5.3. Stabilirea valorilor intensității cîmpului magnetic în care se fac deter- minările de moment magnetic . . . . .	75
3.5.4. Măsurarea momentului magnetic $m$ al unui magnet permanent sub formă de disc . . . . .	76
<b>CAP.4. CALCULUL CUPLULUI ACTIV . . . . .</b>	<b>81</b>
4.1. Introducere . . . . .	81
4.2. Metode de calcul al cuplurilor electromag- netice (active) ce apar în instrumentele electrice de măsurat . . . . .	81
4.2.1. Teorema forțelor generalizate la sarcini constante . . . . .	81
4.2.2. Teorema forțelor generalizate la poten- țiale constante (în medii liniare și neliniare) . . . . .	82

	Pag.
4.2.3. Teorema forțelor generalizate la flux magnetic constant . . . . .	82
4.2.4. Teorema forțelor generalizate la curent constant (în medii liniare și neliniare) . . . . .	89
4.3. Acțiuni ponderomotoare ce intervin între conductoare fixe, parcurse de curenți electrice, și magneți permanenți mobili . . . . .	89
4.4. Metode de calcul al cuplului activ și al unghiului de deviație permanentă la instrumentul magnetoelectric cu magnet permanent mobil . . . . .	95
4.5. Calculul cuplului activ la instrumentul magnetoelectric cu magnet mobil sub formă de disc . . . . .	97
<b>CAP.5. METODE DE CALCUL AL UNOR CARACTERISTICI ALE INSTRUMENTULUI MAGNETOELECTRIC CU MAGNET MOBIL . . . . .</b>	<b>97</b>
5.1. Introducere . . . . .	97
5.2. Calculul unghiului de deviație permanentă . . . . .	99
5.3. Calculul caracteristicii statice de transfer a instrumentului magnetoelectric cu magnet mobil . . . . .	100
5.4. Ecuația diferențială de mișcare a echipajului mobil. Cuplul stabilizator. Eroarea datorată frecării . . . . .	100
5.5. Factorul de calitate al instrumentului magnetoelectric cu magnet mobil . . . . .	100
5.6. Modificarea caracterului scării instrumentului magnetoelectric cu magnet mobil . . . . .	105
5.7. Calculul sensibilității logometrului magnetoelectric cu magnet mobil . . . . .	105
<b>CAP.6. REZULTATE EXPERIMENTALE . . . . .</b>	<b>105</b>
6.1. Introducere . . . . .	105
6.2. Momentul magnetic al magnetului permanent . . . . .	106
6.2.1. Magnetometrul . . . . .	107
6.2.2. Valorile intensității câmpului magnetic în care au avut loc determinările . . . . .	109

	Pag.
6.2.3. Alegerea distanțelor $R_1$ , $R_2$ și $l$ . . . . .	109
6.2.4. Calculul momentului magnetic al magnetului permanent . . . . .	109
6.3. Măsurarea permeabilității magnetice relative a magnetului permanent mobil . . . . .	110
6.4. Configurația geometrică a instrumentului magnetoelectric cu magnet mobil . . . . .	117
6.5. Cuplul activ al instrumentului magneto- electric cu magnet mobil . . . . .	119
6.6. Caracteristici statice de transfer, cuplul stabilizator specific, factorul de calitate și sensibilitatea instrumentului magneto- electric cu magnet mobil . . . . .	122
6.7. Influența formei ecranului asupra caracte- risticilor instrumentului . . . . .	128
6.8. Caracteristici îmbunătățite pentru instru- mentul magnetoelectric cu magnet mobil . . . . .	128
CONCLUZII SI CONTRIBUTII . . . . .	132
BIBLIOGRAFIE . . . . .	137
ANEXA 1	
ANEXA 2	
ANEXA 3	

## INTRODUCERE

Dezvoltarea și diversificarea producției de instrumente electrice de măsurat cu performanțe superioare, concomitent cu reducerea importului în acest sector, implică un studiu amănunțit al acestora în vederea proiectării lor.

Caracteristicile instrumentelor electrice de măsurat sînt pronunțat dependente de configurația cîmpului magnetic propriu. Ca atare una dintre cele mai importante probleme referitoare la instrumentele electrice de măsurat o reprezintă calculul distribuțiilor reale de cîmp magnetic din interiorul lor. Dificultățile ce apar la calculul cîmpului magnetic din instrumentele electrice de măsurat se datoresc complexității configurației geometrice a circuitelor magnetice și prezenței unor medii feromagnetice cu proprietăți magnetice diferite.

Pentru calculul cîmpurilor magnetice în condițiile de mai sus se utilizează tot mai mult metodele numerice de calcul, folosirea lor fiind facilitată de accesul la tehnica modernă de calcul.

Metodele numerice iterative de calcul al cîmpului magnetic s-au dezvoltat în direcția generalizării lor, a creșterii vitezei de convergență a procesului de calcul și a realizării unor programe de calcul cît mai economice.

În literatura de specialitate instrumentul magnetoelectric cu magnet mobil este tratat în mod succint, existînd relații de calcul al cuplului activ și a altor caracteristici ale acestuia determinate în baza unor simplificări printre care cea mai importantă este considerarea unui cîmp magnetic perfect uniform în interiorul său.

Intrucît cîmpul magnetic din instrumentul magnetoelectric cu magnet mobil este neuniform, relațiile cunoscute în literatură pentru calculul cuplului activ și a altor caracteristici [21, 25, 26, 21, 28] permit doar determinarea orientativă a acestor mărimi.

Instrumentele magnetoelectrice cu magnet mobil sînt caracterizate prin capacitate de suprasarcină ridicată, mare robustețe mecanică, volum și masă reduse.

De aceea sînt utilizate ca aparate de bord în navigație și în aparatura medicală.

În țara noastră în cincinalul 1981-1985 s-a dezvoltat masiv producția de nave și de avioane care utilizează ca aparate de bord instrumentele magnetoelectrice cu magnet mobil. Aceste instrumente urmează să fie produse în mari cantități de către Întreprinderea de aparate electrice de măsurat din Timișoara. În anul 1983 s-a încheiat contractul de cercetare științifică nr.159/1983 "Cercetări privind studierea și proiectarea aparatelor magnetoelectrice cu magnet mobil" între catedra de Electronică aplicată din cadrul Institutului politehnic "Traian Vuia" Timișoara și I.A.S.M. Timișoara.

Avînd în vedere aceste perspective de dezvoltare a producției românești de instrumente magnetoelectrice cu magnet mobil, preocupările autorului s-au orientat în direcția calculului caracteristicilor acestui instrument ținînd seama de distribuția reală a cîmpului magnetic.

Prezenta teză de doctorat cuprinde cercetările autorului în direcția perfecționării metodelor de calcul al caracteristicilor instrumentelor magnetoelectrice cu magnet mobil, ea rezultînd din integrarea cercetării cu producția.

Teza de doctorat cuprinde o introducere și șase capitole.

În capitolul 1 al tezei autorul prezintă o metodă iterativă cu diferențe finite în coordonate polare de calcul al cîmpului magnetic.

Soluționarea problemelor de cîmp pretinde rezolvarea unor ecuații diferențiale neliniare cu derivate parțiale /18, 19, 51, 52, 68, 84/.

În cadrul metodei iterative cu diferențe finite în coordonate polare tratată în capitolul 1 al tezei de doctorat, ecuațiile diferențiale sînt substituite cu ecuații cu diferențe finite. Acestea sînt rezolvate printr-un procedeu de iterare special, evitîndu-se pierderile de informație cauzate de algebrizare.

Metode iterativă cu diferențe finite rezolvă problema de cîmp în raport cu valorile componentelor  $H_p$ ,  $H_\theta$ ,  $B_p$  și  $B_\theta$  ale vectorilor  $\vec{H}$  și  $\vec{B}$  în nodurile rețelei de discretizare în coordonate polare extinsă pe domeniul de calcul  $D$  al cîmpului magnetic.



Metoda este indicată în cazul unor domenii de calcul de formă circulară, existând posibilitatea evitării deformării frontierelor prin discretizare. Cu relațiile determinate în cadrul metodei, autorul alcătuiește un algoritm de calcul al câmpului magnetic.

Capitolul 2 al tezei de doctorat cuprinde aplicarea metodei iterative în coordonate polare de calcul al câmpului magnetic prezentată în capitolul 1 la determinarea câmpului magnetic din instrumente magnetoelectrice cu magnet mobil. Rețeaua de discretizare în coordonate polare este extinsă pe secțiuni transversale ale instrumentelor ce cuprind magnetul permanent mobil, spațiul dintre magnetul mobil și ecranul feromagnetic, în care sînt plasate bobinele instrumentului, respectiv ecranul feromagnetic. Programele de calcul scrise în baza algoritmului de calcul descris în capitolul 1 oferă valorile componentelor vectorilor  $\vec{H}$  și  $\vec{B}$  în toate nodurile rețelei de discretizare polare pentru multiple situații de calcul. Sînt scoase în evidență influența permeabilității magnetice a ecranului feromagnetic, permeabilității magnetice a magnetului permanent, a grosimii și a formei ecranului asupra câmpului magnetic.

Câmpul magnetic este calculat pentru mai multe poziții relative ale bobinelor instrumentului. Prin urmare rezultă pentru fiecare caz tratat distribuții de câmp magnetic distincte, ce vor fi utilizate fiecare la determinarea caracteristicilor instrumentului magnetoelectric cu magnet mobil.

Capitolele 1 și 2 ale tezei de doctorat rezolvă complet problema câmpului magnetic al acestui instrument. Sînt în totalitate concepute de autor.

În capitolul 3 al tezei este tratată metoda de determinare experimentală a momentului magnetic al magnetului permanent mobil.

Autorul s-a orientat în acest sens, spre metoda magnetometrică de măsurare a momentului magnetic, combinînd metoda cunoscută în literatură /25, 32, 38, 42, 43, 55, 71, 79, 82/ cu un etalon de câmp magnetic. Astfel se pot determina câmpurile magnetice perturbatoare, printre care componenta orizontală a câmpului magnetic terestru la locul determinării, și odată acestea cunoscute intră în relațiile de calcul al momentului magnetic.

Momentul magnetic se măsoară în general prin determinarea intensității câmpului magnetic produs de acesta la o distanță



oarecare, prin intermediul unor relații de dependență /42, 43, 79, 82/, sau utilizând momentmetre /82/ care trebuie să fie în prealabil calibrate cu momente magnetice etalon.

În primul caz distanța dintre magnet și elementul sensibil al câmpului magnetic produs trebuie să fie suficient de mare, astfel încât relațiile de dependență dintre momentul magnetic și intensitatea câmpului magnetic să fie valabile, dar nu oricât de mare deoarece în acest caz câmpurile produse ar fi prea mici.

Sistemul de măsurare a intensității câmpului magnetic nu trebuie să falsifice valorile momentului magnetic calculat.

Autorul demonstrează în capitolul 3 că magnetul magnetometrului, cu toate că modifică cele două câmpuri magnetice ce interacționează, nu va afecta valoarea reală a momentului magnetic care se măsoară.

În al doilea caz etalonarea momentmetrelor trebuie realizată cu momente magnetice produse de magneți permanenți care să aibă forme geometrice identice cu ale magneților de cercetat.

Aceste considerente au condus la determinarea momentului magnetic cu o metodă magnetometrică în combinație cu un etalon de câmp magnetic.

Capitolul 4 al tezei de doctorat tratează problema cuplului activ ce apare la instrumentul magnetoelectric cu magnet mobil.

Componentele vectorilor  $\vec{H}$  și  $\vec{B}$  rezultă din capitolul 2 în toate nodurile rețelei de discretizare din domeniul de calcul al câmpului magnetic, deci inclusiv în nodurile rețelei de discretizare ce se suprapune peste suprafața magnetului permanent.

La calculul cuplului activ autorul determină relația de calcul a unui cuplu activ elementar corespunzător unui element al rețelei de discretizare iar prin însumarea algebrică a tuturor cuplurilor corespunzătoare elementelor rețelei de discretizare ce cuprinde suprafața magnetului permanent rezultă cuplul activ total.

Pentru calculul cuplului activ total s-a scris un program de calcul în baza unui algoritm de calcul conceput de autor.

Relațiile de calcul al cuplului activ stabilite în capitolul 4 al tezei sînt determinate de autor.

În capitolul 5 al tezei de doctorat autorul determină relații de calcul pentru unele caracteristici importante ale instrumentului magnetoelectric cu magnet mobil. Astfel pot fi determina-

te unghiul de deviație permanentă, caracteristica statică de transfer, cuplul stabilizator specific, factorul de calitate și sensibilitatea instrumentului magnetoelectric cu magnet mobil.

În capitolul 6 al tezei sînt prezentate rezultatele experimentale obținute de autor pe baza metodelor de calcul dezvoltate în capitolele 1 - 5.

Sînt date rezultatele măsurate ale momentului magnetic al magnetului permanent.

Este tratată o metodă experimentală de determinare a permeabilității magnetice relative a materialului magnetului permanent.

De asemenea sînt date caracteristicile instrumentul magnetoelectric cu magnet mobil obținute de autor cu relațiile de calcul stabilite în capitolele 4 și 5, atît pentru instrumente fabricate la I.A.F.M. Timișoara, cît și pentru instrumente cu configurații ale circuitelor magnetice propuse de autor. Caracteristicile calculate pentru instrumente deja fabricate sînt comparate cu caracteristicile determinate experimental rezultînd o bună concordanță între acestea.

Pentru soluțiile propuse în teză au rezultat caracteristici îmbunătățite în raport cu cele ale instrumentelor fabricate, ceea ce în viitor conduce la realizarea unor instrumente magnetoelectrice cu magnet mobil cu caracteristici superioare.

Partea finală a tezei este rezervată concluziilor și contribuțiilor autorului.

## CAPITOLUL 1

### CALCULUL CIMPULUI MAGNETIC STATIONAR CU O METODA ITERATIVA CU DIFERENTE FINITE IN COORDONATE POLARE

#### 1.1. Introducere

Calculul și proiectarea aparatelor electrice de măsurat pretind cunoașterea, cât mai exactă a repartiției spațiale a cîmpului magnetic ovasistaționar din ele.

Metodele numerice de calcul al cîmpului magnetic cunosc astăzi o tot mai largă utilizare facilitată de accesul la tehnica de calcul modernă. Cele mai uzuale metode numerice de calcul sînt metoda diferențelor finite și metoda elementelor finite. Aceste metode permit determinarea valorilor componentelor vectorilor intensității cîmpului magnetic  $\vec{H}$  și inducției magnetice  $\vec{B}$ , în cadrul unui sistem oarecare de coordonate, într-un număr suficient de mare, dar finit, de puncte ale unui domeniu  $D$  de calcul al cîmpului magnetic.

Soluționarea unei probleme de cîmp magnetic pretinde rezolvarea unor ecuații diferențiale cu derivate parțiale. Particularitatea tratării uzuale pe baza metodei diferențelor finite și pe baza metodei elementelor finite, concretizată prin algebrizarea nemijlocită a problemei, constă în aceea că chiar o rezolvare exactă a sistemului de ecuații algebrice nu permite obținerea unei soluții exacte a problemei de cîmp, întrucît sistemul de ecuații algebrice nu conține aceeași informație ca și sistemul inițial de ecuații diferențiale /40/. Pierderile de informație pot fi evitate în cazul rezolvării prin procedee iterative speciale a problemei de cîmp /27, 40, 46/.

Pe de altă parte, în cazul unor domenii de calcul cu număr relativ mic de puncte, metoda diferențelor finite prezintă în comparație cu metoda elementelor finite unele avantaje privind cantitatea de date inițiale ce trebuie preparate și furni-

zate calculatorului precum și legate de volumul resurselor calculatorului (memorie, periferice, timp) utilizat /16, 28/.

În cadrul acestui capitol se prezintă o metodă iterativă cu diferențe finite în coordonate polare originală de calcul al câmpului magnetic staționar, care prezintă următoarele avantaje față de metoda diferențelor finite în coordonate rectangulare:

- utilizarea eficientă și economică pe domenii de calcul  $D$  cu configurații geometrice ce acceptă simetrii;

- evitarea deformării prin discretizare a frontierei domeniului  $D$  și a frontierelor subdomeniilor din domeniul  $D$  cu proprietăți de material diferite, în cazul unor frontiere cu formă de cerc;

- posibilitatea alegerii unor pași neegali după cele două coordonate ale sistemului de coordonate polare;

- posibilitatea scăderii numărului de puncte de calcul din domeniul  $D$ , la aceeași precizie impusă a rezultatelor.

Aceste avantaje permit creșterea preciziei de calcul al soluției problemei de câmp, scăderea volumului memoriei centrale utilizate și reducerea timpului de calcul consumat de calculator.

În cadrul fundamentării matematice a metodei iterative cu diferențe finite se demonstrează procedura de substituire a ecuațiilor diferențiale cu derivate parțiale cu ecuații cu diferențe finite și se stabilesc condițiile de convergență a metodei.

Autorul concepe de asemenea, pentru metodă un algoritm de calcul simplu cu aplicabilitate generală.

## 1.2. Metodă iterativă cu diferențe finite în coordonate polare

### 1.2.1. Formularea problemei de câmp

Se consideră în spațiul plan un domeniu  $D$  marginit de un contur închis  $\Gamma$ . Mediul din interiorul domeniului este parțial sau în totalitate neliniar, izotrop, neomogen, fără magnetizație permanentă și cu magnetizare reversibilă. În fiecare punct al domeniului  $D$  sînt date:

- vectorul  $\vec{J}_0$  care caracterizează repartiția curenților de conducție, perpendicular pe suprafața domeniului  $D$  și satisfăcînd ecuația:

$$\operatorname{div} \vec{J}_0 = 0 ; \quad (1.1)$$

- funcția:

$$\vec{B} = \mu \vec{H} , \quad (1.2)$$

ce caracterizează proprietățile magnetice ale mediului domeniului  $D$ , în care  $\mu$  este permeabilitatea magnetică a mediului;

- forma diferențială a legii circuitului magnetic:

$$\operatorname{rot} \vec{H} = \vec{J}_0 ; \quad (1.3)$$

- forma diferențială a legii fluxului magnetic:

$$\operatorname{div} \vec{B} = 0 . \quad (1.4)$$

Conform teoremelor de unicitate din [27, 34, 51, 80], câmpul magnetic staționar din interiorul domeniului  $D$  este univoc determinat dacă, pe lîngă repartiția densității curenților de conducție în interiorul domeniului  $D$ , mai este dată pe conturul  $\Gamma$ , ce închide domeniul  $D$ , fie componenta normală  $B_n$ , a inducției magnetice  $\vec{B}$ , fie componenta tangențială  $H_t$ , a intensității câmpului magnetic  $\vec{H}$ .

Domeniul de calcul  $D$  se poate alege astfel încît în exteriorul lui să se poată considera cu suficientă precizie că câmpurile  $\vec{H}$  și  $\vec{B}$  sînt nule. În consecință pe frontiera  $\Gamma$  a domeniului  $D$  este satisfăcută condiția:

$$B_n = 0 . \quad (1.5)$$

Cînd configurația geometrică a sistemului magnetic și repartiția curenților de conducție admit simetrie în interiorul

domeniului  $D$ , se poate calcula câmpul magnetic pe o zonă limitată din domeniul  $D$ .

De-a lungul frontierei care se alege astfel încât să coincidă cu o axă sau cu axele de simetrie se impune condiția:

$$H_t = 0. \quad (1.6)$$

Rezolvarea problemei de câmp înseamnă determinarea în fiecare punct al domeniului  $D$  a vectorilor  $\vec{H}$  și  $\vec{B}$  care satisfac ecuațiile (1.2 - 1.4), iar în punctele aflate pe frontiera domeniului de calcul și condiția (1.5) sau (1.6).

### 1.2.2. Substituirea ecuațiilor diferențiale cu derivate parțiale cu ecuații cu diferențe finite

Domeniul de calcul  $D$  al câmpului magnetic se alege astfel încât toate sursele de tensiune magnetomotoare să se afle în interiorul său. Câmpul magnetic din domeniul  $D$  produs de curenții de conducție aflați în interiorul domeniului  $D$  este descris în acest caz de sistemul de ecuații (1.2 - 1.4), la care se adaugă pe frontiera  $\Gamma$  condițiile (1.5, 1.6).

În vederea înlocuirii ecuațiilor diferențiale cu derivate parțiale (1.3, 1.4) cu ecuații cu diferențe finite se construiește în domeniul  $D$  o rețea de discretizare în coordonate polare (fig.

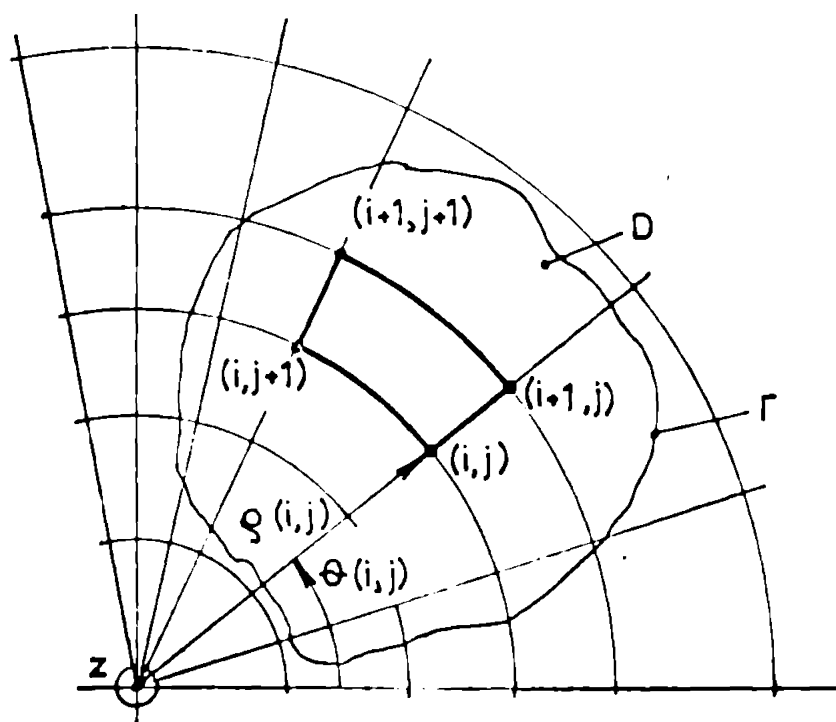


Fig.1.1.

1.1). S-a evidențiat în cadrul rețelei un element arbitrar; cu  $(i,j)$ ,  $(i+1,j)$ ,  $(i,j+1)$  și  $(i+1, j+1)$  s-au notat nodurile rețelei care reprezintă puncte de colț ale elementului evidențiat. Elementul evidențiat va fi identificat în continuare prin nodul  $(i,j)$ . Mărimile care se referă la element vor fi raportate la nodul de identificare, literele  $i$  și  $j$  înlocuindu-se cu literele  $I$  și  $J$ .

În cadrul metodei se presupune că valorile componentelor lui  $\vec{H}$  și  $\vec{B}$  variază liniar de-a lungul laturilor unui element. Forma integrală a legii circuitului magnetic scrisă pentru elementul din fig.1.2.a este [18, 25, 27, 29, 39]:

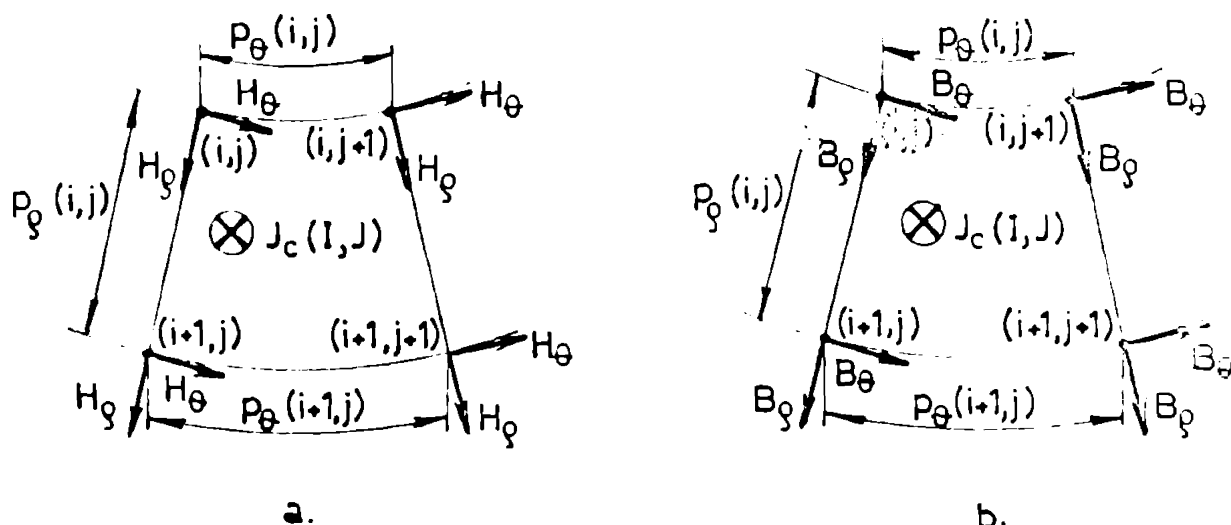


Fig.1.2.

$$\begin{aligned} & \frac{1}{2} P_\theta(i, j) [H_\theta(i, j) + H_\theta(i, j+1)] + \frac{1}{2} P_\phi(i, j) [H_\phi(i, j+1) + \\ & + H_\phi(i+1, j+1)] + \frac{1}{2} P_\theta(i+1, j) [-H_\theta(i+1, j) - H_\theta(i+1, j+1)] + \\ & + \frac{1}{2} P_\phi(i, j) [-H_\phi(i, j) - H_\phi(i+1, j)] = J_c(I, J) A(I, J). \end{aligned} \quad (1.7)$$

În relația (1.7)  $J_c(I, J)$  este densitatea curentului de conducție perpendicular pe suprafața elementului evidențiat și uniform distribuit pe aria  $A(I, J)$  a lui. Forma integrală a legii fluxului magnetic scrisă pentru suprafața închisă a unui corp care are drept baze plan paralele elementul din fig.1.2.b și înălțimea care se reduce în cazul unui câmp plan paralel situat în planul bazelor, la integrala pe suprafața laterală a acestui corp și este [18, 27, 29, 33, 51]:

*Handwritten note:* 188 7-11-2000



$$\begin{aligned} & \frac{1}{2} p_{\theta}(i, j) [B_{\varphi}(i, j) + B_{\varphi}(i, j+1)] + \frac{1}{2} p_{\varphi}(i, j) [-B_{\theta}(i, j+1) - \\ & - B_{\theta}(i+1, j+1)] + \frac{1}{2} p_{\theta}(i+1, j) [-B_{\varphi}(i+1, j) - B_{\varphi}(i+1, j+1)] + \\ & + \frac{1}{2} p_{\varphi}(i, j) [B_{\theta}(i, j) + B_{\theta}(i+1, j)] = 0. \end{aligned} \quad (1.8)$$

Pentru pași  $p_{\varphi}(i, j)$ ,  $p_{\theta}(i, j)$  și  $p_{\theta}(i+1, j)$  ai rețelei de discretizare suficient de mici, finiți, relațiile (1.7, 1.8) sînt aproximativ echivalente cu relațiile (1.3, 1.4). Aproximarea este cu atît mai bună cu cît acești pași sînt mai mici.

Se introduc notațiile:

$$\begin{aligned} E_H(I, J) = & p_{\varphi}(i, j) [-H_{\varphi}(i, j) - H_{\varphi}(i+1, j) + H_{\varphi}(i, j+1) + H_{\varphi}(i+1, j+1)] + \\ & + p_{\theta}(i, j) [H_{\theta}(i, j) + H_{\theta}(i, j+1)] + p_{\theta}(i+1, j) [-H_{\theta}(i+1, j) - \\ & - H_{\theta}(i+1, j+1)] - 2J_c(I, J)A(I, J), \end{aligned} \quad (1.9)$$

$$\begin{aligned} E_B(I, J) = & p_{\theta}(i, j) [B_{\varphi}(i, j) + B_{\varphi}(i, j+1)] + p_{\theta}(i+1, j) [-B_{\varphi}(i+1, j) - \\ & - B_{\varphi}(i+1, j+1)] + p_{\varphi}(i, j) [B_{\theta}(i, j) + B_{\theta}(i+1, j) - B_{\theta}(i, j+1) - \\ & - B_{\theta}(i+1, j+1)], \end{aligned} \quad (1.10)$$

Erorile  $E_H(I, J)$  și  $E_B(I, J)$  avînd semnificația unor erori.

Ecuațiile (1.7, 1.8) sînt satisfăcute dacă:

$$E_H(I, J) = 0, \quad (1.11)$$

$$E_B(I, J) = 0. \quad (1.12)$$

Calculul cimpului magnetic se reduce la rezolvarea unui sistem de ecuații care conține:

- ecuațiile cu diferențe finite liniare de forma (1.11, 1.12) pentru fiecare element;

- ecuațiile neliniare în cazul general care provin din funcția (1.2) scrisă scalar:

$$\left. \begin{aligned} B_{\varphi} &= \mu H_{\varphi} \\ B_{\theta} &= \mu H_{\theta} \end{aligned} \right\}, \quad (1.13)$$

pentru fiecare nod;

- ecuațiile liniare de forma (1.5) sau (1.6) pentru fiecare nod de frontieră.

Necunoscutele în cadrul sistemului de ecuații sînt valorile componentelor  $H_{\varphi}$ ,  $H_{\theta}$ ,  $B_{\varphi}$  și  $B_{\theta}$  în fiecare nod al rețelei de

4 8 13  
30

discretizare din domeniul de calcul D al câmpului magnetic.

### 1.2.3. Considerarea proprietăților magnetice

Proprietățile magnetice ale mediilor care fac parte din domeniul D de calcul intervin în ecuațiile (1.13).

În nodurile plasate în mediu liniar, de permeabilitate

$\mu_l$ :

$$\left. \begin{aligned} B_{\varphi} &= \mu_l H_{\varphi} \\ B_{\theta} &= \mu_l H_{\theta} \end{aligned} \right\} \quad (1.14)$$

În nodurile plasate în mediu neliniar trebuie aproximată dependența  $B=f(H)$  printr-o expresie analitică corespunzătoare [6, 23, 27, 45], care să permită calculul funcțiilor  $\mu(H)$ ,  $\frac{1}{\mu}(B)$ ,  $\frac{\partial \mu}{\partial H}(H)$ ,  $\frac{\partial(1/\mu)}{\partial B}(B)$ , ce se vor utiliza în continuare în cadrul metodei. Funcțiile de mai sus se vor evalua, folosind valorile lui H și B calculate în fiecare nod plasat în mediu neliniar cu relațiile:

$$H = \sqrt{H_{\varphi}^2 + H_{\theta}^2} \quad (1.15)$$

$$B = \sqrt{B_{\varphi}^2 + B_{\theta}^2} \quad (1.16)$$

### 1.2.4. Rezolvarea iterativă a sistemului de ecuații cu diferențe finite

Pentru rezolvarea sistemului de ecuații (1.11 - 1.13) și (1.5) sau (1.6) se utilizează procedeul iterativ descris mai jos și aplicat în [7, 27, 29] pentru rețele de discretizare de alte tipuri.

În fiecare nod se dau valorile inițiale ale necunoscute-  
lor  $H_{\varphi}$ ,  $H_{\theta}$ ,  $B_{\varphi}$  și  $B_{\theta}$ ; acestea pot fi valori arbitrare care sa-  
tisfac ecuațiile (1.13) și (1.5) sau (1.6). Necunoscutele se ite-  
rează pe întreg domeniul de calcul D, conform unor relații spe-  
ciale, în cadrul fiecărei iterații parcurgându-se două etape.  
Fie  $H_{\varphi}^i$ ,  $H_{\theta}^i$ ,  $B_{\varphi}^i$  și  $B_{\theta}^i$  valorile necunoscutele la începutul unei  
etape și  $H_{\varphi}^{i+1}$ ,  $H_{\theta}^{i+1}$ ,  $B_{\varphi}^{i+1}$  și  $B_{\theta}^{i+1}$  valorile necunoscutele la sfârșitul

etapei respective. In cadrul fiecărei iterații se parcurg în mod succesiv următorii pași:

I. Etapa 1 de iterare în raport cu  $E_H$ :

1. Se determină eroarea  $E_H(I, J)$  cu relația:

$$E_H(I, J) = p_{\varphi}(i, j) [-H_{\varphi}^i(i, j) - H_{\varphi}^i(i+1, j) + H_{\varphi}^i(i, j+1) + H_{\varphi}^i(i+1, j+1)] + \\ + p_{\theta}(i, j) [H_{\theta}^i(i, j) + H_{\theta}^i(i, j+1)] + p_{\theta}(i+1, j) [-H_{\theta}^i(i+1, j) - \\ - H_{\theta}^i(i+1, j+1)] - 2J_c(I, J)A(I, J) . \quad (1.17)$$

2. Se calculează corecțiile care se vor aplica valorilor inițiale  $B_{\varphi}^i$  și  $B_{\theta}^i$  în cadrul etapei 1:

$$\left. \begin{aligned} \Delta B_{\varphi}(i, j) &= \frac{p_{\varphi}(i, j)}{P(I, J)} \Delta B(I, J) \\ \Delta B_{\theta}(i, j) &= \frac{p_{\theta}(i, j)}{P(I, J)} \Delta B(I, J) \\ \Delta B_{\theta}(i+1, j) &= \frac{p_{\theta}(i+1, j)}{P(I, J)} \Delta B(I, J) \end{aligned} \right\} \quad (1.18)$$

unde:

$$P(I, J) = \sqrt[4]{p_{\varphi}^2(i, j) \cdot p_{\theta}(i, j) p_{\theta}(i+1, j)} \quad (1.19)$$

și

$$\Delta B(I, J) = \frac{E_H(I, J)}{R_H(I, J)} . \quad (1.20)$$

Calculul mǎsimii  $R_H(I, J)$  va fi tratat în paragraful 1.2.6.

3. Se calculează valorile necunoscutele  $B_{\varphi}''$  și  $B_{\theta}''$  din nodurile ce constituie puncte de colț ale elementului asupra căruia se face iterația, cu relațiile:

$$\left. \begin{aligned} B_{\varphi}''(i, j) &= B_{\varphi}^i(i, j) + \Delta B_{\varphi}(i, j) \\ B_{\varphi}''(i+1, j) &= B_{\varphi}^i(i+1, j) + \Delta B_{\varphi}(i, j) \\ B_{\varphi}''(i, j+1) &= B_{\varphi}^i(i, j+1) - \Delta B_{\varphi}(i, j) \\ B_{\varphi}''(i+1, j+1) &= B_{\varphi}^i(i+1, j+1) - \Delta B_{\varphi}(i, j) \\ B_{\theta}''(i, j) &= B_{\theta}^i(i, j) - \Delta B_{\theta}(i, j) \\ B_{\theta}''(i, j+1) &= B_{\theta}^i(i, j+1) - \Delta B_{\theta}(i, j) \end{aligned} \right\} \quad (1.21)$$

$$\left. \begin{aligned} B''_{\Theta}(i+1, j) &= B'_{\Theta}(i+1, j) + \Delta B_{\Theta}(i+1, j) \\ B''_{\Theta}(i+1, j+1) &= B'_{\Theta}(i+1, j+1) + \Delta B_{\Theta}(i+1, j) \end{aligned} \right\}$$

4. Se calculează valorile necunoscuteleor  $H''_{\Theta}$  și  $H''_{\Theta}$  în aceleași noduri ca la punctul precedent. Pentru noduri plasate în mediu liniar:

$$\left. \begin{aligned} H''_{\Theta} &= \frac{B''_{\Theta}}{\mu_l} \\ H''_{\Theta} &= \frac{B''_{\Theta}}{\mu_l} \end{aligned} \right\} \quad (1.22)$$

iar pentru noduri plasate în mediu neliniar:

$$\left. \begin{aligned} H''_{\Theta} &= B''_{\Theta} \frac{1}{\mu} (B'') \\ H''_{\Theta} &= B''_{\Theta} \frac{1}{\mu} (B'') \end{aligned} \right\} \quad (1.23)$$

II. Etapa 2 de iterare în raport cu  $E_B$ :

1. Se determină eroarea  $E_B(I, J)$  cu relația:

$$\begin{aligned} E_B(I, J) &= p_{\Theta}(i, j) [B'_{\Theta}(i, j) + B'_{\Theta}(i, j+1)] + p_{\Theta}(i+1, j) [-B'_{\Theta}(i+1, j) - \\ &- B'_{\Theta}(i+1, j+1)] + p_{\Theta}(i, j) [B'_{\Theta}(i, j) + B'_{\Theta}(i+1, j) - B'_{\Theta}(i, j+1) - \\ &- B'_{\Theta}(i+1, j+1)] \quad (1.24) \end{aligned}$$

2. Se calculează corecțiile care se vor aplica valorilor inițiale  $H'_{\Theta}$  și  $H'_{\Theta}$  în cadrul etapei 2:

$$\left. \begin{aligned} \Delta H_{\Theta}(i, j) &= \frac{p_{\Theta}(i, j)}{P(I, J)} \Delta H(I, J) \\ \Delta H_{\Theta}(i+1, j) &= \frac{p_{\Theta}(i+1, j)}{P(I, J)} \Delta H(I, J) \\ \Delta H_{\Theta}(i, j) &= \frac{p_{\Theta}(i, j)}{P(I, J)} \Delta H(I, J) \end{aligned} \right\} \quad (1.25)$$

unde  $P(I, J)$  este dat de relația (1.19), iar:

$$\Delta H(I, J) = \frac{E_B(I, J)}{R_B(I, J)} \quad (1.26)$$

Calculul mărimii  $R_B(I, J)$  va fi de asemenea tratat în paragraful 1.2.6.

3. Se calculează valorile necunoscutele  $H_Q''$  și  $H_\Theta''$  din nodurile ce constituie puncte de colț ale elementului asupra cărui se face iterarea, cu relațiile:

$$\left. \begin{aligned} H_Q''(i,j) &= H_Q'(i,j) - \Delta H_Q(i,j) \\ H_Q''(i,j+1) &= H_Q'(i,j+1) - \Delta H_Q(i,j) \\ H_Q''(i+1,j) &= H_Q'(i+1,j) + \Delta H_Q(i+1,j) \\ H_Q''(i+1,j+1) &= H_Q'(i+1,j+1) + \Delta H_Q(i+1,j) \\ H_\Theta''(i,j) &= H_\Theta'(i,j) - \Delta H_\Theta(i,j) \\ H_\Theta''(i+1,j) &= H_\Theta'(i+1,j) - \Delta H_\Theta(i,j) \\ H_\Theta''(i,j+1) &= H_\Theta'(i,j+1) + \Delta H_\Theta(i,j) \\ H_\Theta''(i+1,j+1) &= H_\Theta'(i+1,j+1) + \Delta H_\Theta(i,j) \end{aligned} \right\} \quad (1.27)$$

4. Se calculează valorile necunoscutele  $B_Q''$  și  $B_\Theta''$  în aceleași noduri ca la punctul precedent. Pentru noduri plasate în mediu liniar:

$$\left. \begin{aligned} B_Q'' &= \mu_l H_Q'' \\ B_\Theta'' &= \mu_l H_\Theta'' \end{aligned} \right\} \quad (1.28)$$

iar pentru noduri plasate în mediu neliniar:

$$\left. \begin{aligned} B_Q'' &= H_Q'' \cdot \mu(H'') \\ B_\Theta'' &= H_\Theta'' \cdot \mu(H'') \end{aligned} \right\} \quad (1.29)$$

Iterarea conform relațiilor (1.17 - 1.29) se efectuează pentru toate elementele rețelei. Pentru elementele care au puncte de colț pe frontiera  $\Gamma$ , după aplicarea relațiilor (1.21), componentele lui  $\bar{E}$  care conform condiției (1.5) trebuie să fie nule, se anulează. De asemenea pentru elementele care au puncte de colț pe frontiera  $\Gamma$ , după aplicarea relațiilor (1.27), componentele lui  $\bar{H}$ , care conform condiției (1.6) trebuie să fie nule, se anulează.

Procedeu de calcul pe baza cărui se va concepe algoritmul de calcul este următorul: iterarea se efectuează prin baleajerea ordonată a elementelor, reținându-se cele mai mari valori  $|E_B(I,J)|$  și  $|E_B(I,J)|$ , notate cu  $E_{Hmax}$ , respectiv  $E_{Bmax}$ , obținute la o baleiere completă. La sfârșitul fiecărei iterații se verifică dacă:

$$E_{Hmax} < E_{HMAX} , \quad (1.30)$$

$$E_{Bmax} < E_{BMAX} , \quad (1.31)$$

unde  $E_{HMAX}$ , respectiv  $E_{BMAX}$  sînt limitele maxime admise pentru  $E_{Hmax}$  și  $E_{Bmax}$ . Dacă relațiile (1.30, 1.31) sînt satisfăcute se consideră procesul iterativ de calcul terminat; în caz contrar se repetă iterarea prin baleierea ordonată a elementelor. Soluția problemei de cîmp este constituită din mulțimea valorilor componentelor lui  $\bar{H}$  și  $\bar{B}$ , în toate nodurile, de la sfîrșitul ultimei iterații.

### 1.2.5. Demonstrarea convergenței metodei

Fie  $H_Q, H_\Theta, B_Q$  și  $B_\Theta$  valorile finale ale necunoscutelor, într-un nod oarecare, valori care satisfac sistemul de ecuații (1.11 - 1.13) și (1.5) sau (1.6). Se consideră că într-un moment oarecare al calculului necunoscutele au valorile  $H_Q+h_Q, H_\Theta+h_\Theta, B_Q+b_Q$  și  $B_\Theta+b_\Theta$ , unde  $h_Q, h_\Theta, b_Q$  și  $b_\Theta$  sînt erorile ce afectează valorile necunoscutelor în momentul considerat. Aplicînd formula creșterilor finite /2, 59/ și reținînd termenii de ordinul întâi, se pot scrie relațiile:

$$\left. \begin{aligned} h_Q &= \frac{\partial H_Q}{\partial B_Q} b_Q + \frac{\partial H_Q}{\partial B_\Theta} b_\Theta \\ h_\Theta &= \frac{\partial H_\Theta}{\partial B_Q} b_Q + \frac{\partial H_\Theta}{\partial B_\Theta} b_\Theta \end{aligned} \right\} , \quad (1.32)$$

$$\left. \begin{aligned} b_Q &= \frac{\partial B_Q}{\partial H_Q} h_Q + \frac{\partial B_Q}{\partial H_\Theta} h_\Theta \\ b_\Theta &= \frac{\partial B_\Theta}{\partial H_Q} h_Q + \frac{\partial B_\Theta}{\partial H_\Theta} h_\Theta \end{aligned} \right\} . \quad (1.33)$$

Derivatele parțiale din (1.32, 1.33) se calculează pe baza relațiilor (1.13) care descriu proprietățile magnetice ale mediului în nod.

Forma funcțiilor (1.13) corespunzătoare unui mediu nelinear izotrop permite scrierea relațiilor:

$$\frac{\partial H_Q}{\partial B_\Theta} = \frac{\partial H_\Theta}{\partial B_Q} , \quad (1.34)$$

$$\frac{\partial B_Q}{\partial H_\Theta} = \frac{\partial B_\Theta}{\partial H_Q} , \quad (1.35)$$

în nodurile rețelei aflate în mediu neliniar.

Se calculează o eroare globală referitoare la etapa 1 de iterare în raport cu  $E_H$ , pentru elementul identificat prin punctul de colț  $(i,j)$ , definită prin relația:

$$E_{HG}(I,J) = \sum_1^4 (h_{\varphi} b_{\varphi} + h_{\theta} b_{\theta}) , \quad (1.36)$$

în care suma se efectuează asupra celor patru puncte de colț ale elementului. Prin urmare, la începutul etapei 1 de iterare se poate scrie:

$$E'_{HG}(I,J) = \sum_1^4 (h'_{\varphi} b'_{\varphi} + h'_{\theta} b'_{\theta}) , \quad (1.37)$$

iar la sfârșitul etapei 1:

$$E''_{HG}(I,J) = \sum_1^4 (h''_{\varphi} b''_{\varphi} + h''_{\theta} b''_{\theta}) .$$

Procesul iterativ corespunzător etapei 1 este convergent pentru:

$$E'_{HG}(I,J) - E''_{HG}(I,J) > 0 . \quad (1.38)$$

În continuare se stabilesc condițiile în care relația (1.38) este satisfăcută.

Pe baza relațiilor (1.21) se poate scrie:

$$\left. \begin{aligned} b''_{\varphi}(i,j) &= b'_{\varphi}(i,j) + \Delta B_{\varphi}(i,j) \\ b''_{\varphi}(i+1,j) &= b'_{\varphi}(i+1,j) + \Delta B_{\varphi}(i,j) \\ b''_{\varphi}(i,j+1) &= b'_{\varphi}(i,j+1) - \Delta B_{\varphi}(i,j) \\ b''_{\varphi}(i+1,j+1) &= b'_{\varphi}(i+1,j+1) - \Delta B_{\varphi}(i,j) \\ b''_{\theta}(i,j) &= b'_{\theta}(i,j) - \Delta B_{\theta}(i,j) \\ b''_{\theta}(i,j+1) &= b'_{\theta}(i,j+1) - \Delta B_{\theta}(i,j) \\ b''_{\theta}(i+1,j) &= b'_{\theta}(i+1,j) + \Delta B_{\theta}(i+1,j) \\ b''_{\theta}(i+1,j+1) &= b'_{\theta}(i+1,j+1) + \Delta B_{\theta}(i+1,j) \end{aligned} \right\} \quad (1.39)$$

De asemenea, pe baza relațiilor (1.32, 1.39) rezultă:



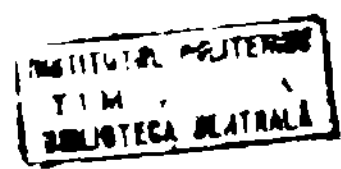
$$\begin{aligned}
 h''_{\varrho}(i, j) &= h'_{\varrho}(i, j) + \Delta B_{\varrho}(i, j) \frac{\partial H_{\varrho}}{\partial B_{\varrho}}(i, j) - \Delta B_{\theta}(i, j) \frac{\partial H_{\varrho}}{\partial B_{\theta}}(i, j) \\
 h''_{\varrho}(i+1, j) &= h'_{\varrho}(i+1, j) + \Delta B_{\varrho}(i, j) \frac{\partial H_{\varrho}}{\partial B_{\varrho}}(i+1, j) + \Delta B_{\theta}(i+1, j) \frac{\partial H_{\varrho}}{\partial B_{\theta}}(i+1, j) \\
 h''_{\varrho}(i, j+1) &= h'_{\varrho}(i, j+1) - \Delta B_{\varrho}(i, j) \frac{\partial H_{\varrho}}{\partial B_{\varrho}}(i, j+1) - \Delta B_{\theta}(i, j) \frac{\partial H_{\varrho}}{\partial B_{\theta}}(i, j+1) \\
 h''_{\varrho}(i+1, j+1) &= h'_{\varrho}(i+1, j+1) - \Delta B_{\varrho}(i, j) \frac{\partial H_{\varrho}}{\partial B_{\varrho}}(i+1, j+1) + \Delta B_{\theta}(i+1, j) \frac{\partial H_{\varrho}}{\partial B_{\theta}}(i+1, j+1) \\
 h''_{\theta}(i, j) &= h'_{\theta}(i, j) + \Delta B_{\varrho}(i, j) \frac{\partial H_{\theta}}{\partial B_{\varrho}}(i, j) - \Delta B_{\theta}(i, j) \frac{\partial H_{\theta}}{\partial B_{\theta}}(i, j) \\
 h''_{\theta}(i, j+1) &= h'_{\theta}(i, j+1) - \Delta B_{\varrho}(i, j) \frac{\partial H_{\theta}}{\partial B_{\varrho}}(i, j+1) - \Delta B_{\theta}(i, j) \frac{\partial H_{\theta}}{\partial B_{\theta}}(i, j+1) \\
 h''_{\theta}(i+1, j) &= h'_{\theta}(i+1, j) + \Delta B_{\varrho}(i, j) \frac{\partial H_{\theta}}{\partial B_{\varrho}}(i+1, j) + \Delta B_{\theta}(i+1, j) \frac{\partial H_{\theta}}{\partial B_{\theta}}(i+1, j) \\
 h''_{\theta}(i+1, j+1) &= h'_{\theta}(i+1, j+1) - \Delta B_{\varrho}(i, j) \frac{\partial H_{\theta}}{\partial B_{\varrho}}(i+1, j+1) + \Delta B_{\theta}(i+1, j) \frac{\partial H_{\theta}}{\partial B_{\theta}}(i+1, j+1)
 \end{aligned}
 \tag{1.40}$$

Tinând cont de relațiile (1.18, 1.32, 1.34, 1.39, 1.40) se poate scrie diferența  $F'_{HG} - F''_{HG}$  calculată pentru nodul  $(i, j)$  sub forma:

$$\begin{aligned}
 F'_{HG}(i, j) - F''_{HG}(i, j) &= -2\Delta B_{\varrho}(i, j)h'_{\varrho}(i, j) + 2\Delta B_{\theta}(i, j)h'_{\theta}(i, j) - \\
 &- \Delta B_{\varrho}^2(i, j) \frac{\partial H_{\varrho}}{\partial B_{\varrho}}(i, j) - \Delta B_{\theta}^2(i, j) \frac{\partial H_{\theta}}{\partial B_{\theta}}(i, j) + \\
 &+ 2\Delta B_{\varrho}(i, j) \Delta B_{\theta}(i, j) \frac{\partial H_{\varrho}}{\partial B_{\theta}}(i, j) .
 \end{aligned}
 \tag{1.41}$$

In mod similar se deduc pentru celelalte trei noduri relațiile:

$$\begin{aligned}
 F'_{HG}(i+1, j) - F''_{HG}(i+1, j) &= -2\Delta B_{\varrho}(i, j)h'_{\varrho}(i+1, j) - \\
 &- 2\Delta B_{\theta}(i+1, j)h'_{\theta}(i+1, j) - \Delta B_{\varrho}^2(i, j) \frac{\partial H_{\varrho}}{\partial B_{\varrho}}(i+1, j) - \\
 &- \Delta B_{\theta}^2(i+1, j) \frac{\partial H_{\theta}}{\partial B_{\theta}}(i+1, j) - 2\Delta B_{\varrho}(i, j)\Delta B_{\theta}(i+1, j) \cdot \\
 &\cdot \frac{\partial H_{\varrho}}{\partial B_{\theta}}(i+1, j) ,
 \end{aligned}
 \tag{1.42}$$



$$E'_{HG}(i, j+1) - E''_{HG}(i, j+1) = 2\Delta B_{\varrho}(i, j)h'_{\varrho}(i, j+1) +$$

$$+ 2\Delta B_{\theta}(i, j)h'_{\theta}(i, j+1) - \Delta B_{\varrho}^2(i, j) \frac{\partial H_{\varrho}}{\partial B_{\varrho}}(i, j+1) -$$

$$- \Delta B_{\theta}^2(i, j) \frac{\partial H_{\theta}}{\partial B_{\theta}}(i, j+1) - 2\Delta B_{\varrho}(i, j)\Delta B_{\theta}(i, j) \frac{\partial H_{\varrho}}{\partial B_{\theta}}(i, j+1), \quad (1.43)$$

$$E'_{HG}(i+1, j+1) - E''_{HG}(i+1, j+1) = 2\Delta B_{\varrho}(i, j)h'_{\varrho}(i+1, j+1) -$$

$$- 2\Delta B_{\theta}(i+1, j)h'_{\theta}(i+1, j+1) - \Delta B_{\varrho}^2(i, j) \frac{\partial H_{\varrho}}{\partial B_{\varrho}}(i+1, j+1) -$$

$$- \Delta B_{\theta}^2(i+1, j) \frac{\partial H_{\theta}}{\partial B_{\theta}}(i+1, j+1) + 2\Delta B_{\varrho}(i, j)\Delta B_{\theta}(i+1, j) \cdot$$

$$\cdot \frac{\partial H_{\theta}}{\partial B_{\theta}}(i+1, j+1). \quad (1.44)$$

Având în vedere că:

$$E_H(I, J) = p_{\varrho}(i, j) [-h'_{\varrho}(i, j) - h'_{\varrho}(i+1, j) + h'_{\varrho}(i, j+1) + h'_{\varrho}(i+1, j+1)] +$$

$$+ p_{\theta}(i, j) [h'_{\theta}(i, j) + h'_{\theta}(i, j+1)] + p_{\theta}(i+1, j) [-h'_{\theta}(i+1, j) -$$

$$- h'_{\theta}(i+1, j+1)] \quad (1.45)$$

și ținând cont de relația (1.20), prin însumarea relațiilor (1.41 - 1.44) rezultă:

$$E'_{HG}(I, J) - E''_{HG}(I, J) = \frac{E_H^2(I, J)}{P(I, J)R_H(I, J)} \left[ 2 - \frac{T_H(I, J)}{P(I, J)R_H(I, J)} \right], \quad (1.46)$$

unde:

$$T_H(I, J) = T_H(i, j) + T_H(i+1, j) + T_H(i, j+1) + T_H(i+1, j+1) \quad (1.47)$$

și:

$$T_H(i, j) = p_{\varrho}^2(i, j) \frac{\partial H_{\varrho}}{\partial B_{\varrho}}(i, j) - 2p_{\varrho}(i, j)p_{\theta}(i, j) \frac{\partial H_{\varrho}}{\partial B_{\theta}}(i, j) +$$

$$+ p_{\theta}^2(i, j) \frac{\partial H_{\theta}}{\partial B_{\theta}}(i, j)$$

$$T_H(i+1, j) = p_{\varrho}^2(i, j) \frac{\partial H_{\varrho}}{\partial B_{\varrho}}(i+1, j) + 2p_{\varrho}(i, j)p_{\theta}(i+1, j) \cdot$$

$$\cdot \frac{\partial H_{\theta}}{\partial B_{\theta}}(i+1, j) + p_{\theta}^2(i+1, j) \frac{\partial H_{\theta}}{\partial B_{\theta}}(i+1, j)$$

$$(1.48)$$

$$\begin{aligned}
 T_H(i, j+1) &= p_Q^2(i, j) \frac{\partial H_Q}{\partial B_Q}(i, j+1) + 2p_Q(i, j)p_\Theta(i, j) \cdot \\
 &\cdot \frac{\partial H_Q}{\partial B_\Theta}(i, j+1) + p_\Theta^2(i, j) \frac{\partial H_\Theta}{\partial B_\Theta}(i, j+1) \\
 T_H(i+1, j+1) &= p_Q^2(i, j) \frac{\partial H_Q}{\partial B_Q}(i+1, j+1) - 2p_Q(i, j) \cdot \\
 &\cdot p_\Theta(i+1, j) \frac{\partial H_Q}{\partial B_\Theta}(i+1, j+1) + p_\Theta^2(i+1, j) \frac{\partial H_\Theta}{\partial B_\Theta}(i+1, j+1)
 \end{aligned}$$

Din relația (1.46) rezultă că relația (1.38) este satisfăcută pentru  $E_H(I, J) \neq 0$ , cînd:

$$R_H(I, J) = k \frac{T_H(I, J)}{P(I, J)}, \quad (1.49)$$

cu  $k > 0,5$  în cazul  $R_H(I, J) > 0$ , sau  $k < 0,5$  în cazul  $R_H(I, J) < 0$ .

Pentru demonstrarea convergenței metodei în etapa 2 de iterare în raport cu  $E_B$ , se calculează o eroare globală referitoare la această etapă pentru un element identificat prin punctul de colț  $(i, j)$  cu relația:

$$E_{BG}(I, J) = \sum_1^4 (h_Q b_Q + h_\Theta b_\Theta) \quad (1.50)$$

La începutul etapei 2:

$$E'_{BG}(I, J) = \sum_1^4 (h'_Q b'_Q + h'_\Theta b'_\Theta), \quad (1.51)$$

iar la sfîrșitul etapei 2:

$$E''_{BG}(I, J) = \sum_1^4 (h''_Q b''_Q + h''_\Theta b''_\Theta) \quad (1.52)$$

Procesul iterativ corespunzător etapei 2 este convergent pentru:

$$E'_{BG}(I, J) - E''_{BG}(I, J) > 0. \quad (1.53)$$

În continuare se stabilesc condițiile în care relația (1.53) este îndeplinită.

Pe baza relațiilor (1.27) se poate scrie:

$$h''_Q(i, j) = h'_Q(i, j) - \Delta H_Q(i, j)$$

$$\left. \begin{aligned}
 h''_{\varphi}(i, j+1) &= h'_{\varphi}(i, j+1) - \Delta H_{\varphi}(i, j) \\
 h''_{\varphi}(i+1, j) &= h'_{\varphi}(i+1, j) + \Delta H_{\varphi}(i+1, j) \\
 h''_{\varphi}(i+1, j+1) &= h'_{\varphi}(i+1, j+1) + \Delta H_{\varphi}(i+1, j) \\
 h''_{\theta}(i, j) &= h'_{\theta}(i, j) - \Delta H_{\theta}(i, j) \\
 h''_{\theta}(i+1, j) &= h'_{\theta}(i+1, j) - \Delta H_{\theta}(i, j) \\
 h''_{\theta}(i, j+1) &= h'_{\theta}(i, j+1) + \Delta H_{\theta}(i, j) \\
 h''_{\theta}(i+1, j+1) &= h'_{\theta}(i+1, j+1) + \Delta H_{\theta}(i, j)
 \end{aligned} \right\} \cdot \quad (1.54)$$

De asemenea, pe baza relațiilor (1.33, 1.54) rezultă:

$$\left. \begin{aligned}
 b''_{\varphi}(i, j) &= b'_{\varphi}(i, j) - \Delta H_{\varphi}(i, j) \frac{\partial B_{\varphi}}{\partial H_{\varphi}}(i, j) - \Delta H_{\theta}(i, j) \frac{\partial B_{\varphi}}{\partial H_{\theta}}(i, j) \\
 b''_{\varphi}(i+1, j) &= b'_{\varphi}(i+1, j) + \Delta H_{\varphi}(i+1, j) \frac{\partial B_{\varphi}}{\partial H_{\varphi}}(i+1, j) - \Delta H_{\theta}(i, j) \frac{\partial B_{\varphi}}{\partial H_{\theta}}(i+1, j) \\
 b''_{\varphi}(i, j+1) &= b'_{\varphi}(i, j+1) - \Delta H_{\varphi}(i, j) \frac{\partial B_{\varphi}}{\partial H_{\varphi}}(i, j+1) + \Delta H_{\theta}(i, j) \frac{\partial B_{\varphi}}{\partial H_{\theta}}(i, j+1) \\
 b''_{\varphi}(i+1, j+1) &= b'_{\varphi}(i+1, j+1) + \Delta H_{\varphi}(i+1, j) \frac{\partial B_{\varphi}}{\partial H_{\varphi}}(i+1, j+1) + \Delta H_{\theta}(i, j) \frac{\partial B_{\varphi}}{\partial H_{\theta}}(i+1, j+1) \\
 b''_{\theta}(i, j) &= b'_{\theta}(i, j) - \Delta H_{\varphi}(i, j) \frac{\partial B_{\theta}}{\partial H_{\varphi}}(i, j) - \Delta H_{\theta}(i, j) \frac{\partial B_{\theta}}{\partial H_{\theta}}(i, j) \\
 b''_{\theta}(i+1, j) &= b'_{\theta}(i+1, j) + \Delta H_{\varphi}(i+1, j) \frac{\partial B_{\theta}}{\partial H_{\varphi}}(i+1, j) - \Delta H_{\theta}(i, j) \frac{\partial B_{\theta}}{\partial H_{\theta}}(i+1, j) \\
 b''_{\theta}(i, j+1) &= b'_{\theta}(i, j+1) - \Delta H_{\varphi}(i, j) \frac{\partial B_{\theta}}{\partial H_{\varphi}}(i, j+1) + \Delta H_{\theta}(i, j) \frac{\partial B_{\theta}}{\partial H_{\theta}}(i, j+1) \\
 b''_{\theta}(i+1, j+1) &= b'_{\theta}(i+1, j+1) + \Delta H_{\varphi}(i+1, j) \frac{\partial B_{\theta}}{\partial H_{\varphi}}(i+1, j+1) + \Delta H_{\theta}(i, j) \frac{\partial B_{\theta}}{\partial H_{\theta}}(i+1, j+1)
 \end{aligned} \right\} \cdot (1.55)$$

Tinând cont de relațiile (1.25, 1.33, 1.35, 1.54, 1.55) se poate scrie diferența  $E'_{BG} - E''_{BG}$  calculată pentru nodul  $(i, j)$  sub forma:

$$\begin{aligned}
 E'_{BG}(i, j) - E''_{BG}(i, j) &= 2\Delta H_{\varphi}(i, j) b'_{\varphi}(i, j) + 2\Delta H_{\theta}(i, j) b'_{\theta}(i, j) - \\
 &- \Delta H_{\varphi}^2(i, j) \frac{\partial B_{\varphi}}{\partial H_{\varphi}}(i, j) - \Delta H_{\theta}^2(i, j) \frac{\partial B_{\theta}}{\partial H_{\theta}}(i, j) - \\
 &- 2\Delta H_{\varphi}(i, j) \Delta H_{\theta}(i, j) \frac{\partial B_{\varphi}}{\partial H_{\theta}}(i, j) . \quad (1.56)
 \end{aligned}$$

In mod similar se deduc pentru celelalte trei noduri relațiile:

$$\begin{aligned}
 E'_{BG}(i+1, j) - E''_{BG}(i+1, j) &= -2\Delta H_{\Theta}(i+1, j)b'_{\Theta}(i+1, j) + \\
 &+ 2\Delta H_{\Theta}(i, j)b'_{\Theta}(i+1, j) - \Delta H_{\Theta}^2(i+1, j) \frac{\partial B_{\Theta}}{\partial H_{\Theta}}(i+1, j) - \\
 &- \Delta H_{\Theta}^2(i, j) \frac{\partial B_{\Theta}}{\partial H_{\Theta}}(i+1, j) + 2\Delta H_{\Theta}(i+1, j)\Delta H_{\Theta}(i, j) \cdot \\
 &\cdot \frac{\partial B_{\Theta}}{\partial H_{\Theta}}(i+1, j) \quad , \quad (1.57)
 \end{aligned}$$

$$\begin{aligned}
 E'_{BG}(i, j+1) - E''_{BG}(i, j+1) &= 2\Delta H_{\Theta}(i, j)b'_{\Theta}(i, j+1) - \\
 &- 2\Delta H_{\Theta}(i, j)b'_{\Theta}(i, j+1) - \Delta H_{\Theta}^2(i, j) \frac{\partial B_{\Theta}}{\partial H_{\Theta}}(i, j+1) - \\
 &- \Delta H_{\Theta}^2(i, j) \frac{\partial B_{\Theta}}{\partial H_{\Theta}}(i, j+1) + 2\Delta H_{\Theta}(i, j)\Delta H_{\Theta}(i, j) \cdot \\
 &\cdot \frac{\partial B_{\Theta}}{\partial H_{\Theta}}(i, j+1) \quad , \quad (1.58)
 \end{aligned}$$

$$\begin{aligned}
 E'_{BG}(i+1, j+1) - E''_{BG}(i+1, j+1) &= -2\Delta H_{\Theta}(i+1, j)b'_{\Theta}(i+1, j+1) - \\
 &- 2\Delta H_{\Theta}(i, j)b'_{\Theta}(i+1, j+1) - \Delta H_{\Theta}^2(i+1, j) \frac{\partial B_{\Theta}}{\partial H_{\Theta}}(i+1, j+1) - \\
 &- \Delta H_{\Theta}^2(i, j) \frac{\partial B_{\Theta}}{\partial H_{\Theta}}(i+1, j+1) - 2\Delta H_{\Theta}(i+1, j)\Delta H_{\Theta}(i, j) \cdot \\
 &\cdot \frac{\partial B_{\Theta}}{\partial H_{\Theta}}(i+1, j+1) \quad . \quad (1.59)
 \end{aligned}$$

Scriind pe  $E_B(I, J)$  sub forma:

$$\begin{aligned}
 E_B(I, J) &= p_{\Theta}(i, j) [b'_{\Theta}(i, j) + b'_{\Theta}(i, j+1)] + p_{\Theta}(i+1, j) \cdot \\
 &\cdot [-b'_{\Theta}(i+1, j) - b'_{\Theta}(i+1, j+1)] + p_{\Theta}(i, j) [b'_{\Theta}(i, j) + \\
 &+ b'_{\Theta}(i+1, j) - b'_{\Theta}(i, j+1) - b'_{\Theta}(i+1, j+1)] \quad (1.60)
 \end{aligned}$$

și utilizând relația (1.26), rezultă prin însumarea relațiilor (1.57 - 1.60):

$$E'_{BG}(I, J) - E''_{BG}(I, J) = \frac{E_B^2(I, J)}{P(I, J)R_B(I, J)} \left[ 2 - \frac{T_B(I, J)}{P(I, J)R_H(I, J)} \right], \quad (1.61)$$

unde:

$$T_B(I, J) = T_B(i, j) + T_B(i, j+1) + T_B(i+1, j) + T_B(i+1, j+1) \quad (1.62)$$

și:

$$\left. \begin{aligned} T_B(i, j) &= p_Q^2(i, j) \frac{\partial B_Q}{\partial H_Q}(i, j) + 2p_Q(i, j)p_\Theta(i, j) \frac{\partial B_Q}{\partial H_\Theta}(i, j) + \\ &+ p_Q^2(i, j) \frac{\partial B_\Theta}{\partial H_\Theta}(i, j) \\ T_B(i+1, j) &= p_Q^2(i+1, j) \frac{\partial B_Q}{\partial H_Q}(i+1, j) - 2p_Q(i, j)p_\Theta(i+1, j) \cdot \\ &\cdot \frac{\partial B_Q}{\partial H_\Theta}(i+1, j) + p_Q^2(i, j) \frac{\partial B_\Theta}{\partial H_\Theta}(i+1, j) \\ T_B(i, j+1) &= p_Q^2(i, j) \frac{\partial B_Q}{\partial H_Q}(i, j+1) - 2p_Q(i, j)p_\Theta(i, j) \cdot \\ &\cdot \frac{\partial B_Q}{\partial H_\Theta}(i, j+1) + p_Q^2(i, j) \frac{\partial B_\Theta}{\partial H_\Theta}(i, j+1) \\ T_B(i+1, j+1) &= p_Q^2(i+1, j) \frac{\partial B_Q}{\partial H_Q}(i+1, j+1) + 2p_Q(i, j)p_\Theta(i+1, j) \cdot \\ &\cdot \frac{\partial B_Q}{\partial H_\Theta}(i+1, j+1) + p_Q^2(i, j) \frac{\partial B_\Theta}{\partial H_\Theta}(i+1, j+1) \end{aligned} \right\} (1.63)$$

Din relația (1.61) se observă că relația (1.53) este satisfăcută pentru  $E_B(I, J) \neq 0$ , când:

$$R_B(I, J) = k \frac{T_B(I, J)}{P(I, J)}, \quad (1.64)$$

cu  $k > 0,5$  în cazul  $R_B(I, J) > 0$ , sau  $k < 0,5$  în cazul  $R_B(I, J) < 0$ .

Satisfacerea condițiilor (1.49, 1.64) este necesară și suficientă pentru ca erorile globale  $E_{HG}(I, J)$  și  $E_{BG}(I, J)$  să scadă la fiecare iterare în raport cu  $T_H$  și  $E_B$ , în condiții în care  $S_H(I, J)$  și  $E_B(I, J)$  sînt nenule, ceea ce echivalează cu asigurarea convergenței procesului iterativ de calcul.

### 1.2.6. Calculul mărimilor $R_H(I, J)$ și $R_B(I, J)$

Mărimile  $R_H(I, J)$  și  $R_B(I, J)$  trebuie alese conform relațiilor (1.49, 1.64) astfel încît procesul iterativ de calcul să fie convergent, iar viteze de convergență cît mai mare posibilă.

În cazul general mărimile  $T_H(I,J)$  și  $T_B(I,J)$  care intervin în  $R_H(I,J)$  și  $R_B(I,J)$  vor fi diferite de la un element la altul, motiv pentru care  $R_H(I,J)$  și  $R_B(I,J)$  trebuiesc calculate pentru fiecare element, la fiecare iterare.

Deoarece în cadrul relațiilor (1.47, 1.62) se efectuează suma de egală pondere asupra a patru termeni ce se referă la cele patru puncte de colț a unui element, sînt posibile pentru elementul evidențiat în fig.1.3, care nu are nici o latură suprapusă peste frontiera domeniului  $D$ , trei situații de poziție, în ipoteza existenței în interiorul domeniului a două medii omogene cu proprietăți magnetice diferite. În fig.1.3.a toate cele patru puncte de colț ale elementului sînt situate în același mediu. În fig.1.3.b două puncte de colț sînt situate în mediul 1, celelalte două fiind situate în mediul 2. În sfîrșit în fig.1.3.c trei puncte de colț sînt situate în mediul 1, iar al patrulea în mediul 2.

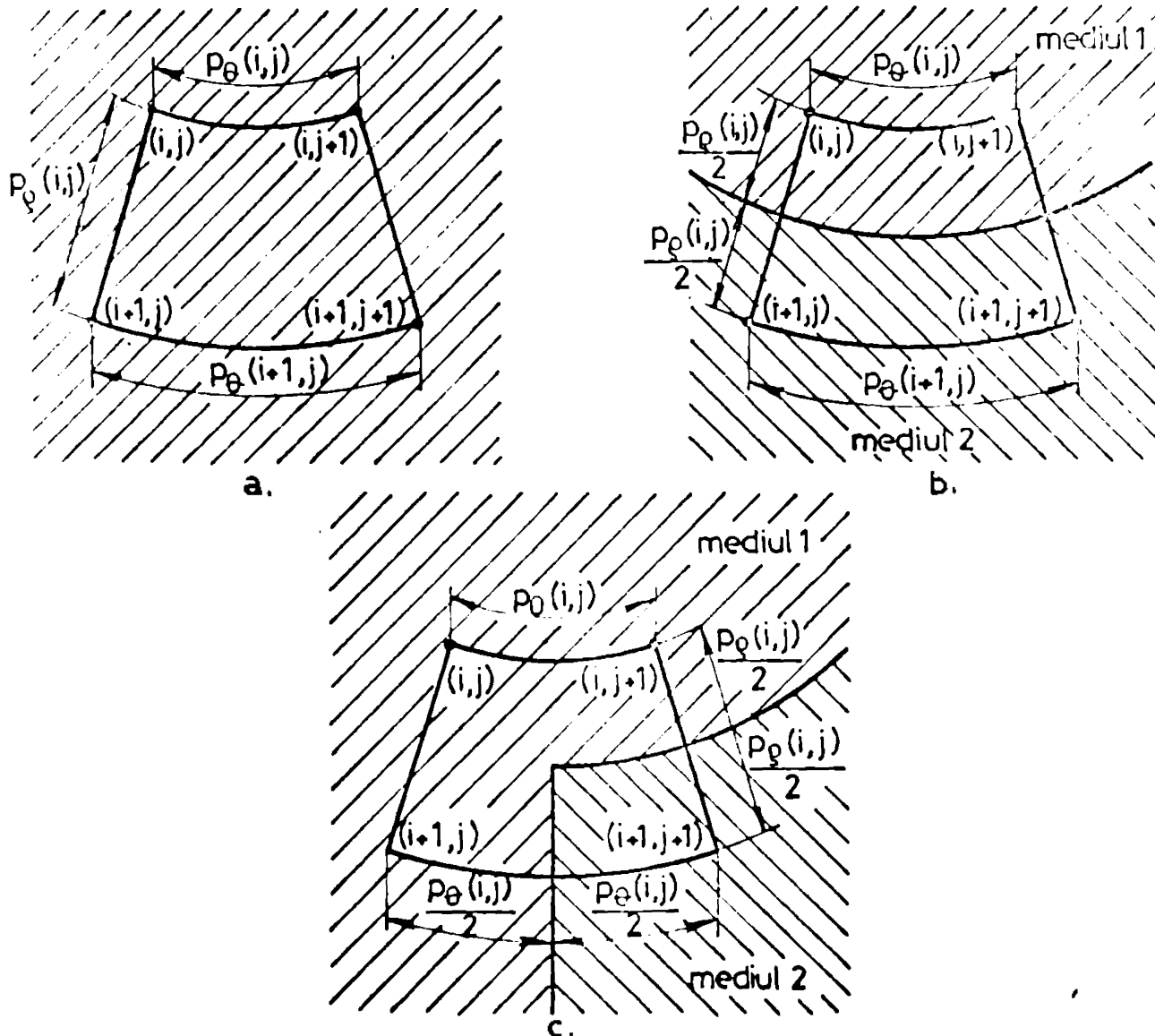


Fig. 1.3.



Pentru un element care are una sau două laturi suprapuse peste frontiera domeniului de calcul D (fig.1.4.a, 1.4.b) toate punctele de colț se vor considera situate în mediul 1, întrucât baleierea elementelor se face numai în interiorul domeniului D.

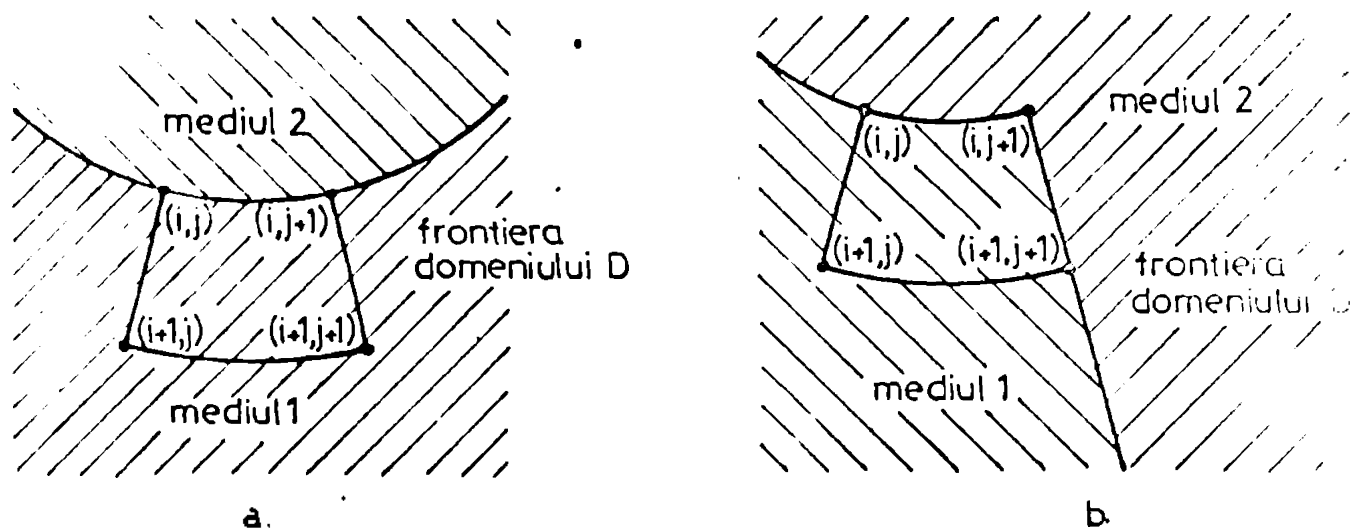


Fig.1.4.

Relațiile (1.48, 1.63) obțin forme particulare pentru noduri ale rețelei de discretizare situate pe porțiuni ale frontierei domeniului D, pe care sînt satisfăcute condițiile (1.5, 1.6). Dacă  $H_Q=0$ ,  $B_Q=0$ , atunci:

$$\left. \begin{aligned} T_H(1,j) &= p_Q^2(1,j) \frac{\partial H_Q}{\partial B_Q}(1,j) \\ T_H(1+1,j) &= p_Q^2(1+1,j) \frac{\partial H_Q}{\partial B_Q}(1+1,j) \\ T_H(1,j+1) &= p_Q^2(1,j) \frac{\partial H_Q}{\partial B_Q}(1,j+1) \\ T_H(1+1,j+1) &= p_Q^2(1+1,j) \frac{\partial H_Q}{\partial B_Q}(1+1,j+1) \end{aligned} \right\} (1.65)$$

și respectiv:

$$\left. \begin{aligned} T_B(1,j) &= p_Q^2(1,j) \frac{\partial B_Q}{\partial H_Q}(1,j) \\ T_B(1+1,j) &= p_Q^2(1+1,j) \frac{\partial B_Q}{\partial H_Q}(1+1,j) \\ T_B(1,j+1) &= p_Q^2(1,j+1) \frac{\partial B_Q}{\partial H_Q}(1,j+1) \end{aligned} \right\} (1.66)$$

$$T_B(i+1, j+1) = p_Q^2(i, j+1) \frac{\partial B_Q}{\partial H_Q}(i+1, j+1)$$

Dacă  $H_Q=0$ ,  $B_Q=0$  atunci:

$$T_H(i, j) = p_Q^2(i, j) \frac{\partial H_Q}{\partial B_Q}(i, j)$$

$$T_H(i+1, j) = p_Q^2(i, j) \frac{\partial H_Q}{\partial B_Q}(i+1, j)$$

$$T_H(i, j+1) = p_Q^2(i, j+1) \frac{\partial H_Q}{\partial B_Q}(i, j+1)$$

$$T_H(i+1, j+1) = p_Q^2(i, j+1) \frac{\partial H_Q}{\partial B_Q}(i+1, j+1)$$

(1.67)

și respectiv:

$$T_B(i, j) = p_Q^2(i, j) \frac{\partial B_Q}{\partial H_Q}(i, j)$$

$$T_B(i+1, j) = p_Q^2(i+1, j) \frac{\partial B_Q}{\partial H_Q}(i+1, j)$$

$$T_B(i, j+1) = p_Q^2(i, j) \frac{\partial B_Q}{\partial H_Q}(i, j+1)$$

$$T_B(i+1, j+1) = p_Q^2(i+1, j) \frac{\partial B_Q}{\partial H_Q}(i+1, j+1)$$

(1.68)

În sfârșit, dacă  $H_Q=H_Q=0$ ,  $B_Q=B_Q=0$ , atunci oricare ar fi poziția nodului:

$$T_H = 0 \quad (1.69)$$

și:

$$T_B = 0 \quad (1.70)$$

Derivatele parțiale care intervin în  $T_H(I, J)$  și  $T_B(I, J)$  se vor calcula cu valorile cunoscute în momentul considerat al calculului, pentru componentele  $H_Q$ ,  $H_Q$ ,  $B_Q$  și  $B_Q$  în cele patru puncte de colț ale elementului. Sînt posibile mai multe situații, funcție de mediul în care este plasat punctul de colț și de poziția lui în cadrul domeniului D.

#### I. Mediu liniar.

În acest caz sînt valabile relațiile:

$$\left. \begin{aligned} \frac{\partial H_Q}{\partial B_Q} = \frac{\partial H_Q}{\partial B_Q} = \frac{1}{\mu_l} \\ \frac{\partial B_Q}{\partial H_Q} = \frac{\partial B_Q}{\partial H_Q} = \mu_l \end{aligned} \right\} \quad (1.71)$$

$$\left. \begin{aligned} \frac{\partial H_Q}{\partial B_Q} = \frac{\partial H_Q}{\partial B_Q} = 0 \\ \frac{\partial B_Q}{\partial H_Q} = \frac{\partial B_Q}{\partial H_Q} = 0 \end{aligned} \right\} \quad (1.72)$$

1. Nod în care nu se impune o condiție de forma (1.5, 1.6).  
 Ținând cont de relațiile (1.71, 1.72), relațiile (1.48, 1.63) devin:

$$\left. \begin{aligned} T_H(1, j) &= [p_Q^2(1, j) + p_Q^2(1, j)] \frac{1}{\mu_l} \\ T_H(1+1, j) &= [p_Q^2(1, j) + p_Q^2(1+1, j)] \frac{1}{\mu_l} \\ T_H(1, j+1) &= [p_Q^2(1, j) + p_Q^2(1, j)] \frac{1}{\mu_l} \\ T_H(1+1, j+1) &= [p_Q^2(1, j) + p_Q^2(1+1, j)] \frac{1}{\mu_l} \end{aligned} \right\} \quad (1.73)$$

și:

$$\left. \begin{aligned} T_B(1, j) &= [p_Q^2(1, j) + p_Q^2(1, j)] \mu_l \\ T_B(1+1, j) &= [p_Q^2(1, j) + p_Q^2(1+1, j)] \mu_l \\ T_B(1, j+1) &= [p_Q^2(1, j) + p_Q^2(1, j)] \mu_l \\ T_B(1+1, j+1) &= [p_Q^2(1, j) + p_Q^2(1+1, j)] \mu_l \end{aligned} \right\} \quad (1.74)$$

2. Nod în care se impune o condiție de forma (1.5, 1.6),  
 astfel încît  $H_Q=0$ ,  $B_Q=0$ . Ținând seama de relațiile (1.71) relațiile (1.65, 1.66) devin:

$$\left. \begin{aligned} T_H(1, j) &= p_Q^2(1, j) \frac{1}{\mu_l} \\ T_H(1+1, j) &= p_Q^2(1+1, j) \frac{1}{\mu_l} \\ T_H(1, j+1) &= p_Q^2(1, j) \frac{1}{\mu_l} \\ T_H(1+1, j+1) &= p_Q^2(1+1, j) \frac{1}{\mu_l} \end{aligned} \right\} \quad (1.75)$$

și:

$$\left. \begin{aligned} T_B(i, j) &= p_Q^2(i, j) \mu_l \\ T_B(i+1, j) &= p_Q^2(i, j) \mu_l \\ T_B(i+1, j) &= p_Q^2(i, j) \mu_l \\ T_B(i+1, j+1) &= p_Q^2(i, j) \mu_l \end{aligned} \right\} \cdot \quad (1.76)$$

3. Nod în care se impune o condiție de forma (1.5, 1.6) astfel încît  $H_Q=0$ ,  $B_Q=0$ . Utilizînd relațiile (1.71) relațiile (1.67, 1.68) obținem formulele:

$$\left. \begin{aligned} T_H(i, j) &= p_Q^2(i, j) \frac{1}{\mu_l} \\ T_H(i+1, j) &= p_Q^2(i, j) \frac{1}{\mu_l} \\ T_H(i, j+1) &= p_Q^2(i, j) \frac{1}{\mu_l} \\ T_H(i+1, j+1) &= p_Q^2(i, j) \frac{1}{\mu_l} \end{aligned} \right\} \quad (1.77)$$

și:

$$\left. \begin{aligned} T_B(i, j) &= p_Q^2(i, j) \mu_l \\ T_B(i+1, j) &= p_Q^2(i+1, j) \mu_l \\ T_B(i, j+1) &= p_Q^2(i, j) \mu_l \\ T_B(i+1, j+1) &= p_Q^2(i+1, j) \mu_l \end{aligned} \right\} \cdot \quad (1.78)$$

## II. Mediu nelinier izotrop.

În acest caz sînt valabile relațiile:

$$\left. \begin{aligned} \frac{\partial H_Q}{\partial B_Q} &= \frac{\partial(B_Q/\mu)}{\partial B} \frac{\partial B}{\partial B_Q} = \frac{1}{\mu} + \frac{B_Q^2}{B} \frac{\partial(1/\mu)}{\partial B} \\ \frac{\partial H_Q}{\partial B_Q} &= \frac{\partial(B_Q/\mu)}{\partial B} \frac{\partial B}{\partial B_Q} = \frac{B_Q B_Q}{B} \frac{\partial(1/\mu)}{\partial B} \\ \frac{\partial H_Q}{\partial B_Q} &= \frac{\partial(B_Q/\mu)}{\partial B} \frac{\partial B}{\partial B_Q} = \frac{1}{\mu} + \frac{B_Q^2}{B} \frac{\partial(1/\mu)}{\partial B} \end{aligned} \right\} \quad (1.79)$$

și

$$\left. \begin{aligned} \frac{\partial H_{\varphi}}{\partial B_{\varphi}} &= \frac{\partial(B_{\varphi}/\mu)}{\partial B} \frac{\partial B}{\partial B_{\varphi}} = \frac{B_{\varphi} B_{\varphi}}{B} \frac{\partial(1/\mu)}{\partial B} \\ \frac{\partial B_{\varphi}}{\partial H_{\varphi}} &= \frac{\partial(\mu H_{\varphi})}{\partial H} \frac{\partial H}{\partial H_{\varphi}} = \mu + \frac{H_{\varphi}^2}{H} \frac{\partial \mu}{\partial H} \\ \frac{\partial B_{\theta}}{\partial H_{\theta}} &= \frac{\partial(\mu H_{\theta})}{\partial H} \frac{\partial H}{\partial H_{\theta}} = \frac{H_{\theta} H_{\theta}}{H} \frac{\partial \mu}{\partial H} \\ \frac{\partial B_{\theta}}{\partial H_{\theta}} &= \frac{\partial(\mu H_{\theta})}{\partial H} \frac{\partial H}{\partial H_{\theta}} = \mu + \frac{H_{\theta}^2}{H} \frac{\partial \mu}{\partial H} \\ \frac{\partial B_{\theta}}{\partial H_{\theta}} &= \frac{\partial(\mu H_{\theta})}{\partial H} \frac{\partial H}{\partial H_{\theta}} = \frac{H_{\theta} H_{\theta}}{H} \frac{\partial \mu}{\partial H} \end{aligned} \right\} \cdot (1.80)$$

1. Nod în care nu se impune o condiție de forma (1.5, 1.6).  
Cu considerarea relațiilor (1.79, 1.80) rezultă:

$$\left. \begin{aligned} T_H(i, j) &= [p_{\varphi}^2(i, j) + p_{\theta}^2(i, j)] \frac{1}{\mu}(i, j) + \\ &+ \frac{[-p_{\varphi}(i, j)B_{\varphi}(i, j) + p_{\theta}(i, j)B_{\theta}(i, j)]^2}{B(i, j)} \frac{\partial(1/\mu)}{\partial B}(i, j) \\ T_H(i+1, j) &= [p_{\varphi}^2(i, j) + p_{\theta}^2(i+1, j)] \frac{1}{\mu}(i+1, j) + \\ &+ \frac{[p_{\varphi}(i, j)B_{\varphi}(i+1, j) + p_{\theta}(i+1, j)B_{\theta}(i+1, j)]^2}{B(i+1, j)} \frac{\partial(1/\mu)}{\partial B}(i+1, j) \\ T_H(i, j+1) &= [p_{\varphi}^2(i, j) + p_{\theta}^2(i, j)] \frac{1}{\mu}(i, j+1) + \\ &+ \frac{[p_{\varphi}(i, j)B_{\varphi}(i, j+1) + p_{\theta}(i, j)B_{\theta}(i, j+1)]^2}{B(i, j+1)} \frac{\partial(1/\mu)}{\partial B}(i, j+1) \\ T_H(i+1, j+1) &= [p_{\varphi}^2(i, j) + p_{\theta}^2(i, j)] \frac{1}{\mu}(i, j+1) + \\ &+ \frac{[-p_{\varphi}(i, j)B_{\varphi}(i+1, j+1) + p_{\theta}(i+1, j)B_{\theta}(i+1, j+1)]^2}{B(i+1, j+1)} \cdot \\ &\cdot \frac{\partial(1/\mu)}{\partial B}(i+1, j+1) \end{aligned} \right\} (1.81)$$

și:

$$T_B(i, j) = [p_{\varphi}^2(i, j) + p_{\theta}^2(i, j)] \mu(i, j) +$$

$$\begin{aligned}
 & + \frac{[p_{\Theta}(i,j)H_{\Theta}(i,j)+p_{\Theta}(i,j)H_{\Theta}(i,j)]^2}{H(i,j)} \frac{\partial \mu}{\partial H}(i,j) \\
 T_B(i+1,j) &= [p_{\Theta}^2(i,j)+p_{\Theta}^2(i+1,j)] \mu(i+1,j)+ \\
 & + \frac{[p_{\Theta}(i,j)H_{\Theta}(i+1,j)-p_{\Theta}(i+1,j)H_{\Theta}(i+1,j)]^2}{H(i+1,j)} \frac{\partial \mu}{\partial H}(i+1,j) \\
 T_B(i,j+1) &= [p_{\Theta}^2(i,j)+p_{\Theta}^2(i,j)] \mu(i,j+1)+ \\
 & + \frac{[p_{\Theta}(i,j)H_{\Theta}(i,j+1)-p_{\Theta}(i,j)H_{\Theta}(i,j+1)]^2}{H(i,j+1)} \frac{\partial \mu}{\partial H}(i,j+1) \\
 T_B(i+1,j+1) &= [p_{\Theta}^2(i,j)+p_{\Theta}^2(i+1,j)] \mu(i+1,j+1)+ \\
 & + \frac{[p_{\Theta}(i,j)H_{\Theta}(i+1,j+1)+p_{\Theta}(i+1,j)H_{\Theta}(i+1,j+1)]^2}{H(i+1,j+1)} \cdot \\
 & \cdot \frac{\partial \mu}{\partial H}(i+1,j+1)
 \end{aligned} \quad \left. \vphantom{\begin{aligned} T_B(i+1,j) \\ T_B(i,j+1) \\ T_B(i+1,j+1) \end{aligned}} \right\} \cdot (1.82)$$

2. Nod în care se impune o condiție de forma (1.5, 1.6) astfel încît  $H_{\Theta}=0$ ,  $B_{\Theta}=0$ . Ținînd seama de relațiile (1.65, 1.66, 1.79, 1.80) rezultă:

$$\begin{aligned}
 T_H(i,j) &= p_{\Theta}^2(i,j) \left[ \frac{1}{\mu}(i,j) + \frac{B_{\Theta}^2(i,j)}{B(i,j)} \frac{\partial(1/\mu)}{\partial B}(i,j) \right] \\
 T_H(i+1,j) &= p_{\Theta}^2(i+1,j) \left[ \frac{1}{\mu}(i+1,j) + \frac{B_{\Theta}^2(i+1,j)}{B(i+1,j)} \frac{\partial(1/\mu)}{\partial B}(i+1,j) \right] \\
 T_H(i,j+1) &= p_{\Theta}^2(i,j) \left[ \frac{1}{\mu}(i,j+1) + \frac{B_{\Theta}^2(i,j+1)}{B(i,j+1)} \frac{\partial(1/\mu)}{\partial B}(i,j+1) \right] \\
 T_H(i+1,j+1) &= p_{\Theta}^2(i+1,j) \left[ \frac{1}{\mu}(i+1,j+1) + \frac{B_{\Theta}^2(i+1,j+1)}{B(i+1,j+1)} \cdot \right. \\
 & \left. \cdot \frac{\partial(1/\mu)}{\partial B}(i+1,j+1) \right]
 \end{aligned} \quad \left. \vphantom{\begin{aligned} T_H(i,j) \\ T_H(i+1,j) \\ T_H(i,j+1) \\ T_H(i+1,j+1) \end{aligned}} \right\} (1.83)$$

și respectiv:

$$\begin{aligned}
 T_B(i,j) &= p_{\Theta}^2(i,j) \left[ \mu(i,j) + \frac{H_{\Theta}^2(i,j)}{H(i,j)} \frac{\partial \mu}{\partial H}(i,j) \right] \\
 T_B(i+1,j) &= p_{\Theta}^2(i,j) \left[ \mu(i+1,j) + \frac{H_{\Theta}^2(i+1,j)}{H(i+1,j)} \frac{\partial \mu}{\partial H}(i+1,j) \right]
 \end{aligned} \quad \left. \vphantom{\begin{aligned} T_B(i,j) \\ T_B(i+1,j) \end{aligned}} \right\} \cdot (1.84)$$

$$\left. \begin{aligned} T_B(i, j+1) &= p_Q^2(i, j) \left[ \mu(i, j+1) + \frac{H_Q^2(i, j+1)}{H(i, j+1)} \frac{\partial \mu}{\partial H}(i, j+1) \right] \\ T_B(i+1, j+1) &= p_Q^2(i, j) \left[ \mu(i+1, j+1) + \frac{H_Q^2(i+1, j+1)}{H(i+1, j+1)} \frac{\partial \mu}{\partial H}(i+1, j+1) \right] \end{aligned} \right\}$$

3. Nod în care se impune o condiție de forma (1.5, 1.6) astfel încît  $H_Q=0$ ,  $B_Q=0$ . Ținînd seama de relațiile (1.67, 1.68, 1.79; 1.80) rezultă:

$$\left. \begin{aligned} T_H(i, j) &= p_Q^2(i, j) \left[ \frac{1}{\mu}(i, j) + \frac{B_Q^2(i, j)}{B(i, j)} \frac{\partial(1/\mu)}{\partial B}(i, j) \right] \\ T_H(i+1, j) &= p_Q^2(i, j) \left[ \frac{1}{\mu}(i+1, j) + \frac{B_Q^2(i+1, j)}{B(i+1, j)} \frac{\partial(1/\mu)}{\partial B}(i+1, j) \right] \\ T_H(i, j+1) &= p_Q^2(i, j) \left[ \frac{1}{\mu}(i, j+1) + \frac{B_Q^2(i, j+1)}{B(i, j+1)} \frac{\partial(1/\mu)}{\partial B}(i, j+1) \right] \\ T_H(i+1, j+1) &= p_Q^2(i, j) \left[ \frac{1}{\mu}(i+1, j+1) + \frac{B_Q^2(i+1, j+1)}{B(i+1, j+1)} \cdot \right. \\ &\quad \left. \cdot \frac{\partial(1/\mu)}{\partial B}(i+1, j+1) \right] \end{aligned} \right\} (1.85)$$

și respectiv:

$$\left. \begin{aligned} T_B(i, j) &= p_Q^2(i, j) \left[ \mu(i, j) + \frac{H_Q^2(i, j)}{H(i, j)} \frac{\partial \mu}{\partial H}(i, j) \right] \\ T_B(i+1, j) &= p_Q^2(i+1, j) \left[ \mu(i+1, j) + \frac{H_Q^2(i+1, j)}{H(i+1, j)} \frac{\partial \mu}{\partial H}(i+1, j) \right] \\ T_B(i, j+1) &= p_Q^2(i, j) \left[ \mu(i, j+1) + \frac{H_Q^2(i, j+1)}{H(i, j+1)} \frac{\partial \mu}{\partial H}(i, j+1) \right] \\ T_B(i+1, j+1) &= p_Q^2(i+1, j) \left[ \mu(i+1, j+1) + \frac{H_Q^2(i+1, j+1)}{H(i+1, j+1)} \frac{\partial \mu}{\partial H}(i+1, j+1) \right] \end{aligned} \right\} (1.86)$$

Din relațiile (1.47, 1.62, 1.69, 1.70, 1.73 - 1.78) se observă că în cazul unui mediu liniar mărimile  $T_H(I, J)$  și  $T_B(I, J)$  nu pot fi negative și prin urmare nici mărimile  $R_H(I, J)$  și  $R_B(I, J)$  nu pot fi negative.

Dacă domeniul de calcul  $D$  al cîmpului magnetic conține numai medii liniare, atunci mărimile  $R_H(I, J)$  și  $R_B(I, J)$  se vor calcula cu relațiile (1.49, 1.64) în care  $k > 0,5$ .

Referitor la coeficientul  $k$ , în // se recomandă să se lucreze pentru o rețea rectangulară periodică cu pas egal cu  $k=(0,8$



- 1), în faza inițială a procesului de calcul și cu  $k=(0,55-0,6)$  în faza finală, fără alte precizări privind lungimea fazelor și modul de scădere a lui  $k$  pe parcursul procesului de calcul. Din /27/ rezultă că este indicat ca în cazul unei rețele rectangulare cu pas neegal să se scadă coeficientul  $k$  de-a lungul procesului de calcul de la 0,9 la 0,55. Dar după /40/ în cazul metodelor iterative viteza de convergență depinde și de dimensiunile geometrice ale rețelei de discretizare și de lungimile fazelor de calcul. De asemenea modul de alegere a valorilor inițiale ale necunoscutelor influențează durata procesului de calcul. În cazul unor configurații complexe de câmp, unde pot rezulta atât valori pozitive cât și negative ale componentelor vectorilor  $\vec{H}$  și  $\vec{B}$ , este indicat să se aleagă valorile inițiale ale necunoscutelor cvasinule, evitând astfel în faza inițială a programului de calcul, depășirea superioară în virgulă mobilă.

#### 1.2.7. Algoritmul de calcul

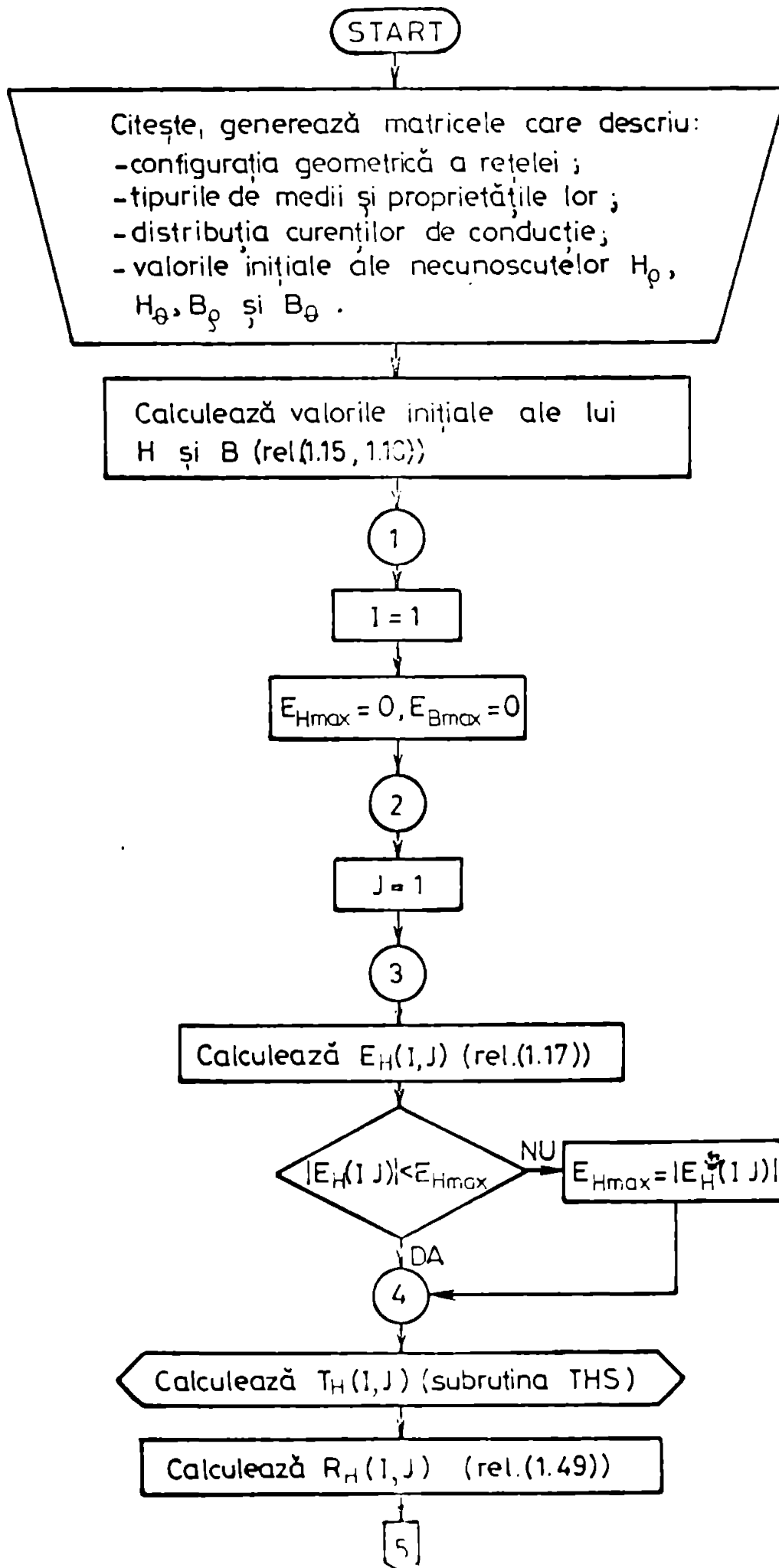
Enunțarea problemei, calculului câmpului magnetic staționar cu o metodă iterativă cu diferențe finite în coordonate polare și formularea sa matematică au fost rezolvate în cadrul paragrafelor (1.2.1 - 1.2.6).

Algoritmul de calcul corespunzător metodei este prezentat în continuare prin intermediul organigramelor. Acestea pun în evidență prin reprezentări grafice succesiunea naturală a etapelor de calcul, precum și operațiile logice și matematice de efectuat în vederea obținerii soluției. În conceperea algoritmului de calcul s-au avut în vedere condițiile pe care trebuie să le îndeplinească: realizabilitatea, generalitatea, finitudinea și unicitatea /20, 53, 54/.

Secvențele de calcul care se repetă de mai multe ori în cadrul iterării pe întreaga rețea de discretizare din domeniul  $D$ , a ecuațiilor cu diferențe finite, au fost concepute sub formă de subrutine /75/.

În fig.1.5 este prezentată organigrama algoritmului de calcul corespunzător metodei iterative cu diferențe finite în coordonate polare. În cadrul ei sînt apelate subrutinele CALCH, TMS, CALCB și TBS ale căror organigrame sînt prezentate în fig.1.6, 1.7, 1.8 și respectiv 1.9. Notațiile utilizate în organigrama

sînt cele folosite anterior la care se adaugă notațiile NER pentru numărul de elemente al rețelei pe direcția  $\varrho$  și NET pentru numărul de elemente al rețelei pe direcția  $\theta$ .



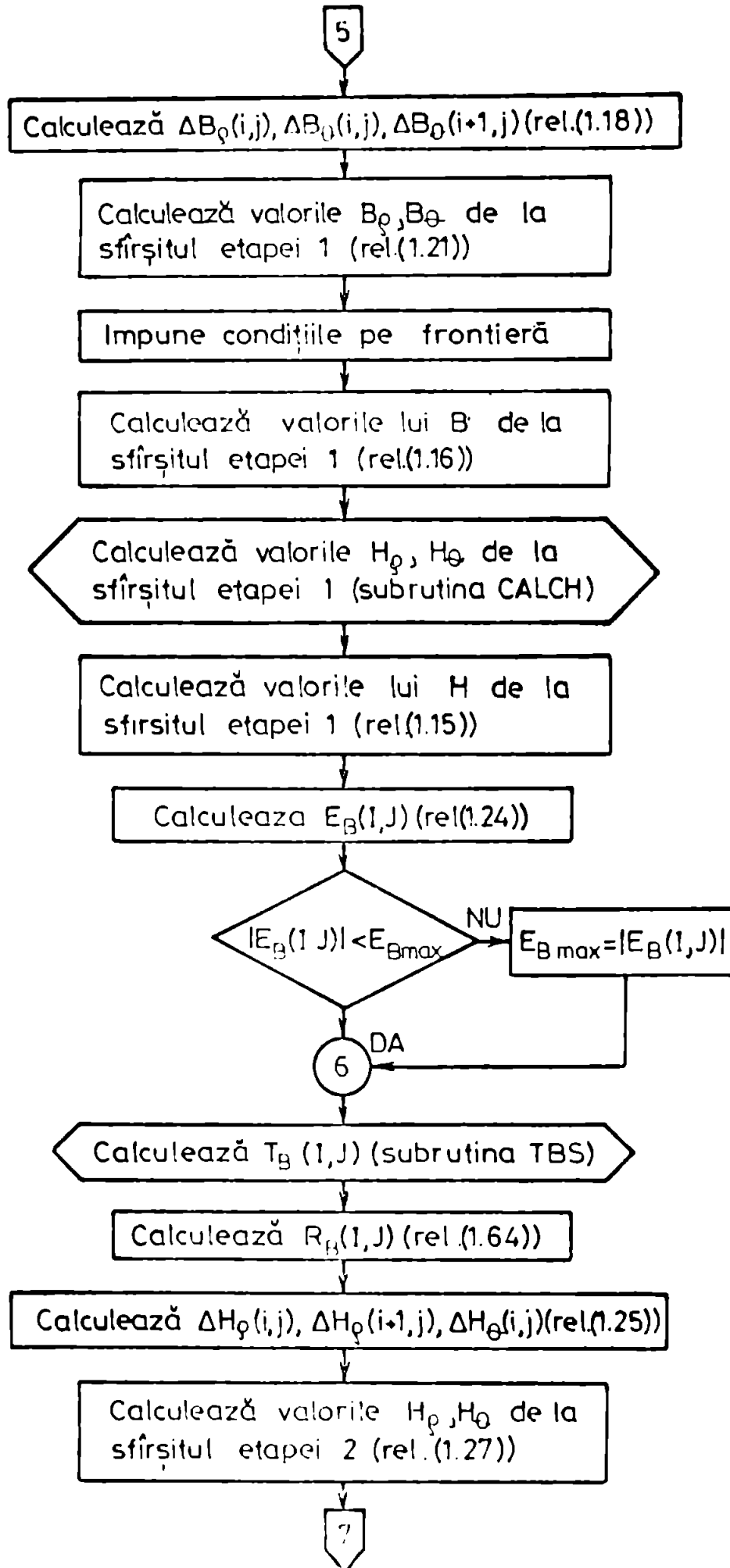


Fig.1.5 (continuare)

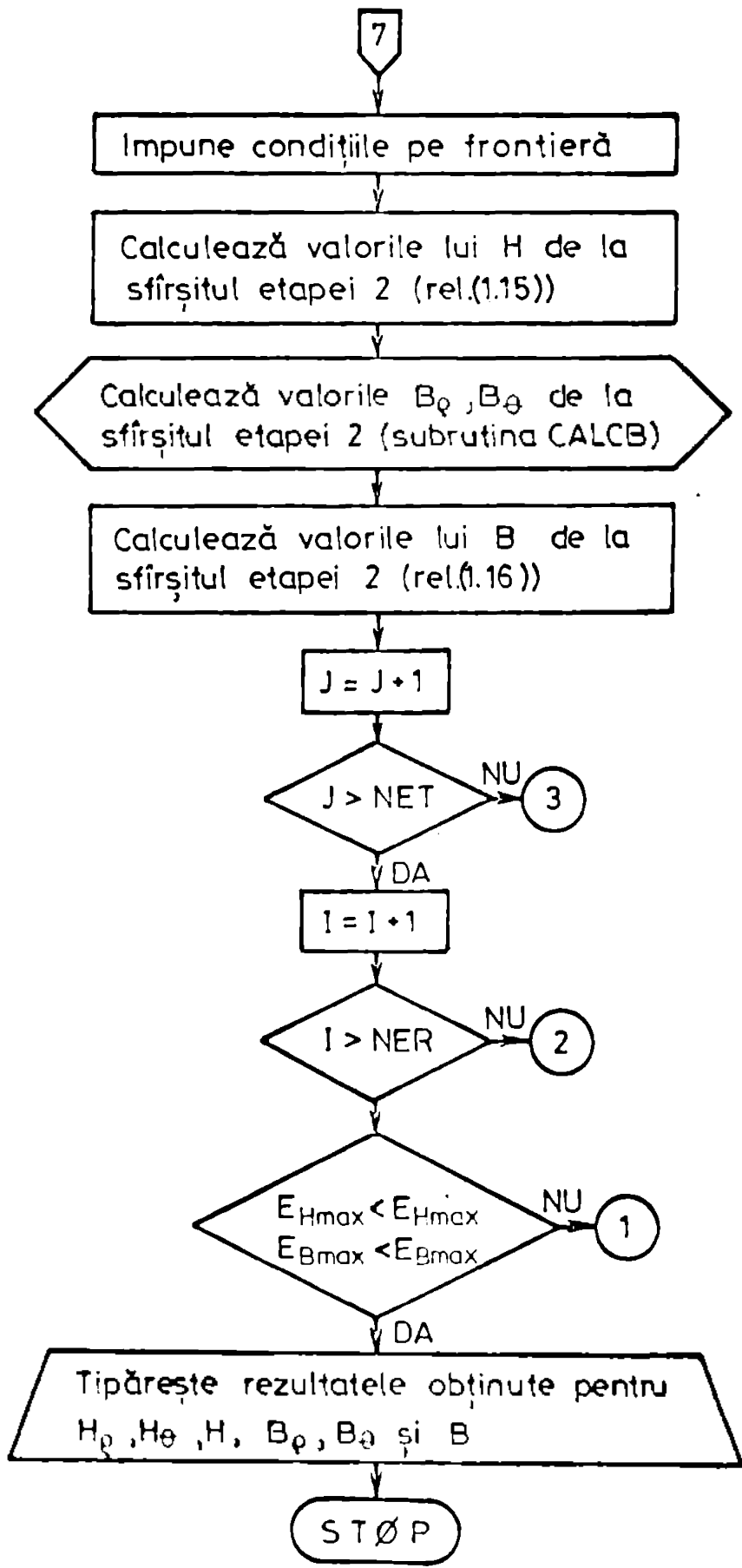


Fig.1.5(continuare)

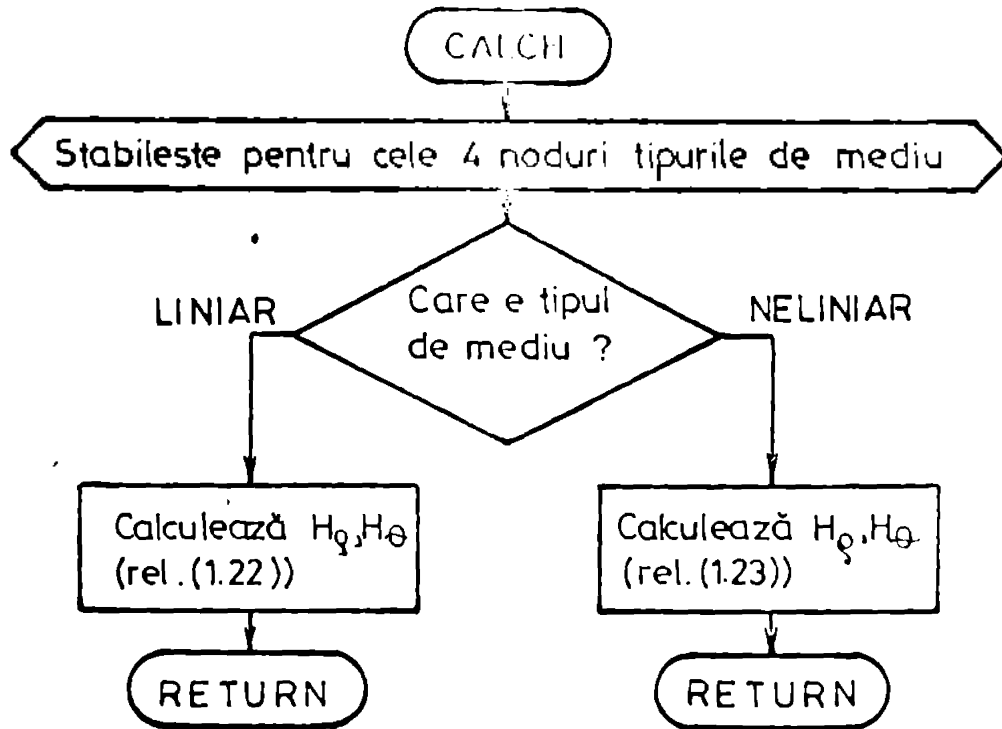


Fig.1.6

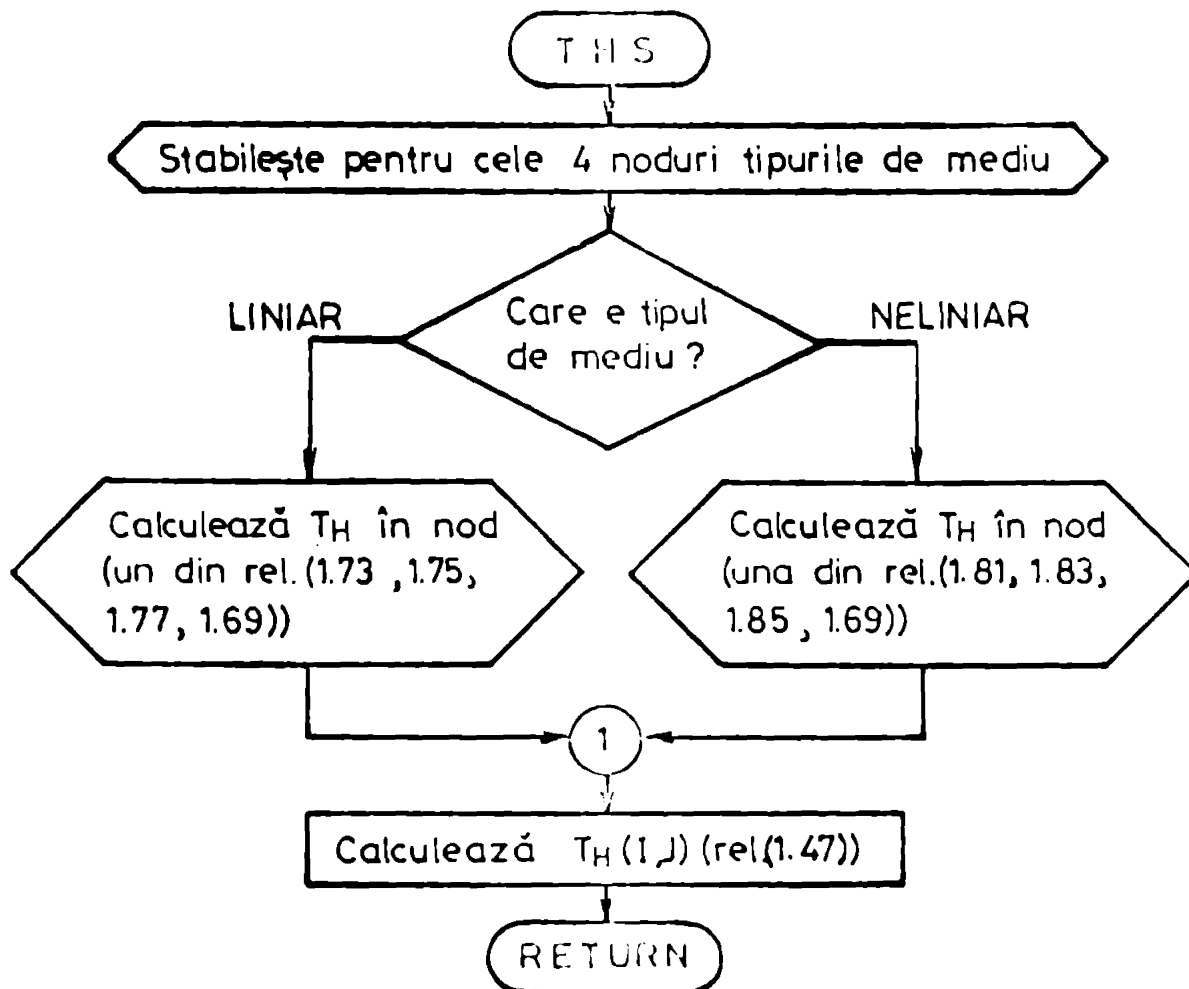


Fig.1.7

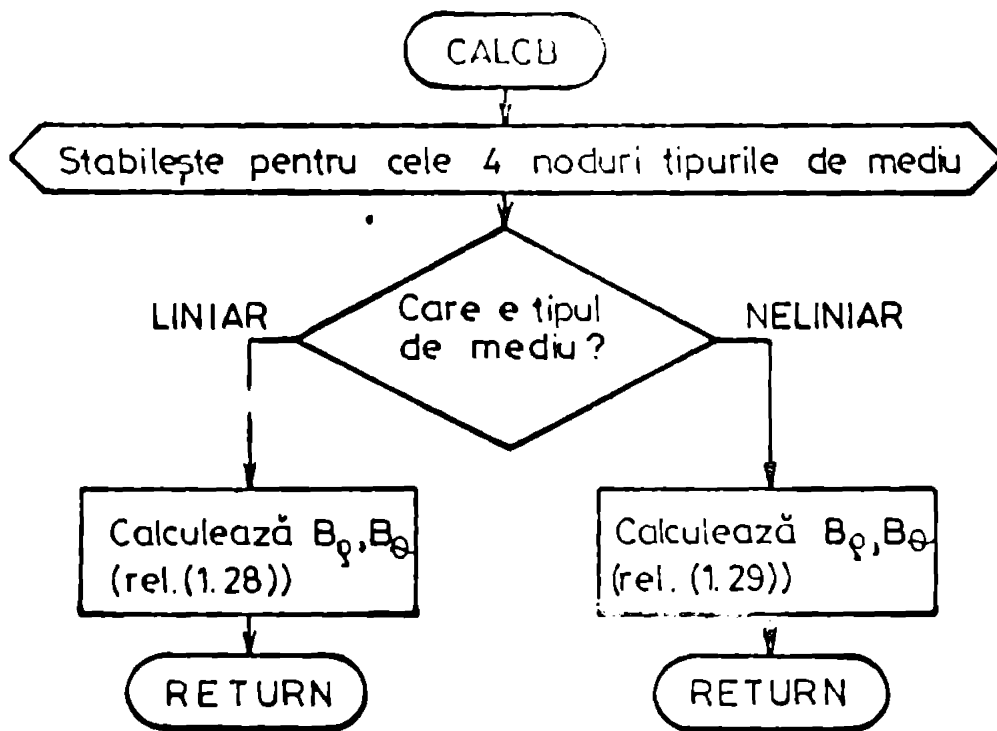


Fig.1.8

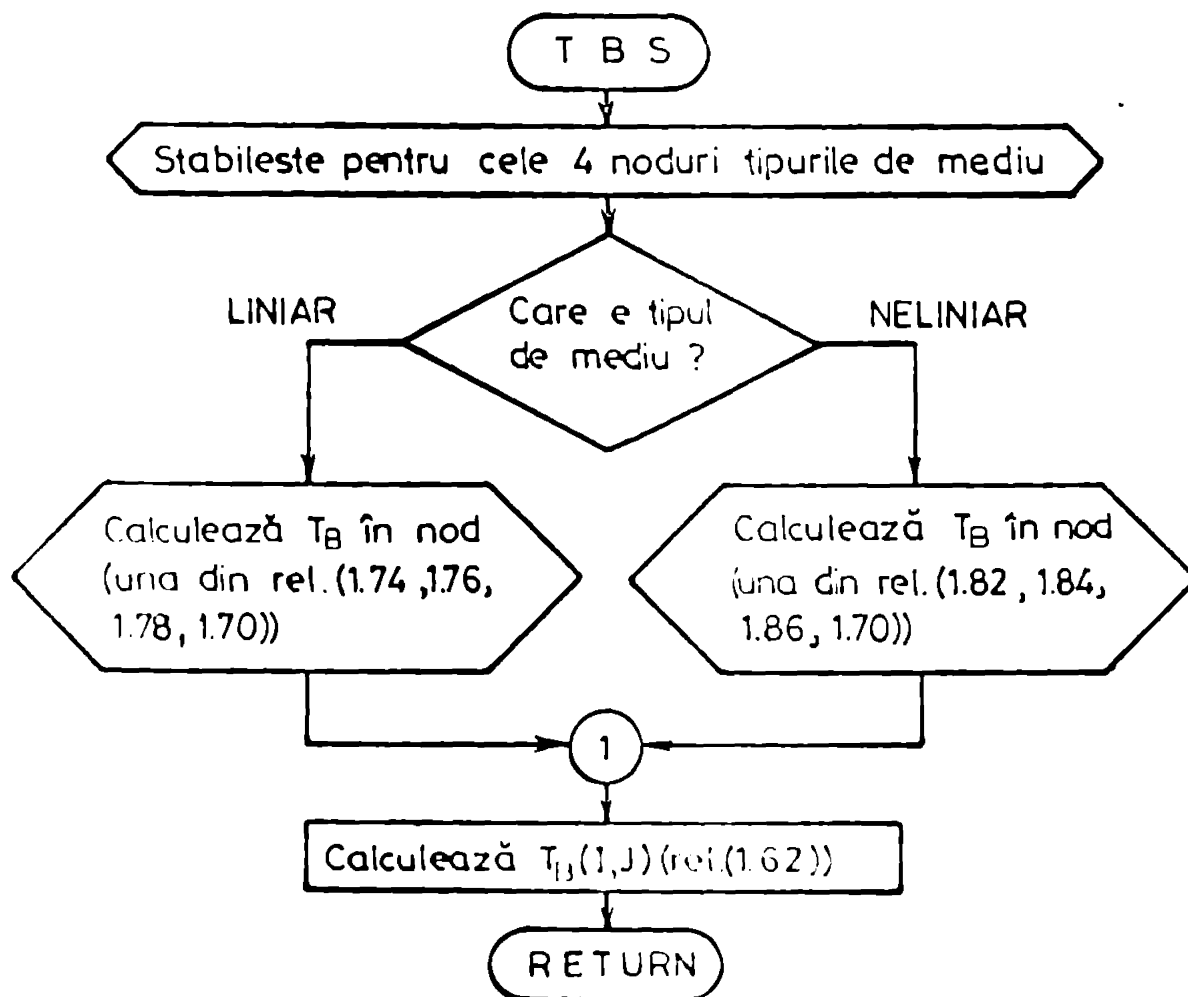


Fig.1.9

## CAPITOLUL 2

### DETERMINAREA CIMPULUI MAGNETIC DIN INSTRUMENTUL MAGNETOELECTRIC CU MAGNET MOBIL

#### 2.1. Introducere

În cadrul acestui capitol se determină câmpul magnetic din instrumentul magnetoelectric cu magnet mobil utilizând în acest scop metoda iterativă cu diferențe finite în coordonate polare expusă în capitolul 1.

În fig.2.1 este reprezentată o secțiune transversală prin instrumentul magnetoelectric /56/, în care MP este magnetul per-

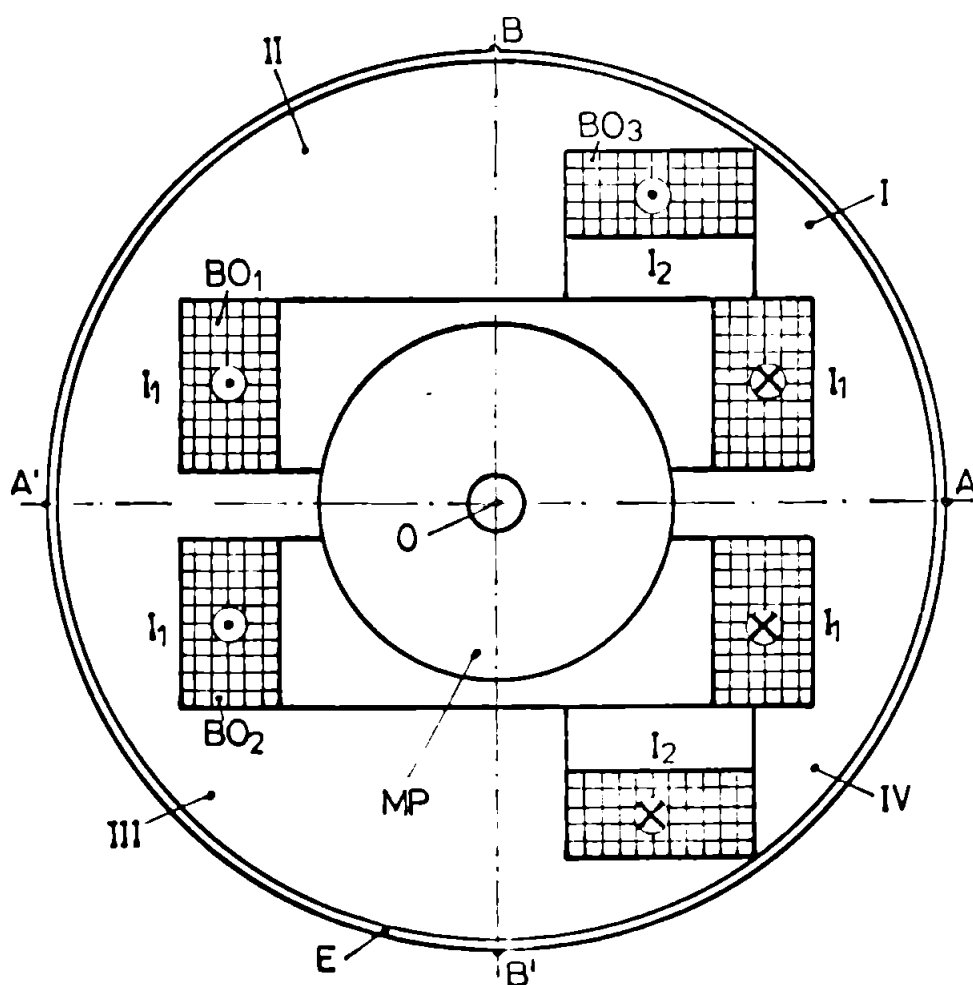


Fig.2.1.



manent mobil de formă circulară cu centrul de rotație în punctul  $O$ ,  $BO_1$  și  $BO_2$  sînt bobine legate în serie și parcurse de curentul  $I_1$ ,  $BO_3$  este o bobină parcursă de curentul  $I_2$ , iar  $F$  este ecranul feromagnetic al instrumentului.

Magnetul permanent are un orificiu circular practicat în centrul său de rotație pentru fixarea axului.

Secțiunea transversală prin instrument este împărțită în patru cadrane numerotate cu I - IV.

Pentru calculul unor mărimi caracteristice ale instrumentului magnetoelectric cu magnet mobil este necesară cunoașterea repartiției cîmpului magnetic din instrument.

În subcapitolele 2.2 - 2.5 se determină repartiția cîmpului magnetic pentru configurația geometrică din fig.2.1 a instrumentului și proprietățile magnetice ale materialelor impuse în /56/.

În subcapitolele 2.6 - 2.7 este analizată influența proprietăților magnetice ale materialelor ecranului și magnetului permanent, a formei și grosimii ecranului precum și a pozițiilor bobinelor asupra repartiției cîmpului magnetic din instrument.

Determinarea repartiției cîmpului magnetic al instrumentului magnetoelectric cu magnet mobil, în situațiile de mai sus permite efectuarea unui studiu cuprinzător asupra caracteristicilor instrumentului și evidențierea unor posibilități de îmbunătățire a lor.

Acest capitol al tezei de doctorat este în întregime original.

## 2.2. Stabilirea rețelei de discretizare

Domeniul  $D$  de calcul al cîmpului magnetic este plan și acoperă în principiu secțiunea transversală prin instrument (fig.2.1), avînd ca frontieră conturul orificiului magnetului permanent și conturul exterior al ecranului instrumentului.

Dacă bobinele  $BO_1$  și  $BO_2$  sînt parcurse de curentul  $I_1$ , iar curentul  $I_2$  prin bobina  $BO_3$  este nul, cîmpul magnetic admite drept axe de simetrie diametrele perpendiculare  $AA'$  și  $BB'$  (fig. 2.1.a). În consecință în această situație domeniul de calcul al cîmpului magnetic poate fi restrîns la un singur cadran, existînd posibilitatea precizării condițiilor de frontieră pe întreaga

frontieră a cadranelor.

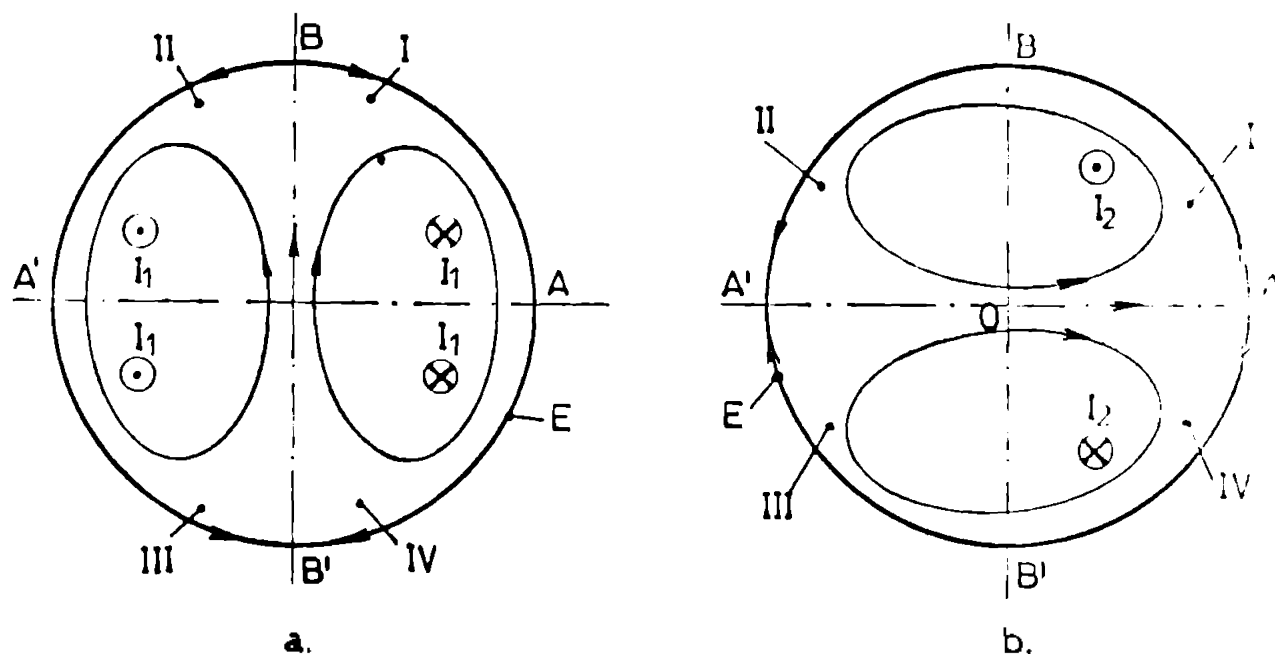


Fig.2.2.

Dacă bobina  $BO_3$  este parcursă de curentul  $I_2$ , iar curentul  $I_1$  prin bobinele  $BO_1, BO_2$  este nul cîmpul magnetic admis ca axă de simetrie numai diametrul  $AA'$  (fig.2.2.b). Prin urmare în această situație domeniul de calcul al cîmpului magnetic poate fi restrîns la cadranele I-II sau III-IV, putîndu-se preciza condițiile de frontieră pentru domeniul de calcul restrîns.

În continuare se presupune că mediile din configurația reprezentată în fig.2.1 au proprietăți magnetice liniare. Prin urmare este suficient să se calculeze repartiția cîmpului magnetic produs de bobinele  $BO_1, BO_2$  în cadranul I, iar repartiția cîmpului magnetic produs de bobina  $BO_3$  în cadranele I-II, întrucît se poate calcula cîmpul magnetic rezultat produs de ansamblul celor trei bobine în baza principiului superpoziției, utilizînd relații de însumare algebrică pentru componentele vectorilor  $\vec{H}$  și  $\vec{B}$  ce respectă condițiile de simetrie.

Rețeaua de discretizare în coordonate polare a fost concepută astfel încît să aibe drept axe de simetrie diametrele perpendiculare  $AA', BB'$ .

În fig.2.3 este prezentată rețeaua de discretizare pentru cadranele I și II. În interiorul conturului magnetului permanent, pașii  $p_0$  au fost astfel aleși încît ariile elementelor să fie apropiate ca valoare și să fie acoperită întreaga arie a magnetului permanent, cu respectarea condiției impusă de fig.1.3.a.

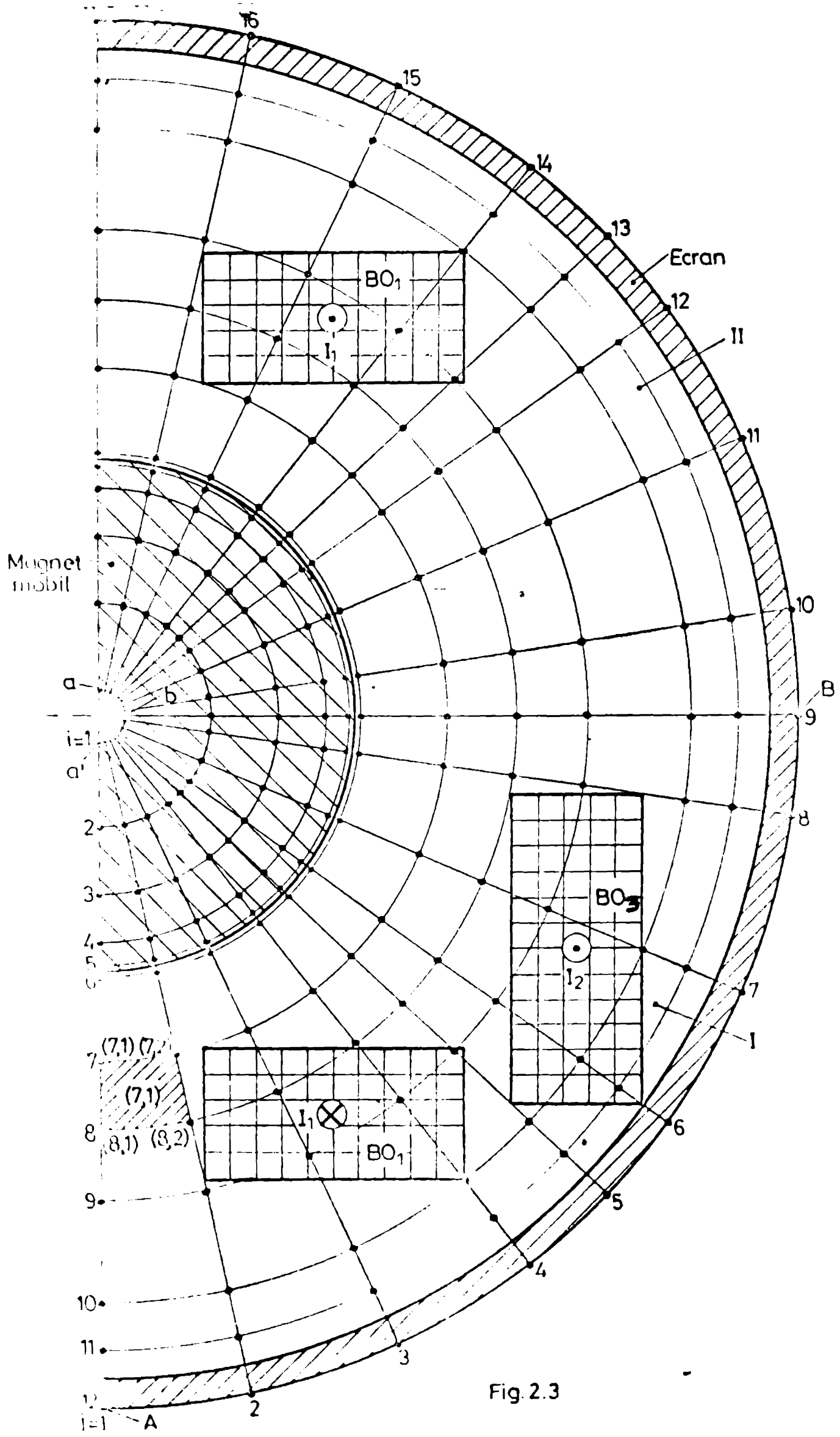


Fig. 2.3

În spațiul dintre conturul magnetului permanent și ecranul magnetic pașii  $p_0$  au fost aleși astfel încât ariile bobinelor să fie acoperite de un număr cât mai mic de elemente, respectându-se și aici condiția impusă de fig.1.3.b. La alegerea pașilor  $p_0$  s-a avut în vedere obținerea unor elemente cu arii apropiate pe suprafața magnetului permanent, iar secțiunile bobinelor să fie acoperite cu un număr cât mai redus de elemente.

La alegerea pașilor  $p_0$  și  $p_0$  s-a avut în vedere și discretizarea domeniului de calcul într-un număr rezonabil de elemente astfel încât soluția problemei de câmp să descrie cu suficientă precizie distribuția reală a câmpului magnetic, iar timpul de calcul consumat de calculator să fie acceptabil ca mărime /16, 28, 54/.

Un element (I,J) al rețelei de discretizare din fig.2.3 este identificat prin nodul (i,j) care reprezintă punctul de colț din stînga sus privind rețeaua de discretizare dinspre ecran spre centrul O. Elementul (7,1) hașurat în fig.2.3 are ca puncte de colț nodurile (7,1), (8,1), (7,2) și (8,2) și este identificat prin nodul (7,1).

Variabila i care ia valori între 1 și 12 în fig.2.3 crește după coordonata  $\varphi$  a sistemului de coordonate polare, iar variabila j care ia valori între 1 și 17 în fig.2.3 pentru cadranele I, II crește după coordonata  $\theta$  a sistemului de coordonate polare (fig.1.1).

Numărul de elemente al rețelei de discretizare, corespunzătoare cadranelor I, II din fig.2.3 este egal cu 176, iar numărul de noduri în care se determină valorile componentelor vectorilor  $\vec{H}$  și  $\vec{B}$  pentru cadranele I, II este egal cu 204.

### 2.3. Calculul câmpului magnetic produs de bobinele $BO_1$ și $BO_2$

După cum s-a arătat în subcapitolul 2.2 domeniul de calcul al câmpului magnetic se reduce la un singur cadran din fig. 2.3. Programul de calcul al câmpului magnetic a fost conceput pentru cadranul I.

Frontiera domeniului de calcul este formată din segmentele de cerc ab, AB și segmentele de dreaptă aA, bB care sînt porțiuni de axe de simetrie.

În nodurile aflate pe porțiunile de frontieră ab și AB s-a impus o condiție de frontieră de forma (1.5) concretizată în sistemul de coordonate polare prin relația:

$$B_{\theta} = 0. \quad (2.1)$$

În nodurile aflate pe porțiunea de frontieră aA s-a impus ca urmare a simetriei evidențiată în fig.2.2.a o condiție de frontieră de forma (1.6) concretizată în sistemul de coordonate polare prin relația:

$$H_{\theta} = 0. \quad (2.2)$$

Tot datorită simetriei evidențiată în fig.2.2.a în nodurile de pe porțiunea de frontieră bB s-a impus o condiție de frontieră de forma (1.5) concretizată în sistemul de coordonate polare prin relația:

$$B_{\theta} = 0. \quad (2.3)$$

În acest domeniu de calcul se disting mai multe subdomenii conținând medii considerate liniare, cu proprietăți magnetice de material diferite:

- magnetul permanent cu permeabilitatea magnetică  $\mu = 3 \mu_0$  /56/;
- ecranul feromagnetic realizat din mumetal cu permeabilitatea magnetică  $\mu = 130.000 \mu_0$  și grosimea  $g = 0,6$  mm /56/.
- zona sub formă de segment de inel dintre magnetul permanent și ecran cu permeabilitatea magnetică  $\mu_0$ .

Calculul câmpului magnetic s-a efectuat pentru curentul nominal  $I_1 = 15$  mA al bobinei  $BO_1$  cu 750 spire. Prin urmare densitățile de curent de conducție  $J_0(I, J)$  au fost nule pentru elementele suprapuse parțial sau total peste secțiunea transversală a bobinei  $BO_1$ .

Programul de calcul al câmpului magnetic scris pe baza algoritmului de calcul din fig.1.5 în limbaj FORTRAN IV este prezentat în anexa A1.

Intrucât valorile finale ale componentelor  $H_{\theta}$  și  $H_{\phi}$  ale intensității câmpului magnetic pot fi unele pozitive iar altele negative este indicat să se atribue necunoscutelor  $H_{\theta}$  și  $H_{\phi}$  valori inițiale nule. Pentru a se evita în faza inițială de execuție a programului depășirea superioară în virgulă mobilă,





## 2.4. Calculul câmpului magnetic produs de bobina $BO_3$

Câmpul magnetic produs de bobina  $BO_3$  se poate calcula pe cadranele I - II sau III - IV din fig.2.2.b așa cum s-a demonstrat în subcapitolul 2.2. Programul de calcul al câmpului magnetic a fost scris pentru cadranele I și II din fig.2.3.

Frontiera domeniului de calcul cuprinde segmentele de cerc  $aba'$ ,  $ABA'$  și segmentele de dreaptă  $aa'$  și  $a'A'$  care sînt porțiuni ale axei de simetrie  $AA'$ .

În nodurile aflate pe porțiunile de frontieră  $aba'$  și  $ABA'$  s-a impus o condiție de frontieră de forma (1.5) care în sistemul de coordonate polare se poate scrie prin relația:

$$B_{\theta} = 0. \quad (2.4)$$

Datorită simetriei câmpului magnetic în raport cu axa  $AA'$ , evidențiată în fig.2.2.b în nodurile rețelei de discretizare aflate pe porțiunile de frontieră  $aa'$  și  $a'A'$  s-a impus o condiție de frontieră de forma (1.6) concretizată în sistemul de coordonate polare prin relația:

$$H_{\theta} = 0. \quad (2.5)$$

Si în acest domeniu de calcul se disting mai multe subdomonii conținînd medii considerate liniare, cu proprietăți de material diferite, identice cu cele indicate în subcapitolul 2.3 pentru magnetul permanent, ecranul feromagnetic și zona sub formă de segment de inel dintre magnet și ecran.

Calculul câmpului magnetic a rezultat pentru curentul nominal  $I_2=15$  mA al bobinei  $BO_3$  cu 650 spire. Densitățile de curent de conducție  $I_c(I, J)$  au fost nenule pentru elementele rețelei de discretizare suprapuse total sau parțial peste secțiunea transversală a bobinei  $BO_3$ .

Programul de calcul al câmpului magnetic a fost scris în limbaj FORTRAN IV, în conformitate cu algoritmul de calcul din fig.1.5 și este prezentat în anexa A2.

Pe baza considerentelor expuse în subcapitolul 2.3 valorile inițiale atribuite necunoscutelor nenule au fost  $H_{\theta}=1$  A/m și  $B_{\theta}=1$  A/m.

Coeficientului  $k$  din relațiile (1.49, 1.64) i s-au atribuit valorile din subcapitolul 2.3 din motivele prezentate acolo.



Limitele maxime admise pentru  $F_{H_{\text{max}}}$  și  $F_{B_{\text{max}}}$  au fost impuse  $F_{H_{\text{MAX}}}=5 \cdot 10^{-4}$  A, respectiv  $F_{B_{\text{MAX}}}=5 \cdot 10^{-5}$  Tm.

Programul de calcul a fost rulat pe un calculator IBM/360-512. Volumul memoriei ocupate a fost de 44 kocteți. Soluția problemei de câmp a fost obținută după 460 de iterații, iar timpul consumat de unitatea centrală de calcul a fost de 387 secunde.

În tabelul 2.2 sînt indicate valorile componentelor  $H_{\theta}$  și  $H_{\phi}$  în amper/metru ale intensității cîmpului magnetic  $\bar{H}$  în nodurile rețelei de discretizare obținute cu programul de calcul din anexa A2, rulat pentru cadranele I și II, (fig.2.3), cu permeabilitatea magnetică a ecranului  $\mu_E=130.000 \mu_0$ , grosimea ecranului  $g=0,6$  mm și permeabilitatea magnetică a mediului magnetului permanent  $\mu_M=3 \mu_0$ .

### 2.5. Calculul cîmpului magnetic rezultat

Cîmpul magnetic rezultat produs de ansamblul bobinelor  $BO_1$ ,  $BO_2$  și  $BO_3$  parcurse de curenți electrici se va calcula în baza principiului superpoziției utilizînd relații de însumare algebrică pentru componentele vectorilor  $\bar{H}$  și  $\bar{B}$ , deduse în baza condițiilor de simetrie din subcapitolul 2.2.

Componentele vectorilor  $\bar{H}$  și  $\bar{B}$  calculate cu programul de calcul din anexa A1 vor fi notate cu  $H_{\theta 1}$ ,  $H_{\phi 1}$ ,  $B_{\theta 1}$  și  $B_{\phi 1}$ , iar componentele aceluiași vectori, rezultate din programul de calcul din anexa A2 vor fi notate cu  $H_{\theta 2}$ ,  $H_{\phi 2}$ ,  $B_{\theta 2}$  și  $B_{\phi 2}$ .

În baza condițiilor de simetrie a cîmpurilor magnetice produse de bobinele  $BO_1$ ,  $BO_2$  și a bobinei  $BO_3$  calculate în subcapitolele 2.3 și 2.4 pentru componentele  $H_{\theta}$ ,  $H_{\phi}$  ale intensității cîmpului magnetic rezultat sînt valabile relațiile:

- pentru cadranul I:

$$\left. \begin{aligned} H_{\theta}(1, j) &= H_{\theta 1}(1, j) + H_{\theta 2}(1, j) \\ H_{\phi}(1, j) &= H_{\phi 1}(1, j) + H_{\phi 2}(1, j) \end{aligned} \right\} ; \quad (2.6)$$

- pentru cadranul II:

$$\left. \begin{aligned} H_{\theta}(1, j) &= H_{\theta 1}(1, 10-j) + H_{\theta 2}(1, j) \\ H_{\phi}(1, j) &= -H_{\phi 1}(1, 10-j) + H_{\phi 2}(1, j) \end{aligned} \right\}$$



Datorită simetriei rețelei de discretizare față de diametrul AA' în cadranul III variabila j va lua valori cuprinse între 17 și 25, iar în cadranul IV între 25 și 33. Prin urmare relațiile de calcul ale componentelor  $H_{\varphi}$  și  $H_{\theta}$  sînt următoarele :

- pentru cadranul III:

$$\left. \begin{aligned} H_{\varphi}(i, j) &= -H_{\varphi 1}(i, j-16) + H_{\varphi 2}(i, 34-j) \\ H_{\theta}(i, j) &= -H_{\theta 1}(i, j-16) - H_{\theta 2}(i, 34-j) \end{aligned} \right\} ; \quad (2.8)$$

- pentru cadranul IV:

$$\left. \begin{aligned} H_{\varphi}(i, j) &= -H_{\varphi 1}(i, 34-j) + H_{\varphi 2}(i, 34-j) \\ H_{\theta}(i, j) &= H_{\theta 1}(i, 34-j) - H_{\theta 2}(i, 34-j) \end{aligned} \right\} . \quad (2.9)$$

Componentele  $B_{\varphi}$ ,  $B_{\theta}$  ale inducției magnetice  $\vec{B}$  în nodurile rețelei de discretizare din cadranele I - IV se calculează cu relațiile (1.14) întrucît mediile au fost presupuse liniare.

Valorile H a intensității cîmpului magnetic și B a inducției magnetice se calculează în toate nodurile rețelei de discretizare din cadranele I - IV cu relațiile (1.15, 1.16).

## 2.6. Influența permeabilității magnetice a ecranului, a permeabilității magnetice, a magnetului permanent, a grosimii și a formei ecranului asupra cîmpului magnetic

Influența permeabilității magnetice a ecranului feromagnetic asupra cîmpului magnetic al instrumentului magnetoelectric cu magnet mobil se poate determina rulînd programele de calcul corespunzătoare subcapitolelor 2.3 și 2.4 cu alte valori pentru permeabilitatea magnetică a ecranului. Cu noile valori ale componentelor vectorilor  $\vec{H}$  și  $\vec{B}$  obținute se poate determina cîmpul magnetic rezultat cu relațiile (2.6, 2.7, 2.8, 2.9, 1.14 - 1.16). S-au rulat aceste programe cu valoarea  $\mu_E = 100 \mu_0$  și  $\mu_E = 1000 \mu_0$  pentru permeabilitatea magnetică a ecranului. Au rezultat alte distribuții ale valorilor componentelor vectorilor  $\vec{H}$  și  $\vec{B}$ , care sînt folosite în capitolele 4 și 5 pentru calculul cuplului activ și ale unor caracteristici ale instrumentului.

Influența permeabilității magnetice a magnetului permanent asupra cîmpului magnetic s-a determinat cu o procedură identică

cu cea de mai sus. S-au rulat programele corespunzătoare subcapitolelor 2.3 și 2.4 cu  $\mu_M = 5 \mu_0$  și  $\mu_M = 10 \mu_0$  pentru permeabilitatea magnetică a materialului magnetului permanent. Distribuțiile de câmp obținute sînt utilizate de asemenea în capitolele 4 și 5, în același scop ca mai sus.

Influența grosimii ecranului feromagnetic asupra cîmpului magnetic a urmat aceeași procedură indicată mai sus. S-a redus grosimea ecranului la 0,5 mm, respectiv la 0,25 mm.

Distribuția de câmp magnetic din instrument este dependentă și de forma ecranului feromagnetic. Pentru a scoate în evidență aceasta s-a modificat forma ecranului magnetic. În fig.2.4 este prezentată o porțiune din secțiunea transversală a instrumentului care cuprinde această modificare astfel realizată încît să se poată utiliza în continuare rețeaua de discretizare din fig. 2.3. Porțiunea din ecran  $m n p q$  din fig.2.4 este simetrică în raport cu axele  $AA'$  respectiv  $BB'$  ceea ce permite calculul cîmpului magnetic după considerentele descrise în subcapitolele 2.3 - 2.5. Interpretarea rezultatelor obținute se face în capitolele 4 și 5.

## 2.7. Influența pozițiilor bobinelor instrumentului asupra cîmpului magnetic

Modificarea poziției bobinelor instrumentului față de poziția descrisă în /56/ este echivalentă cu modificarea relativă a pozițiilor secțiunilor bobinelor în secțiunea transversală prin instrument din fig.2.1. Prin urmare se schimbă distribuția densităților de curent din rețeaua de discretizare avînd ca efect modificarea distribuției valorilor componentelor vectorilor  $\vec{E}$  și  $\vec{B}$  ai cîmpului magnetic.

Noua poziție a bobinelor  $BO_1$ ,  $BO_2$  și  $BO_3$  este arătată în fig.2.5.

Bobinele  $BO_1$  și  $BO_2$  au rămas în pozițiile corespunzătoare cu cele din fig.2.1. S-a modificat poziția bobinei  $BO_3$  astfel ca între axa  $BB'$  a bobinelor  $BO_1$  și  $BO_2$  și axa  $cc'$  a bobinei  $BO_3$  să rezulte un unghi diferit de  $\pi/2$ . Modificarea prezentată în fig. 2.5 permite calculul cîmpului magnetic utilizînd rețeaua de discretizare din fig.2.4 extinsă și în cadranele III și IV.

Calculul cîmpului magnetic s-a efectuat în trei etape.

În prima etapă s-au reținut valorile componentelor inten-

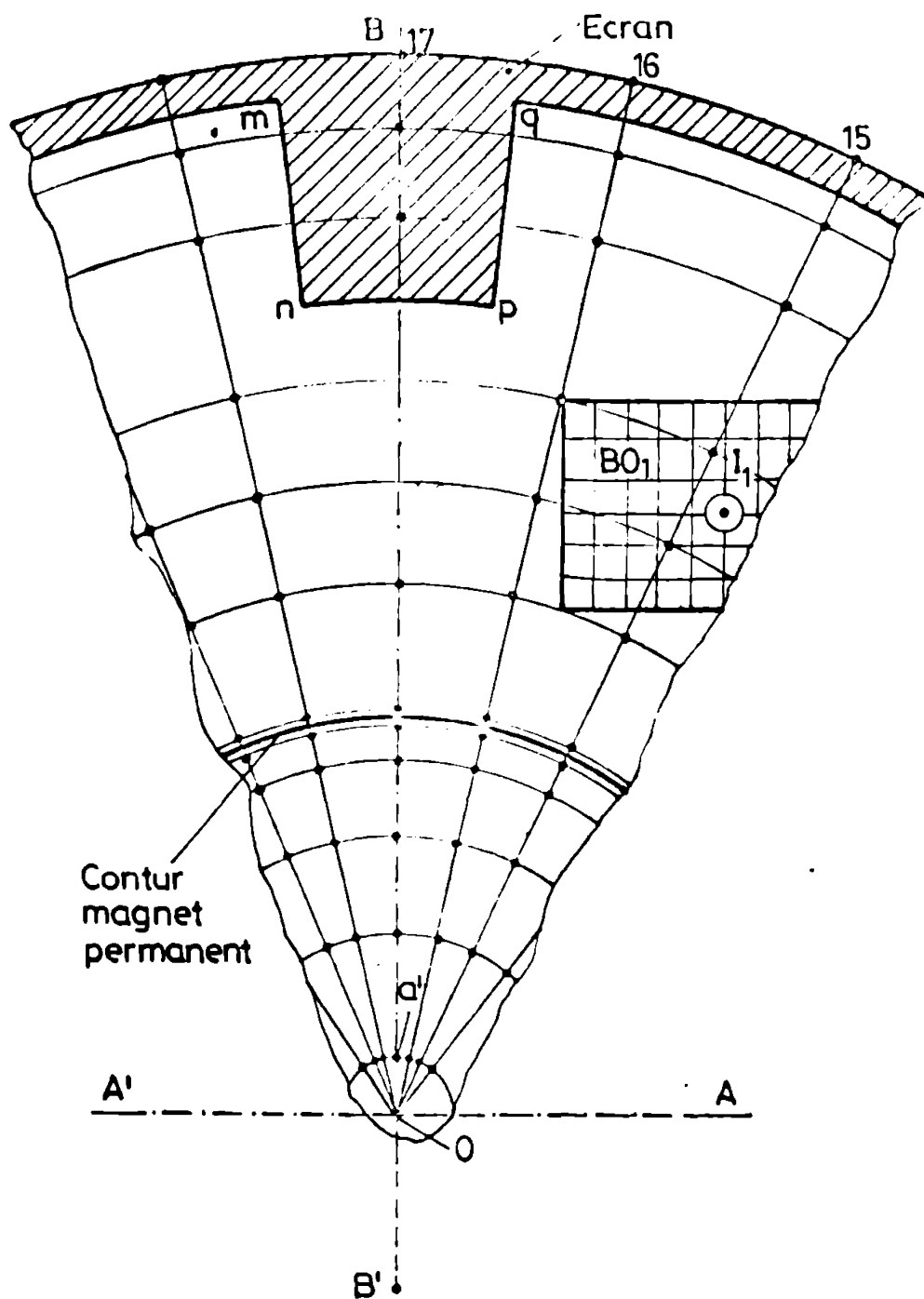


Fig.2.4.

situații și inducției câmpului magnetic obținute cu programul din anexa A1 care cuprinde componentele obținute în subcapitolul 2.5. A doua etapă este descrisă mai jos.

Deoarece bobina  $BO_3$  nu mai are ca axă de simetrie dreapta  $AA'$ , calculul câmpului magnetic s-a efectuat pe o rețea de discretizare extinsă pe toate cadranele din fig.2.5. S-a utilizat rețeaua de discretizare din fig.2.3 extinsă prin simetrie în raport cu diametrul  $AA'$  pe cadranele III și IV.

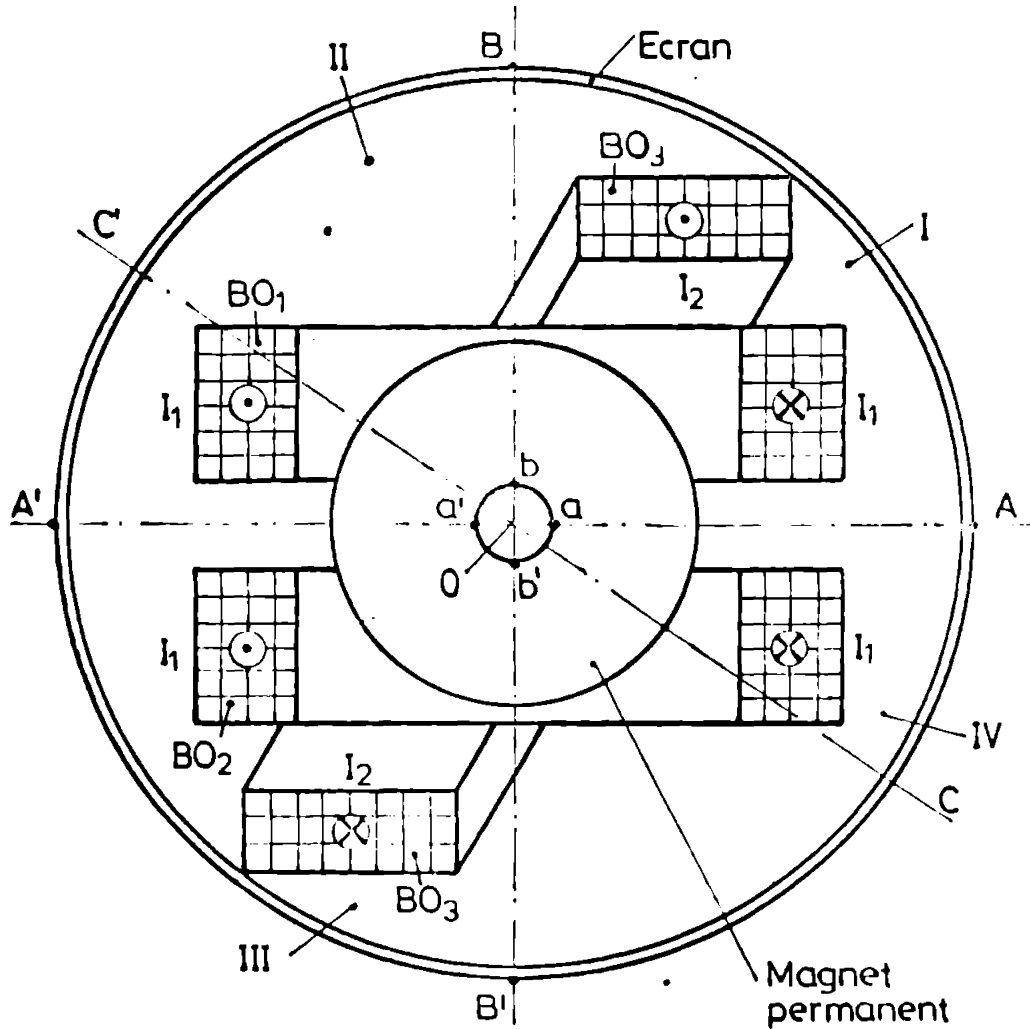


Fig.2.5.

Domeniul de calcul cuprinde în exterior cercul  $ABA'B'$  și în interior cercul  $aba'b'$ . Pe ambele porțiuni  $ABA'B'$  și  $aba'b'$  ale frontierei domeniului s-au impus condiții de frontieră de forma (1.5) concretizate în sistemul de coordonate polare prin:

$$B_{\theta} = 0. \quad (2.16)$$

Calculul câmpului magnetic s-a efectuat pentru bobina  $BO_1$  cu 690 spire parcursă de curentul  $I_2=15$  mA. Densitățile de curent de conducție au fost nenule pentru elementele rețelei de discretizare suprapuse total sau parțial peste secțiunile transversale ale bobinei  $BO_3$ .

Programul de calcul s-a scris în baza algoritmului de calcul din fig.1.5 în limbaj FORTRAN IV. Referitor la valorile inițiale ale componentelor vectorilor  $\vec{H}$  și  $\vec{B}$ , erorile maxime admise  $H_{\text{max}}$  și  $B_{\text{max}}$  cum și la coeficientul  $k$  din relațiile (1.49, 1.64) s-au aplicat în întregime considerațiile și valorile acordate în subcapitolul 2.3.

A treia etapă constă în determinarea distribuției câmpului magnetic rezultat în baza relațiilor de calcul (2.6, 2.7, și 1.14 - 1.16) și a considerentelor expuse în subcapitolul 2.5.

Noua distribuție a câmpului magnetic obținută se va utiliza în capitolul 6.

## 2.8. Concluzii

Calculul câmpului magnetic din instrumentul magnetoelectric cu magnet mobil reprezintă prima etapă importantă în studiul său cantitativ și calitativ.

În subcapitolele 2.2 - 2.6 s-a determinat câmpul magnetic al instrumentului în multiple situații aplicând metoda de calcul iterativă cu diferențe finite în coordonate polare expusă în capitolul 1, pentru configurația impusă în /56/.

Sînt evidențiate influența permeabilității magnetice, a ecranului feromagnetic, a magnetului permanent și a grosimii ecranului asupra distribuției câmpului magnetic.

Distribuțiile de câmp determinate cantitativ sînt utilizate la calculul cuplului activ al instrumentului care reprezintă a doua etapă importantă pentru studiul său.

Împreună cele două etape permit calculul caracteristicilor magnetoelectrice cu magnet mobil care s-a efectuat în capitolul 5 al tezei. Rezultă un studiu cantitativ complet al acestui tip de instrument.

În subcapitolul 2.6 este calculat câmpul magnetic din instrument pentru un ecran magnetic de altă formă, iar în subcapitolul 2.7 pentru alte poziții ale bobinelor decît cele din /56/. Aceste distribuții de câmp magnetic vor servi în capitolele 5 și 6 pentru obținerea unor caracteristici superioare ale instrumentului magnetoelectric.



## CAPITOLUL 3

### DETERMINAREA MOMENTULUI MAGNETIC AL MAGNETULUI PERMANENT

#### 3.1. Introducere

Determinarea momentului magnetic la magnetii permanenți, cu circuit magnetic deschis, implică măsurări a căror dificultate principală constă în micșorarea pe cât este posibil a influenței mărimilor exterioare perturbatoare, care pot falsifica rezultatele măsurărilor.

În prima parte a acestui capitol se definesc câteva mărimi magnetice ce caracterizează câmpul magnetostatic și sînt enunțate legile magnetostaticii. Sînt apoi prezentate succint metode cunoscute de măsurare a momentului magnetic.

În continuare autorul prezintă metoda utilizată pentru determinarea momentului magnetic al magnetului permanent sub formă de disc.

Metoda de măsurare a momentului magnetic are la bază metoda magnetometrică, cunoscută în literatură /1, 25, 32, 38, 42, 43, 55, 71, 79, 82/. Autorul a realizat un magnetometru combinat cu un etalon de câmp magnetic, ce asigură un câmp magnetic, în zona magnetului magnetometrului, cunoscut cu mare exactitate. Intensitatea câmpului magnetic, creat cu etalonul de câmp, intră direct în relația de calcul a momentului magnetic, reducîndu-se influența câmpurilor magnetice perturbatoare exterioare. Folosind unghiuri mici de rotire ale magnetului magnetometrului, măsurările implică determinarea unor deviații ce se pot citi pe o scară gradată, în locul măsurării unor unghiuri.

Autorul stabilește relațiile de calcul ale momentului magnetic, corespunzătoare metodei prezentate, în care intră deviații citite pe o scară gradată dreaptă.

### 3.2. Starea de magnetizare, momentul magnetic, magnetizația, legile magnetostatice

În câmpul electromagnetic apar acțiuni ponderomotorie între conductoare parcurse de curenți de conducție, corpuri încărcate cu sarcini electrice în mișcare, cum și asupra unor corpuri situate în câmp magnetic [1, 19, 33, 38, 51, 52, 57, 68, 73]. Starea corpurilor care în câmp magnetic sînt acționate de forțe și cupluri în afara celor condiționate de starea electrocinetică sau de starea de încărcare cu sarcini electrice în mișcare, se numește stare de magnetizare, sau de polarizare magnetică.

#### 3.2.1. Momentul magnetic

Se consideră un câmp magnetic omogen de inducție magnetică  $\vec{B}$  (fig.3.1). Dacă în acest câmp se introduce un mic corp magnetizat AB, ce se poate roti liber în jurul axei sale de rotație, ex-

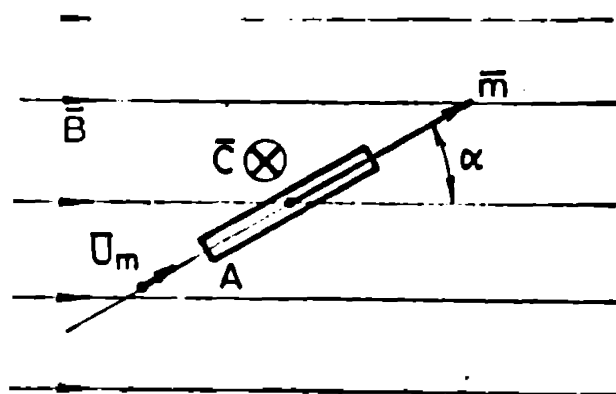


Fig.3.1.

periența arată că asupra sa acționează un cuplu. După o anumită axă cuplul ce acționează se va anula. Această axă este orientată după direcția inducției  $\vec{B}$ . Notînd cu  $m$  funcția scalară care depinde numai de starea de magnetizare a corpului, în baza datelor experimentale subzistă relația:

$$\vec{C} = \vec{m} \times \vec{B} . \quad (3.1)$$

Mărimea vectorială

$$\vec{m} = m \cdot \vec{U}_m \quad (3.2)$$

se numește moment magnetic al corpului. În relația (3.2)  $\vec{U}_m$  este versorul axei de magnetizare a corpului.

Cuplul de forma (3.1) există oricît de mic ar fi magnetul AB, ceea ce denotă că din acest punct de vedere corpul AB nu poate fi considerat punct material. Această observație va fi utilizată în capitolul 4 de calcul al cuplului activ cînd magnetul per-

manent va fi discretizat cu ajutorul unei rețele de discretizare în coordonate polare.

Modulul cuplului rezultă dezvoltând produsul vectorial de forma (3.1):

$$C = m \cdot B \sin \alpha, \quad (3.3)$$

$\alpha$  fiind unghiul dintre axa de magnetizare a corpului AB și inducția magnetică  $\vec{B}$ .

Unitatea de măsură pentru momentul magnetic este, în Sistemul Internațional SI,  $[Am^2]$  /36/.

### 3.2.2. Magnetizația

Dacă se fragmentează macroscopic un corp magnetizat, fiecărui element de volum  $\Delta v$  îi corespunde un moment magnetic  $\Delta \vec{m}$ . În acord cu principiul localizării acțiunilor fizice /19, 51, 52, 68/, starea de magnetizare a unui corp finit se caracterizează printr-o mărime vectorială  $\vec{M}$ , egală cu densitatea de volum a momentului magnetic, numită magnetizație:

$$\vec{M} = \lim_{\Delta v \rightarrow 0} \frac{\Delta \vec{m}}{\Delta v} = \frac{d\vec{m}}{dv}, \quad (3.4)$$

rezultând:

$$\vec{m} = \int_v \vec{M} dv. \quad (3.5)$$

Dacă corpul magnetizat ce se fragmentează are forma unei suprafețe plane, atunci magnetizația se definește cu relația:

$$\vec{M} = \lim_{\Delta A \rightarrow 0} \frac{\Delta \vec{m}}{\Delta A} = \frac{d\vec{m}}{dA}, \quad (3.6)$$

rezultând:

$$\vec{m} = \int_A \vec{M} dA, \quad (3.7)$$

unde  $\Delta A$  este un element de suprafață.

Unitățile de măsură pentru magnetizație în SI, rezultă din relațiile (3.4, 3.6) și sînt amper/metru sau amper /30/.

### 3.2.3. Magnetizația temporară, magnetizația permanentă.

Experiența arată că starea de magnetizare a unui corp depinde mai mult sau mai puțin de câmpul magnetic în care se găsește.

Dacă momentul magnetic al unui corp devine nul când câmpul exterior se anulează, magnetizația dobândită se numește temporară. Corpurile care au o magnetizație chiar după anularea câmpului exterior se numesc magnetizate permanent, magnetizația dobândită denumindu-se permanentă.

Pentru un corp este valabilă în general relația:

$$\bar{m} = \bar{m}_t(\bar{B}) + \bar{m}_p, \quad (3.8)$$

unde  $\bar{m}_t(\bar{B})$  reprezintă momentul magnetic temporar iar  $\bar{m}_p$  momentul magnetic permanent al corpului.

Relații asemănătoare sînt valabile pentru mărimea fizică magnetizație:

$$\bar{M} = \bar{M}_t(\bar{H}) + \bar{M}_p, \quad (3.9)$$

unde  $\bar{M}_t(\bar{H})$  este magnetizația temporară și  $\bar{M}_p$  este magnetizația permanentă a corpului, iar  $\bar{H}$  este intensitatea câmpului magnetic în corp.

Dacă câmpul exterior este foarte mic:

$$|\bar{m}_t(\bar{B})| \ll |\bar{m}_p|, \quad (3.10)$$

și prin urmare momentul magnetic total al corpului este determinat de momentul magnetic permanent.

### 3.2.4. Relații fundamentale în magnetostatică

Relațiile fundamentale ale câmpului magnetostatic rezultă prin particularizarea legilor generale și de material ale câmpului electromagnetic, în ipoteza că mărimile electrice și magnetice sînt invariabile în timp, iar corpurile sînt imobile.

1. Legea dependenței dintre inducția  $\bar{B}$ , intensitatea câmpului magnetic  $\bar{H}$  și magnetizația  $\bar{M}$ , în câmp magnetostatic.

$$\bar{B} = \mu_0(\bar{H} + \bar{M}), \quad (3.11)$$

$$\bar{M} = \bar{M}_t(\bar{H}) + \bar{M}_p . \quad (3.12)$$

2. Legea magnetizației temporare:

$$\bar{M}_t = \bar{M}_t(\bar{H}) . \quad (3.13)$$

3. Legea fluxului magnetic sub formă diferențială și integrală:

$$\left. \begin{aligned} \operatorname{div} \bar{B} &= 0 \\ \oint_S \bar{B} \, d\bar{S} &= 0 \end{aligned} \right\} . \quad (3.14)$$

4. Legea circuitului magnetic sub formă diferențială:

$$\operatorname{rot} \bar{H} = 0 . \quad (3.15)$$

Din relația (3.11) rezultă:

$$\operatorname{div} \bar{H} = -\operatorname{div} \bar{M} = \frac{1}{\mu_0} \varrho_{vpm} , \quad (3.16)$$

unde  $\varrho_{vpm}$  este densitatea de volum a sarcinii de polarizație magnetică. Rezultă că intensitatea  $\bar{H}$  a câmpului magnetic provine dintr-o funcție potențială  $V_m$  denumită potențial magnetostatic:

$$\bar{H} = -\operatorname{grad} V_m . \quad (3.17)$$

Potențialul magnetostatic  $V_m$  satisface ecuația lui Laplace:

$$\Delta V_m = \frac{1}{\mu_0} \varrho_{vpm} . \quad (3.18)$$

Aceasta înseamnă că în regim magnetostatic teoria de câmp a lui  $\bar{H}$  este de tip coulombian. Introducând sarcina de polarizație magnetică  $\varrho_{vpm}$ , care nu are corespondent fizic, se pot utiliza la calculul câmpului magnetic relații similare cu cele din regimul electrostatic [1, 19, 33, 51, 68].

Pe de altă parte,

$$\operatorname{rot} \bar{B} = \mu_0 \operatorname{rot} \bar{H} = \mu_0 \bar{J}_m , \quad (3.19)$$

$\bar{J}_m$  fiind densitatea de curent amperian.

Relația (3.19) arată că inducția  $\bar{B}$  provine dintr-un potențial magnetic vector  $\bar{A}$ :

$$\bar{B} = \operatorname{rot} \bar{A} . \quad (3.20)$$

Potențialul vector  $\bar{A}$  satisface ecuația lui Poisson:

$$\Delta \bar{A} = - \mu_0 \bar{J}_m, \quad (3.21)$$

în care s-a ținut seama că:

$$\text{div } \bar{A} = 0. \quad (3.22)$$

Relația (3.22) reprezintă condiția de etalonare Coulomb.

Teoria cîmpului inducției  $\bar{B}$  este cu alte cuvinte o teorie de tip laplacian.

Avînd în vedere cele de mai sus se poate conchide că în exteriorul corpurilor magnetizate permanent liniile de cîmp ale lui  $\bar{B}$  și  $\bar{H}$  coincid, deoarece subzistă relația:

$$\bar{B} = \mu_0 \bar{H}. \quad (3.23)$$

În interiorul corpurilor magnetizate cîmpul vectorului  $\bar{H}$  are caracter demagnetizant, adică liniile de cîmp ale lui  $\bar{B}$  și  $\bar{H}$  nu numai că nu coincid ci sînt aproape opuse. În fig.3.2 se arată acest lucru, presupunînd că magnetizația permanentă este singura sursă de cîmp. De asemenea s-a admis o magnetizare uniformă a corpului magnetizat permanent.

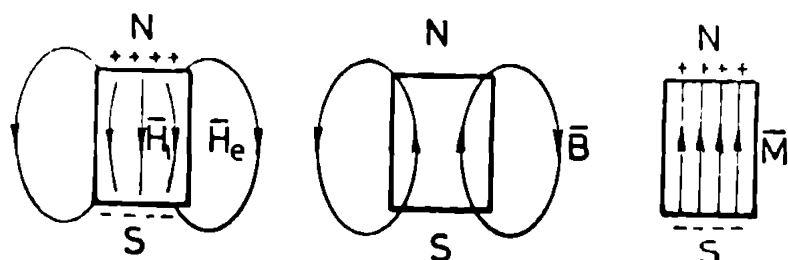


Fig.3.2.

tă acest lucru, presupunînd că magnetizația permanentă este singura sursă de cîmp. De asemenea s-a admis o magnetizare uniformă a corpului magnetizat permanent.

Magnetizația  $\bar{M}$  și intensitatea cîmpului magnetic  $\bar{H}_i$  din interiorul corpului magnetizat sînt mărimi ce au, în general, valori diferite în diferite puncte ale corpului.

Pentru elipsoidul de rotație și corpuri care degenerază din acesta cum ar fi sfera, discul plan, etc., magnetizația permanentă este constantă pentru orice element de volum, sau de suprafață, cu condiția ca permeabilitatea magnetică a materialului ce alcătuiește corpul să fie constantă, în întreg volumul, sau pe întreaga suprafață a corpului, iar magnetizarea să se producă într-un cîmp magnetic exterior uniform /51, 52, 57/. În aceste condiții intensitatea cîmpului magnetic demagnetizant  $\bar{H}_i$  este paralelă cu magnetizația  $\bar{M}$ , însă de sens contrar.

### 3.3. Influența unor caracteristici magnetice, ale materialelor magnetice, asupra cîmpului magnetic în care sînt introduse

În /33/ este tratată modificarea configurației cîmpului magnetic, la introducerea în cîmp magnetic considerat uniform, a unui corp magnetic izotrop de permeabilitate magnetică relativă  $\mu_r$ .

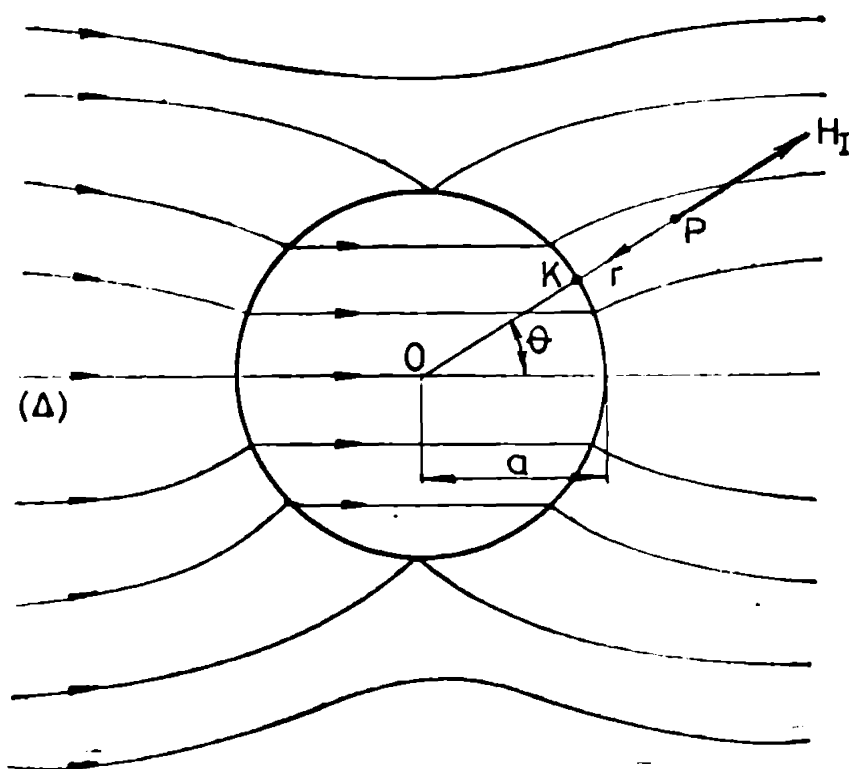


Fig.3.3.

Fie un cîmp magnetic uniform, caracterizat prin vectorul intensității cîmpului magnetic  $\vec{H}_0$ , înainte de a introduce în el un corp magnetic. Dacă în acest cîmp se introduce un corp magnetic sub forma unui cilindru drept cu baza circulară, din material izotrop, caracterizat prin permeabilitatea magnetică relativă  $\mu_r$ , apare o modificare a

configurației cîmpului magnetic /33/, (fig.3.3).

Intr-un punct P din exteriorul cilindrului caracterizat prin vectorul de poziție  $\vec{r}$ , potențialul magnetostatic este dat de relația /33/ :

$$V_{mP} = H_0 r \cos \theta \left( \frac{a^2}{r^2} \frac{\mu_r - 1}{\mu_r + 1} - 1 \right), \quad (3.24)$$

în care a este raza cilindrului și  $\theta$  este unghiul dintre segmentul OP și dreapta ( $\Delta$ ).

Componenta radială a intensității cîmpului magnetic într-un punct K de pe suprafața exterioară a cilindrului rezultă din relația (3.24) în baza relației (3.17), pentru  $r=a$ :

$$H_{rK} = \frac{2H_0 \cos \theta}{\mu_r + 1} \mu_r, \quad (3.25)$$



Iar componenta radială a inducției în punctul K va fi:

$$B_{rK} = \mu_0 H_{rK} = \frac{2 \mu_0 H_0 \cos \theta}{\mu_r + 1} \mu_r. \quad (3.26)$$

Inducția magnetică dată de relația (3.26) este o funcție continuă pe suprafața cilindrului și prin urmare fluxul magnetic prin cilindru va fi dat de relația:

$$\phi = \int_{-\frac{\pi}{2}}^{+\frac{\pi}{2}} B_{rK} r d\theta, \quad (3.27)$$

pentru  $r=a$ , ceea ce conduce la :

$$\phi = 2 \mu_0 H_0 a \frac{2 \mu_r}{\mu_r + 1}. \quad (3.28)$$

Relația (3.28) permite evaluarea modificării cîmpului magnetic produsă în prezența cilindrului magnetic. În funcție de valoarea lui  $\mu_r$  se pot determina două situații practice limită între care se pot afla toate celelalte situații de modificare a cîmpului magnetic, la o configurație a corpului perturbator corespunzătoare fig.3.3. Astfel pentru  $\mu_r=1$ , din relația (3.28) rezultă:

$$\phi_0 = 2 \mu_0 H_0 a, \quad (3.29)$$

ceea ce corespunde cu fluxul magnetic ce străbate transversal un cilindru nemagnetic și prin urmare cîmpul magnetic exterior rămîne nemodificat. Pentru  $\mu_r \gg 1$  din relația (3.28) rezultă:

$$\phi_0 = 4 \mu_0 H_0 a, \quad (3.30)$$

ceea ce corespunde cu un flux magnetic dublu în raport cu cel dat de relația (3.29), ce ar străbate transversal un cilindru magnetic de rază  $a$ . Referitor la relația (3.30) se poate afirma /55/, că este important ca  $\mu_r/(\mu_r+1) \sim 1$ , cu observația că atunci cînd  $\mu_r$  este suficient de mare în raport cu 1, nu trebuie neapărat să fie constant în toate punctele materialului.

Considerațiile de mai sus concretizate prin relația (3.28) arată că în general un cîmp magnetic se poate modifica la introducerea în el a unor materiale magnetice.



Modificarea se referă atât la inducția magnetică  $\vec{B}$  cât și la intensitatea câmpului magnetic  $\vec{H}$ .

Prin urmare inducția magnetică din interiorul unui cilindru feromagnetic cu o permeabilitate relativă  $\mu_r$  va crește în raportul  $2\mu_r/(\mu_r+1)$  în raport cu inducția câmpului magnetic exterior considerat uniform /33/. Creșterea inducției, respectiv a fluxului magnetic nu este legată de fapt de uniformitatea câmpului magnetic exterior ci numai de raportul  $2\mu_r/(\mu_r+1)$ , /33/.

Această observație arată că asupra unui magnet permanent cu permeabilitatea magnetică relativă  $\mu_r$  introdus în câmpuri magnetice uniforme acționează cupluri mai mari, decât dacă  $\mu_r=1$ , cu factorul  $2\mu_r/(\mu_r+1)$ , cupluri date de relațiile (3.50, 3.51).

Se poate constata că ambele cupluri  $M_1$  și  $M_2$  date de relațiile (3.50, 3.51) sînt mai mari de  $2\mu_r/(\mu_r+1)$  ori, prin urmare la egalitatea lor acest factor se simplifică. Ca urmare momentul magnetic  $m$  ce intervine în relația (3.57) nu este afectat de permeabilitatea magnetică a magnetului mobil al magnetometrului.

Prin introducerea unui magnet permanent într-un câmp magnetic exterior apare și un moment magnetic temporar dependent de valoarea inducției magnetice (relația (3.8)). Acest moment magnetic este indus în sensul câmpului și prin urmare nu produce cuplu activ.

Momentul magnetic determinat experimental în acest capitol se va utiliza la calculul cuplului activ ce se va efectua în capitolul 4.

În capitolul 6 referitor la rezultatele experimentale sînt indicate valorile intensității câmpului magnetic pentru care a fost determinat momentul magnetic.

### 3.4. Metode de măsurare a momentului magnetic

Pentru determinarea experimentală a momentului magnetic a corpurilor magnetizate macroscopice, în literatura de specialitate este indicată metoda magnetometrică /1, 25, 32, 38, 42, 43, 79, 82/, utilizată pentru determinarea componentei orizontale a câmpului magnetic terestru. Metoda magnetometrică constă în determinarea perioadei de oscilație a unui magnet, de moment magnetic  $\vec{m}$ , în câmpul magnetic terestru, suspendat cu un fir care nu introduce cuplu rezistent.

Între intensitatea câmpului magnetic  $H$  în care oscilează

magnetul, momentul său magnetic  $m$  și perioada  $T$  a oscilațiilor, există relația /82/:

$$H = \frac{\pi^2}{T^2} \frac{J}{m} \left(1 + \frac{1}{4} \sin^2 \frac{\alpha}{2}\right)^2 - \frac{k}{m}, \quad (3.31)$$

în care  $J$  este momentul de inerție al magnetului suspendat,  $\alpha$  amplitudinea unghiului de oscilație, iar  $k$  constanta de răsucire a firului de suspenție.

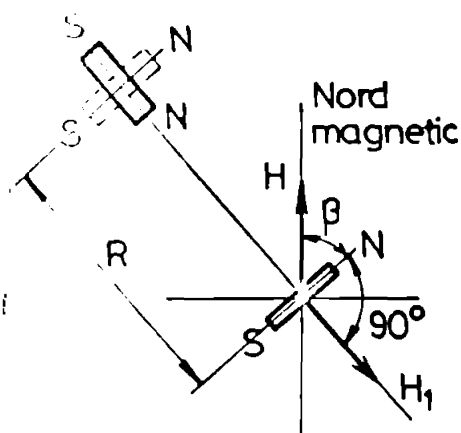


Fig.3.4.

O a doua ecuație între  $H$  și  $m$  se obține înlocuind magnetul suspendat cu un al doilea magnet de moment magnetic  $m'$ , care nu trebuie cunoscut, și plasând magnetul întâi în planul orizontal al magnetului suspendat, în prima sau a doua poziție Lamont (fig.3.4). Dacă axele celor doi magneți sînt perpendiculare (poziția I Lamont), asupra magnetului suspendat va acționa două cupluri  $C_1$ ,  $C_2$ , opuse de semn, unul dat de cîmpul magnetic  $H$ , iar

celălalt de cîmpul  $H_1$  creat de magnetul fix:

$$C_1 = \mu_0 m' H \sin \beta, \quad (3.32)$$

$$C_2 = \mu_0 \frac{2mm'}{R^3} \left(1 + \frac{\eta}{R^2} + \frac{q}{R^4} + \dots\right). \quad (3.33)$$

Coefficienții  $\eta$  și  $q$  sînt dependenți de repartiția volumică a magnetizației, de dimensiunile fizice ale magneților, cum și de forma lor. Cu  $R$  s-a notat distanța dintre centrele celor doi magneți. La echilibrul celor două cupluri rezultă:

$$\frac{H}{m} = \frac{2\left(1 + \frac{\eta}{R^2} + \frac{q}{R^4} + \dots\right)}{R^3 \sin \beta}. \quad (3.34)$$

Relațiile (3.31, 3.34) permit calculul momentului magnetic, direct din mărimi mecanice, cunoscînd cîmpul magnetic  $H$ . Determinarea pe această cale a momentului magnetic este extrem de laborioasă. În condiții speciale această metodă absolută de determinare a momentului magnetic oferă precizii maxime de  $10^{-5}$  %.

Dacă se alege o distanță  $R$  suficient de mare în raport cu dimensiunile magneților, termenii de ordin superior lui doi, de

la numărătorul relației (3.24) se pot neglija, în relații introducându-se doar coeficientul de distribuție  $\eta$ .

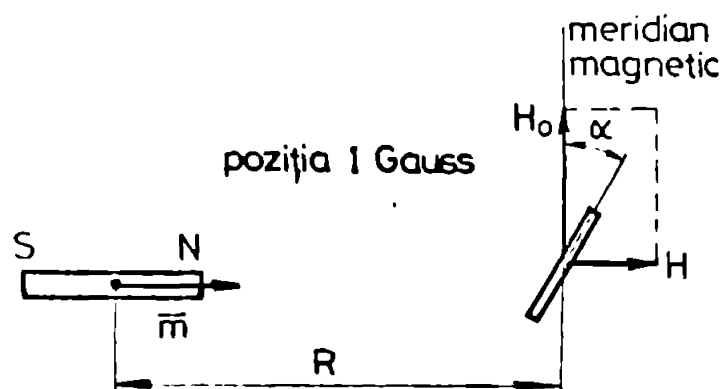


Fig.3.5.

Intr-o altă variantă a metodei [38, 42, 43, 79], magnetul cu momentul magnetic  $m$  se așază perpendicular pe meridianul magnetic în planul magnetului suspendat (poziția I Gauss) sau paralel cu meridianul magnetic (poziția II Gauss) (fig.3.5). Cu  $H$  s-a notat intensitatea câmpului mag-

netic produs de magnetul fix, în centrul magnetului suspendat iar cu  $H_0$  componenta orizontală a intensității câmpului magnetic terestru.

La echilibrul cuplurilor ce acționează asupra magnetului suspendat, este valabilă relația:

$$\operatorname{tg} \alpha_1 = \frac{2m}{H_0 R^3} \left(1 + \frac{\eta}{R^3}\right) \quad (3.35)$$

pentru poziția I Gauss, respectiv:

$$\operatorname{tg} \alpha_2 = \frac{m}{H_0 R^3} \left(1 + \frac{\eta}{R^3}\right), \quad (3.36)$$

pentru poziția II Gauss.

Coeficientul de distribuție  $\eta$  se poate elimina dacă măsurările se efectuează pentru două distanțe  $R_1$  și  $R_2$ , dintre centrele magnetelor. Se scriu relațiile (3.35, 3.36) pentru cele două distanțe  $R_1$  și  $R_2$  și se elimină  $\eta$ , rezultând:

$$\frac{m}{H_0} = \frac{R_1^5 \operatorname{tg} \alpha_1' - R_2^5 \operatorname{tg} \alpha_1''}{2(R_1^2 - R_2^2)}, \quad (3.37)$$

pentru poziția I Gauss, respectiv:

$$\frac{m}{H_0} = \frac{R_1^5 \operatorname{tg} \alpha_2' - R_2^5 \operatorname{tg} \alpha_2''}{R_1^2 - R_2^2}, \quad (3.38)$$

pentru poziția II Gauss, unde cu indicii (') și (") s-au notat deviațiile unghiulare pentru  $R_1$ , respectiv pentru  $R_2$ .

Relațiile (3.37, 3.38) permit determinarea momentului mag-

netic cu condiția cunoașterii componentei orizontale  $H_0$  a câmpului magnetic terestru.

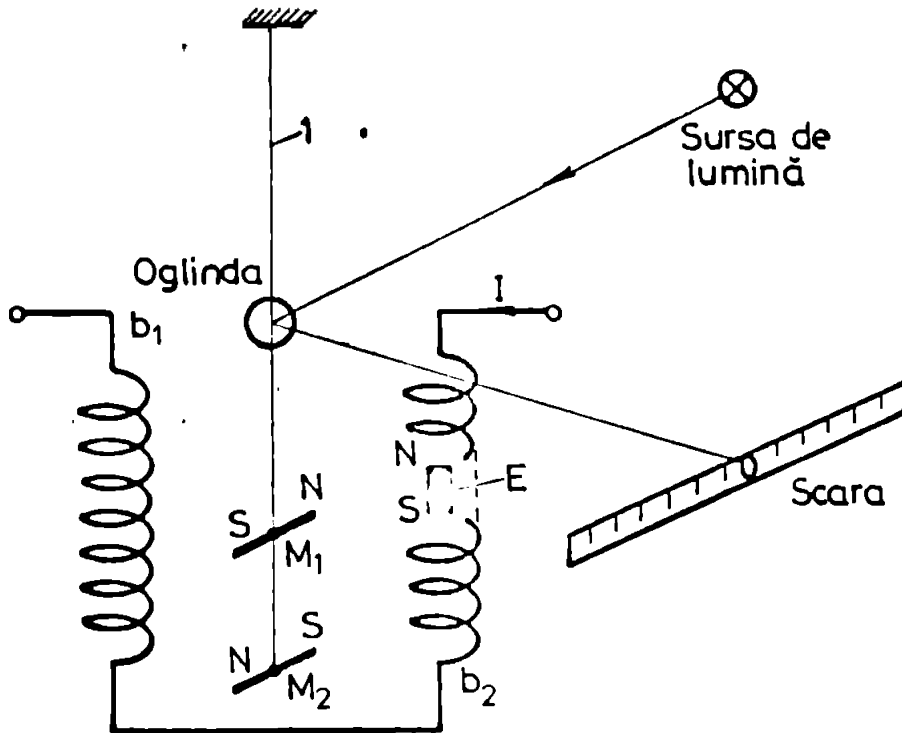


Fig.3.6.

O altă posibilitate de măsurare a momentului magnetic este descrisă în /79, 82/, utilizând magnetometre astatice (momentele magnetice /82/). Echipajul mobil (fig.3.6) este realizat din doi magneți  $M_1$  și  $M_2$  paraleli, însă de polarități opuse, suspendați printr-un fir de suspensie. În prezența câmpului terestru și al câmpului parazit cuplul de rotație total ce va acționa va fi nul. În prezența unui șantion E magnetizat, dispus în bobina  $b_2$ , echipajul va devia proporțional cu momentul magnetic al acestuia. Bobina  $b_2$  servește la crearea câmpului magnetizat în vederea determinării unor dependențe de forma  $\bar{m}=f(\bar{H})$  sau  $\bar{M}=f(\bar{H})$ , iar bobina  $b_1$  compensează influența bobinei  $b_2$  asupra echipajului mobil.

Momentmetrul magnetic descris se etalonează în prealabil cu etaloane de moment magnetic /82, 83/.

### 3.5. Determinarea experimentală a momentului magnetic, la magneți permanenți sub formă de disc

În acest subcapitol este descrisă metoda utilizată de autor pentru determinarea momentului magnetic. Nedispunând de un momentmetru corespunzător măsurării magneților sub formă de disc,

autorul a dezvoltat metoda magnetometrică clasică, efectuând determinările experimentale în câmpuri magnetice uniforme cunoscute exact, în baza unui etalon de câmp magnetic. În relațiile de calcul stabilite intervin deviații citite pe o scară gradată și un unghiuri ca în relațiile din literatură, ceea ce ar implica metode și aparatură specializată de determinare a lor.

### 3.5.1. Intensitatea câmpului magnetic, produsă de un magnet permanent, în exteriorul său

Se consideră un magnet permanent de moment magnetic  $\vec{m}$ , cu centrul în punctul O (fig.3.7). Potențialul magnetostatic produs de momentul magnetic  $\vec{m}$ , în punctul P se poate calcula cu relația /1, 38/ :

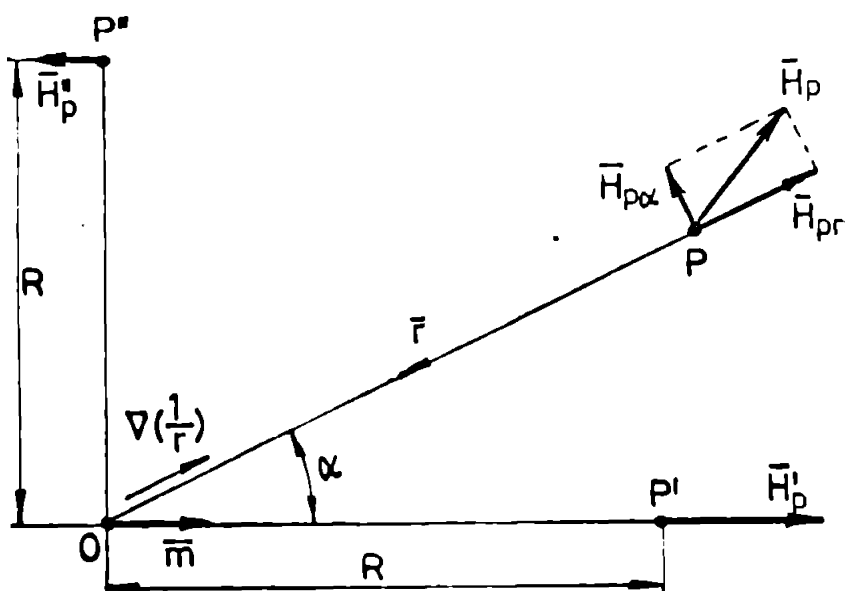


Fig.3.7.

$$V_H = \frac{1}{4\pi} \left[ \vec{m} \cdot \nabla \left( \frac{1}{r} \right) \right] = \frac{m \cos \alpha}{4 \pi r^2}, \quad (3.39)$$

$r$  fiind distanța între punctele P și O, iar  $\alpha$  unghiul dintre momentul magnetic  $\vec{m}$  și vectorul  $\nabla(1/r)$ . Intensitatea câmpului magnetic  $\vec{H}_p$ , din punctul P, poate fi descompusă în componentele  $\vec{H}_{pr}$  și  $\vec{H}_{p\alpha}$ , prima după direcția lui  $r$ , iar a doua, după o direcție perpendiculară (fig.3.7), și se poate calcula din relația (3.17), cu observația că:

$$\vec{H}_p = \vec{H}_{pr} + \vec{H}_{p\alpha}. \quad (3.40)$$

Componentele  $\bar{H}_{pr}$  și  $\bar{H}_{p\alpha}$  au modulele:

$$H_{pr} = - \frac{\partial V_H}{\partial r} = \frac{2m}{4\pi} \frac{\cos\alpha}{r^3}, \quad (3.41)$$

$$H_{p\alpha} = - \frac{\partial V_H}{r \partial \alpha} = \frac{m}{4\pi} \frac{\sin\alpha}{r^3}. \quad (3.42)$$

Intensitatea cîmpului magnetic  $H'_p$  într-un punct  $P'$  situat pe axa momentului magnetic va rezulta din (3.41) pentru  $\alpha = 0$ :

$$H_{P'} = \frac{m}{2\pi R^3}, \quad (3.43)$$

$R$  fiind distanța  $OP'$ ; intensitatea cîmpului magnetic într-un punct  $P''$ , situat pe o axă perpendiculară pe axa momentului magnetic, rezultă din (3.42) pentru  $\alpha = \frac{\pi}{2}$ :

$$H_{P''} = \frac{m}{4\pi R^3}. \quad (3.44)$$

### 3.5.2. Construcția magnetometrului

Magnetometrul realizat cu scopul de a determina momente magnetice este prezentat schematic în fig.3.8, în care 1 este un magnet mobil, al cărui moment magnetic nu trebuie cunoscut, 2 un fir de suspensie din rețon, 3 o piesă de fixare a firului de suspensie 2 și care se poate roti după o axă verticală pentru compensarea unui eventual cuplu de torsionare introdus de fir, 4 o oglindă fixată de magnet pentru citirea deviațiilor și 5 un sistem de amortizare a oscilațiilor.

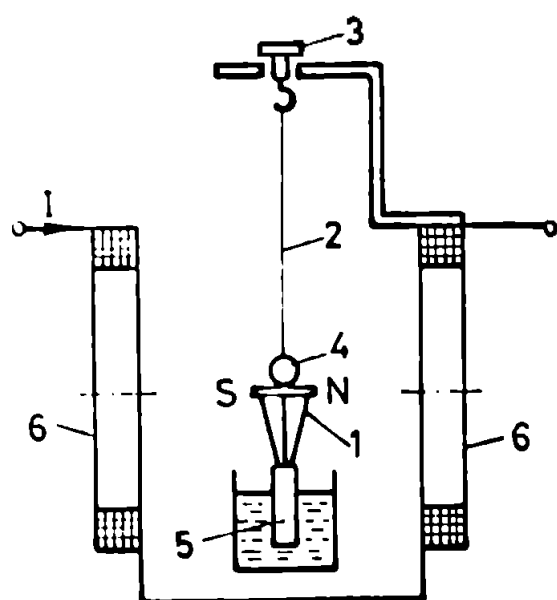


Fig.3.8.

oglină fixată de magnet pentru citirea deviațiilor și 5 un sistem de amortizare a oscilațiilor.

Magnetometrul mai cuprinde un etalon de cîmp magnetic realizat cu bobine Helmholtz 6, astfel așezat încît magnetul mobil 1 să se poată roti în zona centrală a etalonului de cîmp. Pe de altă parte, etalonul de cîmp se poate roti în raport cu meridianul magnetic al pămîntului. Dimensiunile magnetului 1 au fost astfel alese încît,

indiferent de poziția sa, să se afle în permanență în zona de maximă uniformitate a câmpului magnetic, creat de etalonul de câmp. Intregul sistem de măsurare a fost ecranat din punct de vedere electrostatic.

### 3.5.3. Stabilirea valorilor intensității câmpului magnetic în care se fac determinările de moment magnetic

Pentru măsurarea momentului magnetic trebuie cunoscută valoarea intensității câmpului magnetic în raport cu care se face determinarea.

În absența curentului prin etalonul de câmp acul magnetic 1 (fig.3.8) se va orienta după un câmp magnetic constant existent în laboratorul unde au loc determinările, câmp magnetic în care predomină componenta orizontală a câmpului magnetic terestru. Se are în vedere, în acest sens, îndepărtarea tuturor surselor de câmp magnetic, cum și a maselor mari feromagnetice.

Această componentă de câmp se va nota în continuare cu  $H_p$ , și trebuie determinată experimental.

Pentru aceasta în primul rând se orientează direcția câmpului etalon  $H_0$ , creat cu bobinele etalon, astfel încât să coincidă cu direcția câmpului  $H_p$ .

Determinarea componentei  $H_p$  se realizează prin metoda oscilațiilor, iar apoi printr-o metodă de compensare, magnetometrul propriu-zis fiind în acest caz utilizat ca indicator de nul.

Dacă magnetul 1 (fig.3.8) este adus în regim de oscilații produse de cuplul de forma:

$$\vec{C} = \vec{m}' \times \mu_0 (\vec{H}_0 + \vec{H}_p), \quad (3.45)$$

în care  $\vec{m}'$  este momentul magnetic al magnetului 1, ecuația diferențială de mișcare este:

$$J \frac{d^2\alpha}{dt^2} + A \frac{d\alpha}{dt} = -m' \mu_0 (H_0 + H_p) \sin\alpha, \quad (3.46)$$

în care  $\alpha$  este unghiul de deviație al magnetului,  $J$  momentul de inerție al sistemului mobil și  $A$  factorul de amortizare al sistemului (fig.3.9). Pentru unghiuri mici de deviație pentru care



$\sin\alpha \sim \alpha$  subzistă relația:

$$\frac{4\pi^2}{T^2} = \frac{m' \mu_0 (H_0 + H_p)}{J}. \quad (3.47)$$

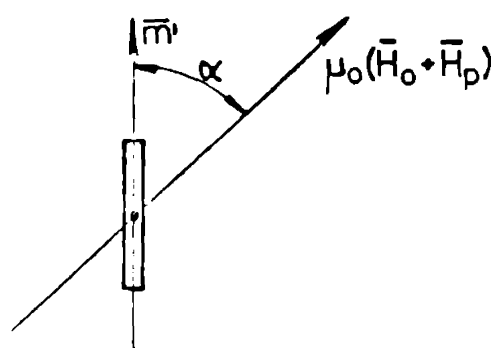


Fig.3.9.

Calculul pentru cîmpul  $H_p$  este dat mai jos:

$$H_p = \frac{H_2 T_2^2 - H_1 T_1^2}{T_1^2 - T_2^2}. \quad (3.48)$$

Se face apoi media rezultatelor.

A doua metodă care o verifică pe cea prezentată mai sus constă în schimbarea sensului curentului prin bobinele etalon și modificarea acestuia, pînă ce cîmpul în care oscilează magnetul devine nul, ceea ce se constată atunci cînd poziția sa devine înclinată.

Concordanța rezultatelor obținute cu cele două metode a fost foarte bună, după cum se arată în capitolul 6 de rezultatele experimentale.

Măsurările de moment magnetic s-au executat în prezența unui cîmp magnetic mai mare decît componenta  $H_p$ , fixîndu-se valoarea în intervalul  $(2 - 10)H_p$ , ținîndu-se seama și de valoarea determinată experimental pentru  $H_p$ , astfel încît eroarea de determinare a componentei  $H_p$  să fie mică față de eroarea de stabilire a cîmpului magnetic, în care au loc determinările.

#### 3.5.4. Măsurarea momentului magnetic $m$ al unui magnet permanent sub formă de disc

Pentru determinarea relațiilor de calcul al momentului magnetic se consideră schema din fig.3.10, în care 1 este magnetul mobil, 4 oglinda fixată de magnetul 1, 7 o sursă de lumină, 2 și 3 o scară gradată în diviziuni, așezată la distanța  $l$  de



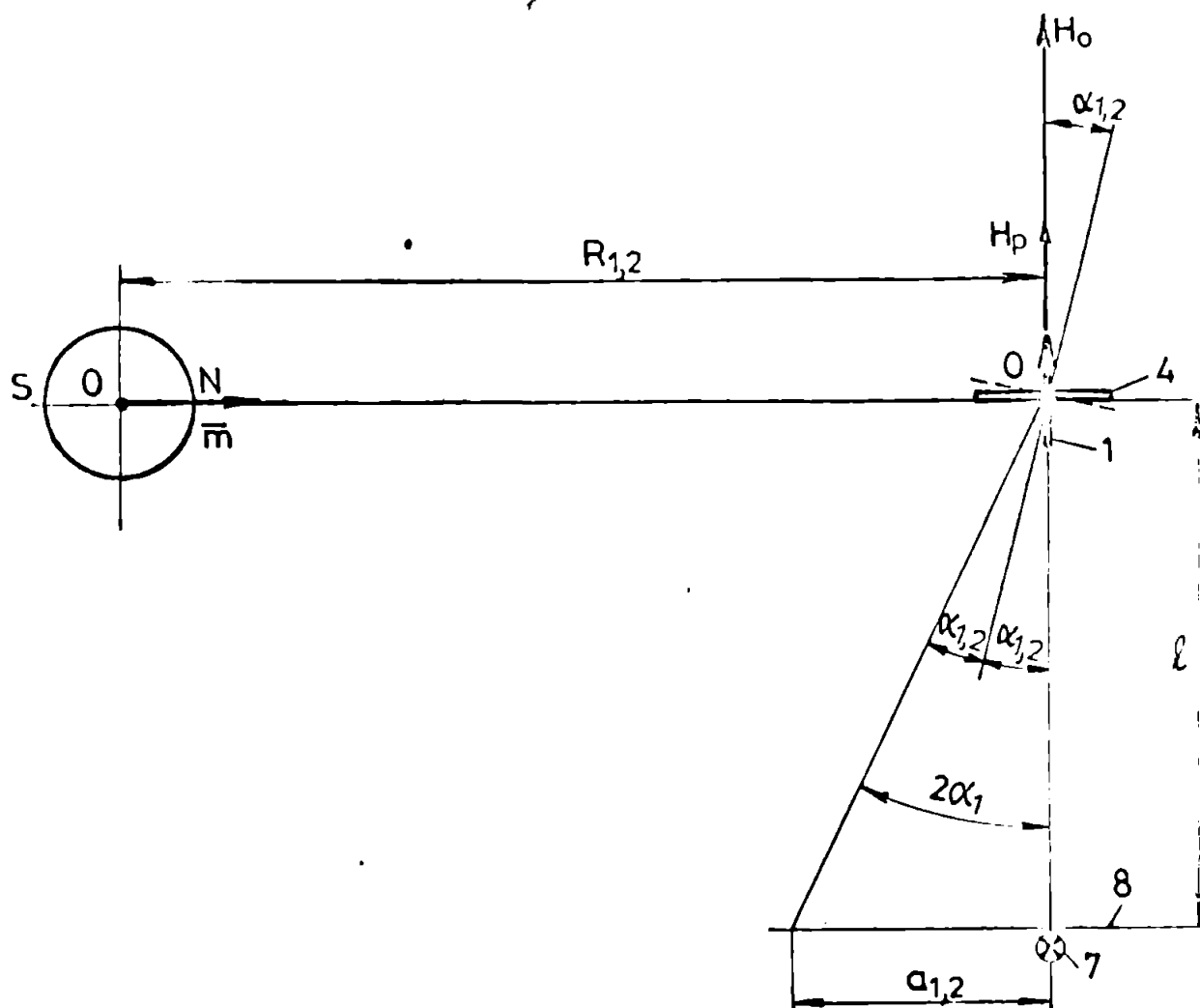


Fig.3.10.

orlindă. Magnetul circular de moment magnetic  $m$  necunoscut este așezat la distanța  $R_1$ , în poziția I Gauss în raport cu magnetul mobil. Poziția magnetului mobil 1 din fig.3.9 corespunde existenței doar a cîmpurilor paralele  $H_0$  și  $H_p$ . Cu linie întreruptă este desenată poziția oglinzii magnetometrului corespunzătoare existenței cîmpurilor  $H_0$  și  $H_p$  cum și a cîmpului creat în punctul O de către momentul magnetic  $\bar{m}$ . Dacă magnetul mobil se află la distanța  $R_1$  față de centrul magnetometrului, acesta va produce în punctul O un cîmp magnetic dat de relația:

$$H_n = \frac{m}{2\pi R_1^3} \left(1 + \frac{\eta}{R_1^2}\right) \quad (3.49)$$

în care coeficientul de distribuție  $\eta$  depinde de forma celor doi magneți, dimensiunile lor și de caracterul repartiției magnetizării lor. În relația (3.49) nu s-au introdus termeni învers proporționali cu  $R_1^4$ , etc., avîndu-se grijă ca măsurătorile să se realizeze la distanțe  $R$  suficient de mari ca aceștia să nu

(3.49).

Dacă nu se ține seama de cuplul rezistent introdus de firul de suspensie (vezi cap.6) asupra magnetului magnetometrului vor apărea două cupluri:

$$M_1 = \mu_0 m' (H_0 + H_p) \sin \alpha_1, \quad (3.50)$$

$$M_2 = \mu_0 m' H_n \cos \alpha_1, \quad (3.51)$$

fiind momentul magnetic al acului magnetometrului.

Din relațiile (3.49 - 3.50) rezultă:

$$\operatorname{tg} \alpha_1 = \frac{m}{2\pi R_1^3} \left(1 + \frac{\eta}{R_1^2}\right) \frac{1}{H_0 + H_p}. \quad (3.52)$$

Repetându-se măsurările de la o altă distanță  $R_2$  se va obține o altă deviație  $\alpha_2$ :

$$\operatorname{tg} \alpha_2 = \frac{m}{2\pi R_2^3} \left(1 + \frac{\eta}{R_2^2}\right) \frac{1}{H_0 + H_p}. \quad (3.53)$$

Relațiile (3.52, 3.53) permit eliminarea coeficientului de distribuție  $\eta$ :

$$\eta = \frac{2\pi (H_0 + H_p)}{m} \frac{R_1^3 \operatorname{tg} \alpha_1 - R_2^3 \operatorname{tg} \alpha_2}{R_2^2 - R_1^2} R_1^2 R_2^2 \quad (3.54)$$

și obținerea momentului magnetic din relația:

$$m = 2\pi (H_0 + H_p) \frac{R_2^5 \operatorname{tg} \alpha_2 - R_1^5 \operatorname{tg} \alpha_1}{R_2^2 - R_1^2}. \quad (3.55)$$

Relația (3.55) pretinde măsurarea unghiurilor  $\alpha_1$  și  $\alpha_2$  care ar implica utilizarea unui teodolit echipat cu lunete de citire a unghiurilor.

Dacă însă deviațiile se aleg suficient de mici încât tangentele din relația (3.55) să se confunde cu unghiurile de deviație, se pot scrie relațiile (fig.3.10):

$$\left. \begin{aligned} \alpha_1 &= \frac{a_1}{2l} \\ \alpha_2 &= \frac{a_2}{2l} \end{aligned} \right\}, \quad (3.56)$$

care introduse în relația (3.55) conduc la:

$$m = \mathbb{W} (H_o + H_p) \frac{R_2^5 a_2 - R_1^5 a_1}{\ell (R_2^2 - R_1^2)} , \quad (3.57)$$

relație cu care se va calcula momentul magnetic al magnetului permanent.

Condiția unor unghiuri mici de deviație este în perfectă concordanță cu alegerea unor distanțe R suficient de mari astfel încât eventualii termeni de forma  $q/R^4$  ....., să se poată neglija în relația (3.49) în raport cu termenul  $\eta/R^2$ .

Rezultatele experimentale obținute la determinarea momentului magnetic prin aplicarea acestei metode sînt prezentate în capitolul 6.

## CAPITOLUL 4

### CALCULUL CUPLULUI ACTIV

#### 4.1. Introducere

În cadrul acestui capitol se prezintă la început în mod succint metodele cunoscute în literatură, privind calculul cuplului activ la instrumentele electrice de măsurat. În continuare se prezintă detaliat o metodă originală concepută de autor, pentru calculul cuplului activ, care apare în instrumentele magnetoelectrice cu magnet mobil.

Calculul cuplului activ permite determinarea unor caracteristici importante ale instrumentului magnetoelectric cu magnet mobil.

#### 4.2. Metode de calcul al cuplurilor electromagnetice (active) ce apar în instrumentele electrice de măsurat

În cadrul instrumentelor electrice de măsurat pot să apară cupluri, în baza fenomenelor electromagnetice care au loc în ele.

Pentru calculul cuplurilor se aplică teoremele acțiunilor ponderomotoare în câmp electrostatic, respectiv în câmp magnetic [1, 18, 19, 22, 33, 51, 52, 68/.

##### 4.2.1. Teorema forțelor generalizate la sarcini constante

Fie  $x_k$  ( $k=1,2,\dots,m$ ) coordonatele generalizate (lagrangeane) ce determină complet configurația sistemului de conductoare dispuse în câmp electrostatic,  $m$  fiind numărul de grade de libertate ale sistemului, iar  $W_0$  energia electrostatică totală a sistemului.

Componenta  $X_k$  a forței generalizate în câmp electrostatic

este dată de relația:

$$X_k = - \left. \frac{\partial W_e}{\partial x_k} \right|_{q=\text{const}} \quad (4.1)$$

cu condiția ca sarcinile electrice  $q$ , ale conductoarelor, să rămână constante. Sarcinile electrice se mențin constante, dacă conductoarele sînt izolate, încît sistemul să nu schimbe energie cu exteriorul.

Coordonatelor generalizate sub forma unor deplasări, rotații etc., le corespund forțe generalizate sub forma unor forțe, cupluri etc.

#### 4.2.2. Teorema forțelor generalizate la potențiale constante (în medii liniare și neliniare)

Componenta forței generalizate  $X_k$  se poate determina menținînd constante potențialele conductoarelor, ceea ce implică legarea acestora cu exteriorul.

Folosind notațiile de la teorema 4.2.1 componenta  $X_k$  a forței generalizate se poate determina cu relația:

$$X_k = \left. \frac{\partial W_e}{\partial x_k} \right|_{V=\text{const}} \quad (4.2)$$

în care  $W_e$  este energia electrostatică totală a sistemului de conductoare legate cu exteriorul. Relația (4.2) este valabilă pentru medii liniare.

Pentru medii neliniare componenta  $X_k$  a forței generalizate se determină cu relația:

$$X_k = \left. \frac{\partial W_e^*}{\partial x_k} \right|_{V=\text{const}} \quad (4.3)$$

unde  $W_e^*$  este energia electrostatică complementară a sistemului (coenergia) /51/.

#### 4.2.3. Teorema forțelor generalizate la flux magnetic constant

Fie  $x_i$  ( $i=1,2,\dots,m$ ) coordonatele generalizate (lagrangeene) ce determină complet configurația unui sistem de conductoare par-

curse de curent electric, situate în câmp magnetic,  $m$  fiind numărul de grade de libertate ale sistemului, iar  $W_m$  energia magnetică totală a sistemului.

Componenta  $X_i$ , a forței generalizate în câmp magnetic, la fluxuri magnetice constante, este dată de relația:

$$X_i = - \left. \frac{\partial W_m}{\partial x_i} \right|_{\phi = \text{const}} \quad (4.4)$$

Pentru ca fluxurile să fie constante sursele nu furnizează energie sistemului.

#### 4.2.4. Teorema forțelor generalizate la curent constant (în medii liniare și neliniare)

Dacă sînt menținuți constanți curenții din conductoare, din exterior, expresia componentei  $X_i$  a forței generalizate este dată de relația:

$$X_i = \left. \frac{\partial W_m}{\partial x_i} \right|_{I = \text{const}} \quad (4.5)$$

relație în care s-au folosit notațiile de la teorema 4.2.3.

Valabilitatea relației (4.5) se extinde doar asupra mediilor liniare.

În medii neliniare în expresia componentei  $X_i$  a forței generalizate intervine energia complementară a sistemului (coenergie).

Teoremele 4.2.2. și 4.2.4 au aplicabilitate largă la calculul cuplurilor electromagnetice ce apar la instrumentele electrice de măsurat /4, 5, 24, 55/.

La calculul energiei ce intervine în relațiile (4.2, 4.5) se ține seama doar de termenii dependenți de coordonatele generalizate, în vederea simplificării calculelor. Cînd calculul energiilor este prea complicat, cuplurile se calculează direct din forțele electromagnetice, de căror expresii sînt mai ușor de determinat.

4.3. Acțiuni ponderomotoare ce intervin între conductoare fixe, parcurse de curenți electricei, și magneți permanenți mobili

Fie un sistem de conductoare parcurse de curenți electricei, ce determină un câmp magnetic, caracterizat local prin inducția  $\vec{B}$ . Dacă în acest câmp magnetic este plasat un mic magnet permanent (fig.4.1) ce posedă o axă de rotație perpendiculară pe planul câmpului magnetic, asupra magnetului va acționa un cuplu.

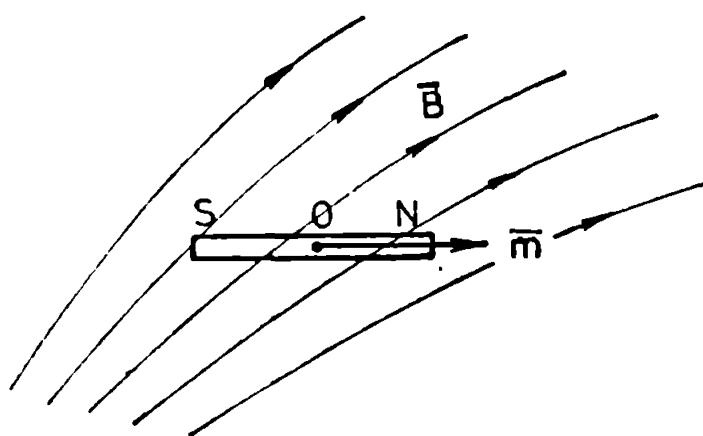


Fig.4.1.

Fie  $\vec{m}$  momentul magnetic al magnetului permanent, ce îi caracterizează global starea de magnetizare.

Experiența arată că asupra micului corp magnetizat va acționa un cuplu în funcție de relația (4.6), în care  $\vec{r}$  este raza vectorie a punctului în care se găsește corpul magnetizat în raport cu originea referențialului /51, 68/ :

$$\vec{C} = \vec{m} \times \vec{B} + \vec{r} \times (\vec{m} \text{ grad}) \vec{B} . \tag{4.6}$$

Cuplul parțial:

$$\vec{C}_p = \vec{r} \times (\vec{m} \text{ grad}) \vec{B} \tag{4.7}$$

provine din forța:

$$\vec{F} = (\vec{m} \text{ grad}) \vec{B} , \tag{4.8}$$

determinată de neuniformitatea câmpului magnetic în care se găsește micul magnet permanent /51, 68/.

Pentru calculul acestei forțe trebuie cunoscută expresia analitică a inducției  $B$  a câmpului magnetic, care se cunoaște în foarte puține cazuri întâlnite în practică. Cunoșcând valorile discrete ale inducției în diferite puncte ale magnetului permanent, se poate dezvolta un calcul numeric al expresiei (4.8).

În cadrul tezei s-a evitat calculul forței dată de relația (4.8) introducându-se anumite ipoteze simplificatoare.

4.4. Metode de calcul al cuplului activ și al unghiului de deviație permanentă la instrumentul magnetoelectric cu magnet permanent mobil

În literatura de specialitate [21, 25, 61, 71, 78] sînt prezentate instrumentele magnetoelectrice cu magnet mobil, cît și metodele de calcul al cuplului activ. Construcția unui astfel de

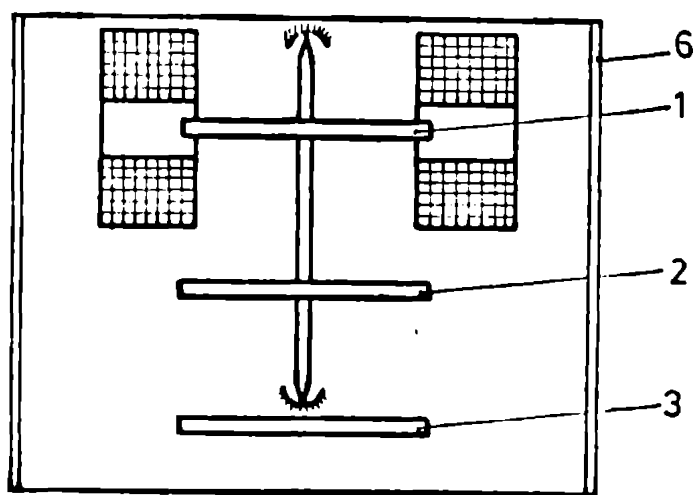
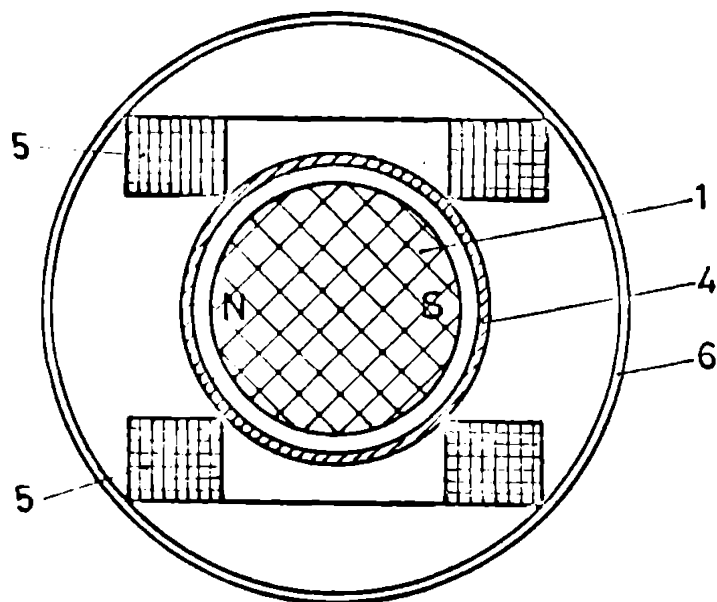


Fig.4.2.

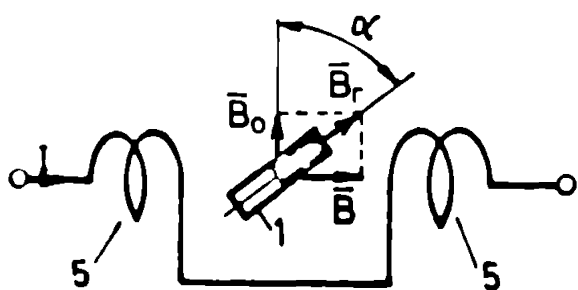


Fig.4.3.

dispozitiv este prezentată în fig.4.2, în care 1 este magnetul permanent mobil activ, 2 un magnet permanent fixat pe ax împreună cu magnetul 1, formînd împreună un sistem de măsură astatic, 3 este un magnet permanent fix pentru realizarea cuplului antagonist, 4 un pahar din cupru pentru amortizare, 5 sînt bobine fixe, parcurse de curentul de măsurat, iar 6 este un ecran magnetic.

Pentru calculul cuplului activ se consideră o schemă simplificată (fig. 4.3) a acestui dispozitiv. Bobinele 5 produc un câmp magnetic de inducție magnetică  $\vec{B}$ , iar magnetul (1), nereprezentat în fig.4.3, produce un câmp magnetic de inducție  $\vec{B}_0$ , pentru realizarea cuplului antagonist. Dacă se notează cu  $\vec{m}$  momentul magnetic al magnetului permanent 1, asupra lui vor acționa două cupluri:

$$\left. \begin{aligned} C &= m \cdot B \cos \alpha \\ C_x &= m \cdot B_0 \sin \alpha \end{aligned} \right\} \quad (4.9)$$



Cele două cupluri fiind de semn contrar, magnetul permanent se va orienta, la egalitatea cuplurilor, după direcția câmpului rezultat:

$$\vec{B}_r = \vec{B} + \vec{B}_0 . \quad (4.10)$$

Unghiul de deviație permanentă va fi dat de relația:

$$\operatorname{tg} \alpha_p = \frac{B}{B_0} . \quad (4.11)$$

Inducția magnetică  $B$  este proporțională cu intensitatea curentului care parcurge sistemul de bobine fixe:

$$B = k I . \quad (4.12)$$

Rezultă pentru deviația permanentă relația:

$$\operatorname{tg} \alpha_p = \frac{kI}{B_0} . \quad (4.13)$$

sau

$$\alpha_p = \operatorname{arctg} \frac{kI}{B_0} . \quad (4.14)$$

Câmpul magnetic, de inducție  $B$  se poate calcula prin metode analitice în centrul bobinelor sau cel mult într-o zonă centrală a bobinelor /1, 19, 51, 57, 68/, mult mai mică decât spațiul ocupat de magnetul permanent 1 (fig.4.2). Cu alte cuvinte magnetul 1 (fig.4.2) se găsește într-un spațiu cu câmp magnetic neuniform, deci asupra sa se va manifesta un cuplu suplimentar de forma (4.7) care nu apare în relațiile (4.9, 4.14). Relațiile de forma (4.9 - 4.14) sînt valabile doar dacă magnetul 1 are dimensiuni neglijabile în raport cu sistemul de bobine 5 (fig.4.2). Chiar pentru construcții de acest gen cu magnet mobil mic în raport cu dimensiunile bobinelor, cunoscute în literatură sub denumirea de galvanometre cu magnet mobil se introduc coeficienți de corecție în relația (4.14) dependenți de raza medie a bobinelor, lungimea lor, lungimea magnetului permanent (realizat sub forma unui sistem de ace magnetice), etc.

Aceasta denotă că relațiile (4.9 - 4.14) permit doar un calcul orientativ al cuplului activ și al unghiului de deviație permanentă.

4.5. Calculul cuplului activ la instrumentul  
magnetoelectric cu magnet permanent mobil  
sub formă de disc

În acest subcapitol este prezentată o metodă elaborată de autor pentru calculul cuplului activ la instrumentele magneto-electrice cu magnet permanent sub formă de disc.

Capitolul 2, referitor la determinarea cîmpului magnetic al instrumentului magnetoelectric cu magnet mobil, oferă valorile componentelor  $H_\rho$ ,  $H_\theta$ ,  $B_\rho$  și  $B_\theta$  în fiecare nod al rețelei de discretizare din domeniul de calcul al cîmpului magnetic, deci inclusiv valorile componentelor în nodurile rețelei de discretizare ce cuprinde magnetul permanent mobil, de forma unui disc.

Considerînd un element  $(I, J)$  din rețeaua de discretizare ce cuprinde suprafața magnetului mobil (fig.4.4), identificat prin nodul  $(i, j)$ , în ale cărui noduri se cunosc componentele  $H_\rho$  și  $H_\theta$ , se poate calcula intensitatea cîmpului magnetic în centrul elementului, ca modul, direcție și sens, în raport cu o axă de referin-

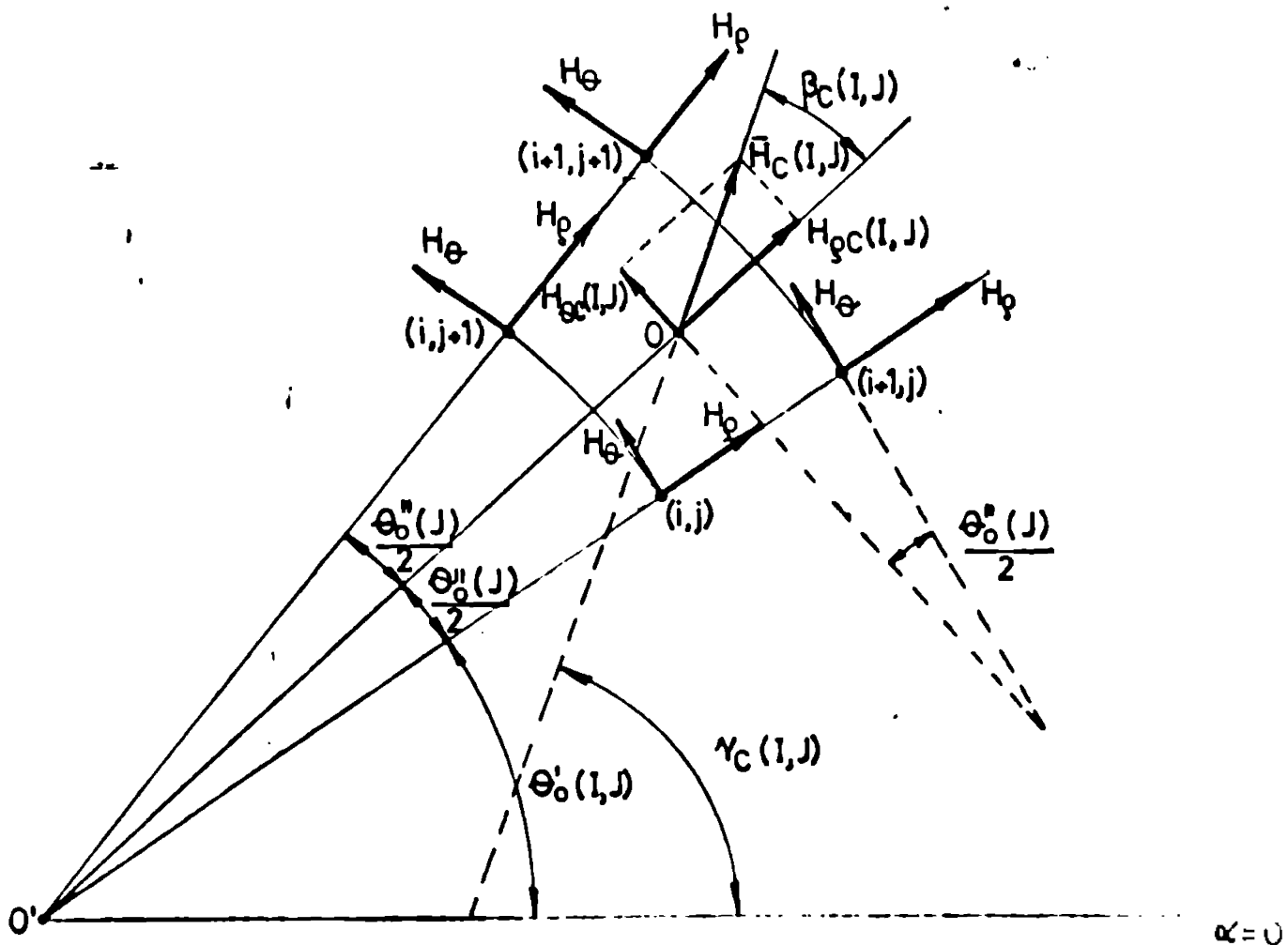


Fig.4.4.

șă a instrumentului. Ca axă de referință se poate alege axa de zero a instrumentului ( $\alpha=0$ ), după care este orientat magnetul permanent în absența curentului de măsurat prin bobinele instrumentului. Cu  $\alpha$  s-a notat unghiul de deviație al magnetului în raport cu axa de zero a instrumentului.

Cu  $H_{\rho C}(I, J)$  și  $H_{\theta C}(I, J)$  s-au notat componentele intensității câmpului magnetic rezultat  $\bar{H}_C(I, J)$ , în centrul O al elementului, după coordonatele  $\rho$  și  $\theta$ .

Valorile componentelor  $H_{\rho C}(I, J)$  și  $H_{\theta C}(I, J)$  în centrul O al elementului sînt date relațiile de mai jos:

$$H_{\rho C}(I, J) = \frac{1}{4} \left[ H_{\rho}(i, j) + H_{\rho}(i, j+1) + H_{\rho}(i+1, j) + H_{\rho}(i+1, j+1) \right] \cos \frac{\theta_0''(J)}{2}, \quad (4.15)$$

$$H_{\theta C}(I, J) = \frac{1}{4} \left[ H_{\theta}(i, j) + H_{\theta}(i, j+1) + H_{\theta}(i+1, j) + H_{\theta}(i+1, j+1) \right] \cos \frac{\theta_0''(J)}{2}. \quad (4.16)$$

Relațiile (4.15, 4.16) sînt suficient de exacte dacă aria fiecărui element este suficient de mică în raport cu aria totală a discului magnetului permanent.

Componentele  $H_{\rho C}(I, J)$  și  $H_{\theta C}(I, J)$  ale intensității câmpului magnetic  $H_C(I, J)$  din centrul elementului sînt axate după raza mediană a elementului, respectiv după o axă perpendiculară în centrul O al elementului pe raza mediană.

Centru O al elementului este pe raza mediană a elementului la egală distanță de arcele de cerc ce delimitează elementul.

Pentru fiecare element component al rețelei de discretizare, în coordonate polare, se cunosc unghiul  $\theta_0''(J)$ , respectiv coordonata  $\theta_0'(I, J)$ .

Modulul intensității câmpului magnetic din centrul O al elementului (I, J) are valoarea:

$$H_C(I, J) = \sqrt{H_{\rho C}^2(I, J) + H_{\theta C}^2(I, J)}, \quad (4.17)$$

iar unghiul  $\beta_C(I, J)$  dintre intensitatea  $H_C(I, J)$  și raza mediană a elementului este:

$$\beta_C(I, J) = \arctg \frac{H_{\theta C}(I, J)}{H_{\rho C}(I, J)}. \quad (4.18)$$

Conform cu fig.4.4 se poate calcula cu relația de mai jos unghiul  $\gamma_C(I,J)$  dintre intensitatea cîmpului magnetic  $\bar{H}_C(I,J)$  din centrul elementului și axa de zero a instrumentului:

$$\gamma_C(I,J) = \theta'_0(I,J) + \frac{\theta''_0(j)}{2} + \beta_C(I,J) . \quad (4.19)$$

În continuare se admite ipoteza simplificatoare că în orice punct al elementului există aceeași intensitate  $H_C(I,J)$  a cîmpului magnetic, ceea ce înseamnă că elementul se găsește într-un cîmp magnetic uniform.

Ipoteza de mai sus este valabilă, de asemenea cînd aria elementului este suficient de mică în raport cu aria totală a discului magnetului permanent.

Verificarea acestei ipoteze se poate face după procedoul indicat mai jos.

Se admite o anumită rețea de discretizare pentru magnetul permanent, cu un număr oarecare de elemente.

Se calculează cîmpul magnetic  $\bar{H}_C(I,J)$  în centrul fiecărui element și unghiul aferent  $\gamma_C(I,J)$ .

În continuare se calculează cuplul ce acționează asupra magnetului permanent, fixat într-o poziție oarecare, de exemplu pentru poziția de zero a instrumentului.

Se admite o altă rețea de discretizare mai fină pentru care se repetă calculele de mai sus.

Procedoul se repetă pînă cînd valorile obținute pentru cuplu diferă cu o cantitate impusă în prealabil.

Pentru calculul cuplului ce acționează asupra magnetului permanent este necesară cunoașterea momentului magnetic al fiecărui element din rețeaua de discretizare a magnetului permanent.

Magnetul permanent sub forma unui disc circular derivă dintr-un elipsoid de rotație cu semiaxele  $a, b, c$  pentru care  $a=b, c=0$ , sau foarte mic în raport cu  $a, b$ . Mărimile  $a, b$  se confundă cu raza discului. Dacă se admite că permeabilitatea magnetică  $\mu_M$  a materialului magnetic, ce va constitui magnetul permanent este constantă în întregul volum al magnetului, atunci, introducînd discul demagnetizat într-un cîmp magnetic exterior uniform, va rezulta o magnetizare uniformă în întregul volum al magnetului permanent /51, 52, 57/.

Această observație permite admiterea ipotezei că vectorul magnetizației  $\bar{M}_0$  din interiorul magnetului are în orice punct al

magnetului aceeași valoare și direcție (fig.4.5).

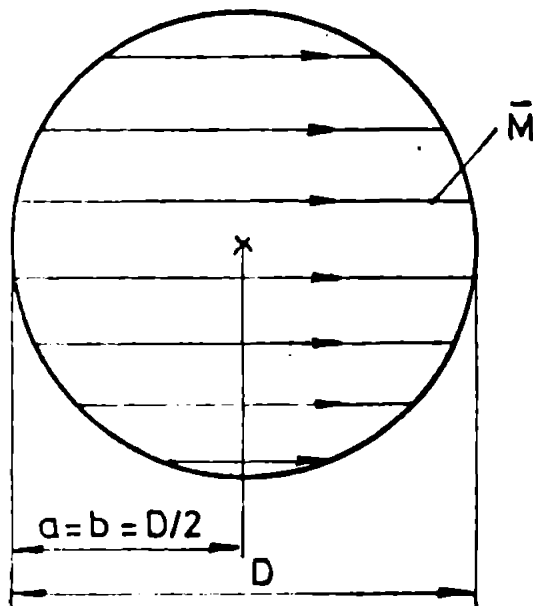


Fig.4.5.

Fiecărui element (I,J) din rețeaua de discretizare a magnetului permanent i se atribuie un moment magnetic  $m(I,J)$ , avînd modulul:

$$m(I,J) = M_0 \cdot A(I,J) , \quad (4.20)$$

$M_0$  fiind modulul magnetizației magnetului permanent:

$$M_0 = \frac{|\bar{m}|}{A_d} , \quad (4.21)$$

$A(I,J)$  aria elementului (I,J),  $\bar{m}$  momentul magnetic al magnetului permanent, determinat experimental cu metoda expusă în capitolul 3, iar  $A_d$

aria totală a discului magnetului permanent,

$$A_d = \sum A(I,J) = \frac{\pi D^2}{4} . \quad (4.22)$$

Rezultă,

$$m(I,J) = |\bar{m}| \frac{A(I,J)}{A_d} . \quad (4.23)$$

Deoarece la începutul procesului de calcul magnetul permanent este astfel orientat încît vectorul moment magnetic  $\bar{m}$  să fie orientat după axa de zero a instrumentului, atunci asupra fiecărui element al rețelei de discretizare, ce cuprinde magnetul permanent va acționa un cuplu de forma:

$$\bar{C}_0(I,J) = \mu_M [\bar{m}(I,J) \times \bar{H}_C(I,J)] . \quad (4.24)$$

în care  $\mu_M$  este permeabilitatea magnetică absolută a magnetului permanent. Modulul acestui cuplu va fi:

$$C_0(I,J) = \mu_M m(I,J) H_C(I,J) \sin \gamma_C(I,J) . \quad (4.25)$$

Deoarece toți vectorii de forma (4.24) sînt perpendiculari pe suprafața plană a magnetului permanent, modulul cuplului total ce acționează asupra magnetului permanent va fi suma algebrică a cuplurilor parțiale de forma (4.25) /62/. Notînd:

$$C_0(I,J) = C_{0k}(I,J) , \quad (4.26)$$

unde ( $k=1,2,\dots,n$ ) iar  $n$  este numărul total de elemente ce compun suprafața magnetului permanent, cuplul total  $C_{t0}$ , pentru poziția  $\alpha=0$  a magnetului permanent se va calcula cu relația:

$$C_{t0} = \sum_{k=1}^n C_{0k}(I,J) . \quad (4.27)$$

Relațiile de forma (4.25, 4.27) permit calculul cuplurilor parțiale, respectiv total pentru orice poziție  $\alpha$  diferită de poziția de zero a instrumentului.

De exemplu pentru unghiul  $\pm\alpha \neq 0$ , se rotesc toate momentele magnetice atribuite elementelor, cu unghiul  $\pm\alpha$ , în raport cu axa de zero a instrumentului.

Aceasta reprezintă o situație echivalentă cu rotirea întregului magnet permanent, în raport cu axa de zero a instrumentului cu unghiul  $\pm\alpha$ .

Modulul cuplului ce acționează asupra elementului ( $I,J$ ) va fi:

$$C_{\alpha}(I,J) = \mu_M^m(I,J)H_C(I,J)\sin[\gamma_C(I,J)\pm\alpha] , \quad (4.28)$$

iar modulul cuplului total:

$$C_{t\alpha} = \sum_{k=1}^n C_{\alpha k}(I,J) , \quad (4.29)$$

ou

$$C_{\alpha}(I,J) = C_{\alpha k}(I,J), \quad (k=1,2,\dots,n) . \quad (4.30)$$

Magnetul mobil se va roti sub acțiunea cuplului total de forma (4.29), pînă în poziția în care cuplul total devine nul.

Relațiile de forma (4.15 - 4.21, 4.23, 4.28, 4.30) permit alcătuirea unui program de calcul numeric al cuplului activ total ce acționează asupra magnetului permanent, pentru un câmp magnetic exterior cunoscut în toate nodurile rețelei de discretizare, ce cuprinde magnetul mobil.

Relațiile de calcul al cuplului activ prezentate în acest subcapitol permit calculul cuplului activ cu precizie mult mai mare, decît relațiile prezentate în literatură de specialitate, deoarece au la bază ipoteza simplificatoare cu raportul de la unghi mai aproape de realitate decît cele existente în literatură.

Relațiile de calcul permit determinarea cantitativă a cu-

plului activ, cunoscând momentul magnetic al magnetului permanent, ceea ce permite compararea cu cuplul de frecare al dispozitivului, în vederea estimării unor erori de măsurare introduse de instrument.

Se mai poate sublinia că metoda de calcul a cuplului activ se poate generaliza și la alte tipuri de instrumente electrice de măsurat, ținând seama de particularitățile specifice ale acestora.

În baza relațiilor (4.15 - 4.21, 4.23) s-a conceput un algoritm de calcul al cuplului activ a cărui organigramă este redată în fig.4.6. Programul de calcul al cuplului activ are un caracter general, putând fi utilizat pentru configurații geometrice oarecare ale sistemului de conductoare parcurse de curent. Programul de calcul al cuplului activ scris în limbaj FORTRAN IV este prezentat în anexa A3.

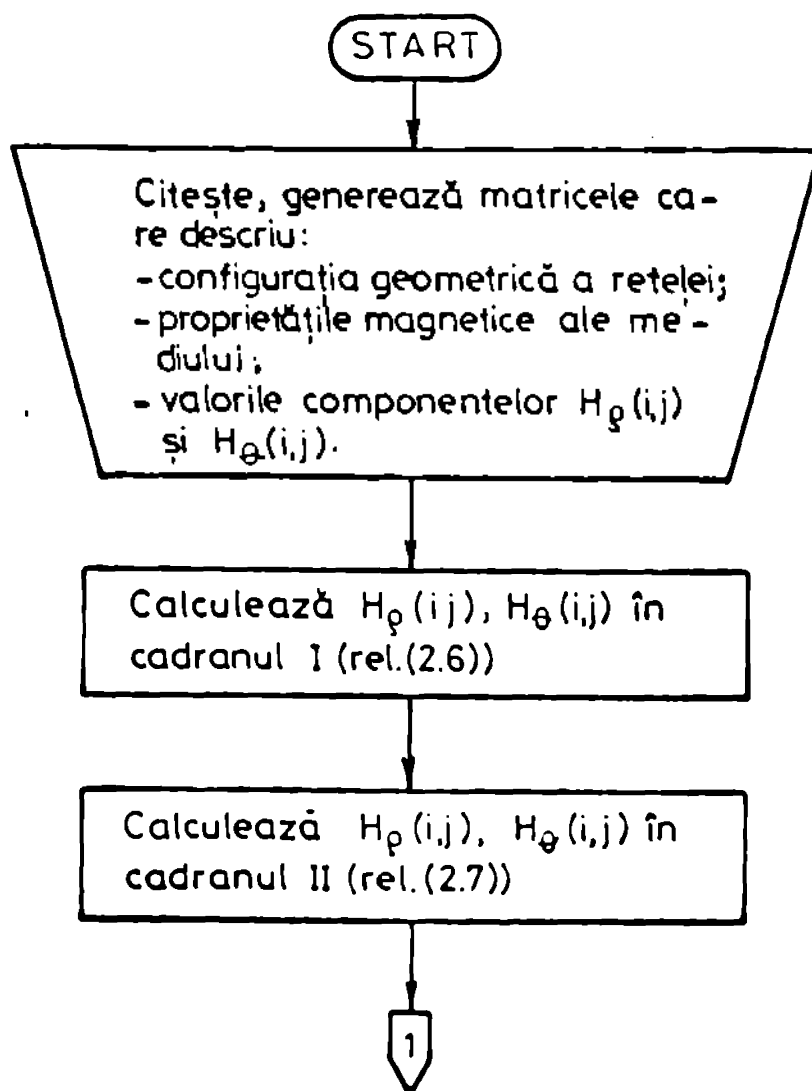


Fig.4.6

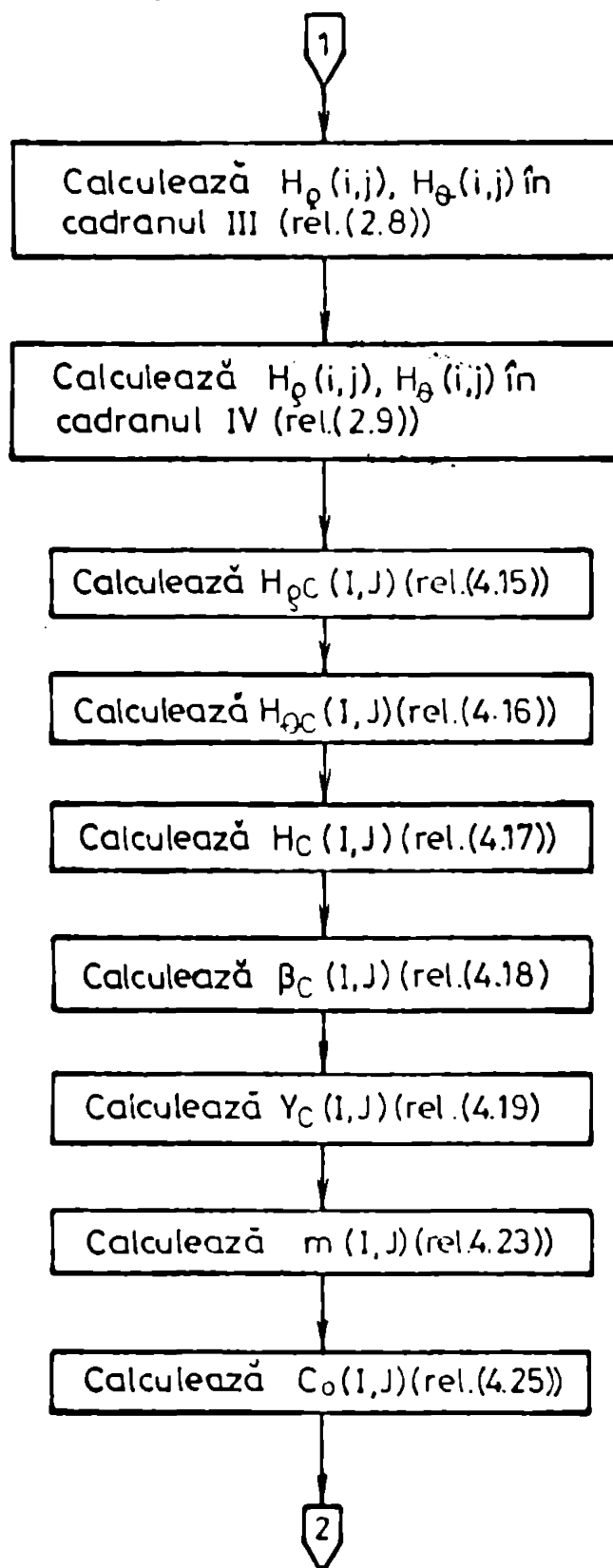


Fig.4.6 (continuare)



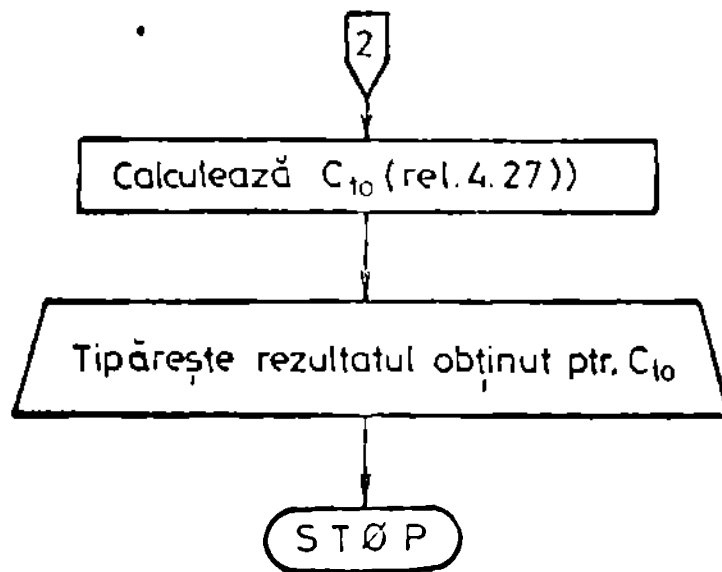


Fig. 4.6 (continuare)

## CAPITOLUL 5

### METODE DE CALOUL AL UNOR CARACTERISTICI ALE INSTRUMENTULUI MAGNETOELECTRIC CU MAGNET MOBIL

#### 5.1. Introducere

Studiul instrumentelor electrice de măsurat implică încadrarea lor într-o schemă bloc care permite definirea unor caracteristici importante ale lor [37]. Sub o formă simplificată schema bloc este redată în fig.5.1, în care s-au reprezentat mărimea de intrare  $x$ , mărimea de ieșire  $y$  și mărimile de influență  $v_1, v_2, \dots, v_n$  care acționează asupra instrumentului.

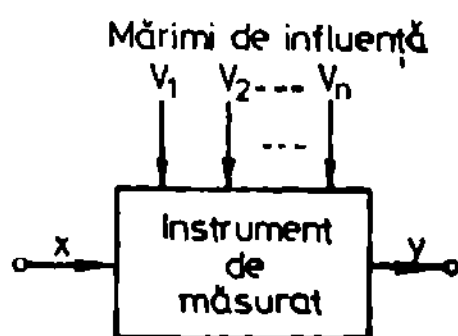


Fig.5.1.

Dacă mărimile de influență au valori corespunzătoare condițiilor de referință atunci relația:

$$y = f(x), \quad (5.1)$$

reprezintă caracteristica statică de transfer a instrumentului. Relația (5.1) este în general neliniară. Se are în vedere la proiectarea instrumentelor electrice de măsurat, realizarea unei caracteristici de transfer cât mai liniară.

Dacă mărimile de influență au valori diferite de cele stabilite prin condițiile de referință, relația (5.1) devine:

$$y = f(x, v_1, v_2, \dots, v_n) \quad (5.2)$$

Dezvoltind relația (5.2) în serie Taylor, pentru variații mici ale mărimilor  $x, v_1, v_2, \dots, v_n$  se obține:

$$y \approx \frac{\partial f}{\partial x} \cdot \Delta x + \frac{\partial f}{\partial v_1} \Delta v_1 + \frac{\partial f}{\partial v_2} \Delta v_2 + \dots + \frac{\partial f}{\partial v_n} \Delta v_n. \quad (5.3)$$

În relația (5.3) mărimea  $\partial f / \partial x$  reprezintă sensibilitatea utilă a instrumentului, iar mărimile  $\partial f / \partial v_1, \partial f / \partial v_2, \dots, \partial f / \partial v_n$  reprezintă sensibilitățile parazite ale instrumentului [37].

Sensibilitatea utilă a instrumentului trebuie să aibă o valoare precisă și cât mai stabilă în timp, determinând în principal erorile de măsurare ale instrumentului. Sensibilitățile parazite nu trebuie să aibă valori bine determinate, dar trebuie să fie sub anumite limite admise pentru instrument.

Relația (5.1) va fi determinată în acest capitol pentru instrumentul magnetoelectric cu magnet mobil. În baza ei se vor determina și alte mărimi caracteristice ale acestui tip de instrument.

Metodele de calcul al caracteristicilor instrumentului magnetoelectric cu magnet mobil sînt prezentate succint în literatură [61] și permit doar un calcul orientativ al lor.

Metodele de calcul dezvoltate de autor în acest capitol permit determinarea cu exactitate a caracteristicilor acestui instrument avînd ca punct de plecare configurația cîmpului magnetic din instrument.

Conținutul acestui capitol are la bază capitolele 1 - 4 ale tezei, împreună permițînd un studiu cantitativ exact al instrumentului magnetoelectric cu magnet mobil.

Metodele de calcul al caracteristicilor instrumentului magnetoelectric cu magnet mobil sînt în primul rînd valabile pentru acest tip de instrument, fiind în întregime concepute de autor.

## 5.2. Calculul unghiului de deviație permanentă

Unghiul  $\alpha = \alpha_p$  pentru care cuplul total, calculat cu relația (4.29) devine nul, reprezintă poziția de deviație permanentă a magnetului mobil. Pentru determinarea acestui unghi, corespunzător unui cîmp magnetic exterior dat se calculează cu relațiile (4.28 - 4.30) cuplurile pentru diferite valori ale unghiului  $\alpha$ .

Unghiul  $\alpha$  primește valorile  $0, \Delta\alpha, 2\Delta\alpha, \dots, p\Delta\alpha$ , în cadrul programului de calcul al cuplului activ, de la subcapitolul 4.5. Pentru un element (I, J) al rețelei de discretizare cuplurile parțiale vor fi:

$$\left. \begin{aligned} \alpha = 0 & : C_0(I, J) = C_{0k}(I, J) = \mu_M^m(I, J) H_C(I, J) \sin \gamma_C(I, J) \\ \alpha = \Delta\alpha & : C_{\Delta\alpha}(I, J) = C_{\Delta\alpha k}(I, J) = \mu_M^m(I, J) H_C(I, J) \sin [\gamma_C(I, J) + \Delta\alpha] \end{aligned} \right\}$$

$$\alpha = 2\Delta\alpha : C_{2\Delta\alpha}(I, J) = C_{2\Delta\alpha k}(I, J) = \mu_M^m(I, J) H_C(I, J) \sin[\gamma_C(I, J) + 2\Delta\alpha] \quad (5.4)$$

$$\alpha = p\Delta\alpha : C_{p\Delta\alpha}(I, J) = C_{p\Delta\alpha k}(I, J) = \mu_M^m(I, J) H_C(I, J) \sin[\gamma_C(I, J) + p\Delta\alpha]$$

în care  $\mu_M$  este permeabilitatea magnetică absolută a magnetului permanent mobil.

Relații de forma (5.4) se pot scrie pentru toate elementele rețelei de discretizare a magnetului permanent.

Scriind prima relație (5.4) pentru toate elementele magnetului permanent și efectuând suma lor rezultă cuplul activ total pentru unghiul  $\alpha = 0$ . Procedând la fel pentru toate valorile lui  $\alpha$ , rezultă șirul de relații de mai jos:

$$\left. \begin{aligned} \alpha = 0 & : C_{t0} = \sum_{k=1}^n C_{0k}(I, J) \\ \alpha = \Delta\alpha & : C_{t\Delta\alpha} = \sum_{k=1}^n C_{\Delta\alpha k}(I, J) \\ \alpha = 2\Delta\alpha & : C_{t2\Delta\alpha} = \sum_{k=1}^n C_{2\Delta\alpha k}(I, J) \\ \dots & \dots \\ \alpha = p\Delta\alpha & : C_{tp\Delta\alpha} = \sum_{k=1}^n C_{p\Delta\alpha k}(I, J) \end{aligned} \right\} \cdot \quad (5.5)$$

Relațiile de forma (5.5) permit calculul unghiului de deviație permanentă pentru orice configurație de câmp magnetic.

Urmărind configurația câmpului magnetic exterior (capitolul 2) se poate observa că valorile cuplului total scad la creșterea unghiului  $\alpha$ , pînă la un moment dat cînd cuplul activ devine nul, urmînd ca apoi cuplul să obțină valori negative, adică să-și schimbe semnul. Alegînd treptele  $\Delta\alpha$  suficient de mici în raport cu valoarea  $p\Delta\alpha$  se poate determina cu suficientă exactitate unghiul  $\alpha_p$ , de deviație permanentă, pentru care cuplul activ total devine nul. Valoarea  $p\Delta\alpha$  se alege urmărind configurația câmpului magnetic (capitolul 2), astfel încît pentru unghiul  $p\Delta\alpha$ , cuplul total să devină negativ.

Prin urmare în cadrul relațiilor (5.5) există o relație

de forma:

$$\alpha = \alpha_p : C_{t\alpha p} = \sum_{k=1}^n C_{\alpha pk}(I, J) = 0, \quad (5.6)$$

în baza căreia se indentifică unghiul de deviație permanentă  $\alpha_p$ .

Intr-o primă fază de calcul s-a plecat de la configurația de câmp stabilită de bobinele instrumentului plasate în pozițiile existente pentru instrumente fabricate, /56/, rezultînd unghiul  $\alpha_p$  pentru această situație. Valorile numerice obținute sînt prezentate în capitolul 6 al tezei de doctorat. Intr-o altă etapă de calcul s-au schimbat pozițiile bobinelor rezultînd altă configurație de câmp magnetic la care corespunde alt unghi de deviație. Noile valori sînt de asemenea prezentate în capitolul 6.

### 5.3. Calculul caracteristicii statice de transfer a instrumentului magnetoelectric cu magnet mobil

Pentru instrumentul magnetoelectric cu magnet mobil caracteristica statică de transfer reprezintă dependența:

$$\alpha_p = f(I), \quad (5.7)$$

sau

$$\alpha_p = f\left(\frac{I_1}{I_2}\right). \quad (5.8)$$

Caracteristica de forma (5.7) este valabilă pentru instrumente care măsoară direct curent electric, iar cea de forma (5.8) pentru instrumente care măsoară rapoarte de curenți (logometre magnetoelectrice cu magnet mobil).

Pentru caracteristica de forma (5.7) se indică în literatură /25, 60, 71/ relația:

$$\alpha_p = \arctg k I, \quad (5.9)$$

care descrie în mod orientativ caracterul scării instrumentului, așa cum s-a arătat în subcapitolul 4.4.

Calculul caracteristicilor (5.7, 5.8) se poate realiza exact în baza relațiilor (5.4, 5.5, 5.6).

Pentru aceasta se stabilesc valorile curentului  $I$ , din relația (5.7) sau a raportului  $I_1/I_2$  din relația (5.8) pentru care se determină deviațiile permanente. Fie de exemplu pentru carac-





2. Cuplul de inerție de forma:

$$C_J = J \frac{d^2\alpha}{dt^2}, \quad (5.14)$$

unde  $J$  este momentul de inerție în raport cu axa de rotație a echipajului mobil, iar  $d^2\alpha/dt^2$  este accelerația unghiulară a mișcării echipajului mobil.

3. Cuplul de amortizare total de forma:

$$C_A = A \frac{d\alpha}{dt}, \quad (5.15)$$

în care  $A$  este coeficientul de amortizare total al echipajului mobil (amortizarea cu aerul plus amortizarea cu ulei siliconic sau amortizare electromagnetică), iar  $d\alpha/dt$  este viteza unghiulară a echipajului mobil.

4. Cuplul de frecare  $\pm M_f$  cunoscut prin determinări experimentale.

Ecuația diferențială de mișcare va fi:

$$J \frac{d^2\alpha}{dt^2} + A \frac{d\alpha}{dt} = -F(\alpha) \pm M_f \quad (5.16)$$

Dacă mișcarea se produce în jurul poziției de echilibru  $\alpha = \alpha_p$ , expresia cuplului, relația (5.13), se poate aproxima pentru deviații mici cu o relație liniară de forma:

$$F(\alpha) = k_1 \Delta\alpha, \quad (5.17)$$

în care:

$$\Delta\alpha = \alpha - \alpha_p. \quad (5.18)$$

După terminarea fenomenului tranzitoriu, pentru care  $d^2\alpha/dt^2 = 0$  și  $d\alpha/dt = 0$  echipajul mobil se va afla într-o poziție  $\alpha'_p$  diferită de deviația permanentă  $\alpha_p$  calculată în subcapitolul 5.7.

Prin urmare se poate scrie relația:

$$-k_1(\alpha'_p - \alpha_p) \pm M_f = 0 \quad (5.19)$$

în care diferența  $\alpha'_p - \alpha_p = \Delta\alpha$  reprezintă o eroare cauzată de frecarea în lagăre a axului echipajului mobil. Relația (5.19) permite calculul erorii  $\Delta\alpha$ :

$$|\Delta\alpha| = \frac{M_f}{k_1}. \quad (5.20)$$

Problema se poate pune și invers și anume cât să fie sarcina  $k_1$  pentru un cuplu de frecare  $M_f$  cunoscut și pentru o devia-



ție  $\Delta\alpha$  (eroare) impusă.

Se precizează că relația (5.13) este în general neliniară la acest tip de instrument. Pe de altă parte pentru cuplul de frecare  $M_f$  se poate considera o valoare maximă ce poate apărea pentru orice poziție a echipajului mobil.

Prin urmare o relație de forma:

$$k_1 = \frac{M_f}{|\Delta\alpha|} \quad (5.21)$$

trebuie scrisă pentru acea poziție  $\alpha_p$  a echipajului mobil pentru care  $k_1$  este minim. Această observație permite să se tragă concluzia că dacă în relația (5.21) intervine pentru  $k_1$  valoarea minimă, atunci în orice punct de pe scara instrumentului eroarea va fi mai mică decât  $|\Delta\alpha|$ .

Considerînd funcția  $F(\alpha)$  continuă pe porțiuni în intervalul  $0 - \alpha_{\max}$ ,  $\alpha_{\max}$  fiind egal cu  $p\Delta\alpha$  din subcapitolele 5.2, 5.3, și să aibe un număr finit de puncte de discontinuitate derivata ei este:

$$F'(\alpha) = \lim_{\alpha \rightarrow \alpha_0} \frac{F(\alpha) - F(\alpha_0)}{\alpha - \alpha_0} = \frac{dF(\alpha)}{d\alpha} \quad (5.22)$$

În punctul corespunzător deviației permanente  $\alpha_0 = \alpha_p$   $F(\alpha_p) = 0$ . Ca urmare pentru  $\alpha = \alpha_p$ :

$$dF(\alpha) = F(\alpha) \quad (5.23)$$

și deci  $k_1$  dat de relația (5.17) se mai poate scrie:

$$k_1 = \lim_{\Delta\alpha \rightarrow 0} \frac{F(\alpha)}{\Delta\alpha} = \frac{dF(\alpha)}{d\alpha} \quad (5.24)$$

Deoarece funcția  $F(\alpha)$  este dependentă și de curenții  $I_1$ ,  $I_2$  ce străbat bobinele instrumentului,  $k_1$  este dat de relația:

$$k_1 = \left. \frac{\partial F(\alpha)}{\partial \alpha} \right|_{\substack{I_1 = \text{const} \\ I_2 = \text{const}}} \quad (5.25)$$

care definește această mărime ca o sensibilitate a cuplului în raport cu  $\alpha$ . Pe de altă parte mărimea  $k_1$  avînd ca unitate de măsură în SI [Nm/rad] ea reprezintă și cuplul stabilizator specific al acestui instrument.

Aceleași considerații se puteau obține dezvoltând în serie Taylor termenul al doilea al relației (5.16) și reținând termenii de ordinul I.

Relația (5.21) poate fi utilizată la proiectarea instrumentului magnetoelectric cu magnet mobil.

Se poate calcula dependența cuplului stabilizator specific funcție de unghiul de deviație permanentă.

Relațiile (5.12) permit determinarea perechilor de valori  $\alpha_{1j}, I_{1j}$  pentru  $I_{2N}$  care reprezintă caracteristica statică de transfer a instrumentului. Pentru unghiurile  $\alpha_{11}, \alpha_{12}, \dots, \alpha_{1j}, \dots, \alpha_{1q}$  cuplurile active ale instrumentului sînt nule (rel.5.12).

Caracteristica de forma (5.13) se cunoaște în principiu pentru orice valoare a curentului  $I_1$ , pentru care curentul  $I_2$  poate fi considerat parametru. Prin urmare se pot scrie următoarele relații:

$$\left. \begin{array}{l} C_{t1} = F_1(\alpha); I_1 = I_{11}, I_{2N} \\ C_{t2} = F_2(\alpha); I_1 = I_{12}, I_{2N} \\ \text{-----} \\ C_{tj} = F_j(\alpha); I_1 = I_{1j}, I_{2N} \\ \text{-----} \\ C_{tq} = F_q(\alpha); I_1 = I_{1q}, I_{2N} \end{array} \right\} \cdot \quad (5.26)$$

În jurul valorilor  $\alpha_{11}, \alpha_{12}, \dots, \alpha_{1j}, \dots, \alpha_{1q}$  funcțiile  $F_1(\alpha), F_2(\alpha), \dots, F_j(\alpha), \dots, F_q(\alpha)$  se pot scrie sub forma (5.17) pentru variații mici  $\Delta\alpha$  ale unghiului  $\alpha$ . Prin urmare:

$$\left. \begin{array}{l} F_1(\alpha) = k_{11} \Delta\alpha \\ F_2(\alpha) = k_{12} \Delta\alpha \\ \text{-----} \\ F_j(\alpha) = k_{1j} \Delta\alpha \\ \text{-----} \\ F_q(\alpha) = k_{1q} \Delta\alpha \end{array} \right\} \cdot \quad (5.27)$$

Perechile de valori obținute  $k_{11}, \alpha_{11}; k_{12}, \alpha_{12}; \dots, k_{1j}, \alpha_{1j}; \dots, k_{1q}, \alpha_{1q}$  reprezintă dependența cuplului stabilizator  $k_1$  în raport cu unghiul de deviație permanentă, curentul  $I_{2N}$  fiind considerat parametru. Pe de altă parte perechile de valori  $k_{11}, I_{11};$

$k_{1p}, I_{12}, \dots, k_{1j}, I_{1j}, \dots, k_{1q}, I_{1q}$  reprezintă dependența cuplului stabilizator în raport cu curentul  $I_1$ , la  $I_2 = I_{2N}$ .

Caracteristicile cuplului stabilizator vor fi redată în capitolul 6.

### 5.5. Factorul de calitate al instrumentului magnetoelectric cu magnet mobil

În literatură se indică pentru factorul de calitate al unui instrument electromecanic relația /55/ :

$$A = 10 \frac{M_{D90^0}}{G^{1,5}}, \quad (5.28)$$

în care  $M_{D90^0}$  este cuplul antagonist pentru deviația maximă ( $90^0$ ), iar  $G$  reprezintă greutatea echipajului mobil fixat pe axul instrumentului. Relația (5.28) este introdusă empiric.

În general greutatea echipajului mobil determină frecările din lagărele instrumentului. Cuplul de frecare  $M_f$  este dependent în realitate de greutatea  $G$ , a echipajului mobil, de calitatea materialelor din care sînt fabricate axele și lagărele cum și de gradul de prelucrare mecanică al lor. Pentru instrumente care au aceeași tehnologie de fabricație a axelor și lagărelor, relația (5.28) permite o comparare a lor. În acest caz factor de calitate mai mare înseamnă erori datorate frecărilor mai mici.

Pentru instrumentele magnetoelectrice cu magnet mobil fără cuplu antagonist mecanic, relația (5.28) nu are sens.

Pentru astfel de instrumente se poate propune pentru factorul de calitate relația

$$A = B \frac{k_1}{M^{1,5}}, \quad (5.29)$$

în care  $M$  este masa echipajului mobil în  $[g]$ ,  $k_1$  este cuplul stabilizator specific cel mai defavorabil al instrumentului în  $[mN/grad]$  determinat din relațiile (5.25), iar coeficientul  $B$  s-a introdus pentru ca factorul de calitate  $A$  să fie cuprins în intervalul  $0,1 - 1$ . Valoarea numerică a coeficientului  $B$  este dată în capitolul 6.

Cu factorul de calitate propus prin relația (5.29) se pot compara instrumentele magnetoelectrice cu magnet mobil, fără cuplu rezistent mecanic, fabricate după aceeași tehnologie referi-

toare la ax și lagăre.

### 5.6. Modificarea caracterului scării instrumentului magnetoelectric cu magnet mobil

Caracteristica statică de transfer a instrumentului magnetoelectric cu magnet, dată de relațiile (5.1, 5.12) care determină caracterul scării instrumentului se poate schimba prin modificarea distribuției cîmpului magnetic din instrument.

În capitolul 2 s-a calculat cîmpul magnetic pentru un ecran magnetic modificat față de cel din /56/ și pentru o altă poziție a bobinelor instrumentului (subcapitolele 2.6 - 2.7).

Utilizînd distribuțiile de cîmp magnetic se pot calcula caracteristici statice de transfer cu relațiile (5.1, 5.12).

Caracteristicile obținute sînt prezentate și comentate în capitolul 6 al tezei de doctorat.

### 5.7. Calculul sensibilității logometrului magnetoelectric cu magnet mobil

În subcapitolul 5.3 este indicată metoda propusă de autor pentru calculul caracteristicilor statice de forma (5.8). Aceste caracteristici sînt prezentate sub formă numerică și grafică în capitolul 6 pentru mai multe configurații de cîmp magnetic.

Sensibilitatea logometrului magnetoelectric cu magnet mobil se poate calcula din relația:

$$S = \frac{\partial r\left(\frac{I_1}{I_2}\right)}{\partial I_1} \Bigg|_{I_2=\text{const}}, \quad (5.30)$$

în care  $I_1$  este curentul prin bobinele  $BO_1, BO_2$  (fig.2.1, 2.5) dependent direct de mărimea ce se măsoară de logometru, iar  $I_2$  este de regulă un curent constant prin bobina  $BO_3$  (fig.2.1, 2.5).

Calculul sensibilității se poate efectua cu o metodă de derivare numerică /85/ referitoare la funcția de forma (5.8).

În capitolul 6 sînt prezentate numeric și grafic sensibilitatea instrumentului magnetoelectric cu magnet mobil.

## CAPITOLUL 6

### REZULTATE EXPERIMENTALE

#### 6.1. Introducere

În subcapitolul 6.2 autorul prezintă rezultatele experimentale referitoare la măsurarea momentului magnetic al magnetului permanent mobil obținute cu metoda tratată în capitolul 3.

Subcapitolul 6.3 cuprinde o metodă de determinare experimentală a permeabilității magnetice a magnetului permanent al instrumentului, valabilă pentru permeabilități magnetice relative mici.

Pentru instrumentul cu dimensiunile geometrice indicate în subcapitolul 6.4, în subcapitolele 6.5 și 6.6 sînt prezentate caracteristicile cuplului activ, unghiul de deviație permanentă, caracteristicile statice de transfer, caracteristicile cuplului stabilizator specific, factorul de calitate și caracteristica de sensibilitate a instrumentului magnetoelectric cu magnet mobil calculate în baza relațiilor din capitolele 4 și 5.

Subcapitolul 6.8 cuprinde caracteristicile enumerate mai sus, calculate pentru instrumentul din fig.2.5 (capitolul 2).

Prin prezentarea rezultatelor experimentale și a caracteristicilor calculate, autorul confirmă cercetările efectuate în capitolele 1 - 5 ale tezei de doctorat asupra instrumentului magnetoelectric cu magnet mobil.

#### 6.2. Momentul magnetic al magnetului permanent

Determinarea experimentală a momentului magnetic are la bază metoda de măsurare prezentată detaliat în capitolul 3 al tezei de doctorat.

### 6.2.1. Magnetometrul

S-a utilizat un etalon de câmp magnetic 6, fabricat la Institutul național de metrologie, seria 7804, avînd constanta  $601,6 \mu\text{T/A}$ , conectat în schema din fig.6.1. Sursa de tensiune

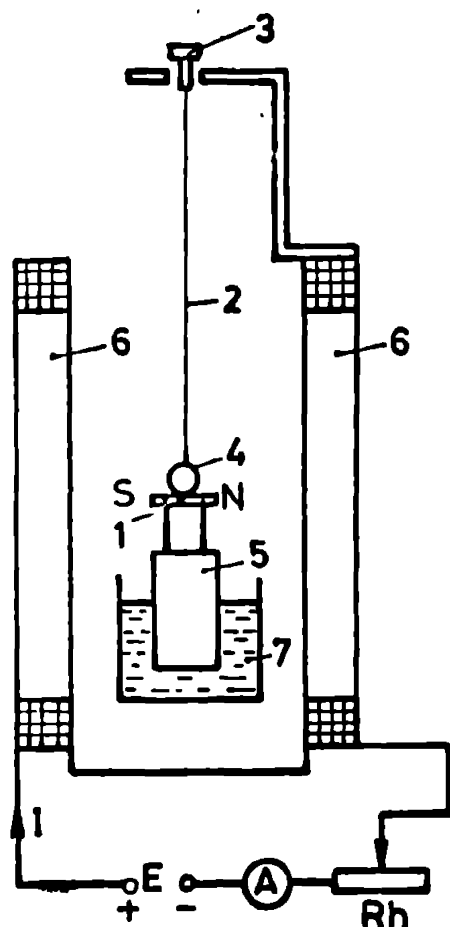


Fig.6.1.

electromotoare  $E$  continuă reprezintă o sursă stabilizată electronic de tip E4109 cu posibilitatea modificării tensiunii. Ampermetrul utilizat reprezintă un multimetru numeric Philips, tip PM 2421, clasa 0,1, iar rezistența reglabilă  $R_h$  servește la modificarea curentului  $I$  la valorile necesare.

Magnetul magnetometrului s-a realizat dintr-o bară cilindrică din oțel de scule. Diametrul este de 2 mm iar lungimea 20 mm, ceea ce asigură rotirea lui în zona de maximă uniformitate a câmpului produs de etalonul 6. Firul de suspenzie a fost realizat din relon cu diametrul în jur de 0,008 mm. S-a constatat experimental că rotind piesa 3 (fig.6.1) cu un unghi de  $\pm 45^\circ$ , poziția magnetului 1

nu s-a modificat chiar în prezența celui mai mic câmp magnetic existent, adică pentru componenta orizontală a câmpului magnetic existentă în laborator, ceea ce denotă că firul de suspenzie nu introduce un cuplu rezistent măsurabil în această instalație.

Amortizarea echipajului mobil s-a realizat cu piesa magnetică 5, rigid fixată de magnetul 1 care se poate roti în paharul 7 ce conține apă.

Amortizarea s-a reglat la o valoare convenabilă măsurărilor. Intregul sistem de măsurare a fost ecranat electrostatic, cu foițe din aluminiu. Suportii au fost realizați din alamă nemagnetice. S-a conceput un dispozitiv de fixare a magnetului permanent de cercetat cu posibilitatea rotirii acestuia, în vederea orientării axei magnetice care permite și citirea exactă a distanțelor ce intervin în relațiile de calcul. Acest dispozi-

tiv nu este prezentat în fig.6.1.

### 6.2.2. Valorile intensității câmpului magnetic în care au avut loc determinările

S-a determinat experimental componenta orizontală a intensității câmpului magnetic terestru existentă în centrul O al magnetometrului (fig.3.10, capitolul 3), cu relația (3.48) măsurându-se perioadele  $T_1$  și  $T_2$  pentru perechea de valori  $H_1, H_2$  ale intensității câmpului magnetic realizate cu etalonul de câmp. S-au efectuat 10 determinări pentru componenta orizontală a câmpului magnetic terestru. A rezultat valoarea medie a acestor determinări  $H_p = 11,73$  A/m. În literatură este indicată componenta orizontală a intensității câmpului magnetic terestru. Din [42] rezultă pentru această componentă valoarea  $18,3$  A/m pentru Europa la paralele  $45^\circ$  și meridianul  $21^\circ$  față de Greenwich. Intensitatea câmpului magnetic măsurată a fost mai mică ceea ce se explică prin efectul de ecranare magnetică al clădirii cu structură de beton armat, în care au avut loc determinările experimentale. Perioadele  $T_1$  și  $T_2$  s-au măsurat utilizând un cronometru, efectuându-se citirea a cel puțin 20 de perioade în vederea micșorării erorilor de măsurare ale acestora.

Componenta orizontală a intensității câmpului magnetic din centrul O al magnetometrului (fig.3.10) s-a determinat experimental și inversând sensul curentului prin bobinele etalonului și reglând curentul pînă ce poziția magnetului l a fost complet indecisă. A rezultat un curent de  $24,54$  mA, la care corespunde o intensitate de câmp magnetic de  $11,75$  A/m. Se observă o foarte bună concordanță între cele două rezultate obținute, diferența între ele corespunzînd unei erori relative de  $0,17\%$ .

Odată determinată valoarea lui  $H_p$  s-au fixat următoarele valori ale intensității câmpului magnetic  $H_0 + H_p$ :  $11,73$ ;  $23,46$ ;  $35,19$ ;  $46,92$ ;  $58,65$  și  $70,38$  A/m, produse de curenți I egali cu:  $0$ ;  $24,54$ ;  $49,08$ ;  $73,62$ ;  $98,16$  și  $122,7$  mA. S-au ales valori pentru  $H_0 + H_p$  multiplu de  $H_p$ .



### 6.2.3. Alegerea distanțelor $R_1$ , $R_2$ și $l$

În literatură /42, 43/ se recomandă ca raportul distanțelor  $R_2/R_1$  să se aleagă în jur de 1,4 astfel ca relațiile în care intervin mărimile  $R_2^5$ ,  $R_1^5$ ,  $R_2^2$  și  $R_1^2$  să fie convenabile din punct de vedere al erorilor ce le introduc. Relația (3.49) impune ca distanțele  $R_1$  sau  $R_2$  să fie cât mai mari astfel încât să se poată neglija coeficienții de distribuție proporționali cu  $1/R^4$ , respectiv ca mărimea  $\eta/R^2$  să fie mică în raport cu 1, /42, 43/.

Mărind însă aceste distanțe scade valoarea cîmpului  $H_n$  (relația (3.49)) la nivelul magnetului 1 (fig.3.10), scădere proporțională cu  $1/R^3$ . De aceea perechile de valori  $R_1$ ,  $R_2$  au fost astfel stabilite încât pentru o distanță  $l$  convenabilă, deviațiile  $a_1$  și  $a_2$  să obțină valori suficient de mari, însă care să respecte relația (3.55). Distanța  $l$  a fost stabilită la valoarea de 1,3 m.

Au rezultat distanțe  $R_{1,2}$  cuprinse între 0,17 m și 0,26 m la care corespund deviații  $a_1$  și  $a_2$  cuprinse între 160 mm și 4 mm pentru valorile de cîmp indicate.

### 6.2.4. Calculul momentului magnetic al magnetului permanent

S-au efectuat determinări experimentale pentru un set de 6 magneți permanenți sub formă de disc.

Momentul magnetic al acestora s-a calculat cu relația (3.56). Pentru fiecare magnet s-au efectuat 24 de determinări, pentru valorile de cîmp magnetic  $H_0 + H_p$  indicate și pentru perechi de distanțe  $R_1$ ,  $R_2$ . S-a efectuat media celor 24 de determinări, iar apoi media celor 6 valori obținute. Această valoare de  $20,5 \cdot 10^{-3} \text{ Am}^2$  a fost utilizată în capitolul 4 la calculul cuplului activ. Valorile medii individuale pe magneți au fost:  $19,61 \cdot 10^{-3}$ ;  $23,88 \cdot 10^{-3}$ ;  $20,59 \cdot 10^{-3}$ ;  $20,71 \cdot 10^{-3}$ ;  $21,00 \cdot 10^{-3}$  și  $17,23 \cdot 10^{-3} \text{ Am}^2$ . Se observă o dispersie pronunțată a valorilor obținute.

După cum s-a arătat în capitolul 4 de calcul al cuplului activ momentul magnetic intervine în relațiile de calcul al acestuia. Luând ca referință cuplul calculat pentru un același



unghi de deviație, de exemplu  $\alpha = 0$ , valorile obținute vor fi diferite de la un instrument la altul, din cauza dispersiei momentelor magnetice ale magneților permanenți. Este important ca aceste cupluri să fie mari în comparație cu cuplul de frecare al mecanismului mobil, astfel încât instrumentele să se poată încadra în cadrul unor caracteristici metrologice prestabilite. Prin urmare dacă această condiție este satisfăcută, atunci dispersia valorilor momentului magnetic nu mai prezintă nici o importanță asupra celorlalte caracteristici ale instrumentului, cum ar fi caracterul scării, sensibilitatea, etc.

Este util a calcula cu relația (3.49) valoarea  $H_n$  a intensității cîmpului magnetic produs în punctul  $O$  pentru o distanță  $R$  utilizată în determinări, de magnetul disc plasat în punctul  $O_1$  (fig.3.10), cu neglijarea termenului  $\eta/R_1^2$ . Pentru  $m=20,5 \cdot 10^{-2} \text{ Am}^2$  și  $R=0,25 \text{ m}$  rezultă  $H_n=0,209 \text{ A/m}$ , valoare mai mică de 85 ori decît componenta orizontală a cîmpului magnetic terestru din punctul  $O$  al instrumentului (fig.3.10).

### 6.3. Măsurarea permeabilității magnetice relative a magnetului permanent mobil

Se consideră un cilindru circular din material feromagnetic izotrop, avînd permeabilitatea magnetică relativă  $\mu_r$ , introdus într-un cîmp magnetic exterior uniform de intensitate magnetică  $H_0$ , fig.6.2.

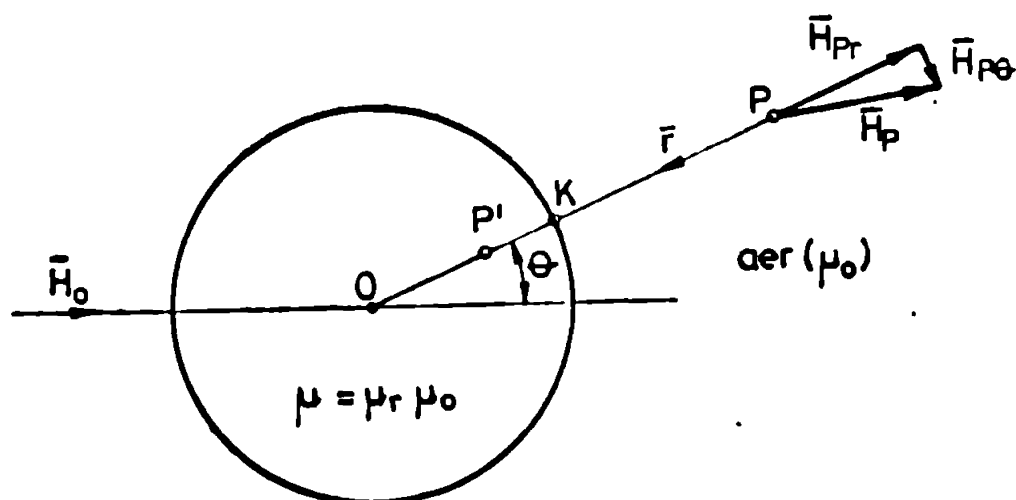


Fig.6.2.

Relația (3.24, capitolul 3) exprimă potențialul magnetic  $V_{MP}$  într-un punct  $P$  exterior cilindrilor. Componenta  $H_{Pr}$  a

intensității câmpului magnetic  $H_P$  în punctul P este dată de relația:

$$H_{Pr} = - \frac{\partial V_{mp}}{\partial r} = H_0 \left( \frac{a^2}{r^2} \frac{\mu_r - 1}{\mu_r + 1} + 1 \right) \cos \theta, \quad (6.1)$$

în care  $a$  este raza cilindrului iar  $r$  este modulul vectorului de poziție al punctului P în raport cu originea O, fig.6.2. Componenta  $H_{P\theta}$  a intensității câmpului magnetic  $H_P$ , după coordonata  $\theta$  este:

$$H_{P\theta} = - \frac{\partial V_{mp}}{r \partial \theta} = -H_0 \left( \frac{a^2}{r^2} \frac{\mu_r - 1}{\mu_r + 1} - 1 \right) \sin \theta. \quad (6.2)$$

Pentru  $r=a$  rezultă din relațiile (6.1, 6.2) componentele intensității câmpului magnetic în punctul K pe suprafața exterioară a cilindrului:

$$\left. \begin{aligned} H_{K\theta \text{ ext}} &= \frac{2 \mu_r}{\mu_r + 1} H_0 \cos \theta \\ H_{Kr \text{ ext}} &= - \frac{2}{\mu_r + 1} H_0 \sin \theta \end{aligned} \right\}. \quad (6.3)$$

Componentele similare ale inducției magnetice în punctul K, pe suprafața exterioară a cilindrului rezultă din relațiile (6.3) prin multiplicare cu  $\mu_0$ :

$$\left. \begin{aligned} B_{K\theta \text{ ext}} &= \frac{2 \mu_r \mu_0}{\mu_r + 1} H_0 \cos \theta \\ B_{Kr \text{ ext}} &= - \frac{2 \mu_0}{\mu_r + 1} H_0 \sin \theta \end{aligned} \right\}. \quad (6.4)$$

Potențialul magnetostatic  $V_{mp}$  în punctul P' din interiorul cilindrului este dat, în [33], de relația:

$$V_{mp'} = - \frac{2 H_0 a^2}{\mu_r + 1} \cos \theta, \quad (6.5)$$

iar componentele  $H_{P'r}$ ,  $H_{P'\theta}$  ale intensității câmpului magnetic în punctul P' sau în punctul K pe suprafața interioară a cilindrului se pot calcula cu relațiile:

$$\left. \begin{aligned} H_{P'r} = H_{K\theta \text{ int}} &= \frac{2}{\mu_r + 1} H_0 \cos \theta \end{aligned} \right\}. \quad (6.6)$$

$$H_{P'\Theta} = H_{K\Theta\text{int}} = - \frac{2}{\mu_r + 1} H_0 \sin \Theta$$

Avînd în vedere /51/ că la suprafața de separație a celor două medii cu permeabilități magnetice diferite se conservă componentele normale ale inducției, identice cu cele după coordonata  $\Theta$  și componentele tangențiale ale intensității cîmpului magnetic, identice cu cele după coordonata  $\Theta$ , rezultă:

$$\left. \begin{aligned} B_{r\text{int}} &= \frac{2 \mu_r \mu_0}{\mu_r + 1} H_0 \cos \Theta \\ B_{\Theta\text{int}} &= \mu_0 \mu_r H_{K\Theta\text{int}} = - \frac{2 \mu_r \mu_0}{\mu_r + 1} H_0 \sin \Theta \end{aligned} \right\}, \quad (6.7)$$

în care  $B_{r\text{int}}$  și  $B_{\Theta\text{int}}$  sînt componentele inducției  $\vec{B}$  într-un punct în interiorul cilindruului. De asemenea se poate scrie (relația 6.6) :

$$\left. \begin{aligned} H_{r\text{int}} &= \frac{2}{\mu_r + 1} H_0 \cos \Theta \\ H_{\Theta\text{int}} &= - \frac{2 H_0}{\mu_r + 1} H_0 \sin \Theta \end{aligned} \right\}, \quad (6.8)$$

$H_{r\text{int}}$  și  $H_{\Theta\text{int}}$  fiind componentele intensității cîmpului magnetic  $\vec{H}$  în interiorul cilindruului.

Ca urmare modulele vectorilor  $\vec{B}$  și  $\vec{H}$  în interiorul cilindruului vor fi date de relațiile:

$$\left. \begin{aligned} B &= \sqrt{B_{r\text{int}}^2 + B_{\Theta\text{int}}^2} = \frac{2 \mu_r}{\mu_r + 1} \mu_0 H_0 \\ H &= \sqrt{H_{r\text{int}}^2 + H_{\Theta\text{int}}^2} = \frac{2}{\mu_r + 1} H_0 \end{aligned} \right\}. \quad (6.9)$$

În fig.6.3 se consideră ciclul de histerezis al magnetului permanent, partea din cadranul II cunoscută prin determinări experimentale în circuit magnetic închis, în care  $B_R$  este inducția magnetică remanentă iar  $H_C$  intensitatea cîmpului magnetic coercitiv /53, 51, 60, 82/.

Valoarea inducției magnetice generată de magnet în circuit magnetic deschis este  $B_F < B_R$ , rezultînd la intersecția dreptei (Δ) cu ciclul de histerezis,  $H_F$  fiind cîmpul magnetic demagnetizant din interiorul magnetului permanent.

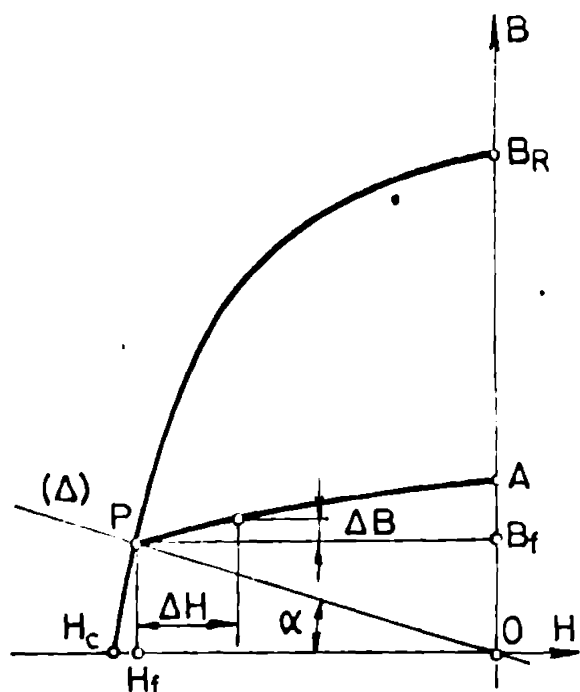


Fig. 6.3.

Panta dreptei ( $\Delta$ ) depinde de coeficientul de demagnetizare al magnetului permanent, dependent de geometria magnetului și a circuitului magnetic în care este introdus. La instrumentul magnetoelectric cu magnet mobil, magnetul permanent se află într-un circuit magnetic practic deschis. Ca urmare coeficientul de demagnetizare  $K_d$ , dat de relațiile de mai jos:

$$\left. \begin{aligned} K_d &= \frac{H_f}{M} \\ z \operatorname{tg} \alpha &= K_d \end{aligned} \right\}, \quad (6.10)$$

va avea o valoare apropiată de 1. În relațiile (6.10)  $M$  este demagnetizarea din magnet,  $z$  coeficient de scară, iar  $\alpha$  are semnificația din fig. 6.3.

În literatură se indică pentru  $K_d$  valori calculate pentru diferite forme ale magnetelor permanenți /51/.

Astfel pentru un disc plan infinit subțire coeficientul de demagnetizare este 1. Pentru un cilindru circular infinit lung coeficientul de demagnetizare este 0,5. Prin urmare pentru magnetul permanent cu raportul între diametru și lungime 0,2 (cazul magnetului instrumentului magnetoelectric) coeficientul de demagnetizare va fi cuprins în intervalul 0,5 - 1. Prin urmare punctul de funcționare  $P$  din fig. 6.3 va fi apropiat de  $H_c$ , rezultând inducția magnetică  $B_f$  relativ mică.

La modificarea cîmpului magnetic  $H_f$  cu  $\Delta H$  inducția magnetică va avea o variație  $\Delta B$ , determinată cu ajutorul curbei de revenire, porțiunea  $PA$  din fig. 6.3, care în aplicațiile practice se poate întotdeauna aproxima cu o dreaptă /82/.

Permeabilitatea magnetică absolută  $\mu_M$  a magnetului permanent va fi panta curbei de revenire în punctul  $P$ :

$$\mu_M = \frac{\Delta B}{\Delta H}, \quad (6.11)$$

iar permeabilitatea magnetică relativă  $\mu_{rM}$  a magnetului permanent este:

$$\mu_{rM} = \frac{\Delta B}{\mu_0 \Delta H} \quad (6.3)$$

Variația  $\Delta H$  a intensității câmpului magnetic poate fi realizată în c.c. sau în c.a. La determinarea experimentală a lui  $\mu_{rM}$  autorul a preferat măsurări în curent alternativ de joasă frecvență (40-60 Hz) deoarece variațiile  $\Delta B$  se pot măsura comod și cu erori mici, prin măsurarea t.e.m. induse într-o bobină de măsurare, cu un voltmetru numeric de c.a. (cu convertor c.a. - c.c. de valoare medie).

Schema de măsurare a permeabilității magnetice este reînălțată principial în fig.(6.4.a, 6.4.b) în care MP este magnetul permanent, BM bobina de măsurare plasată în zona neutră a magnetului,

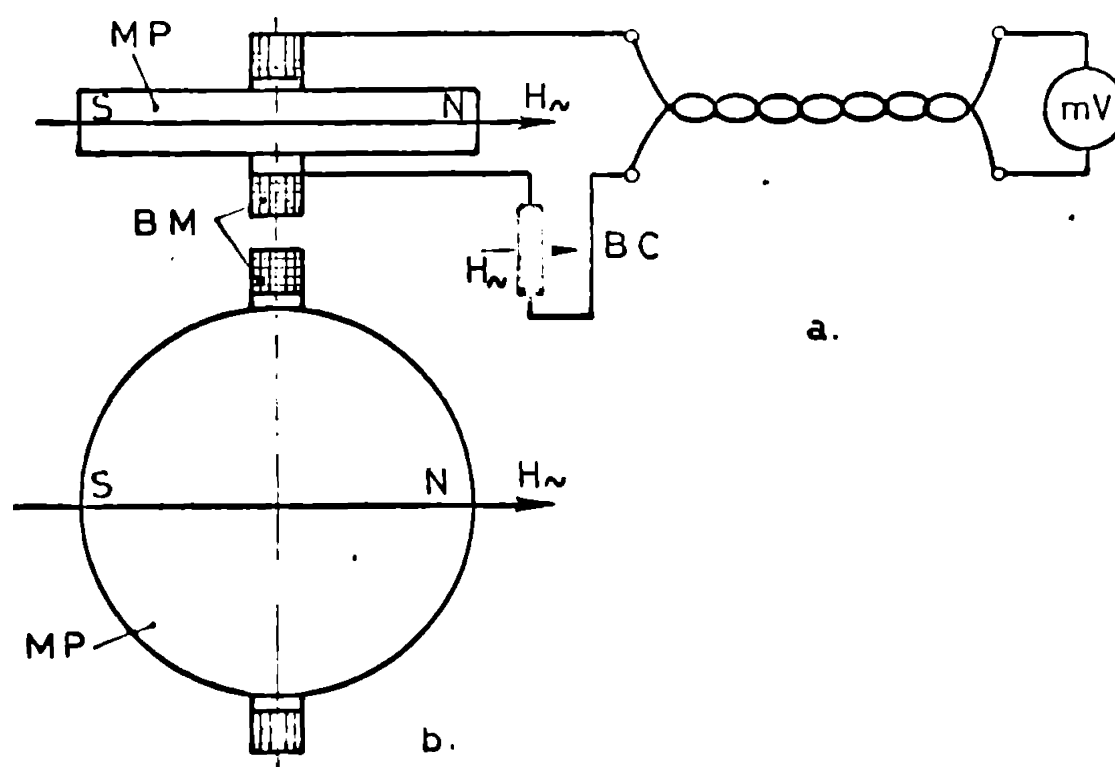


Fig.6.4.

mV un voltmetru numeric de valoare medie, etalonat în valori efective pentru regim sinusoidal, iar  $H_{\sim}$  este un câmp magnetic exterior uniform realizat cu un etalon de câmp magnetic de tip bobine Helmholtz alimentat în c.a. cu frecvența de 40 - 60 Hz de la un amplificator de putere. În fig.6.5 s-a reprezentat geometria bobinei de măsurare, S fiind secțiunea medie a bobinei, iar  $S_f$  secțiunea din bobină cupată de magnet. Suprafața  $S_g = S - S_f$  se va

sidera cu permeabilitatea magnetică absolută  $\mu_0$ .

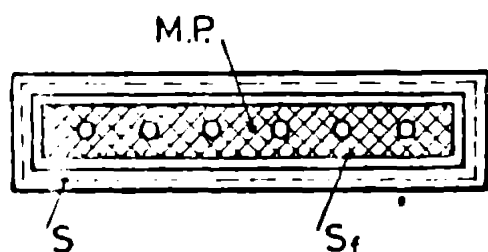


Fig.6.5.

Permeabilitatea magnetică relativă  $\mu_{rM}$  a magnetului permanent rezultă din relațiile (6.9, 6.12) în care  $H_0 = H_{\sim}$ ,  $H = \Delta H_f$  și  $B = \Delta B_f$ :

$$\mu_{rM} = \frac{\Delta B_f}{\mu_0 \Delta H_f} \quad (6.13)$$

Cu bobina de măsurare, prin intermediul t.e.m. induse se măsoară fluxul magnetic total  $N\phi$ .

$$N\phi = (\Delta B_f S_f + \Delta B_a S_a)N, \quad (6.14)$$

în care  $\Delta B_a$  este inducția în aer în spațiul dintre bobină și magnet,  $S_a = S - S_f$ ,  $N$  este numărul de spire al bobinei, iar  $\phi$  este fluxul fascicular. Din relația (6.14) se poate exprima  $\Delta B_f$ :

$$\Delta B_f = \frac{\phi}{S_f} - \Delta B_a \frac{S_a}{S_f} \quad (6.15)$$

Din relațiile (6.13, 6.15) rezultă:

$$\mu_{rM} = \frac{\mu_{rM} + 1}{2\mu_0 H_{\sim}} \left( \frac{\phi}{S_f} - \Delta B_a \frac{S_a}{S_f} \right) = \frac{\mu_{rM} + 1}{2\mu_0 H_{\sim}} \left( \frac{\phi}{S_f} - \mu_0 H_{\sim} \frac{S_a}{S_f} \right) \quad (6.16)$$

Dînd factor comun pe  $\mu_{rM}$  se poate scrie:

$$\begin{aligned} \mu_{rM} \left( 1 - \frac{\phi}{S_f} - \mu_0 H_{\sim} \frac{S_a}{S_f} \right) &= \frac{\phi}{S_f} - \mu_0 H_{\sim} \frac{S_a}{S_f} = \frac{\phi}{2\mu_0 H_{\sim} S_f} - \frac{1}{2} \frac{S_a}{S_f} = \\ &= \frac{\phi \cdot S}{2\mu_0 H_{\sim} S_f S} - \frac{1}{2} \frac{S_a}{S_f} = \frac{\phi}{2\phi_0} \cdot \frac{S}{S_f} - \frac{1}{2} \frac{S - S_f}{S_f} = \\ &= \frac{1}{2} \frac{S}{S_f} \left( \frac{\phi}{\phi_0} - 1 \right) + \frac{1}{2} \quad , \end{aligned} \quad (6.17)$$

în care s-a notat cu  $\phi_0 = 2\mu_0 H_{\sim} S$  fluxul fascicular în suprafața bobinei în absența magnetului.

Ultimul termen obținut în relația (6.17) este identic cu termenul ce se scade din 1 în paranteza expresiei (6.17).

Ca urmare:

$$\mu_{rM} \left( 1 - \frac{1}{2} - \frac{1}{2} \frac{S}{S_f} \frac{\phi - \phi_0}{\phi_0} \right) = \frac{1}{2} \left( \frac{S}{S_f} \frac{\phi - \phi_0}{\phi_0} + 1 \right) \quad (6.18)$$

din care va rezulta următoarea relație pentru  $\mu_{rM}$ ,

$$\mu_{rM} = \frac{\frac{S}{S_f} \frac{\phi - \phi_0}{\phi_0} + 1}{1 - \frac{S}{S_f} \frac{\phi - \phi_0}{\phi_0}} \quad (6.19)$$

Deoarece fluxurile  $\phi$  și  $\phi_0$  sînt proporționale cu t.e.m. corespunzătoare induse în bobina de măsurare:

$$\begin{aligned} \phi &= K_\phi U. \\ \phi_0 &= K_\phi U_0 \end{aligned} \quad (6.20)$$

în care  $K_\phi$  este constanta față de flux a bobinei de măsurare, rezultă din relația (6.19) expresia finală a permeabilității magnetice relative  $\mu_{rM}$  a magnetului permanent:

$$\mu_{rM} = \frac{\frac{S}{S_f} \frac{U - U_0}{U_0} + 1}{1 - \frac{S}{S_f} \frac{U - U_0}{U_0}} \quad (6.21)$$

în care  $U$  și  $U_0$  sînt indicațiile voltmetrului conectat la bornele bobinei obținute, fără magnet și cu magnetul introdus în bobină.

Factorul  $S/S_f$  a fost calculat din dimensiunile geometrice ale bobinei și magnetului rezultînd 2,72.

În relația (6.21) apare diferența  $U - U_0$  care poate fi afectată de erori mari cînd se măsoară separat fiecare termen. Pentru a îmbunătăți precizia de măsurare a permeabilității magnetice

$\mu_{rM}$  diferența  $U - U_0$  se poate măsura direct introducînd în schema din fig.6.4.a bobina BC de compensare, astfel încît în absența magnetului în bobina de măsurare t.e.m. induse în cele două bobine să fie egale și în opoziție. Bobina BC nu trebuie să fie identică cu cea de măsurare, putînd fi plasată în zona de cîmp magnetic produs de etalonul de cîmp, la o distanță suficient de mare de bobina BM astfel încît t.e.m. indusă în ea să depindă numai de intensitatea cîmpului magnetic creat de etalon. Compensarea totală în absența magnetului în bobina de măsurare se poate realiza ușor prin deplasarea bobinei de compensare, sau rotirea ei într-o zonă de cîmp magnetic neuniform creat de etalonul de cîmp.

Cu aceste relații (6.21) devine:



$$\mu_{rM} = \frac{\frac{S}{S_f} \frac{\Delta U}{U_0} + 1}{1 - \frac{S}{S_f} \frac{\Delta U}{U_0}}, \quad (6.22)$$

în care  $\Delta U$  este t.e.m. ce apare în bobina de măsurare în prezența magnetului, măsurată direct de voltmetru, iar  $U_0$  este t.e.m. indusă în bobina de măsurare după ce magnetul a fost îndepărtat și bobina de compensare scurtcircuitată. Această procedură a fost aplicată la măsurarea permeabilității magnetice relative a magnetului permanent.

Cîmpul magnetic  $H_m$  a fost determinat de un c.a. de 4A, 50 Hz rezultînd amplitudinea cîmpului magnetic alternativ de 2700 A/m. Tensiunile electromotoare induse au fost măsurate cu un voltmetru numeric tip V 541 și au avut valorile  $\Delta U=15,4$  mV pentru magneți din alnico 24 K și  $\Delta U=4,3$  mV pentru magneți din ferită FBI (ferită cu bariu izotropă) provenită de la întreprinderea de ferite Urziceni, iar t.e.m.  $U_0$  a avut valoarea  $U_0=115$  mV.

A rezultat  $\mu_{rM}=2,14$  pentru magneți din alnico 24 K și  $\mu_{rM}=1,22$  pentru magneți din ferită FBI.

#### 6.4. Configurația geometrică a instrumentului magnetoelectric cu magnet mobil

În acest subcapitol sînt prezentate dimensiunile geometrice ale instrumentului magnetoelectric cu magnet mobil preluate din /84/ și utilizate în programele de calcul referitoare la capitolele 2 și 4. În fig.6.6 este reprezentată o jumătate din secțiunea transversală prin instrumentul magnetoelectric cu magnet mobil din /56, 84/. Prin simetrie în raport cu axa  $BB'$  se obține întreaga secțiune transversală din instrument. În fig.6.6 B este ecranul feromagnetic din mumetal cu o grosime  $g=0,6$  mm și diametrul exterior de 27 mm avînd permeabilitatea magnetică  $\mu_B=130.000 \mu_0$ , MP este magnetul permanent avînd forma de disc cu diametrul de 10 mm și grosimea de 2 mm fabricat din alnico 24 K aglomerat,  $BO_1$  - bobina instrumentului parcursă de curentul  $I_1$  și  $I_2$ ,  $BO_1$  jumătatea din bobina  $BO_1$  parcursă de curentul  $I_2$ . În raport cu axa  $BB'$  bobina  $BO_1$  este simetrică cu bobina  $BO_2$  din fig.2.1 (capitolul 2), care nu este



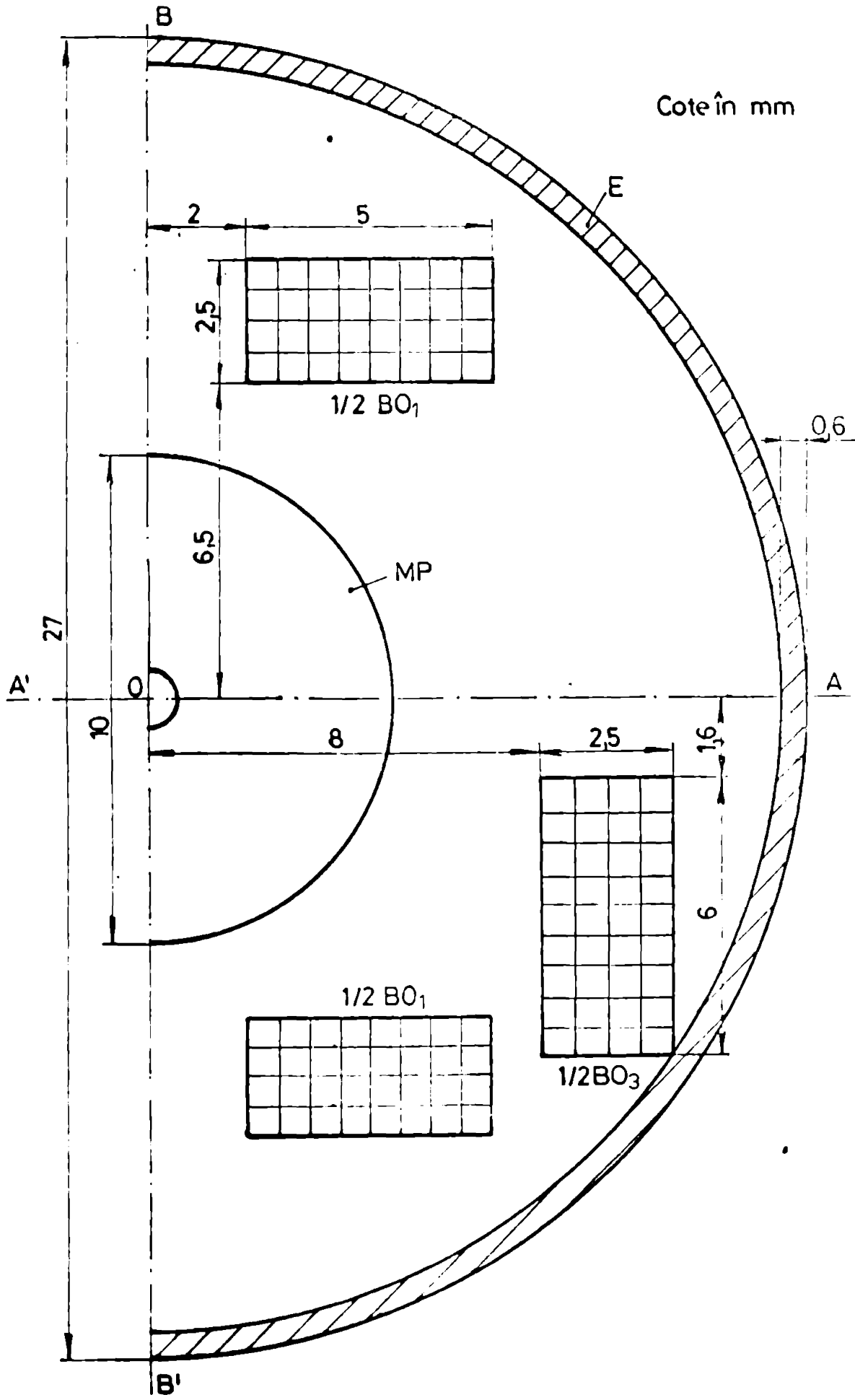


Fig.6.6.

reprezentată în fig.6.6 avînd caracteristici electrice și geometrice identice cu bobina  $BO_1$  și fiind parcursă de același curent  $I_1$ . Cealaltă jumătate a bobinei  $BO_3$  nu este reprezentată în fig.6.6 fiind simetrică cu secțiunea  $1/2 BO_3$  în raport cu axa  $BB'$ . Bobinele au cotele și poziționarea în raport cu axele instrumentului indicate în fig.6.6. Bobinele  $BO_1$ ,  $BO_2$  au fiecare 750 spire și sînt parcurse de curentul  $I_1$  cu valoarea nominală de 15 mA. Bobina  $BO_3$  are 650 spire fiind parcursă de curentul  $I_2$  avînd valoarea nominală 15 mA.

### 6.5. Cuplul activ al instrumentului magnetoelectric cu magnet mobil

În capitolul 4 al tezei sînt prezentate metoda de calcul al cuplului activ și algoritmul de calcul al acestuia, iar programul de calcul în anexa A3.

Programul de calcul a fost rulat de mai multe ori cu scopul de a evidenția influențele permeabilității magnetice a ecranului magnetic, a magnetului permanent și a grosimii ecranului asupra cuplului activ pentru configurația din fig.6.6. Se notează cu  $\mu_E$  și  $g$  permeabilitatea magnetică absolută și grosimea ecranului feromagnetic, iar cu  $\mu_M$  permeabilitatea magnetică absolută a magnetului permanent mobil.

Influența unui parametru s-a studiat rulînd programul de calcul al cuplului activ cu valori diferite ale acestui parametru, ceilalți parametri fiind menținuți constanți. Pentru fiecare situație calculul cuplului s-a efectuat pentru curent  $I_1$  variabil între  $I_{1N}/12$  și  $I_{1N}=15$  mA menținînd curentul  $I_2$  la valoarea sa nominală  $I_{2N}=15$  mA.

Datele numerice pentru cuplul activ extrase din programele de calcul permit alcătuirea caracteristicilor prezentate în fig. (6.7 - 6.9).

În fig.6.7 s-a reprezentat cuplul activ în funcție de curentul  $I_1$  pentru  $I_{2N}=15$  mA;  $g=0,6$  mm;  $\mu_M=3 \mu_0$  și  $\mu_E$  ca parametru. Se observă că valorile cuplului sînt mai mari pentru un ecran magnetic cu permeabilitate magnetică  $\mu_E$  mai mare. Luînd ca referință valoarea cuplului activ pentru  $I_1=15$  mA și  $\mu_E=100 \cdot \mu_0$  (fig.6.3), valorile cuplului activ la  $I_1=15$  mA pentru  $\mu_E=1000 \mu_0$  și  $\mu_E=130.000 \mu_0$  sînt mai mari cu 14,83% respectiv cu

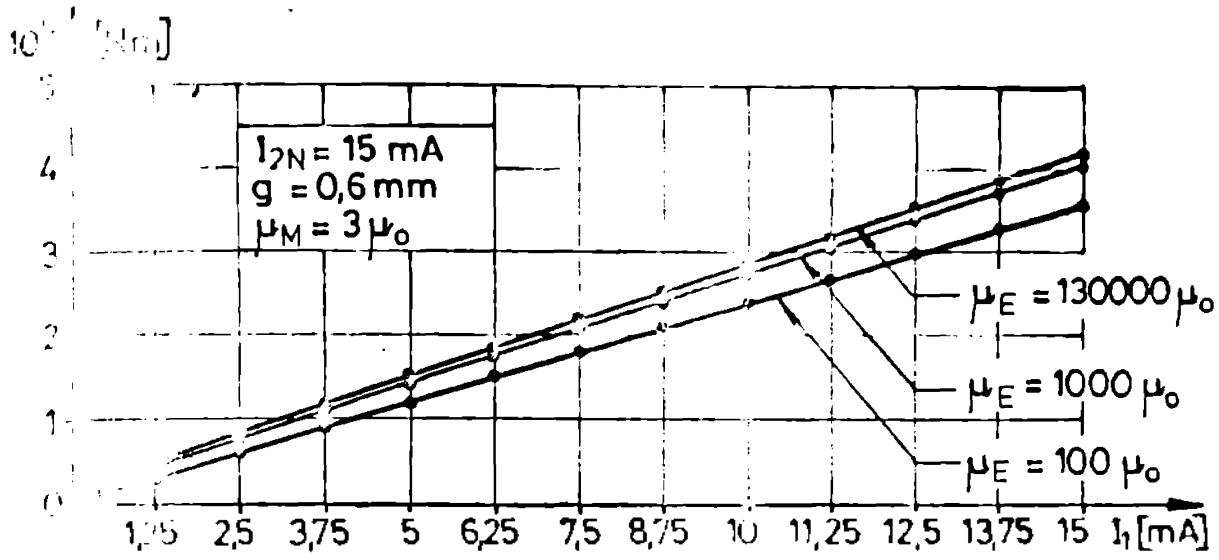


Fig.6.7

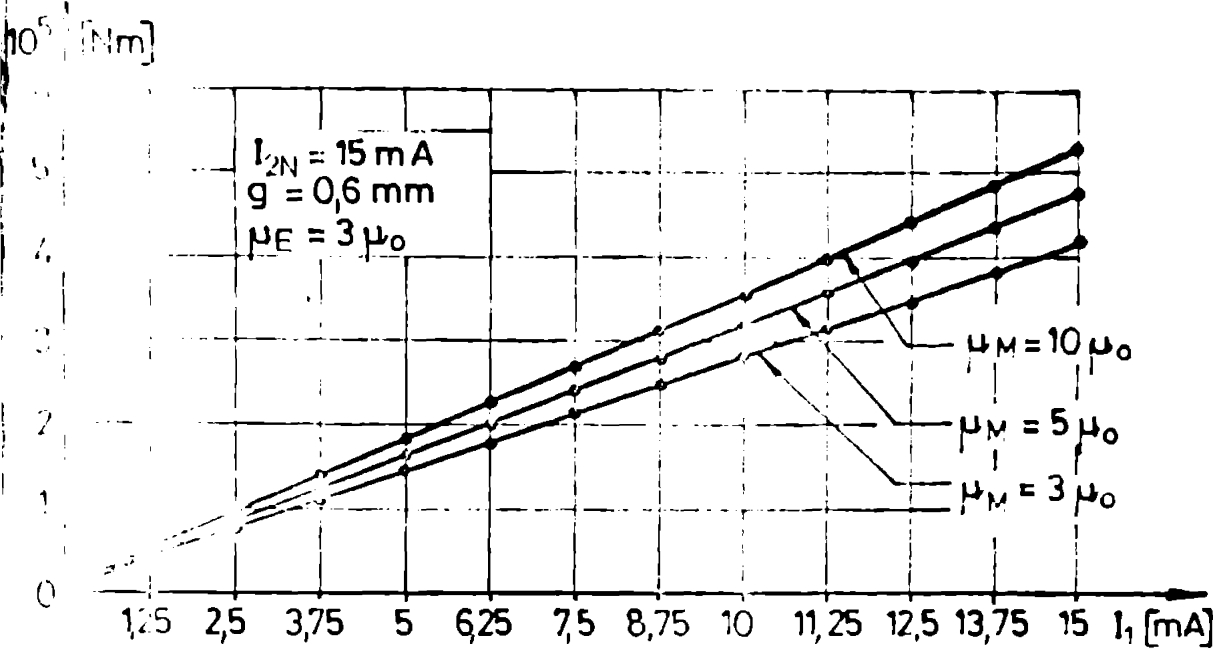


Fig.6.8

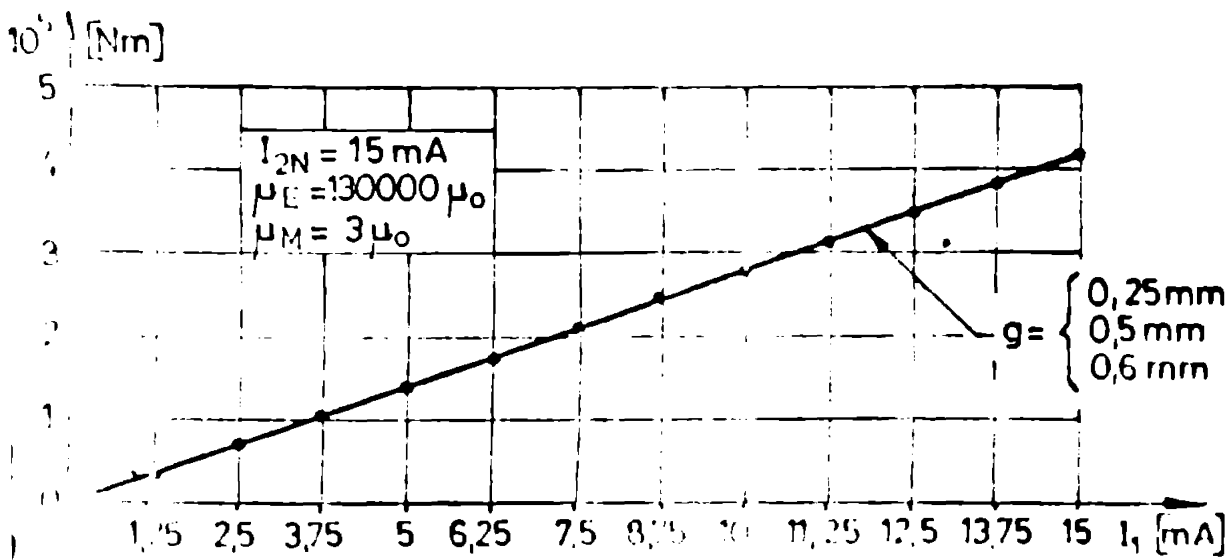


Fig 6.9

16,88%. Pe de altă parte mărind  $\mu_E$  de la valoarea  $1000\mu_0$  la  $130000\mu_0$  creșterea este de numai 1,78%. Aceasta înseamnă că alegînd pentru ecran un material magnetic cu permeabilitate magnetică mai mare de  $130.000\mu_0$  va crește prețul de cost al instrumentului, însă acesta va fi mai puțin influențat de cîmpurile magnetice perturbatoare.

În fig.6.8 s-a reprezentat cuplul activ funcție de curentul  $I_1$  pentru  $I_2=15$  mA,  $g=0,6$  mm,  $\mu_E=130.000\mu_0$  și  $\mu_M$  ca parametru. Curbele reprezentate scot în evidență creșterea cuplului activ odată cu creșterea permeabilității magnetice relative a materialului magnetului permanent. Luînd de data aceasta ca referință valoarea cuplului activ pentru  $\mu_M=3\mu_0$  și  $I_1=15$  mA (fig.6.4), valorile cuplului activ la  $I_1=15$  mA pentru  $\mu_M=5\mu_0$  și  $\mu_M=10\mu_0$  sînt mai mari cu 13,62% respectiv cu 26,58%. Această constatare permite să se facă observația că permeabilitatea magnetică a magnetului permanent are o influență mare asupra valorilor cuplului activ și ca urmare trebuie avută în vedere la proiectarea instrumentelor magnetoelectrice cu magnet mobil. Pe de altă parte observînd că cuplul crește cu 26,58% cînd  $\mu_M$  crește de la  $3\mu_0$  la  $10\mu_0$ , respectiv cu 13,62% cînd  $\mu_M$  crește de la  $3\mu_0$  la  $5\mu_0$  rezultă că permeabilitatea magnetică a magnetului permanent nu trebuie măsurată cu mare exactitate, pentru calculele practice fiind uneori suficiente datele furnizate în literatură.

În sfîrșit în fig.6.9 este prezentată dependența cuplului activ în raport cu  $I_1$  pentru  $I_{2N}=15$  mA,  $\mu_E=130.000\mu_0$ ,  $\mu_M=3\mu_0$  și grosimea  $g$  a ecranului ca parametru. Pentru  $g=0,25$  mm,  $0,5$  mm și  $0,6$  mm au rezultat curbe care la scara de reprezentare din fig.6.9 practic se suprapun. În tabelul 6.1 sînt date numerice curbele din fig.6.9 luînd ca referință cuplul activ la  $I_1=15$  mA și  $g=0,25$  mm, cuplul activ obținut la dublarea grosimii ecranului crește cu 1,49% iar pentru un ecran cu  $g=0,6$  mm rezultă o creștere a cuplului activ cu 2,12%. Aceste creșteri sînt mult mai mici decît cele provocate de creșterea permeabilității magnetice  $\mu_M$  a magnetului permanent, sau de creșterea permeabilității magnetice  $\mu_E$  a ecranului magnetic.

TABELUL 6.1.

$I_{2N}=15 \text{ mA}$ $I_1 \text{ [mA]}$	$\mu_E=130.000 \mu_0$ $\mu_M=3 \mu_0$		
	$10^5 \cdot C_t$ [Nm]		
	$g=0,25 \text{ mm}$	$g=0,5 \text{ mm}$	$g=0,6 \text{ mm}$
1,25	0,405	0,4119	0,4140
2,50	0,740	0,7516	0,7564
3,75	1,075	1,091	1,090
5,00	1,410	1,431	1,440
6,25	1,745	1,771	1,782
7,50	2,079	2,111	2,124
8,75	2,414	2,450	2,466
10,0	2,749	2,790	2,808
11,25	3,083	3,130	3,150
12,5	3,418	3,469	3,491
13,75	3,75	3,809	3,833
15,0	4,088	4,149	4,175

6.6. Caracteristicile statice de transfer, cuplul stabilizator specific, factorul de calitate și sensibilitatea instrumentului magnetoelectric cu magnet mobil

În capitolul 5 al tezei de doctorat sînt prezentate metodele de calcul al caracteristicilor statice, al cuplului stabilizator specific și a sensibilității instrumentului magnetoelectric cu magnet mobil.

Din programul de calcul al cuplului activ rulat în condițiile precizate în subcapitolul 6.4 și în baza relațiilor (5.12) rezultă caracteristicile statice de transfer reprezentate sub formă numerică în tabelul 6.2.

Analizînd caracteristicile statice de transfer date în tabelul 6.2 se constată o abatere maximă de 3,22% pentru  $I_1=13,75 \text{ mA}$  între caracteristicile obținute pentru  $g=0,6 \text{ mm}$ ,  $\mu_E=130.000 \mu_0$ ,  $\mu_M=5 \mu_0$  și  $g=0,25 \text{ mm}$ ,  $\mu_E=130.000 \mu_0$  și  $\mu_M=3 \mu_0$ .

Prin urmare modificările parametrilor  $g$ ,  $\mu_E$  și  $\mu_M$  în limitele menționate în tabelul 6.2 nu afectează substanțial ca-

TABELUL 6.2.

$I_1$ [mA]	$\alpha_p = f(I_1)$ [grado]						$I_{2N} = 15$ mA	
	$g = 0,6$ mm $\mu_M = 3 \mu_0$			$g = 0,6$ mm $\mu_B = 130000 \mu_0$		$\mu_B = 130000 \mu_0$ $\mu_M = 3 \mu_0$		
	$\mu_B = 13000 \mu_0$	$\mu_B = 10000 \mu_0$	$\mu_B = 1000 \mu_0$	$\mu_M = 5 \mu_0$	$\mu_M = 10 \mu_0$	$g = 0,25$ mm	$g = 0,5$ mm	
1,25	12,81	12,86	13,11	12,78	12,77	12,81	12,79	
2,50	22,49	22,62	23,04	22,48	22,48	22,55	22,50	
3,75	31,02	31,17	31,71	31,01	31,00	31,09	31,06	
5,00	38,26	38,42	39,02	38,24	38,24	38,34	38,27	
6,25	44,30	44,47	45,08	44,28	44,28	44,38	44,31	
7,50	49,31	49,48	50,08	49,29	49,29	49,39	49,32	
8,75	53,48	53,63	54,22	53,46	53,46	53,55	53,49	
10,0	56,48	57,11	57,67	56,94	56,94	57,03	56,96	
11,25	59,89	60,04	59,57	59,88	59,88	59,96	59,90	
12,5	62,39	62,52	63,03	62,37	62,37	62,45	62,39	
13,75	64,52	64,45	65,14	64,51	64,51	64,59	64,53	
15,0	66,37	66,49	66,94	66,36	66,36	66,43	66,37	

caracteristicile statice de transfer ale instrumentului magnetoelectric cu magnet mobil, a căror formă este reprezentată în fig. 6.10, curba a. În aceeași figură este reprezentată și caracteristica statică de transfer  $\alpha_p = f(I_1)$  la  $I_{2N} = 15$  mA, curba b, a instrumentului magnetoelectric cu magnet mobil fabricat la întreprinderea de aparate electrice de măsurat Timișoara, determinată experimental /56/. Abaterrea maximă între cele două caracteristici este de maxim 10% și apare la  $I_1 = 1,25$  mA. Se observă o concordanță deosebit de bună între caracteristica a calculată cu relațiile stabilite de autor în capitolele 4 și 5 și caracteristica b determinată experimental pentru instrumentul din /56/.

Din programele de calcul al cuplului activ, în condițiile precizate în subcapitolul 6.5, au rezultat caracteristicile cuplului stabilizator activ  $k_1$ , utilizând relațiile (6.26, 6.27) în funcție de curentul  $I_1$  cu  $I_2 = I_{2N} = 15$  mA, fiind redată grafic în fig. (6.11 - 6.13).

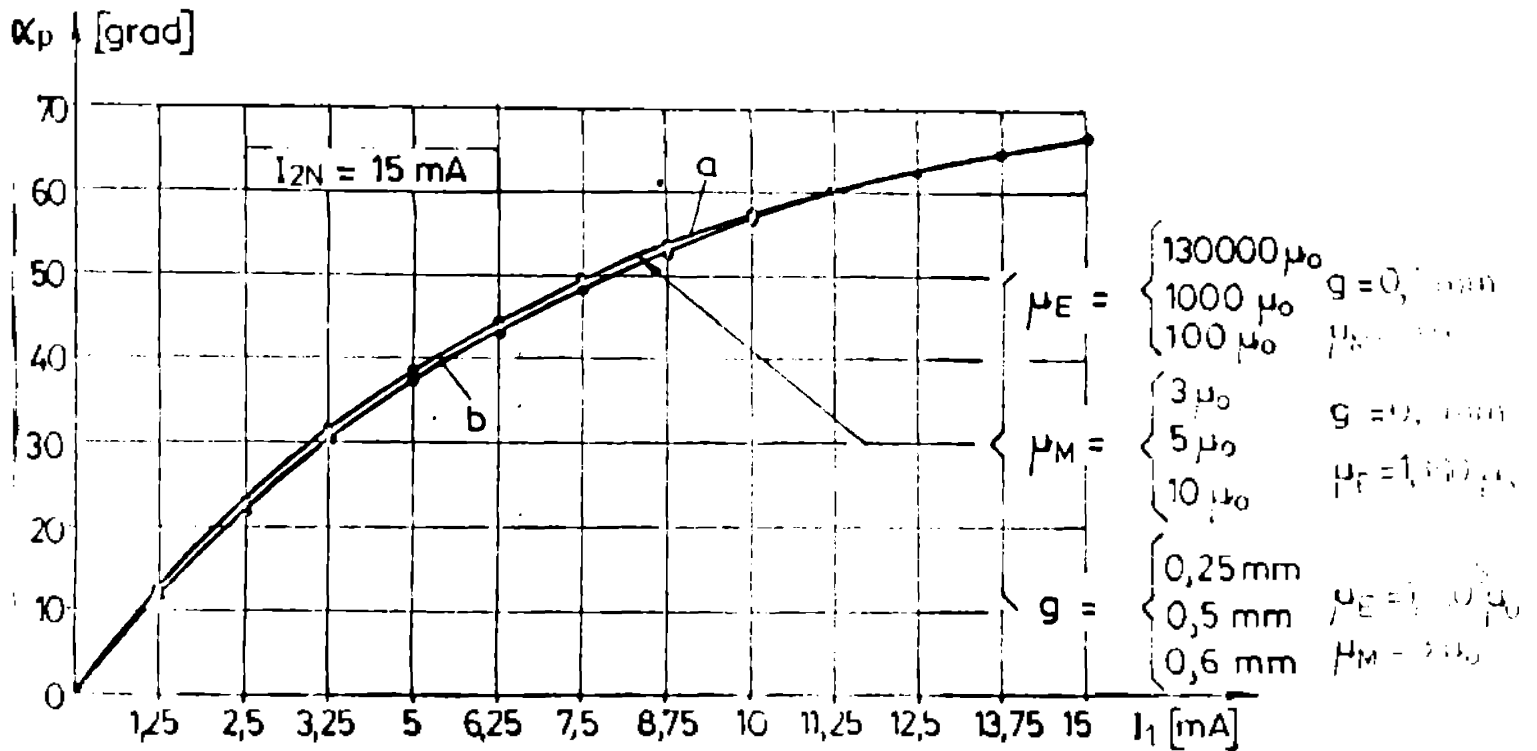


Fig.6.10.

Referitor la caracteristicile din fig.(6.11 - 6.13) se constată creșterea cuplului stabilizator specific cu 15,23%, respectiv cu 17,41% pentru  $I_{2N}=15 \text{ mA}$ , la creșterea permeabilității magnetice a ecranului feromagnetic de la  $100\mu_0$  la  $1000\mu_0$ , respectiv la  $130.000 \mu_0$ .

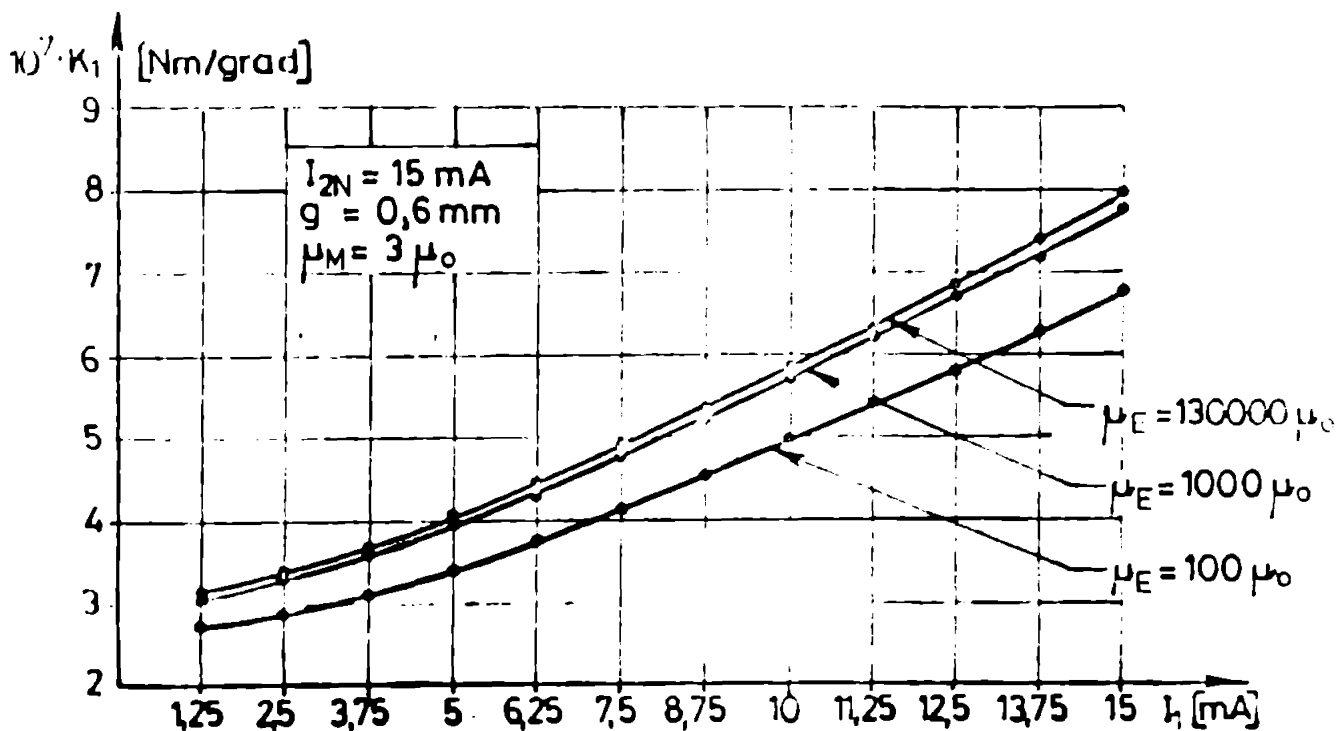


Fig.6.11.

Se observă o creștere doar de 1,09% a cuplului stabilizator specific când  $\mu_E$  crește de la  $1000 \mu_0$  la  $130.000 \mu_0$ , ceea ce arată că din acest punct de vedere nu are sens utilizarea unui ecran magnetic din materiale magnetice cu proprietăți magnetice superioare.

O dependență pronunțată a cuplului stabilizator specific apare în raport cu permeabilitatea magnetică  $\mu_M$  a materialului magnetic al magnetului permanent (fig.6.12). De data aceasta cu-

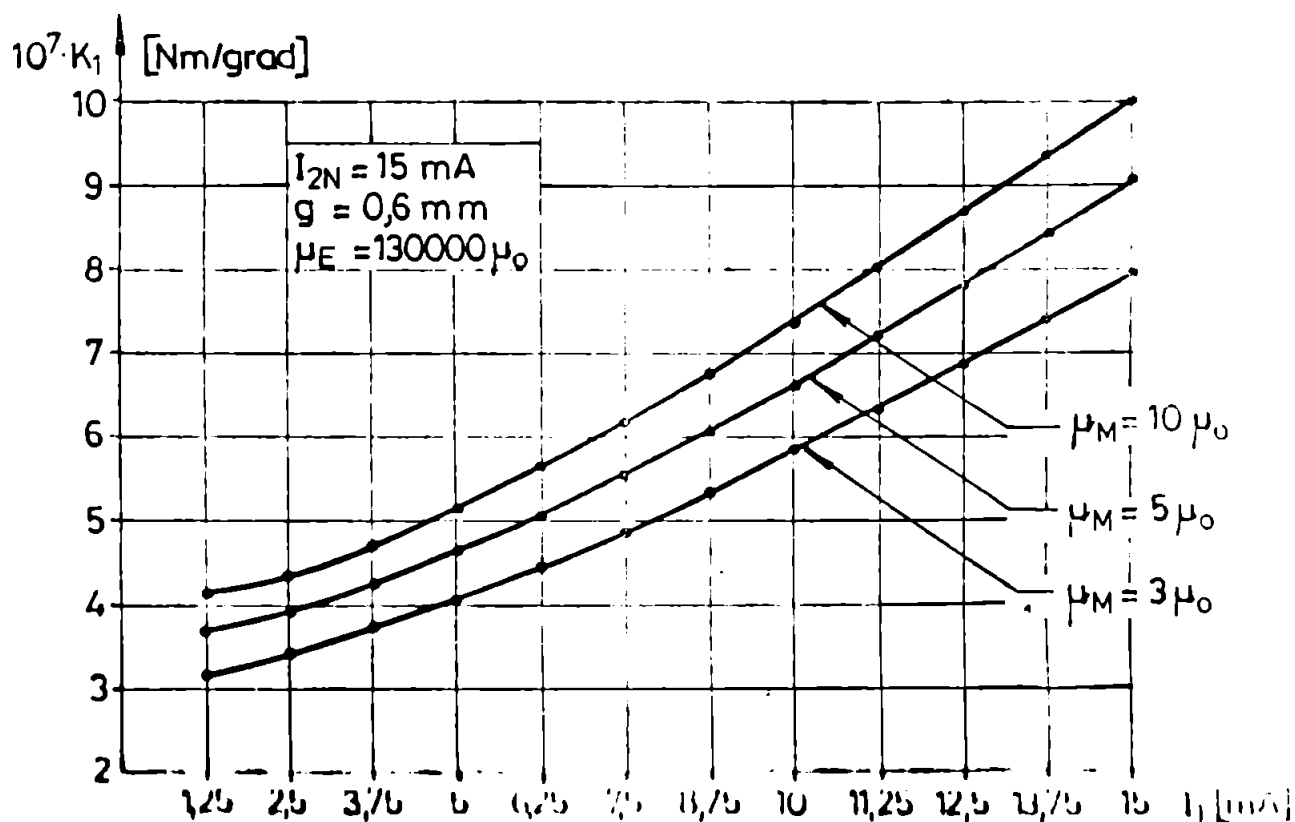


Fig.6.12.

plul stabilizator specific crește cu 26,57%, la  $I_1 = 15$  mA,  $I_2 = I_{2N} = 15$  mA, când  $\mu_M$  crește de la  $3 \mu_0$  la  $10 \mu_0$ .

În fig.6.13 este arătată dependența cuplului stabilizator specific în funcție de curentul  $I_1$ ,  $I_2 = I_{2N} = 15$  mA, avînd ca parametru grosimea  $g$  a ecranului magnetic. Se constată o creștere a cuplului stabilizator specific doar de 2,85% la dublarea grosimii ecranului magnetic (pentru  $I_1 = 15$  mA).

În sfîrșit în fig.6.14 este redată dependența cuplului stabilizator specific în funcție de unghiul de deviație permanentă, la  $I_2 = I_{2N} = 15$  mA, pentru  $g = 0,6$  mm,  $\mu_E = 130.000 \mu_0$  și  $\mu_M = 3 \mu_0$ .



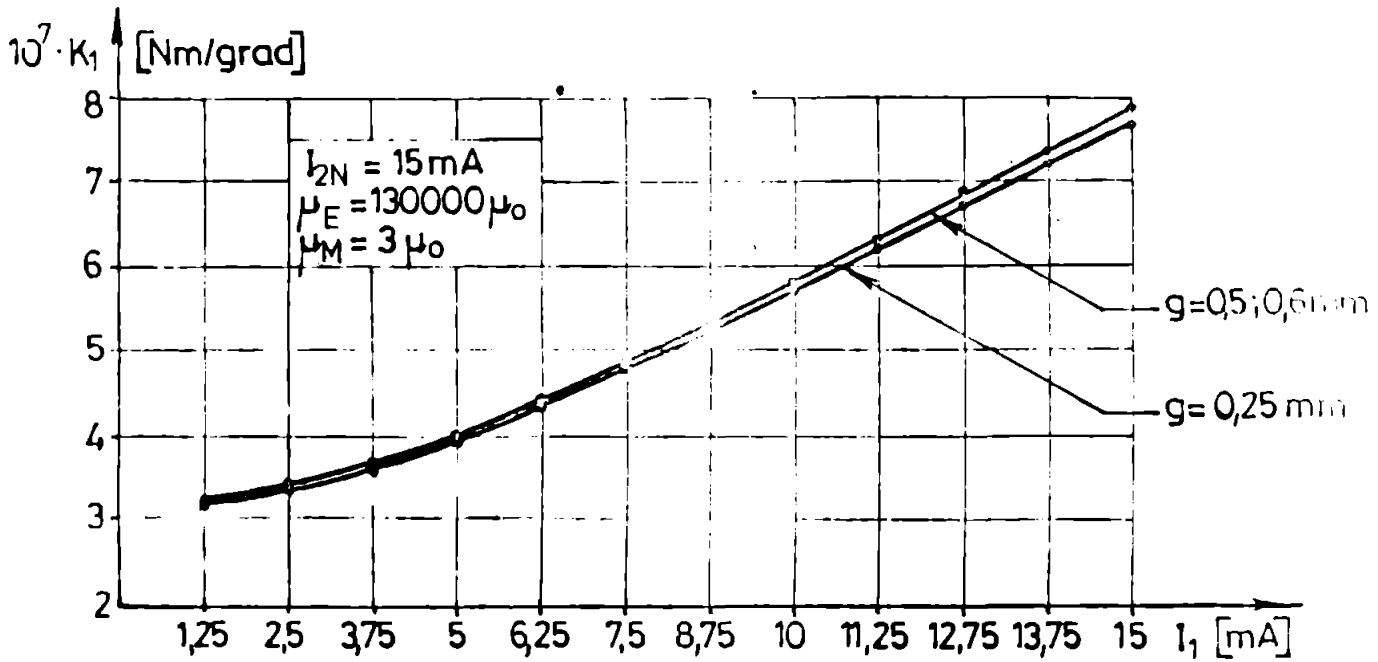


Fig.6.13.

Această caracteristică poate servi la proiectarea instrumentului magnetoelectric cu magnet mobil, respectiv la calculul factorului său de calitate.

O altă mărime importantă a instrumentului magnetoelectric cu magnet mobil este factorul său de calitate. Coeficientul de calitate

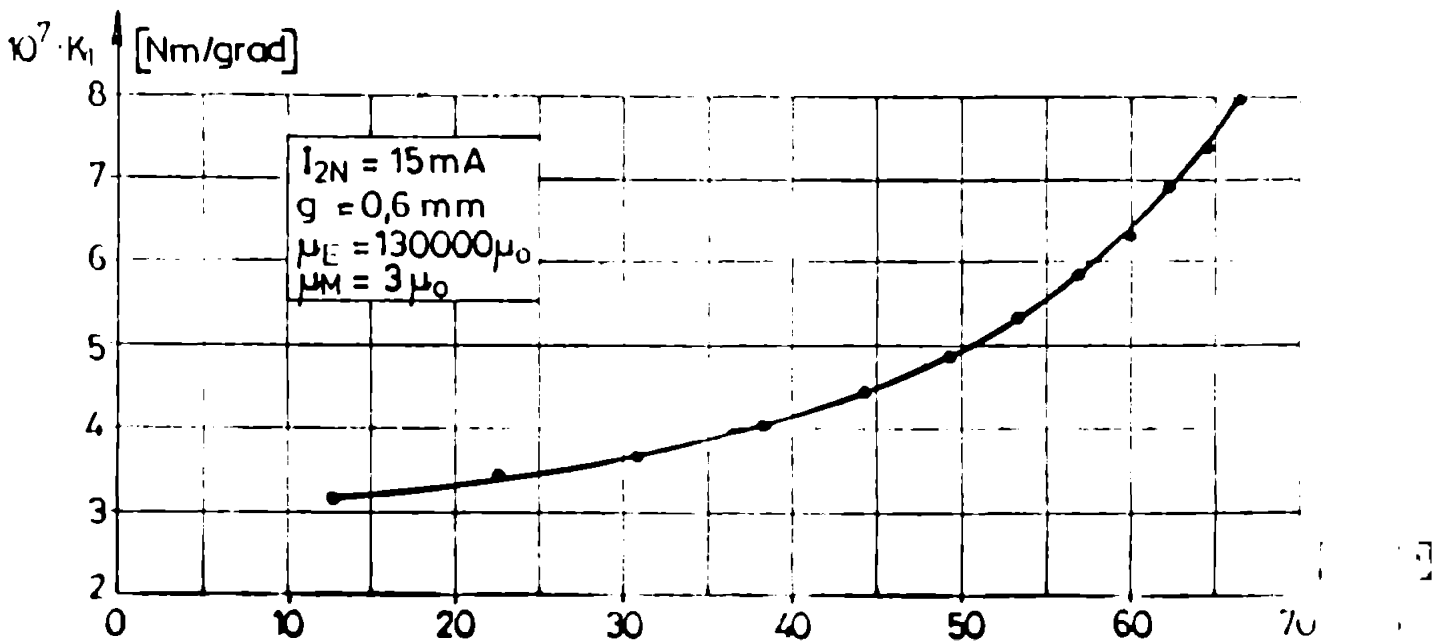


Fig.6.14.

relația (5.29) trebuie ales astfel încât să rezulte pentru factorul de calitate  $A$  valori cuprinse între 0,1 - 1. Din fig.6.14 rezultă cuplul stabilizator specific cel mai defavorabil  $k_1 = 5,107 \cdot 10^{-7}$  Nm/grad la  $\alpha_p = 12,81^\circ$ . Cunoscînd masa  $M = 1,25$  g a echipajului mobil al instrumentului și impunînd pentru factorul de calitate valoarea 0,45 rezultă coeficientul  $B = 2 \cdot 10^6$ .

Prin urmare factorul de calitate al instrumentului magnetoelectric cu magnet mobil se va calcula cu relația:

$$A = 2 \cdot 10^6 \frac{k_1}{M^{1,5}}, \quad (6.29)$$

unde  $k_1$  este cuplul stabilizator specific în Newtonmetru/grad și  $M$  masa echipajului mobil în grame.

În fine, în fig.6.15 este reprezentată grafic sensibilitatea logometrului magnetoelectric cu magnet mobil calculată pe baza relației (5.30) la  $I_{2N} = 15$  mA, pentru  $g = 0,6$  mm,  $\mu_F = 130000 \mu_0$

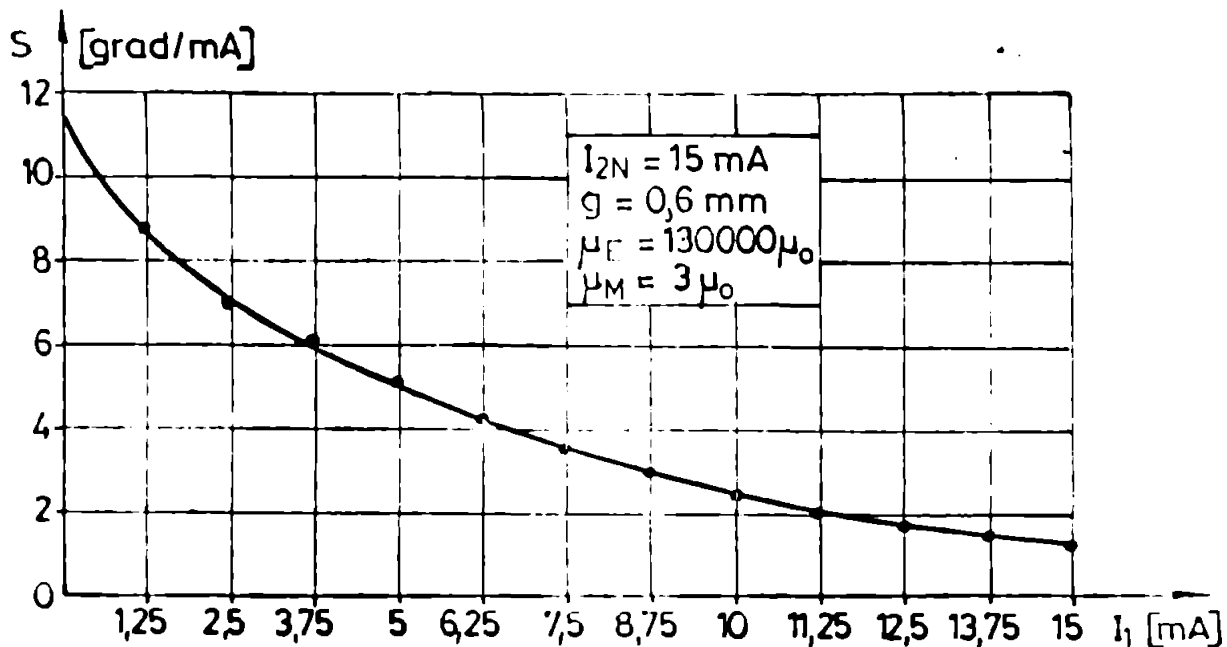


Fig.6.15.

și  $\mu_M = 3 \mu_0$ . Calculul s-a efectuat prin derivare numerică, pentru ajustare cu un polinom de gradul 3 după 5 puncte a caracteristicii  $\alpha_p = f(I_1)$  dată numeric în tabelul 6.2 /85/.

### 6.7. Influența formei ecranului asupra caracteristicilor instrumentului

Caracteristicile instrumentului s-au calculat și pentru configurația ecranului din fig.2.4 (capitolul 2) cu  $g=0,6$  mm,  $\mu_B=130.000 \mu_0$  și  $\mu_M=3 \mu_0$ .

În tabelul 6.3 sînt redată comparativ unghiurile de deviație permanentă și cuplurile stabilizatoare specifice pentru instrumentul din /56/ respectiv pentru instrumentul cu ecran modificat (fig.2.4, capitolul 2) valabile pentru  $I_1=15$  mA și  $I_{2N}=15$  mA.

TABELUL 6.3.

$I_{2N}=15$ mA $g=0,6$ mm $\mu_B=130.000 \mu_0$ $\mu_M=3 \mu_0$				
$I_1$ [mA]	$\alpha_p$ [grad]		$k_1$ [Nm/grad]	
	Instrument /56/	Ecran modificat	Instrument /56/	Ecran modificat
15	66,37	67,55	$0,795 \cdot 10^{-6}$	$0,833 \cdot 10^{-6}$

Se observă o mică creștere a unghiului de deviație de la  $66,37^\circ$  la  $67,55^\circ$ . Creșterea este valabilă de fapt pentru orice curent  $I_1$ . Rezultă o caracteristică statică deplasată în sensul creșterii unghiului de deviație. Creșterea unghiului de deviație este relativ mică deoarece ecranul a fost relativ puțin modificat. Constatările referitoare la modificarea ecranului nu prezintă o importanță practică mare însă denotă modificarea configurației cîmpului magnetic și prin urmare modificarea caracteristicilor instrumentului.

### 6.8. Caracteristici îmbunătățite pentru instrumentul magnetoelectric cu magnet mobil

Caracteristicile care vor fi prezentate în acest subcapitol au fost determinate pentru instrumentul magnetoelectric cu magnet mobil cu poziția bobinelor din fig.2.5 (capitolul 2). În vederea unor comparații a caracteristicilor obținute cu caracteristicile calculate pentru instrumentul din /56/ calculările au fost efectuate pentru grosimea ecranului  $g=0,6$  mm, permeabilitatea

magnetică a ecranului  $\mu_E = 130.000 \mu_0$ , permeabilitatea mediului magnetului permanent  $\mu_M = 3 \mu_0$  și pentru dimensiunile geometrice ale instrumentului din /56/ prezentate în fig.6.5.

În fig.6.16 sînt redată cuplurile active, curba a pentru instrumentul din /56/ iar curba b pentru instrumentul din fig. 2.5 (capitolul 2). Se observă o scădere a cuplului de 10,5% la  $I_1 = 15$  mA.

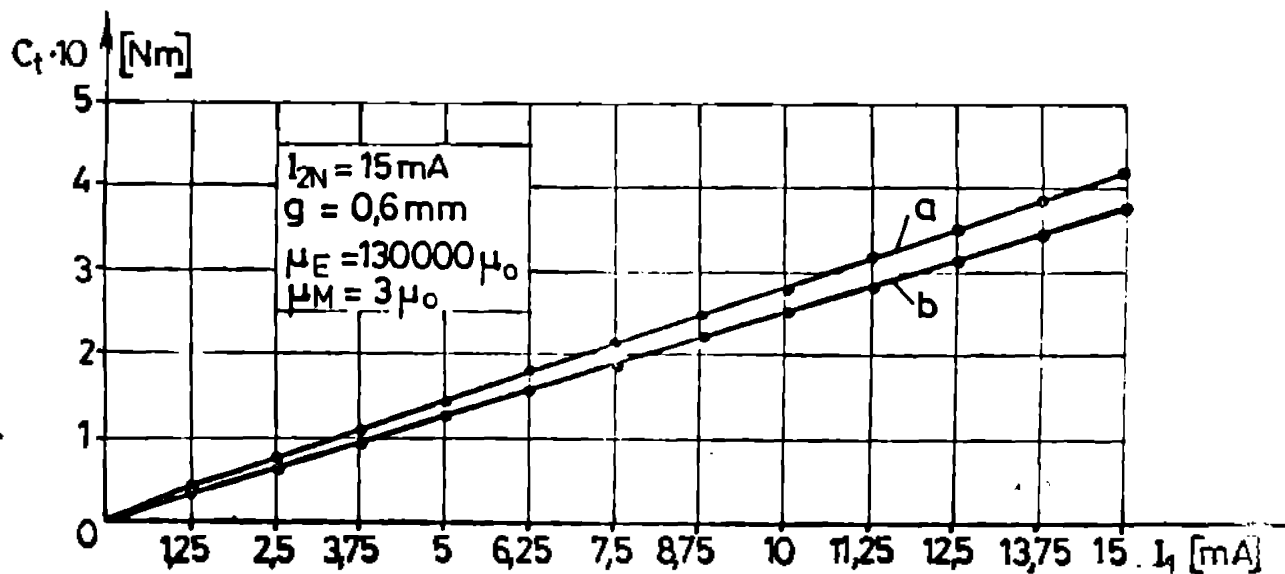


Fig.6.16.

În fig.6.17 sînt prezentate caracteristicile de transfer statice, curba a pentru instrumentul din /56/, iar curba b pentru instrumentul din fig.2.5 (capitolul 2).

Comparînd cele două caracteristici rezultă două concluzii importante. În primul rînd se observă o creștere importantă a unghiului maxim de deviație permanentă pentru  $I_1 = 15$  mA și  $I_{2N} = 15$  mA, de la  $66,37^\circ$  (curba a) la  $84,20^\circ$  (curba b). În al doilea rînd se obține o caracteristică statică de transfer mult mai liniară (curba b) pentru instrumentul din fig.2.5 (capitolul 2).

Aceasta arată că dacă între axele bobinelor  $BO_1$ ,  $BO_2$  și  $BO_3$  există un unghi mai mare de  $90^\circ$  rezultă o îmbunătățire substanțială a caracteristicii statice de transfer în sensul creșterii unghiului de deviație permanentă cum și a unghiului maxim de deviație permanentă corespunzător curenților nominali. Acest

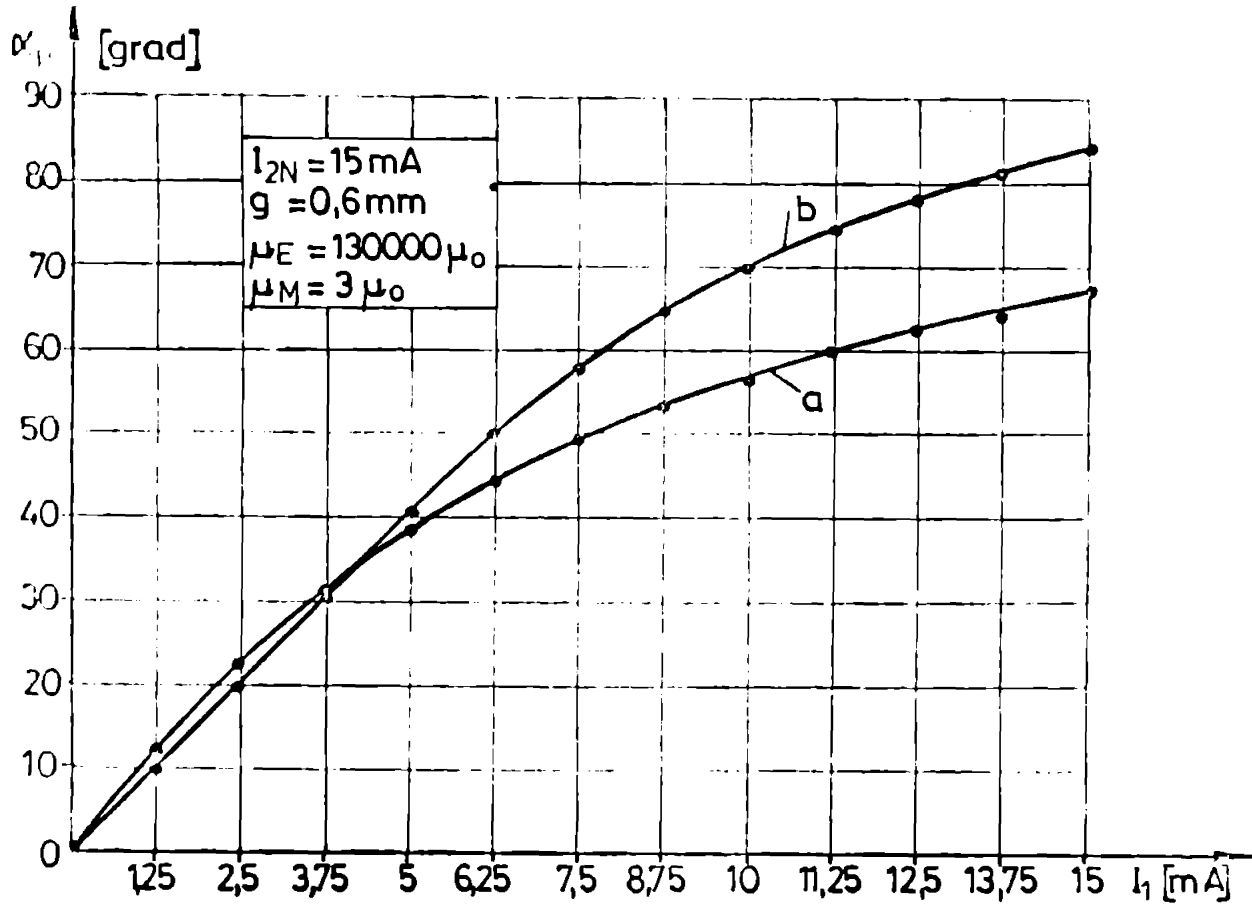


Fig.6.17.

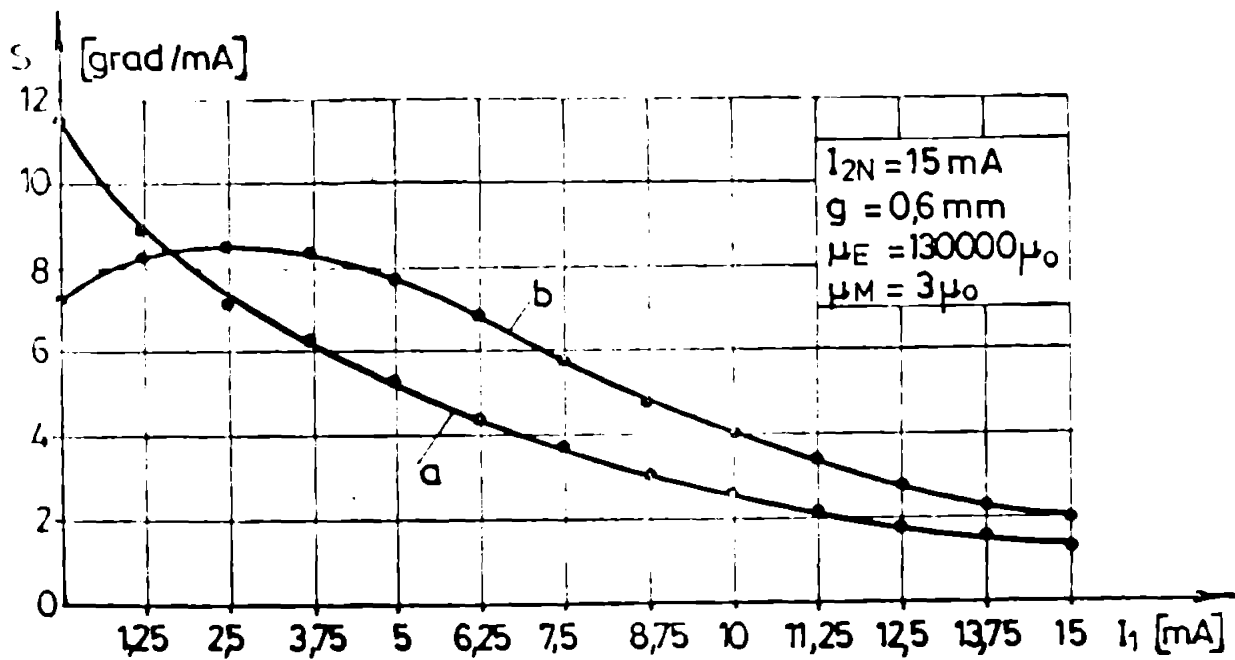


Fig.6.18.

fapt este evidențiat și de caracteristicile de sensibilitate reprezentate în fig.6.18, unde curba a reprezintă caracteristica de sensibilitate a instrumentului din /56/ calculată în subcapitolul 6.6, iar curba b sensibilitatea instrumentului din fig.2.5 (capitolul 2) calculată în același mod.

Curba b (fig.6.18) mai aplatizată denotă o sensibilitate ameliorată a instrumentului din fig.2.5 (capitolul 2) în comparație cu sensibilitatea instrumentului din /56/, curba a (fig.6.14). Se observă scăderea sensibilității, curba b pînă la aproximativ  $I_1=1,75$  mA, iar apoi sensibilitatea este în permanență mai mare pentru instrumentul din fig.2.5. Scăderea sensibilității, curba b (fig.6.18) pînă la intersecția caracteristicilor este favorabilă arătînd posibilitatea liniarizării caracteristicii statice de transfer a instrumentului, deoarece panta curbei b în această porțiune este mai mică decît a curbei a (fig.6.18).

În sfîrșit în fig.6.19 sînt redate comparativ caracteristicile cuplului stabilizator specific. Cuplul stabilizator specific pentru instrumentul din fig.2.5 (capitolul 2) este mai mic, (curba b) decît cuplul stabilizator specific al instrumentului din /56/ (curba a).

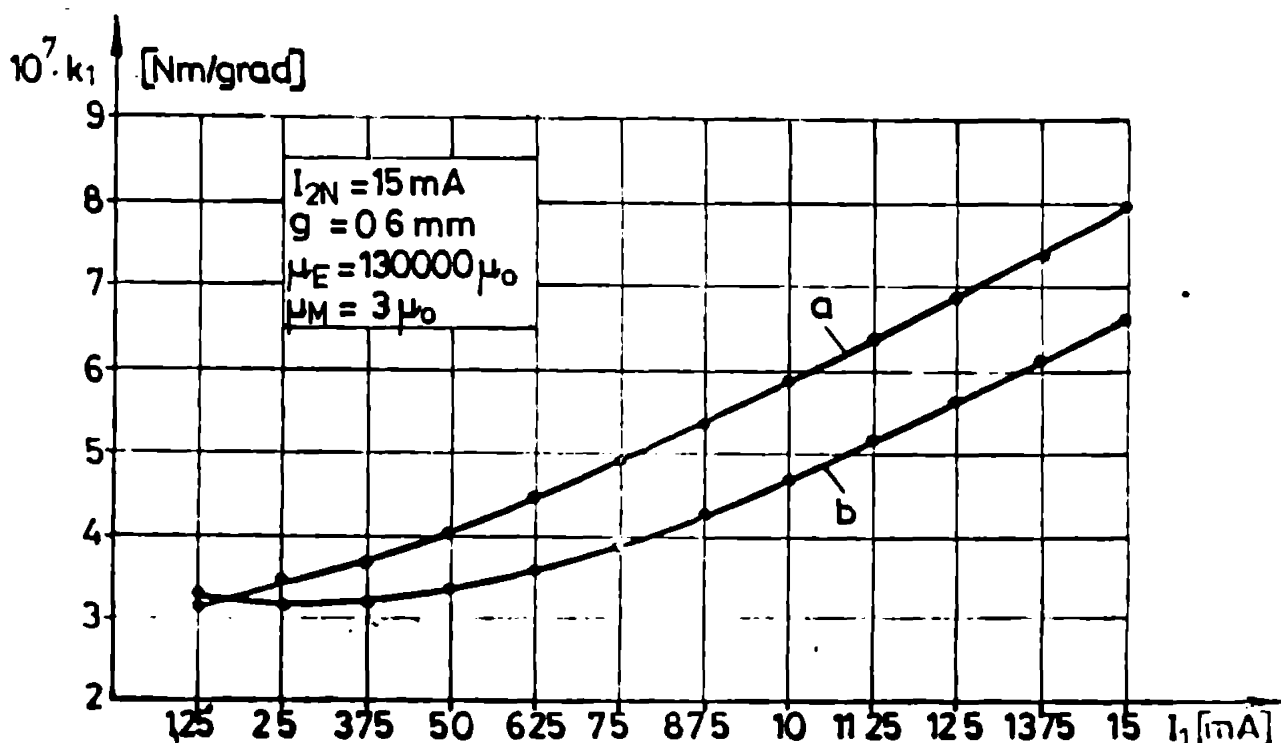


Fig.6.19.

Această scădere nu prezintă importanță practică deoarece în prima porțiune a scării instrumentului cuplurile stabilizatoare specifice prezintă valori minime aproximativ egale:  $0,3192 \cdot 10^{-6}$  Nm/grad pentru instrumentul din fig.2.5 (capitolul 2) respectiv  $0,3167 \cdot 10^{-6}$  Nm/grad pentru instrumentul din /56/. Prin urmare factorul de calitate al instrumentului magnetoelectric din /56/ și din fig.2.5 (capitolul 2) rămâne practic același, 0,454 respectiv 0,457.

### CONCLUZII SI CONTRIBUTII

În prezent la Întreprinderea de aparate electrice de măsurat din Timișoara, se dezvoltă producția de instrumente magnetoelectrice cu magnet mobil, destinată în principal industriei de avioane și industriei navale. Ca urmare, la această întreprindere se va înființa o secție de producție de sine stătătoare care va fabrica în viitor o gamă diversificată de asemenea instrumente cum ar fi: ampermetre, voltmetre și logometre magnetoelectrice cu magnet mobil.

În literatura de specialitate, așa cum s-a arătat în cadrul tezei de doctorat, instrumentele magnetoelectrice cu magnet mobil sînt prezentate în mod relativ succint indicîndu-se relații cu care se pot determina doar orientativ caracteristicile acestora, cu toate că acest instrument s-a fabricat și utilizat începînd cu decenii în urmă. Construcția acestor instrumente și îmbunătățirea performanțelor lor s-au dezvoltat în decursul timpului doar pe bază experimentală.

Prezenta teză de doctorat "Studiul și calculul analitic al caracteristicilor instrumentului magnetoelectric cu magnet mobil" și-a propus să depășească acest stadiu.

Rezultatele obținute în prezenta teză sînt utilizate în cadrul contractului de cercetare și dezvoltare nr. 159/1983 "Cercetări privind studiul și proiectarea aparatelor magnetoelectrice cu magnet mobil" încheiat între catedra de Electronică aplicată din cadrul Institutului politehnic "Traian Vuia" din Timișoara și Întreprinderea de aparate electrice de măsurat Timișoara, conducînd la fabricarea unor instrumente cu caracteristici superioare.

Toate problemele rezolvate în cadrul tezei de doctorat sînt contribuții ale autorului.

Teza rezolvă pentru prima dată, în mod unitar calculul analitic al caracteristicilor instrumentului magnetoelectric cu magnet mobil.

1. Pentru aceasta autorul a elaborat o metodă numerică iterativă în coordonate polare de calcul a cîmpului magnetic staționar plan paralel. Problema de cîmp magnetic se rezolvă în raport cu componentele  $H_{\varphi}$ ,  $H_{\theta}$ ,  $B_{\varphi}$  și  $B_{\theta}$  ale vectorilor intensității cîmpului magnetic  $\vec{H}$  și inducției magnetice  $\vec{B}$ . Ecuațiile cu diferențe finite (1.7, 1.8) scrise pentru un element al rețelei de discretizare în coordonate polare nu se assemblează pe întreg domeniul de calcul al cîmpului magnetic, ele se rezolvă iterativ conform unor relații speciale, ceea ce conferă metodei un caracter de sine stătător. Autorul rezolvă:

1.1. Fundamentarea matematică a metodei cu diferențe finite în coordonate polare;

1.2. Demonstrarea convergenței metodei;

1.3. Conceperea unui algoritm de calcul simplu al metodei iterative în coordonate polare, cu aplicabilitate generală.

2. Cu ajutorul acestei metode autorul a determinat cîmpul magnetic din instrumentul magnetoelectric cu magnet mobil în multiple situații (expuse în cap.2), calculînd:

2.1. Cîmpurile magnetice parțiale produse de bobinele  $BO_1$ ,  $BO_2$  respectiv  $BO_3$  și cîmpul magnetic rezultat din instrument cu relațiile (2.6 - 2.9) stabilite pe baza simetriilor prezentate în fig.2.2 și a rețelei de discretizare din fig.2.3..

3. Determinarea analitică a cîmpului magnetic din instrument a permis autorului:

3.1. Calculul cuplului activ al instrumentului magnetoelectric cu magnet mobil (relația (4.29));

3.2. Conceperea algoritmului de calcul al cuplului activ;

3.3. Determinarea analitică a caracteristicilor statice de transfer (relația (5.12)) ale instrumentului pentru orice configurație de cîmp magnetic;

3.4. Mărirea unghiului de deviație permanentă maxim al instrumentului pentru configurația bobinelor din fig.2.5 cu posibilitatea depășirii unghiului  $\pi/2$ ;



3.5. Introducerea unui factor de calitate pentru instrumentul magnetoelectric cu magnet mobil (relația (5.29));

3.6. Determinarea analitică a cuplului stabilizator specific al instrumentului la orice configurație a cîmpului magnetic.

4. Autorul a studiat influența asupra caracteristicilor instrumentului a unor parametri de material și a unor parametri constructivi și anume:

- permeabilitatea magnetică a ecranului feromagnetic;
- permeabilitatea magnetică a mediului magnetului permanent;
- grosimea și forma ecranului feromagnetic.

Rezultatele obținute sînt prezentate în tabele și grafice, respectiv discutate în capitolul 6 al tezei.

5. Pentru rezolvarea completă a problemei instrumentului magnetoelectric cu magnet mobil autorul a analizat și perfecționat metodele experimentale de determinare a momentului magnetic și a permeabilității magnetice relative a magnetului permanent. Astfel:

5.1. Demonstrează independența momentului magnetic calculat cu relația (3.57) de caracteristicile magnetice ale magnetului magnetometrului, cînd acesta are o formă cilindrică (subcapitolul 3.3);

5.2. Concepe o metodă experimentală simplă de măsurare a permeabilității magnetice relative de ordinul unităților la corpuri de formă cilindrică.

5.3. Stabilește relațiile de calcul ai permeabilității magnetice relative a magnetului permanent (relațiile (6.20, 6.21)), valabile pentru corpuri feromagnetice cu formă cilindrică.

6. Coincidența dintre caracteristica de transfer calculată și cea determinată experimental (fig.6.10) la un instrument produs de I.A.E.M. Timișoara, confirmă valabilitatea metodei elaborate de autor.

7. Aplicarea metodei permite predeterminarea simplă a proprietăților unor variante constructive diferite de instrumente magnetoelectrice cu magnet mobil. Astfel se poate impune valoarea maximă a unghiului de deviație permanentă  $\alpha_{pmax}$  în jurul valorii de  $\pi/2$ , caracteristica de transfer statică  $\alpha=f(I_1/I_2)$  sau  $\alpha=f(I)$  dorită, respectiv caracteristica de sensibilitate a

instrumentului.

8. Cu ajutorul metodei de calcul al câmpului magnetic se poate studia complet și influența câmpurilor magnetice perturbatoare exterioare asupra instrumentelor magnetoelectrice cu magnet mobil.

\*

\*

\*

Teza de doctorat "Studiul și calculul analitic al caracteristicilor instrumentului magnetoelectric cu magnet mobil" a fost elaborată sub îndrumarea competentă și deosebit de generoasă a conducătorului științific prof.dr.ing.Eugen Pop. Pentru sugestiile, încurajările și discuțiile avute în perioada elaborării tezei, autorul aduce profunde mulțumiri tov.prof.dr.ing. Eugen Pop, sub a cărui conducere și îndrumare s-a format profesional.

Autorul mulțumește tov.ș.l.dr.ing.Gherman Gheorghe, pentru discuțiile purtate și pentru sprijinul dat la realizarea și rulara programelor de calcul utilizate în teză.

Autorul mulțumește tov.prof.dr.doc.ing.Sora Constantin, prof.dr.ing.De Sabata Ioan, prof.dr.ing.Fränkell David și conf.dr.ing.Grün Uwe pentru discuțiile legate de unele probleme de Bazele electrotehnicii.

Autorul mulțumește de asemenea tov.ș.l.ing.Ignea Alimpe pentru discuțiile avute.

În încheiere, autorul aduce mulțumiri tuturor celor care l-au ajutat în diverse ocazii în perioada de elaborare a tezei de doctorat.

BIBLIOGRAFIE

1. Andronescu, F.: Bazele electrotehnicii, vol.1, 2. Editura didactică și pedagogică, București, 1974.
2. Angot, A.: Elemente de matematici pentru inginerii din electrotehnică și telecomunicații. Ed.tehnică, București, 1966.
3. Apsit, V.V., Bondarenko, B.A.: Konecno-raznostnîi metod rasceta magnitnîh polei. Bezkontaktne elektriceskie mașinî, Rîga, nr.13, 1974, p.87.
4. Arutiunov, V.O.: Instrumente și aparate electrice de măsurat. Editura tehnică, București, 1952.
5. Bărbulescu, D.: Măsurări electrice. Partea I. Institutul Politehnic, Iași, 1975.
6. Beckert, W., Rieck, H.: Darstellung von Magnetisierungskurven durch kubische Spline-Functionen. Zeitschrift für Elektrotechnik, Informatik und Energietechnik, 10, nr.1, 1980, p.69.
7. Bodiakșin, A.I.: Metod rasceta magnitnîh polei. Izdatelstvo Nauka, Moskva, 1968.
8. Burzo, E.: Fizica fenomenelor magnetice, vol.III. Editura Academiei RSR, București, 1983.
9. Cecernikov, V.I.: Magnitne izmerenia. Izdatelstvo moskovskogo universiteta, Moskva, 1963.
10. Cedighian, S.: Materiale magnetice. Ed.tehnică, București, 1974.
11. Chivu, M.: Determinarea momentului magnetic, la magneti sub formă de disc, utilizând metoda magnetometrică. Comunicată la al II-lea Simpozion Național de Metrologie, București, 1984.
12. Chivu, M., Gherman, G.: Metodă cu diferențe finite iterativă în coordonate polare de determinare a cîmpului magnetic staționar, cu aplicații la calculul instrumentelor electrice de măsurat. Comunicată la al II-lea Simpozion Național de Metrologie, București, 1984.
13. Constantinescu, L.: Curs de geomagnetism și prospecțiuni magnetice, vol.I, Editura didactică și pedagogică, București, 1961.
14. Craiu, M., Roșculeț, M.M.: Ecuații diferențiale aplicative. Editura didactică și pedagogică, București, 1971.
15. Della Giacomo, E., s.a.: Cercetarea distribuției magnetice în circuitele cu magneti permanenți din aparatele de măsură. Protocol la contractul de cercetare științifică nr.443/1979 dintre IOPE București și IAFM Timișoara.

16. Demerdash, N.A., Nehl, T.W.: An evaluation of the methods of finite elements and finite differences in the solutions of nonlinear electromagnetic fields in electrical machines. IEEB Transaction on PAS, vol. PAS-98, nr.1, 1979, p.74.
17. Demidovici, B.P., Meron, I.A.: Elements de calcul numerique. Editions MIR, Moskva, 1973.
18. De Sabata, I.: Bazele electrotehnicii. Curs, vol.1, Institutul Politehnic "T.Vuia", Timișoara, 1980.
19. De Sabata, I.: Bazele electrotehnicii. Curs, vol.2, Institutul Politehnic "T.Vuia", Timișoara, 1974.
20. Dorn, W.S., Mc Craken, D.D.: Metode numerice cu programare în FORTRAN IV. Editura tehnică, București, 1975.
21. Drachsel, R.: Grundlagen der elektrischen Messtechnik. Veb Verlag Technik, Berlin, 1972.
22. Durand, E.: Electrostatique, tome I. Masson et Cie, Paris, 1964.
23. Fisher, J., Moser, H.: Die Nachbildung von Magnetisierungskurven durch einfache algebraische oder transzendente Funktionen. Archive fur Elektrotechnik, 42 Bd., Heft 5, 1950, p.286.
24. Frankel, D.: Studiul comparativ al metodelor de calcul al câmpului magnetic, al curenților turbionari și al cuplurilor la contoarele cu inducție monofazate. Subcontract la contractul de cercetare științifică nr.309/1979 dintre IPTV Timișoara și IAEI Timișoara.
25. Gerard, E.: Mesures electriques. Gauthiers - Villars, Editeur, Paris, 1912.
26. Gherman, Gh., Chivu, M.: Studiul câmpului magnetic din contorul de inducție monofazat. Lucrările sesiunii științifice dedicată aniversării centenarului independenței de stat a României, Institutul Politehnic "T.Vuia", Timișoara, mai 1977, p.29.
27. Gherman, Gh.: Contribuții la calculul numeric al câmpului magnetic cvasistaționar. Teză de doctorat, Institutul Politehnic "T.Vuia", Timișoara, 1982.
28. Gherman, Gh.: Comparație între metode diferențelor finite și metoda elementelor finite utilizate în calculul câmpului magnetic staționar. EEA, seria Electrotehnică, București, nr.8, 1982, p.355.

29. Gherman, Gh.: Metodă cu diferențe finite iterativă de calcul al câmpului magnetic cvasistaționar. EFA, seria Electrotehnică, București, nr.6, 1983, p.217.
30. Godunov, S.K., Reabenki, V.S.: Scheme de calcul cu diferențe finite. Editura tehnică, București, 1977.
31. Golovanov, G.: Contribuții la studiul influenței armoniceilor de tensiune și de curent asupra funcționării aparatelor electrice de măsurat. Teză de doctorat, Institutul Politehnic, București, 1974.
32. Gronau, G.: Physikalisches experimentierbuch. Friedr. Vieweg & Sohn, Berlin, 1956.
33. Hammond, P.: Applied electromagnetism. Londra, The Commonwealth and International Library, 1971.
34. Hăntilă, F.: On the uniqueness theorems of the stationary and quasistationary electromagnetic fields in nonlinear media. Revue roumaine des sciences technique, serie electrotechnique et energetique, tom 20, nr.1, 1975, p.211.
35. Harvey, R.L.: Simple force Magnetometer. The Review of Scientific Instruments, vol.36, 1965, p.1149.
36. Iscrulescu, I., Ispășoiu, Gh., Petrescu, V.: Sistemul internațional de unități de măsură. Editura tehnică, București, 1970.
37. Ixaru, G.I.: Metode numerice pentru ecuații diferențiale cu aplicații. Editura Academiei R.S.R., București, 1979.
38. Jaeger, W.: Elektrische Messtechnik. Verlag von Johann Ambrosius Barth, Leipzig, 1917.
39. Kapteins, D.F., s.a.: Konecino - raznostni metod rasceta magnitnih polei na FTVM. Izvestia AN Latvinskoi SSR, seria fiziceskih i tehniceskikh nauk, nr.4, 1973, p.91.
40. Kiatkin, R.P., Rojnova, I.P.: Shodimosti iteracionnih metodov rešeniu stacionarnih zadaci teorii polia. Izvestia AN SSSR Energhetika i transport, nr.4, 1980, p.173.
41. Kifer, I.I.: Ispitania ferromagnitnih materialov. Izdatelstvo Energhia, Moskva, 1969.
42. Kohlrausch, F.: Lehrbuch der praktischen Physik. Leipzig und Berlin, Druk und Verlag von B.G.Teubner, 1914.
43. Kohlrausch, F.: Praktische Physik. Band 2. Leipzig und Berlin, Verlag und Druck von B.G.Teubner, 1943.
44. Kopchenova, N.V., Maron, I.A.: Computational Mathematics. London examples and problems with elements of theory. Mir Publishers, Moscow, 1975.

45. Kuzovleva, V.I., Pekker, I.I.: Aproximația krivih namagnicivania pri rasceta na TVM. Izvestia visših ucebniñ zavedenii, Electromechanika, nr.6, 1965, p.611.
46. Maergoiz, I.D.: Iterationfe metodî rasceta staticeskih poloi v neodnorodnih, anizotropnih i nelineinñ sredah. Nauk dumka, Kiev, 1979.
47. Marciuk, G.I., Saidurov, V.V.: Creșterea preciziei soluțiilor în scheme cu diferențe. Editura Academiei RSR, București, 1961.
48. Marinescu, Gh., s.a.: Probleme de analiză numerică. Editura didactică și pedagogică, București, 1978.
49. Millea, A.: Măsurări electrice. Principii și metode. Editura tehnică, București, 1980.
50. Mîndru, Gh., Rădulescu, M.: Analiza numerică a cîmpului electromagnetic. Institutul Politehnic, Cluj-Napoca, 1983.
51. Mocanu, C.I.: Teoria cîmpului electromagnetic. Editura didactică și pedagogică, București, 1981.
52. Nicolaide, A.: Bazele fizice ale electrotehnicii, vol.1. Editura scrisul românesc, Craiova, 1983.
53. Niculescu, S.: FORTRAN. Inițiere în programare structurată. Editura tehnică, București, 1979.
54. Oancea, I.: Programarea calculatoarelor numerice pentru rezolvarea problemelor cu caracter tehnic și de cercetare științifică. Editura Dacia, Cluj-Napoca, 1973.
55. Pop, E., Chivu, M.: Măsurări electrice și magnetice, vol.I, II. Institutul Politehnic "T.Vuia", Timișoara, 1969.
56. Pop, E., Chivu, M., Gherman, Gh., Ignea, A.: Cercetări privind studierea și proiectarea aparatelor magneto-electrice de măsurat și logometrelor magneto-electrice cu magnet mobil. Contract de cercetare științifică nr.159/1983 între IPTV Timișoara și IAEM Timișoara.
57. Răduleț, R.: Bazele teoretice ale electrotehnicii, vol.I, Litografia învățămîntului, București, 1955.
58. Răduleț, R.: Bazele electrotehnicii. Probleme. Editura didactică și pedagogică, București, 1979.
59. Roșculeț, M.: Analiză matematică. Editura didactică și pedagogică, București, 1979.
60. Schlosser, F.G., Winterling, K.H.: Galvanometre. Verlag G.Braun, Karlsruhe, 1960.



61. Schüler, K., Brinkmann, K.: Dauermagnete. Springer-Verlag, Berlin. Heidelberg. New York, 1970.
62. Silaş, Gh., Groşanu, I.: Mecanică. Editura didactică și pedagogică, București, 1981.
63. Simonyi, K.: Electrotehnica teoretică. Editura tehnică, București, 1974.
64. Smolova, B.V., Ugriumova, B.P.: Vremia - impulsnîe ustroistva. Moskva, Radio i/sviaz, 1983.
65. Soran, I.F.: Studiul configurației cîmpului magnetic în întrefierul mașinii de inducție și influența ei asupra parametrilor de pornire. Teză de doctorat. Institutul Politehnic "T.Vuia", Timișoara, 1979.
66. Stöckl/Winterling: Elektrische Messtechnik. B.G.Teubner, Stuttgart, 1968.
67. Sukazov, E.A., s.a.: Magnitnîe materialii. Izdatelstvo leningradskogo universiteta, Leningrad, 1974.
68. Sora, C.: Bazele electrotehnicii. Editura didactică și pedagogică, București, 1982.
69. Täuber, S.: Mecanism de măsură cu magnet mobil. Brevet de invenție, R.S.R., 78233.
70. Terzian, A.A., Sukiasian, G.S.: K opredeleniu magnitnîh polei cislennîmi metodami. Izvestia AN SSSR, Energhetika i transport, nr.5, 1977, p.115.
71. Thurin, J.: Mesures électriques et électroniques. Editions Eyrolles, Paris, 1971.
72. Timotin, A.: Proprietățile dinamice ale cîmpului electromagnetic macroscopic în medii oarecare. Teză de doctorat. Institutul Politehnic, București, 1957.
73. Timotin, A., s.a.: Lecții de bazele electrotehnicii. Editura didactică și pedagogică, București, 1974.
74. Tiron, M.: Teoria erorilor de măsurare și metoda celor mici pătrate. Editura tehnică, București, 1972.
75. Toma, M., Odăgescu, I.: Metode numerice și subrutine. Editura tehnică, București, 1980.
76. Tozonî, O.V.: Rascet electromagnitnîh polei na vicislitelniîh mașinah. Izdatelstvo Tehnika, Kiev, 1967.
77. Trutt, F.C., s.a.: The nonlinear potential equation and its numerical solution for highly saturated electrical machines. IEEE Transaction Aerosp., nr.1, 1963, p.430.

78. Turicin, A.M.: Elektriceskie izmerenia. Gosudarstvennoe energeticeskoe izdatelstvo, Moskva, 1961.
79. Tutovan, V.: Introducere în măsurări electrice și magnetice. Editura didactică și pedagogică, București, 1962.
80. Tugulea, A., Timotin, A.: Condițiile de unicitate în determinarea câmpurilor electrostatice și magnetice quasistacionare în materiale neliniare cu polarizare reversibilă și magnetizare reversibilă. Studii și cercetări de energetică și electrotehnică, tom.15, nr.3, 1969, p.531.
81. Wassow, W., Forsythe, G.: Finite difference methods for partial differential equations. Willey, New York, 1960.
82. Wiener, U.: Măsurări electrice industriale, vol.2, Măsurarea mărimilor magnetice. Editura tehnică, București, 1969.
83. Wiener, U., s.a.: Realizarea unui etalon principal de grup pentru momentul magnetic. Metrologia aplicată, nr.12, 1965.
84. \* \* \* Aparat de măsură cu magnet mobil  $280^{\circ}$ . LMMC-72-1, 1430. Timișoara.
85. Rumsiski, L.L.: Prelucrarea matematică a datelor experimentale. Editura tehnică, București, 1974.







10  
11  
12  
13  
14  
15  
16  
17  
18  
19  
20  
21  
22  
23  
24  
25  
26  
27  
28  
29  
30  
31  
32  
33  
34  
35  
36  
37  
38  
39  
40  
41  
42  
43  
44  
45  
46  
47  
48  
49  
50  
51  
52  
53  
54  
55  
56  
57  
58  
59  
60  
61  
62  
63  
64  
65  
66  
67  
68  
69  
70  
71  
72  
73  
74  
75  
76  
77  
78  
79  
80  
81  
82  
83  
84  
85  
86  
87  
88  
89  
90  
91  
92  
93  
94  
95  
96  
97  
98  
99  
100  
101  
102  
103  
104  
105  
106  
107  
108  
109  
110  
111  
112  
113  
114  
115  
116  
117  
118  
119  
120  
121  
122  
123  
124  
125  
126  
127  
128  
129  
130  
131  
132  
133  
134  
135  
136  
137  
138  
139  
140  
141

```

BT(I+1,J)=PT(I+1,J)+DPT2
IF(I=0) GOTO 23
IF(I=1) GOTO 24
IF(I=2) GOTO 25
IF(I=3) GOTO 27
GOTO 29
23 BT(I+1,J)=0
   BT(I+1,J+1)=0
   GOTO 30
24 BT(I+1,J)=0
   BT(I+1,J+1)=0
   GOTO 30
25 BT(I+1,J)=0
   BT(I+1,J+1)=0
   GOTO 30
27 BT(I+1,J)=0
   BT(I+1,J+1)=0
29 CALL CALLF(I,J)
   F=BT(I,J)+BP(I,J)+PT(I+1,J)+(-PR(I+1,J)-
+BP(I+1,J+1)+PR(I,J)+BT(I+1,J)+HT(I,J+1)-
+AT(I+1,J+1))
   IF(I=0) GOTO 11
   IF(I=1) GOTO 30
   H=H*(I+1)
   CALL F(I,J,T)
   Z=BT(I+1,J)/F(I,J)
   H=H+Z
   HPT=BT(I+1,J)/P(I,J)*DH
   HDP=BT(I+1,J)/P(I,J)*DH
   DHT=BT(I+1,J)/P(I,J)*DH
   H(I+1)=BP(I+1)-DHR1
   H(I+1,J)=BP(I+1,J)-DHR1
   H(I+1,J)=BP(I+1,J)-DHR2
   H(I+1,J)=BT(I+1,J)*DHT
   H(I+1,J)=H(I+1,J)-DHT
   H(I+1,J)=H(I+1,J)+DHT
   H(I+1,J)=H(I+1,J)+DHT
   BT(I+1)=GNER) GOTO 38
31 IF(I=0) GOTO 30
32 IF(I=1) GOTO 37
33 IF(I=2) GOTO 39
34 BT(I+1)=0
35 BT(I+1,J)=0
   GOTO 11

```

113  
114  
115  
116  
117  
118  
119  
120  
121  
122  
123  
124  
125  
126  
127  
128  
129  
130  
131  
132  
133  
134  
135  
136  
137  
138  
139  
140  
141  
142  
143  
144  
145  
146  
147  
148  
149

```

36 NR(I,1)=0.
   GO TO 37
37 NR(I,2)=0.
   NR(I,3)=0.
   NR(I,4)=0.
   NR(I,5)=0.
   NR(I,6)=0.
   NR(I,7)=0.
   NR(I,8)=0.
   NR(I,9)=0.
   NR(I,10)=0.
   NR(I,11)=0.
   NR(I,12)=0.
   NR(I,13)=0.
   NR(I,14)=0.
   NR(I,15)=0.
   NR(I,16)=0.
   NR(I,17)=0.
   NR(I,18)=0.
   NR(I,19)=0.
   NR(I,20)=0.
   NR(I,21)=0.
   NR(I,22)=0.
   NR(I,23)=0.
   NR(I,24)=0.
   NR(I,25)=0.
   NR(I,26)=0.
   NR(I,27)=0.
   NR(I,28)=0.
   NR(I,29)=0.
   NR(I,30)=0.
   NR(I,31)=0.
   NR(I,32)=0.
   NR(I,33)=0.
   NR(I,34)=0.
   NR(I,35)=0.
   NR(I,36)=0.
   NR(I,37)=0.
   NR(I,38)=0.
   NR(I,39)=0.
   NR(I,40)=0.
   NR(I,41)=0.
   NR(I,42)=0.
   NR(I,43)=0.
   NR(I,44)=0.
   NR(I,45)=0.
   NR(I,46)=0.
   NR(I,47)=0.
   NR(I,48)=0.
   NR(I,49)=0.
   NR(I,50)=0.
   NR(I,51)=0.
   NR(I,52)=0.
   NR(I,53)=0.
   NR(I,54)=0.
   NR(I,55)=0.
   NR(I,56)=0.
   NR(I,57)=0.
   NR(I,58)=0.
   NR(I,59)=0.
   NR(I,60)=0.
   NR(I,61)=0.
   NR(I,62)=0.
   NR(I,63)=0.
   NR(I,64)=0.
   NR(I,65)=0.
   NR(I,66)=0.
   NR(I,67)=0.
   NR(I,68)=0.
   NR(I,69)=0.
   NR(I,70)=0.
   NR(I,71)=0.
   NR(I,72)=0.
   NR(I,73)=0.
   NR(I,74)=0.
   NR(I,75)=0.
   NR(I,76)=0.
   NR(I,77)=0.
   NR(I,78)=0.
   NR(I,79)=0.
   NR(I,80)=0.
   NR(I,81)=0.
   NR(I,82)=0.
   NR(I,83)=0.
   NR(I,84)=0.
   NR(I,85)=0.
   NR(I,86)=0.
   NR(I,87)=0.
   NR(I,88)=0.
   NR(I,89)=0.
   NR(I,90)=0.
   NR(I,91)=0.
   NR(I,92)=0.
   NR(I,93)=0.
   NR(I,94)=0.
   NR(I,95)=0.
   NR(I,96)=0.
   NR(I,97)=0.
   NR(I,98)=0.
   NR(I,99)=0.
   NR(I,100)=0.
   NR(I,101)=0.
   NR(I,102)=0.
   NR(I,103)=0.
   NR(I,104)=0.
   NR(I,105)=0.
   NR(I,106)=0.
   NR(I,107)=0.
   NR(I,108)=0.
   NR(I,109)=0.
   NR(I,110)=0.
   NR(I,111)=0.
   NR(I,112)=0.
   NR(I,113)=0.
   NR(I,114)=0.
   NR(I,115)=0.
   NR(I,116)=0.
   NR(I,117)=0.
   NR(I,118)=0.
   NR(I,119)=0.
   NR(I,120)=0.
   NR(I,121)=0.
   NR(I,122)=0.
   NR(I,123)=0.
   NR(I,124)=0.
   NR(I,125)=0.
   NR(I,126)=0.
   NR(I,127)=0.
   NR(I,128)=0.
   NR(I,129)=0.
   NR(I,130)=0.
   NR(I,131)=0.
   NR(I,132)=0.
   NR(I,133)=0.
   NR(I,134)=0.
   NR(I,135)=0.
   NR(I,136)=0.
   NR(I,137)=0.
   NR(I,138)=0.
   NR(I,139)=0.
   NR(I,140)=0.
   NR(I,141)=0.
   NR(I,142)=0.
   NR(I,143)=0.
   NR(I,144)=0.
   NR(I,145)=0.
   NR(I,146)=0.
   NR(I,147)=0.
   NR(I,148)=0.
   NR(I,149)=0.
   NR(I,150)=0.
   NR(I,151)=0.
   NR(I,152)=0.
   NR(I,153)=0.
   NR(I,154)=0.
   NR(I,155)=0.
   NR(I,156)=0.
   NR(I,157)=0.
   NR(I,158)=0.
   NR(I,159)=0.
   NR(I,160)=0.
   NR(I,161)=0.
   NR(I,162)=0.
   NR(I,163)=0.
   NR(I,164)=0.
   NR(I,165)=0.
   NR(I,166)=0.
   NR(I,167)=0.
   NR(I,168)=0.
   NR(I,169)=0.
   NR(I,170)=0.
   NR(I,171)=0.
   NR(I,172)=0.
   NR(I,173)=0.
   NR(I,174)=0.
   NR(I,175)=0.
   NR(I,176)=0.
   NR(I,177)=0.
   NR(I,178)=0.
   NR(I,179)=0.
   NR(I,180)=0.
   NR(I,181)=0.
   NR(I,182)=0.
   NR(I,183)=0.
   NR(I,184)=0.
   NR(I,185)=0.
   NR(I,186)=0.
   NR(I,187)=0.
   NR(I,188)=0.
   NR(I,189)=0.
   NR(I,190)=0.
   NR(I,191)=0.
   NR(I,192)=0.
   NR(I,193)=0.
   NR(I,194)=0.
   NR(I,195)=0.
   NR(I,196)=0.
   NR(I,197)=0.
   NR(I,198)=0.
   NR(I,199)=0.
   NR(I,200)=0.

```

4  
5  
6  
7  
8  
9  
10  
11  
12  
13  
14  
15  
16  
17  
18  
19  
20  
21  
22  
23  
24  
25  
26  
27  
28  
29  
30  
31  
32  
33  
34  
35  
36

```

SINHAI TIME, CALCOB(H(1,1))
CORG(1,1)=H(12,9),H(12,9),H(12,9),JR(12,9),BT(12,9),
*PR(1,1),PT(12,9),IC(11,3),RU(12),ET(9),TETA(8),
*PR(1,1),PT(12,9),P(11,3),FMIU(2),ADIU0,
*PR(1,1),PT(11,3),PRT1(11,8),PT2(11,8),PRT2(11,8),
*PR(1,1),PT(11,3)
IF(COR(1,1).NE.0) GOTO 1
H(1,1)=H(1,1)/AMIU
PT(1,1)=PT(1,1)/AMIU
1 IF(COR(1,1).NE.0) GOTO 5
H(1,1)=H(1,1)/AMIU
PT(1,1)=PT(1,1)/AMIU
2 IF(COR(1,1).NE.0) GOTO 6
H(1,1)=H(1,1)/AMIU
PT(1,1)=PT(1,1)/AMIU
3 IF(COR(1,1).NE.0) GOTO 7
H(1,1)=H(1,1)/AMIU
PT(1,1)=PT(1,1)/AMIU
H(1,1)=H(1,1)
H(1,1)=COR(1,1)/FMIU(K)
PT(1,1)=PT(1,1)/FMIU(K)
GOTO 1
4 H(1,1)=H(1,1)
H(1,1)=H(1,1)/FMIU(K)
PT(1,1)=PT(1,1)/FMIU(K)
5 H(1,1)=H(1,1)
H(1,1)=H(1,1)/FMIU(K)
PT(1,1)=PT(1,1)/FMIU(K)
6 H(1,1)=H(1,1)
H(1,1)=H(1,1)/FMIU(K)
PT(1,1)=PT(1,1)/FMIU(K)
7 H(1,1)=H(1,1)
H(1,1)=H(1,1)/FMIU(K)
PT(1,1)=PT(1,1)/FMIU(K)
END

```

CIVU 14/12/81 13.22.

4  
5  
6  
7  
8  
9  
10  
11  
12  
13  
14  
15  
16  
17  
18  
19  
20  
21  
22  
23  
24  
25  
26  
27  
28  
29  
30  
31  
32  
33  
34  
35  
36

```

SINHAI TIME, CALCOB(H(1,1))
CORG(1,1)=H(12,9),H(12,9),H(12,9),JR(12,9),BT(12,9),
*PR(1,1),PT(12,9),IC(11,3),RU(12),ET(9),TETA(8),
*PR(1,1),PT(12,9),P(11,3),FMIU(2),ADIU0,
*PR(1,1),PT(11,3),PRT1(11,8),PT2(11,8),PRT2(11,8),
*PR(1,1),PT(11,3)
IF(COR(1,1).NE.0) GOTO 1
H(1,1)=H(1,1)/AMIU
PT(1,1)=PT(1,1)/AMIU
1 IF(COR(1,1).NE.0) GOTO 5
H(1,1)=H(1,1)/AMIU
PT(1,1)=PT(1,1)/AMIU
2 IF(COR(1,1).NE.0) GOTO 6
H(1,1)=H(1,1)/AMIU
PT(1,1)=PT(1,1)/AMIU
3 IF(COR(1,1).NE.0) GOTO 7
H(1,1)=H(1,1)/AMIU
PT(1,1)=PT(1,1)/AMIU
H(1,1)=H(1,1)
H(1,1)=COR(1,1)*FMIU(K)
PT(1,1)=PT(1,1)*FMIU(K)
GOTO 1
4 H(1,1)=H(1,1)
H(1,1)=H(1,1)*FMIU(K)
PT(1,1)=PT(1,1)*FMIU(K)
5 H(1,1)=H(1,1)
H(1,1)=H(1,1)*FMIU(K)
PT(1,1)=PT(1,1)*FMIU(K)
6 H(1,1)=H(1,1)
H(1,1)=H(1,1)*FMIU(K)
PT(1,1)=PT(1,1)*FMIU(K)
7 H(1,1)=H(1,1)
H(1,1)=H(1,1)*FMIU(K)
PT(1,1)=PT(1,1)*FMIU(K)
END

```

1  
2  
3  
4  
5  
6  
7  
8  
9  
10  
11  
12  
13  
14  
15  
16  
17  
18  
19  
20  
21  
22  
23  
24  
25  
26  
27  
28  
29  
30  
31  
32  
33  
34  
35  
36  
37  
38  
39  
40  
41  
42  
43  
44  
45  
46  
47  
48  
49  
50  
51  
52  
53  
54  
55  
56  
57  
58  
59  
60  
61  
62  
63  
64  
65  
66  
67  
68  
69  
70  
71  
72  
73  
74  
75  
76  
77  
78  
79  
80  
81  
82  
83  
84  
85  
86  
87  
88  
89  
90  
91  
92  
93  
94  
95  
96  
97  
98  
99  
100

```

SUBROUTINE TMS(IAT,ITH)
  COMMON /TMS/ IAT(12,9), H(12,9), JR(12,9), BT(12,9),
  * P(12,9), TED(12,9), IC(11,3), KC(12), CT(8), TETA(H),
  * P1(11,3), P2(11,3), P(11,3), FMIO(2), AMIU0,
  * P11(11,3), P12(11,3), PPT1(11,8), PT2(11,8), PPT2(11,3),
  * P1R, P1Y, P1Z, NET
  IF(IAT(1,1).NE.0) GOTO 2
  IF(IAT(1,2).NE.0) GOTO 1
  IF(IPT1(1,1).NE.0) GOTO 10
  GOTO 11
1  AMEPT(1,1)/AMIU0
  GOTO 12
2  AMEPT(1,1)
  IF(IAT(1,1).GE.1.EQ.1) GOTO 3
  AMEPT(1,1)/FMIO(K)
  GOTO 4
3  AMEPT(1,1)/FMIO(K)
  IF(IAT(1,1).GE.1.EQ.0) GOTO 6
  IF(IAT(1,1).NE.0) GOTO 5
  AMEPT(1,1)/AMIU0
  GOTO 8
4  AMEPT(1,1)/AMIU0
  GOTO 8
5  AMEPT(1,1)
  IF(IAT(1,1).GE.1.EQ.1) GOTO 7
  AMEPT(1,1)/FMIO(K)
  GOTO 9
6  AMEPT(1,1)/FMIO(K)
  IF(IAT(1,1).NE.0) GOTO 10
  AMEPT(1,1)/AMIU0
  GOTO 12
7  AMEPT(1,1)/AMIU0
  GOTO 12
8  AMEPT(1,1)
  IF(IAT(1,1).GE.1.EQ.NET) GOTO 11
  IF(IAT(1,1).NE.0) GOTO 12
  AMEPT(1,1)/NET GOTO 20
  AMEPT(1,1)/FMIO(K)
  GOTO 12
9  AMEPT(1,1)
  GOTO 12
10 AMEPT(1,1)
  GOTO 12
11 AMEPT(1,1)/FMIO(K)
  GOTO 12
12 AMEPT(1,1)/FMIO(K)
  GOTO 12
13 AMEPT(1,1)/FMIO(K)
  IF(IAT(1,1).GE.1.EQ.0) GOTO 14
  IF(IAT(1,1).NE.0) GOTO 13
  GOTO 12

```

C IIVU 11/12/81 13.22.

```

14 AMEPT(1,1)/AMIU0
  GOTO 12
15 AMEPT(1,1)/AMIU0
  GOTO 12
16 AMEPT(1,1)
  IF(IAT(1,1).GE.1.EQ.1) GOTO 15
  IF(IAT(1,1).GE.1.EQ.NET) GOTO 15
  IF(IAT(1,1).NE.0) GOTO 16
  AMEPT(1,1)/NET GOTO 17
  AMEPT(1,1)/FMIO(K)
  GOTO 12
17 AMEPT(1,1)
  GOTO 12
18 AMEPT(1,1)/FMIO(K)
  GOTO 12
19 AMEPT(1,1)
  GOTO 12
20 AMEPT(1,1)
  GOTO 12
21 AMEPT(1,1)
  GOTO 12
22 AMEPT(1,1)
  GOTO 12
23 AMEPT(1,1)
  GOTO 12
24 AMEPT(1,1)
  GOTO 12
25 AMEPT(1,1)
  GOTO 12
26 AMEPT(1,1)
  GOTO 12
27 AMEPT(1,1)
  GOTO 12
28 AMEPT(1,1)
  GOTO 12
29 AMEPT(1,1)
  GOTO 12
30 AMEPT(1,1)
  GOTO 12
31 AMEPT(1,1)
  GOTO 12
32 AMEPT(1,1)
  GOTO 12
33 AMEPT(1,1)
  GOTO 12
34 AMEPT(1,1)
  GOTO 12
35 AMEPT(1,1)
  GOTO 12
36 AMEPT(1,1)
  GOTO 12
37 AMEPT(1,1)
  GOTO 12
38 AMEPT(1,1)
  GOTO 12
39 AMEPT(1,1)
  GOTO 12
40 AMEPT(1,1)
  GOTO 12
41 AMEPT(1,1)
  GOTO 12
42 AMEPT(1,1)
  GOTO 12
43 AMEPT(1,1)
  GOTO 12
44 AMEPT(1,1)
  GOTO 12
45 AMEPT(1,1)
  GOTO 12
46 AMEPT(1,1)
  GOTO 12
47 AMEPT(1,1)
  GOTO 12
48 AMEPT(1,1)
  GOTO 12
49 AMEPT(1,1)
  GOTO 12
50 AMEPT(1,1)
  GOTO 12
51 AMEPT(1,1)
  GOTO 12
52 AMEPT(1,1)
  GOTO 12
53 AMEPT(1,1)
  GOTO 12
54 AMEPT(1,1)
  GOTO 12
55 AMEPT(1,1)
  GOTO 12
56 AMEPT(1,1)
  GOTO 12
57 AMEPT(1,1)
  GOTO 12
58 AMEPT(1,1)
  GOTO 12
59 AMEPT(1,1)
  GOTO 12
60 AMEPT(1,1)
  GOTO 12
61 AMEPT(1,1)
  GOTO 12
62 AMEPT(1,1)
  GOTO 12
63 AMEPT(1,1)
  GOTO 12
64 AMEPT(1,1)
  GOTO 12
65 AMEPT(1,1)
  GOTO 12
66 AMEPT(1,1)
  GOTO 12
67 AMEPT(1,1)
  GOTO 12
68 AMEPT(1,1)
  GOTO 12
69 AMEPT(1,1)
  GOTO 12
70 AMEPT(1,1)
  GOTO 12
71 AMEPT(1,1)
  GOTO 12
72 AMEPT(1,1)
  GOTO 12
73 AMEPT(1,1)
  GOTO 12
74 AMEPT(1,1)
  GOTO 12
75 AMEPT(1,1)
  GOTO 12
76 AMEPT(1,1)
  GOTO 12
77 AMEPT(1,1)
  GOTO 12
78 AMEPT(1,1)
  GOTO 12
79 AMEPT(1,1)
  GOTO 12
80 AMEPT(1,1)
  GOTO 12
81 AMEPT(1,1)
  GOTO 12
82 AMEPT(1,1)
  GOTO 12
83 AMEPT(1,1)
  GOTO 12
84 AMEPT(1,1)
  GOTO 12
85 AMEPT(1,1)
  GOTO 12
86 AMEPT(1,1)
  GOTO 12
87 AMEPT(1,1)
  GOTO 12
88 AMEPT(1,1)
  GOTO 12
89 AMEPT(1,1)
  GOTO 12
90 AMEPT(1,1)
  GOTO 12
91 AMEPT(1,1)
  GOTO 12
92 AMEPT(1,1)
  GOTO 12
93 AMEPT(1,1)
  GOTO 12
94 AMEPT(1,1)
  GOTO 12
95 AMEPT(1,1)
  GOTO 12
96 AMEPT(1,1)
  GOTO 12
97 AMEPT(1,1)
  GOTO 12
98 AMEPT(1,1)
  GOTO 12
99 AMEPT(1,1)
  GOTO 12
100 AMEPT(1,1)
  GOTO 12

```

C IIVU 11/12/81 13.22.









100  
101  
102  
103  
104  
105  
106  
107  
108  
109  
110  
111  
112  
113  
114  
115  
116  
117  
118  
119  
120  
121  
122  
123  
124  
125  
126  
127  
128  
129  
130  
131  
132  
133  
134  
135  
136  
137  
138  
139  
140  
141  
142  
143  
144  
145  
146  
147  
148  
149  
150  
151  
152  
153  
154  
155  
156  
157  
158  
159  
160  
161  
162  
163  
164  
165  
166  
167  
168  
169  
170  
171  
172  
173  
174  
175  
176  
177  
178  
179  
180  
181  
182  
183  
184  
185  
186  
187  
188  
189  
190  
191  
192  
193  
194  
195  
196  
197  
198  
199  
200  
201  
202  
203  
204  
205  
206  
207  
208  
209  
210  
211  
212  
213  
214  
215  
216  
217  
218  
219  
220  
221  
222  
223  
224  
225  
226  
227  
228  
229  
230  
231  
232  
233  
234  
235  
236  
237  
238  
239  
240  
241  
242  
243  
244  
245  
246  
247  
248  
249  
250  
251  
252  
253  
254  
255  
256  
257  
258  
259  
260  
261  
262  
263  
264  
265  
266  
267  
268  
269  
270  
271  
272  
273  
274  
275  
276  
277  
278  
279  
280  
281  
282  
283  
284  
285  
286  
287  
288  
289  
290  
291  
292  
293  
294  
295  
296  
297  
298  
299  
300  
301  
302  
303  
304  
305  
306  
307  
308  
309  
310  
311  
312  
313  
314  
315  
316  
317  
318  
319  
320  
321  
322  
323  
324  
325  
326  
327  
328  
329  
330  
331  
332  
333  
334  
335  
336  
337  
338  
339  
340  
341  
342  
343  
344  
345  
346  
347  
348  
349  
350  
351  
352  
353  
354  
355  
356  
357  
358  
359  
360  
361  
362  
363  
364  
365  
366  
367  
368  
369  
370  
371  
372  
373  
374  
375  
376  
377  
378  
379  
380  
381  
382  
383  
384  
385  
386  
387  
388  
389  
390  
391  
392  
393  
394  
395  
396  
397  
398  
399  
400  
401  
402  
403  
404  
405  
406  
407  
408  
409  
410  
411  
412  
413  
414  
415  
416  
417  
418  
419  
420  
421  
422  
423  
424  
425  
426  
427  
428  
429  
430  
431  
432  
433  
434  
435  
436  
437  
438  
439  
440  
441  
442  
443  
444  
445  
446  
447  
448  
449  
450  
451  
452  
453  
454  
455  
456  
457  
458  
459  
460  
461  
462  
463  
464  
465  
466  
467  
468  
469  
470  
471  
472  
473  
474  
475  
476  
477  
478  
479  
480  
481  
482  
483  
484  
485  
486  
487  
488  
489  
490  
491  
492  
493  
494  
495  
496  
497  
498  
499  
500  
501  
502  
503  
504  
505  
506  
507  
508  
509  
510  
511  
512  
513  
514  
515  
516  
517  
518  
519  
520  
521  
522  
523  
524  
525  
526  
527  
528  
529  
530  
531  
532  
533  
534  
535  
536  
537  
538  
539  
540  
541  
542  
543  
544  
545  
546  
547  
548  
549  
550  
551  
552  
553  
554  
555  
556  
557  
558  
559  
560  
561  
562  
563  
564  
565  
566  
567  
568  
569  
570  
571  
572  
573  
574  
575  
576  
577  
578  
579  
580  
581  
582  
583  
584  
585  
586  
587  
588  
589  
590  
591  
592  
593  
594  
595  
596  
597  
598  
599  
600  
601  
602  
603  
604  
605  
606  
607  
608  
609  
610  
611  
612  
613  
614  
615  
616  
617  
618  
619  
620  
621  
622  
623  
624  
625  
626  
627  
628  
629  
630  
631  
632  
633  
634  
635  
636  
637  
638  
639  
640  
641  
642  
643  
644  
645  
646  
647  
648  
649  
650  
651  
652  
653  
654  
655  
656  
657  
658  
659  
660  
661  
662  
663  
664  
665  
666  
667  
668  
669  
670  
671  
672  
673  
674  
675  
676  
677  
678  
679  
680  
681  
682  
683  
684  
685  
686  
687  
688  
689  
690  
691  
692  
693  
694  
695  
696  
697  
698  
699  
700  
701  
702  
703  
704  
705  
706  
707  
708  
709  
710  
711  
712  
713  
714  
715  
716  
717  
718  
719  
720  
721  
722  
723  
724  
725  
726  
727  
728  
729  
730  
731  
732  
733  
734  
735  
736  
737  
738  
739  
740  
741  
742  
743  
744  
745  
746  
747  
748  
749  
750  
751  
752  
753  
754  
755  
756  
757  
758  
759  
760  
761  
762  
763  
764  
765  
766  
767  
768  
769  
770  
771  
772  
773  
774  
775  
776  
777  
778  
779  
780  
781  
782  
783  
784  
785  
786  
787  
788  
789  
790  
791  
792  
793  
794  
795  
796  
797  
798  
799  
800  
801  
802  
803  
804  
805  
806  
807  
808  
809  
810  
811  
812  
813  
814  
815  
816  
817  
818  
819  
820  
821  
822  
823  
824  
825  
826  
827  
828  
829  
830  
831  
832  
833  
834  
835  
836  
837  
838  
839  
840  
841  
842  
843  
844  
845  
846  
847  
848  
849  
850  
851  
852  
853  
854  
855  
856  
857  
858  
859  
860  
861  
862  
863  
864  
865  
866  
867  
868  
869  
870  
871  
872  
873  
874  
875  
876  
877  
878  
879  
880  
881  
882  
883  
884  
885  
886  
887  
888  
889  
890  
891  
892  
893  
894  
895  
896  
897  
898  
899  
900  
901  
902  
903  
904  
905  
906  
907  
908  
909  
910  
911  
912  
913  
914  
915  
916  
917  
918  
919  
920  
921  
922  
923  
924  
925  
926  
927  
928  
929  
930  
931  
932  
933  
934  
935  
936  
937  
938  
939  
940  
941  
942  
943  
944  
945  
946  
947  
948  
949  
950  
951  
952  
953  
954  
955  
956  
957  
958  
959  
960  
961  
962  
963  
964  
965  
966  
967  
968  
969  
970  
971  
972  
973  
974  
975  
976  
977  
978  
979  
980  
981  
982  
983  
984  
985  
986  
987  
988  
989  
990  
991  
992  
993  
994  
995  
996  
997  
998  
999  
1000

```

1  IF (I.EQ.1) THEN
2  IF (I.EQ.2) THEN
3  IF (I.EQ.3) THEN
4  IF (I.EQ.4) THEN
5  IF (I.EQ.5) THEN
6  IF (I.EQ.6) THEN
7  IF (I.EQ.7) THEN
8  IF (I.EQ.8) THEN
9  IF (I.EQ.9) THEN
10 IF (I.EQ.10) THEN
11 IF (I.EQ.11) THEN
12 IF (I.EQ.12) THEN
13 IF (I.EQ.13) THEN
14 IF (I.EQ.14) THEN
15 IF (I.EQ.15) THEN
16 IF (I.EQ.16) THEN
17 IF (I.EQ.17) THEN
18 IF (I.EQ.18) THEN
19 IF (I.EQ.19) THEN
20 IF (I.EQ.20) THEN
21 IF (I.EQ.21) THEN
22 IF (I.EQ.22) THEN
23 IF (I.EQ.23) THEN
24 IF (I.EQ.24) THEN
25 IF (I.EQ.25) THEN
26 IF (I.EQ.26) THEN
27 IF (I.EQ.27) THEN
28 IF (I.EQ.28) THEN
29 IF (I.EQ.29) THEN
30 IF (I.EQ.30) THEN
31 IF (I.EQ.31) THEN
32 IF (I.EQ.32) THEN
33 IF (I.EQ.33) THEN
34 IF (I.EQ.34) THEN
35 IF (I.EQ.35) THEN
36 IF (I.EQ.36) THEN
37 IF (I.EQ.37) THEN
38 IF (I.EQ.38) THEN
39 IF (I.EQ.39) THEN
40 IF (I.EQ.40) THEN
41 IF (I.EQ.41) THEN
42 IF (I.EQ.42) THEN
43 IF (I.EQ.43) THEN
44 IF (I.EQ.44) THEN
45 IF (I.EQ.45) THEN
46 IF (I.EQ.46) THEN
47 IF (I.EQ.47) THEN
48 IF (I.EQ.48) THEN
49 IF (I.EQ.49) THEN
50 IF (I.EQ.50) THEN
51 IF (I.EQ.51) THEN
52 IF (I.EQ.52) THEN
53 IF (I.EQ.53) THEN
54 IF (I.EQ.54) THEN
55 IF (I.EQ.55) THEN
56 IF (I.EQ.56) THEN
57 IF (I.EQ.57) THEN
58 IF (I.EQ.58) THEN
59 IF (I.EQ.59) THEN
60 IF (I.EQ.60) THEN
61 IF (I.EQ.61) THEN
62 IF (I.EQ.62) THEN
63 IF (I.EQ.63) THEN
64 IF (I.EQ.64) THEN
65 IF (I.EQ.65) THEN
66 IF (I.EQ.66) THEN
67 IF (I.EQ.67) THEN
68 IF (I.EQ.68) THEN
69 IF (I.EQ.69) THEN
70 IF (I.EQ.70) THEN
71 IF (I.EQ.71) THEN
72 IF (I.EQ.72) THEN
73 IF (I.EQ.73) THEN
74 IF (I.EQ.74) THEN
75 IF (I.EQ.75) THEN
76 IF (I.EQ.76) THEN
77 IF (I.EQ.77) THEN
78 IF (I.EQ.78) THEN
79 IF (I.EQ.79) THEN
80 IF (I.EQ.80) THEN
81 IF (I.EQ.81) THEN
82 IF (I.EQ.82) THEN
83 IF (I.EQ.83) THEN
84 IF (I.EQ.84) THEN
85 IF (I.EQ.85) THEN
86 IF (I.EQ.86) THEN
87 IF (I.EQ.87) THEN
88 IF (I.EQ.88) THEN
89 IF (I.EQ.89) THEN
90 IF (I.EQ.90) THEN
91 IF (I.EQ.91) THEN
92 IF (I.EQ.92) THEN
93 IF (I.EQ.93) THEN
94 IF (I.EQ.94) THEN
95 IF (I.EQ.95) THEN
96 IF (I.EQ.96) THEN
97 IF (I.EQ.97) THEN
98 IF (I.EQ.98) THEN
99 IF (I.EQ.99) THEN
100 IF (I.EQ.100) THEN

```







ANEXA A2

```

SUBROUTINE TBS(I,J,Tb)
COMMON /R1(2,7),HT(12,17),H(12,7),BR(12,7),BT(12,7),
*B(12,7),MED(12,7),IC(12,6),KD(12),ST(16),TETA(16),
*PR1(12,6),PT(12,6),PL(1,6),FMIU(2),AMIUQ,
*PR2(12,6),PT2(12,6),PRT1(1,6),PT2(1,6),PRT2(1,6),
*NMR,MIT,NER,NET

```

```

IF(MED(I,J)'NE'Q) GOTO 2
IF(J'EQ'1) GOTO 1
A1=PR1(I,J)*AMIUQ
GOTO 4
1 A1=PT1(I,J)*AMIUQ
GOTO 4
2 K=MED(I,J)
IF(I'EQ'1'AND'J'EQ'1) GOTO 21
IF(I'EQ'1) GOTO 3
IF(J'EQ'1) GOTO 22
A1=PR1(I,J)*FMIU(K)
GOTO 4
21 A1=Q'
GOTO 4
3 A1=PR1(I,J)*FMIU(K)
GOTO 4
22 A1=PT1(I,J)*FMIU(K)
4 IF(MED(I+1,J)'NE'Q) GOTO 6
IF(J'EQ'1) GOTO 5
A2=PRT2(I,J)*AMIUQ
GOTO 3
5 A2=PT2(I,J)*AMIUQ
GOTO 3
6 K=MED(I+1,J)
IF(I'EQ'NER'AND'J'EQ'1) GOTO 23
IF(I'EQ'NER) GOTO 7
IF(J'EQ'1) GOTO 24
A2=PRT2(I,J)*FMIU(K)
GOTO 3
23 A2=Q'
GOTO 3
7 A2=PR1(I,J)*FMIU(K)
GOTO 3
24 A2=PT2(I,J)*FMIU(K)

```

```

8 IF(MED(I,J+1)'NE'Q) GOTO 10
IF(J'EQ'NET) GOTO 9
A3=PRT1(I,J)*AMIUQ
GOTO 12
9 A3=PT1(I,J)*AMIUQ
GOTO 12
10 K=MED(I,J+1)

```

CU15CMQ4 26/12/84 29'20'5

```

IF(I'EQ'1'AND'J'EQ'NET) GOTO 11
IF(I'EQ'1) GOTO 19
IF(J'EQ'NET) GOTO 20
A3=PR1(I,J)*FMIU(K)
GOTO 12
11 A3=Q'
GOTO 12
19 A3=PR1(I,J)*FMIU(K)
GOTO 12
20 A3=PT1(I,J)*FMIU(K)
12 IF(MED(I+1,J+1)'NE'Q) GOTO 14
IF(J'EQ'NET) GOTO 13
A4=PRT2(I,J)*AMIUQ
GOTO 16
13 A4=PT2(I,J)*AMIUQ
GOTO 16
14 K=MED(I+1,J+1)
IF(I'EQ'NER'AND'J'EQ'NET) GOTO 15
IF(I'EQ'NER) GOTO 16
IF(J'EQ'NET) GOTO 17
A4=PR2(I,J)*FMIU(K)
GOTO 18
15 A4=Q'
GOTO 18
16 A4=PR1(I,J)*FMIU(K)
GOTO 18
17 A4=PT2(I,J)*FMIU(K)
18 T3=A1+A2+A3+A4
RETURN
END

```





44  
45  
46  
47  
48  
49  
50  
51  
52  
53  
54  
55  
56  
57  
58  
59  
60  
61  
62  
63  
64  
65  
66  
67  
68  
69  
70  
71  
72  
73  
74  
75  
76  
77  
78  
79  
80  
81  
82  
83  
84  
85  
86  
87  
88  
89  
90  
91  
92  
93  
94  
95  
96  
97  
98  
99  
100

```

11 DO 12 I=1,N1
    K=1
    HT(I,K)=HT(I,K)+HT2(I,J)
12 DO 13 I=1,N1
    K=1
    HT(I,K)=HT(I,K)+HT2(I,K)
    K=I+1
    L=2*K
    HT(I,L)=-HT(I,K)+HT2(I,L)
    HT(I,L)=HT(I,K)+HT2(I,L)
13 DO 14 J=1,N2
    K=1
    HT(I,K)=HT(I,K)+HT2(I,K)
    HT(I,K)=HT(I,K)-HT2(I,K)
14 DO 15 I=1,N1
    HT(I,1)=HT(I,1)
    HT(I,2)=HT(I,2)
    DO 16 J=1,N2
    HT(I,J)=HT(I,J)+HT(I+1,J)+HT(I,J+1)+HT(I+1,J+1)+
    *HT(I,J)/2+HT(I+1,J)/2+HT(I,J+1)/2+HT(I+1,J+1)/2+
    *HT(I,J)+HT(I+1,J)+HT(I,J+1)+HT(I+1,J+1)+
    *HT(I,J)+HT(I+1,J)+HT(I,J+1)+HT(I+1,J+1)
    GAMMA(I,J)=ATAN2(HTC(I,J),HRC(I,J))
    GAMMA(I,J)=GAMMA(I,J)+TC(TAC(I))
15 DO 16 K=1,N1
    CUP(I,K)=
    L=K+1
    DO 17 I=1,N1
    DO 18 J=1,N2
    CUP(I,K)=HT(I,J)*PI*HRC(I,J)*SIN(GAMMA(I,J))-FLOAT(L)*
    *PI/180
16 CUP(I,K)=CUP(I,K)+CUP
    HT(I,K)=HT(I,K)+L*CUP
17 PRINT AT(I*20,'K=',I*20,'L=',I*20,'CUPT=',G10.4)
18 CONTINUE
19 STOP
END

```